

ISBN: 978-93-54653-52-8

DEVELOPMENT OF ENERGY-SAVING DEVICE COMBINED WITH SUNFLOWER SEEDS DRYER



Published by
Novateur Publication
466, Sadashiv Peth, M.S.India-411030
novateurpublication.org

Author:

E. H. SAFAROV

**ЎЗБЕКИСТОН РЕСПУБЛИКАСИ
ОЛИЙ ТАЪЛИМ, ФАН ВА ИННОВАЦИЯЛАР ВАЗИРЛИГИ
АНДИЖОН МАШИНСОЗЛИК ИНСТИТУТИ**

Э.Х. САФАРОВ

**КУНГАБОҚАР УРУҒЛАРИНИ ҚУРИТУВЧИ
КОМБИНАЦИЯЛАШГАН ЭНЕРГИЯ ТЕЖАМКОР ҚУРИЛМА
ИШЛАБ ЧИҚИШ**

МОНОГРАФИЯ

India – 2023

Ушбу монографияда қунгабоқар уруғларини қуритиш қурилмалари ва технологиялари тадқиқ қилинган, мос қуритиш қурилмаси ва технологиялари танлаб олиниб, улар асосида комбинациялашган энергия тежамкор қуритиш қурилмаси ишлаб чиқилган, қуритиш жараёнини тавсифловчи математик моделлар тузилган.

Кунгабоқар уруғларини қуритиш қурилмалари ва технологияларининг таҳлили ва тадқиқи шу йўналишда тадқиқот олиб борувчи докторантлар, магистратура талабалари ҳамда мустақил тадқиқотчилар учун тавсия этилади.

Монография материалларидан кимёвий технологик жараёнлар ва қурилмалар, технологик жараёнларни моделлаштириш ва оптималлаштириш, технологик жараёнларни идентификациялаш каби ўқув курслари ва фанларни ўқитищда фойдаланиш мумкин.

Андижон машинасозлик институти Илмий Кенгаш Қарори (2023 йил 16 декабрдаги 4-сон баённома) билан нашр этишга тавсия этилган.

Такризчилар:

1. Б. Беккулов – Андижон машинасозлик институти “Умумтехника фанлари” кафедраси мудири, т.ф.ф.д.
2. Б. Шакиров – Андижон қишлоқ хўжалиги ва агротехнологиялар институти “Электр энергияси ва насос станцияларидан фойдаланиш” кафедраси мудири, т.ф.д.

МУНДАРИЖА

	КИРИШ.....	5
I-БОБ.	КУНГАБОҚАР УРУҒЛАРИНИ ҚУРИТИШНИНГ ХОЗИРГИ ҲОЛАТИ ВА ҚУРИТИШ ҚУРИЛМАЛАРИНИНГ ТАҲЛИЛИ.....	8
1.1.	Кунгабоқар уруғларини қуритишнинг аҳамияти.....	8
1.2.	Кунгабоқар уруғларини қуритиш қурилмаларининг синфланиши.....	10
1.3.	Кунгабоқар уруғларини қуритиш усуллари ва қурилмаларининг таҳлили. Мос қуритиш қурилмасини танлаш.....	12
1.4.	Кунгабоқар уруғларини барабанли қуритгичда қуритиш жараёнини моделлаштириш.....	26
1.4.1.	Кунгабоқар уруғларининг барабанли қуритгичда бўлиш вақтига ва унинг унумдорлигига таъсир қилувчи омиллар моделлари.....	27
	Биринчи боб бўйича хulosалар.....	31
II-БОБ.	БАРАБАН ТИПИДАГИ КОМБИНАЦИЯЛАШГАН АППАРАТДА КУНГАБОҚАР УРУҒЛАРИНИ ҚУРИТИШ ЖАРАЁНИНИ МОДЕЛЛАШТИРИШ.....	32
2.1.	Барабан типидаги қуритиш аппаратида иссиқлик ва масса узатиш жараёнларини моделлаштириш.....	32
2.1.1.	Қуритилаётган кунгабоқар уруғларининг моддий баланс тенгламаси.....	32
2.1.2.	Қуритилаётган кунгабоқар уруғларининг иссиқлик баланс тенгламаси.....	35
2.1.3.	Қуритувчи газ иссиқлик оқимининг моддий баланс тенгламаси.....	38
2.1.4.	Қуритувчи газ иссиқлик оқимининг иссиқлик баланс	

тenglamasi.....	39
2.2. Барабан типидаги комбинациялашган қуритиш аппаратида кунгабоқар уруғларининг қуритилиш жараёнини эмпирик моделлаштириш.....	47
2.2.1. Қуритиш аппаратида кунгабоқар уруғларини масса йўқотилиш жараёнини моделлаштириш.....	49
2.2.2. Қуритиш аппаратида кунгабоқар уруғларини намлик йўқотилиш жараёнини моделлаштириш.....	62
2.3. Барабан типидаги комбинациялашган қуритиш аппаратида энергия тежамкорликни математик моделлаштириш.....	72
2.3.1. Қуритиш аппаратининг ёз ойи учун энергия тежамкорлик эмпирик моделини ишлаб чиқиш.....	73
2.3.2. Қуритиш аппаратининг куз ойи учун энергия тежамкорлик эмпирик моделини ишлаб чиқиш.....	77
Иккинчи боб бўйича хulosалар.....	82
III-БОБ. ЭКСПЕРИМЕНТАЛ ТАДЌИҚОТЛАРНИ ЎТКАЗИШ УСУЛЛАРИ ВА НАТИЖАЛАРИ.....	83
3.1. Экспериментал тадқиқотлар ўтказиш услуби.....	83
3.2. Экспериментал қуритиш аппарати тавсифи.....	84
3.3. Экспериментал тадқиқотлар натижалари.....	88
3.3.1. Қуритиш аппаратида кунгабоқар уруғларининг маса ва намлик ўзгариши тажриба натижалари.....	89
3.3.2. Қуритиш аппарати қувват сарфининг тажриба натижалари...	96
Учинчи боб бўйича хulosалар.....	102
Хulosा.....	103
ФОЙДАЛАНИЛГАН АДАБИЁТЛАР РЎЙХАТИ.....	104
ИЛОВАЛАР.....	117

КИРИШ

Жаҳонда сўнгги вақтларда қишлоқ хўжалигида йиғиштириб олинган ўсимликларнинг дон ва уруғларини, жумладан, қунгабоқар донларини сифатли қуритиш учун самарадорлиги юқори ва энергия тежамкор комбинациялашган аппаратларни ишлаб чиқиш ва такомиллаштиришга алоҳида эътибор қаратилмоқда. Қуритгичларнинг хос афзаликларини ўзида жамлаган, хавфсизлиги юқори, қуритилаётган дон ва уруғлар сифатига салбий таъсир қилмайдиган, энергия тежамкор, ихчам, стационар ва кўчма ҳолатдаги қуритиш аппаратларини яратиш муҳим вазифалардан бири ҳисобланади. Ривожланган мамлакатларда бу борада маълум натижаларга эришилган бўлиб, уларда асосан қуритиш жараёнини моделлаштириш, қуритиш аппаратларининг бошқариш ва назорат қилиш имкониятларини кенгайтириш, техник кўрсаткичларини яхшилаш, қуритгичларнинг материал сарфини камайтириш муҳим аҳамият касб этмоқда.

Жаҳонда дон ва уруғларни, хусусан қунгабоқар донларини тез ва сифатли қуритиш билан боғлиқ бўлган муаммоларни бартараф этишда қуритиш аппаратларининг янги конструкцияларини ишлаб чиқиш ва қуритиш технологияларини такомиллаштириш бўйича кўплаб илмий тадқиқот ишлари олиб борилмоқда. Ушбу тадқиқотларда қуритилаётган маҳсулотлар хусусиятларини чукур ўрганган ҳолда мос қуритиш режимларини танлаш, жараённи тўғри назорат қилиш ва бошқариш, қуритиш жадаллигини ошириш мақсадида комбинациялашган қуритиш усулидан фойдаланиш, қуритишнинг энергия самарадор усул ва конструкцияларини ишлаб чиқиш муҳим аҳамият касб этади. Қишлоқ хўжалигида этиштирилган дон ва уруғларни ўз вақтида қуритиш уларнинг қайта ишлашдаги йўқотишларини камайтиради. Шу сабабдан, дон ва уруғлар таркибидағи моддаларни юқори даражада сақлаган ҳолда тез ва сифатли қурита оладиган, содда конструкцияга эга, хавфсиз, стационар ва кўчма ихчам қуритиш аппаратларини яратиш ва амалиётга жорий қилиш долзарб вазифалардан ҳисобланади.

Республикада етиширилаётган кунгабоқар донларини сифатли куритиш ва куритиш харажатларини камайтиришни таъминлайдиган замонавий, юқори самарадорликка эга, энергия тежамкор қурилма ва технологияларни амалиётга жорий қилишга алоҳида эътибор қаратилмоқда. Бу борада 2022-2026 йилларга мўлжалланган янги Ўзбекистоннинг тараққиёт стратегиясида, жумладан, “..., илм-фан ва инновацияга асосланган агрохизматлар кўрсатиш тизимини такомиллаштириш, агросаноат корхоналарини хомашё билан таъминлаш ва ишлаб чиқариш ҳажмини 1,5 баравар ошириш” вазифалари белгилаб берилган [1]. Мазкур вазифаларни бажаришда, жумладан, ихчам, кўчма, энергия тежамкор, фойдаланишга қулай ва таннархи арzon бўлган куритиш қурилмаларидан фойдаланган ҳолда кунгабоқар донларини сифатли қуритиш ҳисобига, ундан олинадиган мой ва бошқа маҳсулотлар миқдорини орттириш ва таннархини арzonлаштириш долзарб масалалардан ҳисобланади.

Ўзбекистон Республикаси Президентининг 2022 йил 28 январдаги ПФ-60-сон “2022-2026 йилларга мўлжалланган янги Ўзбекистоннинг тараққиёт стратегияси тўғрисида”ги Фармони, 2016 йил 23 декабрдаги ПҚ-2694-сон “2016-2020 йиллар даврида қишлоқ хўжалигини янада ислоҳ қилиш ва ривожлантириш чора-тадбирлари тўғрисида”ги, 2017 йил 7 июлдаги ПҚ-3117-сон “Қишлоқ хўжалигида машинасозлик соҳаси илмий-техникавий базасини янада ривожлантириш чора тадбирлари тўғрисида”ги, 2018 йил 29 майдаги ПҚ-3751-сон “Қишлоқ хўжалиги маҳсулотлари ишлаб чиқарувчиларга механизация ва сервис хизматларини кўрсатиш самарадорлигини ошириш бўйича қўшимча чора-тадбирлар тўғрисида” ги президент Қарорлари ҳамда мазкур фаолиятларга тегишли бошқа меъёрий-хуқуқий ҳужжатларда белгиланган вазифаларни амалга оширишга ушбу диссертация тадқиқоти муайян даражада хизмат қиласи.

Йигиштириб олинган қишлоқ хўжалиги дон маҳсулотларини сифатли қайта ишлаш техника ва технологияларини ишлаб чиқиш бўйича сўнгги йилларда олиб борилган тадқиқотларга тааллуқли илмий-техник адабиётлар

таҳлили мазкур соҳада аҳамиятга эга назарий ва амалий натижаларга эришилганлигидан далолат беради. Қишлоқ хўжалиги дон маҳсулотлари қуритиш қурилмаларининг янги конструкцияларини ишлаб чиқишга бағишлиланган кўплаб ишлар нашр этилган, қуритиш технологиялари ишлаб чиқилган, ҳал этилган амалий масалалар кўлами ортиб бормоқда. Уруғ ва дон маҳсулотларини қуритиш ва қайта ишлаш технологияси билан таъминланишига оид масалаларни ечишга хорижлик олимлардан А.Н. Ченин, И.Г. Лысых, А.В. Лыков, В.В. Кафаров, П.Д. Лебедев, А.С. Гинзбург ва бошқалар, мамлакатимиз олимларидан Н.Р. Юсупбеков, Ҳ.С. Нурмуҳаммедов, Дж.Н. Мухитдинов, Дж.П. Мухитдинов ва бошқалар ўзларининг ҳиссаларини қўшишган.

Улар томонидан дон қуритиш қурилмаларининг янги конструкцияларини ишлаб чиқиш, уларнинг параметрларини ўрганиш ва асослаш, қуритиш самарадорлигини ошириш, қуритиш учун истиқболли технология ва техник воситаларни ишлаб чиқаришни ривожлантириш, қуритиш жараёнларини оптималлаштириш, симуляциялаш, қуритиш жараёнида иссиқлик ва масса алмасинишини жадаллаштириш муаммоларини ечишга бағишлиланган ишланмалар бўйича эришилган натижалар ишлаб чиқаришга жорий этилган. Ушбу муаммони ҳал қилишда сезиларли ютуқларга эришилганига қарамай, дон ва уруғларнинг алоҳида турлари учун мўлжалланган комбинациялашган қуритиш қурилмалари ва технологияларини ишлаб чиқишга етарли эътибор берилмаган.

Ушбу монографияни ўқиб, ўрганиб тақриз ёзиб берган т.ф.д., Б. Шакиров ва т.ф.ф.д. Б. Беккуловларга самимий миннатдорчилигимизни изхор қиласиз.

I-БОБ. КУНГАБОҚАР УРУҒЛАРИНИ ҚУРИТИШНИНГ ҲОЗИРГИ ҲОЛАТИ ВА ҚУРИТИШ ҚУРИЛМАЛАРИНИНГ ТАҲЛИЛИ

1.1-§. Кунгабоқар уруғларини қуритишнинг аҳамияти.

Маълумки, йилдан йилга бутун дунёда қишлоқ хўжалиги озиқ овқат маҳсулотларига талаб ортиб бормоқда. Хусусан, дон маҳсулотларига талаб жуда юқори. Қишлоқ хўжалиги донларини кўп миқдорда ва сифатли етиштириш ҳозирда жуда долзарб бўлиб турибди. Донларни етиштириш маълум босқичлардан иборат бўлиб, ҳар бир босқич муҳим аҳамиятга эга. Ушбу босқичлардан бири йигиштириб олинган қишлоқ хўжалиги донларини қуритиш жараёнидир.

Қишлоқ хўжалиги донларини қуритиш уларни узоқ муддат сифатли ҳолатда сақлаш учун муҳим ҳисобланиб, жараён қуритиш қурилмаларида амалга оширилади. Дон хусусиятларини ҳисобга олиб қуритиш сақлаш муддатини узайтиради ва ҳаражатларини камайтиради [2-6]. Қуритиш жараёнининг яна аҳамиятли жиҳати шуки, донлардан узоқ муддат сифатли хом ашё сифатида фойдаланиш имконини беради.

Кунгабоқар дунёдаги энг кўп етиштириладиган мойли дон ўсимликларидан бири ҳисобланиб, асли ватани Шимолий Америка. Ҳозирда кўплаб давлатларда турли иқлим шароитларида етиштирилади, масалан, Россия, Украина, Хитой, Франция, Аргентина, АҚШ. Маълумотларга кўра, сўнгги беш йиллиқда қунгабоқар ер юзидағи 72 та мамлакатда ўртача 25-26 млн. гектардан ортиқ майдонда етиштирилиб, ўртача 40,5-42,0 млн. тонна ҳосил етиштирилган [7]

Кунгабоқар уруғи таркибида 30–60 фоиз мой, 16 фоиз оқсил, мой таркибида 62 фоизгача биологик фаол линол кислотаси, А, Д, Е, К витаминалари бўлади. Озиқлилиги бўйича мойининг оғирлик бирлиги картошканинг 8, ноннинг 4, шакарнинг 2,3 бараварига tengdir. Мойининг асосий қимматлилиги инсон озиқланиши зарур бўлган фосфатидлар, ёғни эритувчи А, Д ва Е витаминларга бойлигидир. Мойининг таъми, мазаси

туфайли дунёда энг кўп истеъмол қилинадиган мойлар сирасига киради [8-17].

Мойли экинларга мансуб бўлган кунгабоқар уруғлари далалардан йиғишириб олингандан сўнг, ўзининг паст оқувчанлиги, юқори намлиги, қобиғининг механик мустаҳкамлиги пастлиги, уруғ таркибининг турли хиллиги (ядро, мева ва уруғ қобиғининг мавжудлиги), уруғларнинг катталиги, вазни ва намлиги, мева қобиғи мустаҳкамлигининг пастлиги, намлик инерцияси, паст иссиқлик ўтказувчанлиги билан ажралиб туради [18-26].

Йигиб олинган кунгабоқар уруғларининг намлиги 15% дан 50% гача бўлиши мумкин. Кунгабоқар уруғининг сифатини сақлаб қолиш ва донда салбий физик-кимёвий ўзгаришларнинг олдини олиш учун ўз вақтида қуритиш зарур [27].

Янги йигиб олинган мойли уруғларни, хусусан, кунгабоқар уруғларининг ўзига хос хусусияти сақлаш вақтида уларнинг бекарорлиги ошиши ҳисобланади. Қуритиш мойли уруғларни узок муддатли сақлашга тайёрлашнинг асосий усулларидан бири бўлиб, энергия сарфига ва мойли уруғларни қайта ишлаш сифатига таъсир қиласи. Қуритишнинг мақсади хом ашёни биологик, физик-кимёвий ва механик хусусиятлари яхшиланган саноат материалига қайта ишлашдир [28, 29]. Кунгабоқар уруғини тижорат ва уруғлик мақсадларида қуритиш учун термал ва намлик шароитлари бўйича оқилона тавсиялар йўқ, шунинг учун уларни қуритиш учун дон қуритгичлар ишлатилади.

Уруғларнинг бир хилда қуритилиши уларни ўз-ўзидан қизишини ва бошқа ёмон оқибатларни олдини олган ҳолда сақлаш муддатини белгилайди [30,31]. Шуни алоҳида таъкидлаш жоизки, кунгабоқар уруғлари юқори ҳарорат (120°C дан юқори ҳарорат)да қиздирилганда уруғ қобиғининг ҳаддан ташқари қуриши оқибатида шикастланиш ортади. Қобиғи шикастланган кунгабоқар уруғлари ёмон сақланади ва тезда ёмонлашади. Бироқ, кунгабоқар уруғларини 70°C дан юқори ҳароратда қуритиш ёғ сифат

кўрсаткичларига фойдали таъсир кўрсатади [32]. Шуни инобатга олиб кунгабоқар уруғларини 80-100°C ҳароратларида қуритиш мақсадга мувофиқдир.

Хом ашёни сақлаш пайтида уни комплекс қайта ишлашга имкон бермайдиган қўшимча йўқотишларга заиф моддий-техник база ва ривожланмаган инфратузилма киради. Шу боис, кунгабоқар уруғлари учун маълум ихтисослаштирилган қуригичларни такомиллаштириш ва янгиларини яратиш, ёқилғи-энергетика салоҳиятидан оқилона фойдаланган ҳолда юқори сифатли, биологик қимматли, экологик тоза, органолептик, озукавий ва уруғлик сифатларини сақлаб қола оладиган қишлоқ хўжалиги маҳсулотларини етказиб бериш муаммоси долзарб илмий муаммо ҳисобланади. Бу кўрсаткичлар қўп жиҳатдан иссиқлик билан ишлов бериш сифатига боғлиқ [33, 34]. Шу билан бирга, нафақат якуний маҳсулот сифатини ошириш, балки аппаратларнинг унумдорлигини ошириш, уларнинг қўп қиррали бўлиши ва харажатларни камайтириш вазифаси ҳам ҳал қилиниши керак.

Турли хил материаллар қуритилганда, ҳар бирининг хусусиятларини батафсил ўрганишни талаб қиласди, бу қуритиш мосламасини ва қуритиш технологиясини тўғри танлаш учун зарурдир. Ҳозирги вақтда уларнинг ҳар бири учун жуда қўп турли хил қуритиш технологиялари ва аппаратлари мавжуд [35], бу қиёсий таҳлилни ва бундан ташқари, уларни тавсифлашни жуда қийинлаштиради.

Дон ва уруғларни қуритиш муҳимлигидан қуритиш қурилмаларининг муҳимлиги ўз ўзидан маълум бўлади. Қуритиш қурилмаларини ўрганиш ва таҳлил қилиш уларни турли синфларга ажратиш билан бошланади. Қуйида қуритиш қурилмаларининг синфланиши ҳақида маълумот берилади.

1.2-§. Кунгабоқар уруғларини қуритиш қурилмаларининг синфланиши.

Қуритиш қурилмаларининг янги конструкцияларини ишлаб чиқиша уларнинг синфланишини билиш жуда муҳим ҳисобланади. Чунки ҳар бир

куриткичда муайян усул ёки усуулар қўлланилади. Мазкур усуулар ўзининг камчилик ва афзаллигига эга бўлиб, бундан қурилманинг ҳам афзаллиги келиб чиқади, ёки камчилиги қўзга ташланади. Бундан ташқари қуриткич қурилмалар ҳақида батафсил маълумотга эга бўлиш ёки уларни таҳлил қилиш учун ҳам синфланишни билиш, ўрганиш зарур. Қуритиш қурилмаларини қанча кўп турларга ажратиш қуритиш ҳақидаги билимларни шунчага бойитади.

Ҳозирда қуритиш усууларини чуқур ўргангандан ҳолда уларни бир қурилмада бирлаштиришга алоҳида эътибор қаратилмоқда. Қуритишнинг бундай тури комбинациялашган усул дейилади.

Замонавий қуритиш қурилмалари қўйидаги хусусиятларга кўра синфланади [36, 426-бет, 37, 426-бет, 38; 39, 208-бет, 40, 41-43 бетлар, 41, 7-13бетлар, 42]:

- қуритиладиган материалга иссиқлик бериш усули бўйича – конвектив, контактли, радиацион;
- қуритиш камерасидаги ҳаво босимига кўра – атмосферали ва вакуумли;
- ишлаш тавсифи бўйича – даврий ва узлуксиз таъсирли;
- қурилмани қуритиш агенти турига кўра;
- қуритиш агентининг циркуляцияси бўйича – табиий ва мажбурий циркуляцияли қурилмалар;
- қуритиш агентининг материалга нисбатан ҳаракати тавсифи бўйича – тўғри оқимли ва қарши оқимли;
- қуритувчи ҳавонинг қиздириш усули бўйича – ёнишли иссиқлик генератори, сувли калориферли, буғли калориферли, электр қиздиришли, комбинациялашган.
- қуритувчи ҳавонинг фойдаланиш карралилиги бўйича – бир ва кўп карралик.
- тузилиш хусусиятлари бўйича – шахтали, мавхум қайнаш қатламли, инфрақизил нурли, барабанли, пневмоқуриткич, лентали ва х.з.

Қатламдаги қуритиш жараёнининг асосий қонуниятларига таъсир қилувчи дон қатламишининг ҳолати қуритиш қурилмасининг асосий характеристикасини белгилайди.

Нам материалларни конвектив қуритиш пайтида намлик материалда материал бўлакларининг марказидан атроф-муҳитга чиқиш йўналишида ҳаракат қиласди, бу намлик материал сиртида қуритиш воситаси орқали чиқариб ташланади. Махсулот ичидаги намликнинг ҳаракати ҳарорат градиенти таъсирида ҳам содир бўлади ва иссиқлик оқимининг йўналишига эга бўлиб, иссиқлик намлик ўтказувчанлигининг таъсири намоён бўлади. Қуритишнинг у ёки бу усулини кўллаш натижасида намлик ўтказувчанлиги ва иссиқлик намлик ўтказувчанлиги натижасида намликнинг ҳаракат йўналишлари бир-бирига тўғри келиши мумкин, сўнг намликнинг буғланиш жараёни анча жадалроқ давом этади ёки намлик ўтказувчанлик натижасидаги намлик буғланиши иссиқлик намлик ўтказувчанлик натижасидаги намлик буғланиш жараёнини секинлаштириши мумкин [23, 26; 36, 435-437 бетлар,]

Намлик йўналишларининг мос келишини таъминлаш учун уруғнинг сирт ҳарорати ядро ичидаги ҳароратдан паст бўлиши керак. Акс ҳолда, қуритиш сезиларли даражада секинлашади.

1.3-§. Кунгабоқар уруғларини қуритиш усуллари ва қурилмаларининг таҳлили. Мос қуритиш қурилмасини танлаш.

Ҳозирда қишлоқ хўжалиги дон ва уруғ маҳсулотлари, ҳусусан кунгабоқар уруғларини қуритишнинг бир қанча усуллари мавжуд. Ҳар бир усул донларга иссиқликни бериш технологиясига қараб бир-биридан фарқ қиласди. Усуллар ичida конвектив усул энг қўп тарқалган усул ҳисобланиб, мазкур усулда қуритиш жараёни қуритиш агенти (қизиган ҳаво ёки ҳаво-газ аралашмаси)ни дон ва уруғ қатламлари орасидан ўтказиб, намликни буғлантириш ҳамда буғланган намликни ҳаво оқими орқали қуритиш камерасидан ташқарига чиқариб юбориш орқали амалга оширилади. Конвектив усул ёрдамида дон қатламини қуритиш ва совутиш имконияти

мавжуд. Ушбу усулда қуритиш агентини дон оқими йўналиши бўйича, унга қарама-қарши йўналишда, кўндаланг йўналишда ва аралаш қўринишда юбориш мумкин.

Кондуктив (контактли) усулда дон ва уруғлар қиздирилган юзага тегиб туради ва иссиқлик бевосита шу қизиган юзадан иссиқлик ўтказувчанлик орқали берилади. Ушбу усулда қуритгичдан сув буғини чиқариб ташлаш учун ҳаво талаб қилинади. Ушбу усулда иссиқлик узатиш коэффициенти конвектив қуритишга қараганда анча юқори. Бу хусусият ушбу усулнинг афзаллиги ҳисобланади. Шу афзаллиги билан дон қатламининг паст ҳароратида кам энергия сарфлаб уруғ ва донларни яхши сифатда қуритиш мумкин. Лекин, ушбу усулда уруғ ва донларни ҳажм бўйича текис қуритиш таъминланмайди, самарадорлиги нисбатан паст. Шунинг учун бу усул кам қўлланилади.

Радиацион усул бу табиий қуритиш усули бўлиб, уруғ ва дон маҳсулотларини қуёш нури ва табиий қуритиш агенти таъсирида кенг майдонга ёйиб чиқсан ҳолда қуритиш тушунилади. Ёйилган уруғ ва донларнинг қалинлиги қанча кичик бўлса, қуритиш жараёни шунча самарали кечади. Ушбу усул энг арzon қуритиш усули бўлишига қарамасдан, уруғ ва донларни ёйиш ва йиғишириш оворагарчилиги, қуритиш учун узоқ вақт талаб элиши каби камчиликларга эга.

Инфрақизил нурли қуритиш усули мазмунан радиацион усул билан мос келади, яъни табиий қуёш нуридаги мавжуд инфрақизил нурлар электр токи орқали ишлаб чиқилади. Ушбу инфрақизил нурларни уруғ ва донлардаги сув ўзига ютади, нурлар уруғларнинг ичига кириб иссиқликни пайдо қиласди. Инфрақизил нурли қуритиш усулида қуритилаётган маҳсулотга бериладиган иссиқлик оқими конвектив усулга нисбатан бир неча ўн марта кучлироқ берилади. Лекин, ушбу усулда қуритилаётган уруғ ва дон уюмларини қуритиш вақтидаги қалинлиги алоҳида аҳамиятга эга.

Сублимацион (молекуляр) қуритиш усули музлатилган маҳсулотдан вакуум орқали намликни чиқариш усули ҳисобланади. Ушбу усулда

намлики буғлатиши учун зарурий иссиқлик қуритилаётган маҳсулотдан чиқарилади ва маҳсулотдаги намлик музлайди. Сублимацион қуритиш усули сувнинг қаттиқ ва газсимон агрегат ҳолатда бўла олишига асосланган бўлиб, музлаган маҳсулотга иссиқлик берилганда муз буғланиб сув буғига айланади. Маҳсулотдаги молекуляр тузилиш сақланиб қолади.

Микротўлқинли қуритиш усули қуритиш электр токи билан амалга ошириладиган усул ҳисобланаб, уруғ ва дон маҳсулотларининг қуритилиши ўта юқори частотали (ЎЮЧ) электромагнит майдонда амалга оширилади. Майдонда ҳосил бўлган катта иссиқлик уруғ ва донларни қуритади. Уруғ ва донларнинг молекулалари қутбланган, заррача ишқаланиши билан биргаликда тебранувчан ҳаракатни амалга оширади. Бу усулда ҳарорат ва намлик градиенти ўзаро мос келади. Электр энергиясини электромагнит майдон энергиясига айлантириб бериш фойдали иш коэффициентининг пастлиги ушбу усулнинг асосий камчилиги ҳисобланади. Шу сабабдан микротўлқинли қуритиш қурилмаларини 50% дан юқори бўлмаган намлика фойдаланиш мақсадли ҳисобланади.

Юқорида келтирилган қуритиш усуллари ўзининг қатор афзалликларига қарамасдан маълум камчиликларга эга ҳам бўлмоқда. Шуни инобатга олиб, ҳозирги вақтда турли қуритиш усулларини ўзида бирлаштирган комбинациялашган қуритиш усуллари ишлаб чиқилмоқда ва ривожланмоқда. Масалан, конвектив усулни контактли, радиацион ва электр токи ёрдамида қуритиш усуллари билан биргаликда қўллаш мумкин. Комнациялашган усулларни қўллаш қуритиш жараёнини сезиларли тезлаштириб беради, истеъмол қилинаётган энергияни тежайди, жараённи бошқаришнинг янада мослашувчан кўринишига эга бўлинади, қуритилаётган маҳсулотнинг аҳамиятли хусусиятлари жуда яхши сақланиб қолади.

Қуритиш усулларининг афзаллик ва камчиликлари қуритиш қурилмаларига ҳам таъсир этади. Куйида уруғ ва донларни қуритишда кенг ишлатиладиган қуритиш қурилмаларини кўриб чиқамиз.

1. Шахтали қуриткич.

Шахтали қуриткичлар вертикал жойлашган бўлиб, қуритиш жараёни гравитацион майдонда аста-секин тушадиган уруғларнинг зич қатламида амалга оширилади. Уруғлар қуриткичда қуритиш агенти бериладиган ва чиқариб юбориладиган шахмат тартибидаги горизонтал жойлашган қутилар орқали оқиб тушади [43].

Ушбу турдаги қуритгичларнинг ўзига хос хусусияти конструкциясининг соддалиги, юқори унумдорлилиги, фойдаланиш қулайлиги ҳисобланади [44, 45]. Қурилма стационар ва мобиљ кўринишларда бўлиши мумкин [46]. Ушбу қуритгичларнинг жуда кўп турлари мавжуд бўлиб, улар тўғри оқимли ва айланмали (рециркуляциявий) турларга бўлинади [40, 50-бет].

Иссиклик ва энергия сарфи бўйича яхши кўрсаткичларга эгалиги шахтали қуриткичларнинг афзаллиги ҳисобланади, лекин, улар қуйидаги мавжуд камчиликларга эга: юқори металл сарфи, дон қатламининг нотекис исиши, оқсил миқдори ва сифати ҳамда доннинг уруғлик сифатининг пасайиши, намлик билан тўйинганлиги сабабли материал қатлами бўйлаб ҳаракатланаётганда газни қуритувчи восита сифатида ўз хусусиятларини йўқотиши эҳтимоли [47], газ ва доннинг нотекис ҳаракати туфайли қуритиш газининг ҳар бир донга бир текис тегиб ўтишининг иложи йўқлиги туфайли нотекис қуритишни юзага келиши [48]. Бундан ташқари, қуритишдан олдин донни яхшилаб тозалаш зарурлигини, қурилмани тиқилиб қолганлардан тозалашнинг мураккаблиги, юқори намлика эга уруғларни такрорий қуритиш зарурлигини таъкидлаш мумкин [45, 49].

Ушбу турдаги қурилмаларнинг самарадорлигини ошириш масалаларини ҳал қилишга қаратилган бир қатор ихтиrolар ва патентлар мавжуд [50-53]. Шундай қилиб, [54] да совутиш устунларида донни совутишда қуритгичнинг пастки иш камерасидан қўшимча қуритиш зonasи сифатида фойдаланиш таклиф қилинди. [55] да сочилувчан материалларни қуритиш сифатига қуритишнинг ҳар хиллигини камайтириш, материал

оқимини инверсиядан олдин икки қисмга бўлиш, яъни уни механик аралаштириш ва тортишиш ҳаракати тезлигини назорат қилиш орқали эришиш таклиф этилади. [56] да [57] да тасвирланган қурилманинг камчилиги таклиф этилади, бу эса қурилманинг жуда катта габарит ўлчамларга эга эканлиги билан боғлиқ, шахта-модулли конструкция донни иситиш ва совутишнинг бир хиллигини таъминламайди, катта энергия харажатлари мавжуд, қуритиш агентининг атроф-муҳитга чиқарилиши туфайли атроф-муҳитнинг ифлосланишини дон каналларининг ташқи деворларини тешиши, қайта ишланган иссиқлик ташувчини рециркуляция қилиш учун ташқи корпусни ўрнатиш орқали бартараф қилиш керак, иссиқлик ташувчиларни тозалаш учун эса циклонлар ўрнатиш керак, шундан сўнг қайта ишланган иссиқлик ташувчиларининг оқимлари мос равища қуритиш ва совутиш зоналарига қайтарилиб, рециркуляция контурларини шаклланиши билан энергия сарфи камаяди. [58] да қуритиш камерасида алмашиниб келадиган қаторларда жойлашган таъминот қутиларини таъминот камераси билан очик кўндаланг юза орқали бўлган улаш билан унумдорликни ошириш, элеваторларнинг баландлигини камайтириш орқали дон қуритгичининг ўлчамларини камайтириш, шахтали дон қуритгичининг барқарорлигини ошириш, шунингдек ўрнатиш харажатларини камайтириш усули таклиф этилади. [59] га кўра энергияни тежашга ва иссиқлик элткични тўлиқроқ қайта ишлашга қурилмани ички ажратувчи қилиндр, ҳаракатланувчи цилиндр-ростлагич ва ҳаракатланувчи ҳалқа ёрдамида жиҳозлаш орқали эришилади.

Шахта типидаги қуритиш қурилмалари бўйича ўтказилган таҳлил шуни кўрсатадики, ушбу турдаги қурилмалар доимий равища таомиллаштириб борилмоқда. Бироқ, ушбу турдаги қурилмаларга хос бўлган асосий камчиликлар ҳали ҳам сақланиб қолмоқда:

- уруғларни юқори намлика тақорорий қуритиш зарурати;
- дон қатламини нотекис қиздириш;

- қиздирувчи газ намлик билан түйинганлиги сабабли материал қатлами бўйлаб ҳаракатланаётганда ўзининг қуритувчи восита сифатидаги хусусиятларини йўқотиш эҳтимоли;
- газ ва доннинг нотекис ҳаракати туфайли нотекис қуритиш;
- қуритишдан олдин донни яхшилаб тозалаш зарурати;
- доннинг уруғлик хусусиятини камайтириш;
- ўлчамлар катталиги;
- юқори металл сарфи ва бошқалар.

2. Конвейерли қуриткичлар. Конвейерли қуриткичлар ичида конвейерлар жойлашган камералардан иборат. Қуриткичлар шамоллатиш жиҳозлари билан таъминланган. Қуриткичларда маҳсулотни қуритиш атмосфера босимида узлуксиз амалга оширилади. Қуритиш агенти сифатида қуритилаётган материал йўналишига қарама-қарши ёки ён томондан ҳаракатланувчи, буғда ёки ёнувчи калориферда қизиган, тоза ҳаво олинади. Лентанинг бир учига тушаётган нам материал лента бўйлаб ҳаракатланади, қуритилган қатлам лентанинг қарама-қарши учидан чиқарилади.

Конвеерли қуритгичлар шахтали қуритгичларга нисбатан бир қатор афзалликларга эга: ҳар хил ўлчамдаги турли хил материалларни қурита олиш имконияти, қуритиш жараёнида дон қатламларини аралаштириш имконияти, қуритгичнинг конструкцияси қуритиш жараёнини визуал кузатиш ва уни барқарорлаштиришга имкон беради. Бирок, улар катта ҳажмли, паст унумдорликка ва ўзига хос юқори иссиқлик истеъмолига эга, ленталарнинг бузилиши ва чўзилиши техник хизмат кўрсатишнинг мураккаблигини келтириб чиқаради.

Адабиётларда ушбу турдаги қуритгичларнинг ишлашини яхшилашга қаратилган тадқиқотлар натижалари мавжуд. [60] да иссиқликнинг солиштирма сарфини камайтириш мақсадида аппаратда бункер-дозаловчи, қуритиш зонасида автоматик нурланиш қувватини бошқариш тизимига ега ИҚ нурлаткич ўрнатилган ва қуритиш жараёнини автоматик бошқариш тизими кўзда тутилган. Қуритиш зонасига вентиляторли ҳаво канали

ўрнатилиб, қуриши зонасидан қизиган ҳаво етказиб берилади. [61] да қуриши камераси қуриши, совутиш ва қуриткичдан кейинги зоналарга бўлинади, қуриткич иккита ИҚ нурлаткич, материал намлигига боғлиқ бўлган нурланиш қувватини автоматик ростлаш тизими, намлик ва ҳарорат датчиклари, бункер-дозаловчи ва сочилувчан материал қатлами қалинлигини ростловчи механизм билан таъминланган. [62, 63] да қуриши самарадорлигини ошириш учун қуриши мосламаси бир-бирига симметрик тарзда вентилятор куракларининг қарама-қарши томонларига ўрнатилган доимий магнитлар билан бирга ўрнатилган иситгич вентиляторлари бўлган транспортёр билан тўлдирилган.

Ушбу турдаги аппаратларда қуриши жараёнини такомиллаштиришга қаратилган тадқиқотлар асосида қуритилаётган дон қатламининг дастлабки намлиги ва қалинлигига ва қуриши мосламасининг интеллектуал бошқарув тизимиға қараб керакли қуриши ҳарорати режимини башорат қилишга имкон берадиган математик моделлар яратилди [64-68]. Ушбу турдаги қуритгичларнинг самарадорлигини оширишга қаратилган муайян ўзгаришларга қарамай, бу камчиликлар ҳали ҳам сақланиб қолмоқда.

3. Мавхум қайнаш қатламли қуритгич бу материални жадал аралаштирувчи, тезлашган иссиқлик ва масса алмасинишга эга қуриши аппаратининг прогрессив тури бўлиб, бу материал зарралари ва қуриши агенти ўртасидаги иссиқлик ва масса алмасинув юзасини сезиларли даражада оширишга имкон беради [69]. Ушбу турдаги қуритгичлар камералар сони, жараён режими, қуриши камерасининг конфигурацияси, гидродинамик режим билан фарқ қиласи [36, 454-455 бетлар].

Бундай турдаги қуриткичларнинг афзаллиги материал вақтини ростлаш имконияти ҳисобланади. Материалнинг қатламдаги ўртача бўлиш вақти унинг массасини ифодаловчи қатлам баландлигига боғлиқ.

Агар мавхум қайнаш қатламининг диаметри ва баландлигининг ўзгариши иссиқлик ўтказувчанлик коефициентига таъсир қиласа, унда мавхум қайнаш қатлами ҳароратининг ошиши кичик заррачаларнинг

иссиқлик үтказувчанлик коефициентининг ошишига олиб келади, катта зарралар учун эса бу коефициент камаяди [70].

Мавхум қайнаш қатламли қуритгичларнинг самарадорлигини ошириш учун комбинациялашган қуритгичлар ҳам таклиф этилади [71-76].

[77] мақолада нейрон тармоқларидан фойдаланган ҳолда, турли хил ёғли материалларнинг қуритиш натижасини башорат қилишга имкон берадиган математик модел ишлаб чиқилган. Эҳтимол, ушбу модел кунгабоқар уруғларини қуритиш жараёнини ўрганиш учун ҳам ишлатилиши мумкин.

Бир қатор патент тадқиқотлари [78-85] мавжуд бўлиб, уларда пировардида қуритиш учун энергия сарфини камайтиришга қаратилган аппаратлар конструкциясини ва қуритиш технологиясини такомиллаштириш бўйича таклифлар мавжуд.

Мазкур кўринишдаги қуритишнинг ўзига хос хусусияти туфайли заррачаларнинг бутун юзаси буғланиш майдонидан иборат бўлади. Бу юқорида тавсифланган қуритиш турларига таққослагандан жараённинг энергия сигимини камайтириш учун далил ҳисобланади. Бироқ, заррачаларнинг ташқи юзаси ва ядро атрофидаги соҳа ўртасидаги иссиқлик ва масса алмашинув жараёни одатдаги конвектив қуритишга мос келади.

Қуритиш бошида материал зарралари ва иссиқ ҳаво ўртасидаги ўзаро таъсир жуда самарали давом этади, жараён етарли даражада юқори тезликда, кам энергия сарфи билан давом этади. Бироқ, материалнинг зарралари қуриганида, унинг иссиқлиги ва масса үтказувчанлиги пасаяди, чуқур кириб борадиган энергия миқдори камаяди, аксарияти ташқарига қайта чиқарилади, бу эса қуритиш тезлигининг кескин пасайишига, энергия сигимининг бир неча бор ошишига, қуритиш вақтининг ошишига олиб келади, маҳсулот сирт қатламларининг маҳаллий қизиб кетиши мумкин, бу маҳсулот сифатининг пасайишини келтириб чиқаради [86].

4. Пневматик қуриткич. Пневматик қуритгичлар донадор, майда дисперс, кристалли ва толали материалларни қуритиш учун ишлатилади.

Ушбу қурилмаларда қуритиш жараёни юқори интенсивлик билан давом этади. Пневматик қуриткич вертикал жойлашган трубадан (25 метргача) иборат. Бункердан қуритилаётган материал таъминловчи орқали қуритиш трубасига берилади ва ҳаво оқими орқали вентилятор томонидан шамол берилади ва иситгичда иситилади. Ҳаво қуритилган материални йиғувчи-амортизаторга, сўнgra циклонга ташыйди, у ерда материал заррачаларидан ажратилади. Қуритилган материал тўкиш қурилмаси орқали чиқарилади. Чангдан яқуний тозалаш чиқинди ҳаво фильтр орқали ўтиши, ундан кейин атмосферага чиқарилиши билан амалга оширилади.

Қуритилган материалнинг заррачалари қизиган ҳаво оқимида кўтарилиш тезлигидан ортиқ тезликда (10 дан 30 м/сек гача) ҳаракатланади. Шунинг учун бундай типдаги қуриткичларда материалнинг бўлиш вақти сонияларни ташкил этади. Трубанинг 1/5 қисмида барча намликнинг 50% дан ортиғи чиқариб юборилади, асосан материалнинг сиртдаги намлиги чиқарилади, жараённинг ҳаракатлантирувчи кучи ҳам кескин ўзгаради, иссиқлик элткич ҳарорати тез пасаяди [87].

Катта зарралар ва боғланган намликка эга бўлган материаллардан намликни олиб ташлаш учун комбинацияланган қуритгичлар ишлатилади, масалан, ишлаб чиқариш унумдорлигини оширишга ёрдам берадиган пневматик конвеерлар [88-94]. Ушбу турдаги қуритгичлар, уларда қуритиш жараёни қандай ўтиши ҳакида батафсил маълумот, жараённи тавсифловчи физик параметрлар ҳакида маълумот мақола [95] да батафсил келтирилган.

Пневматик қуритгичлар ихчам, конструкцияси ва ишлаш принципи жиҳатидан содда, аммо қуритгич материалининг тез эскириши, қуритгичнинг пастки қисмини вақти-вақти билан тозалаш зарурати, юқори энергия сарфи ва конвектив қуритишга хос бўлган бошқа камчиликлар пневматик қуритгичларнинг фойдаланиш доирасини чеклайди.

5. Гелио қуриткич.

Қишлоқ хўжалиги маҳсулотларини очик ҳавода қуритиш материални одамлар томонидан доимий аралаштиришни талаб қиласди.

Доимий ҳароратда қуришишни ташкил қила олмаслик, ифлосланиш эҳтимоли, мөғорланиш, қушлар томонидан чўқиланиш, ҳашаротларнинг шикаст етказиши, ёғингарчилик таъсири маҳсулотнинг нотекис ва тўлиқсиз қуришига, унинг бузилишига ва катта йўқотишларга олиб келади. Буларнинг барчаси қуёш қуригичларининг маҳсус турларини яратиш учун сабаб ҳисобланади.

Худуднинг иқлим хусусиятлари, қуритиладиган материал тури ва қўшимча энергия нархи қуриши усулинин танлашни белгилайди. Гелио қуригичларда ҳарорат $60\ldots75^{\circ}\text{C}$ га етиши мумкин. Қуёш қуригичлари тўғридан-тўғри ва билвосита таъсирли қуёш қуригичларига бўлинади. Тўғридан-тўғри таъсирли қуригичларда қуёш энергияси камерага жойлаштирилган маҳсулотнинг ўзи ва шу камеранинг деворлари томонидан ютилади [96].

Камеранинг юқори ва жанубий ён қисмлари рангли шаффофф изоляцион материал билан қопланган, камеранинг иссиқлик изоляциясига ҳаво кириши учун тирқишлир қилинган, материални жойлаштириш учун платформа тешилган. Нам ҳаво гелио қуригичдан шимолий деворнинг юқори қисмидаги тирқиши орқали чиқариб юборилади. Қуёш қуригичларини модернизация қилишга бағишиланган бир қатор тадқиқотлар [97-103] мавжуд. Ушбу турдаги қурилмаларни ишлатиш натижасида қуриши самарадорлиги ошади [104], қуриши вақти камаяди, қуритилаётган материалнинг сифат кўрсаткичлари ошади, аммо улардан фойдаланиш коэффициенти жуда паст (худуднинг иқлим шароитига қараб, бундай қуёш қуригичларидан йилига атиги бир неча ҳафта фойдаланиш мумкин).

6. Терморадиацион қуригичлар. Инфрақизил нурланиш орқали материалга иссиқлик оқимларини юбориш конвектив ёки контактли қуриши усулларида берилган иссиқлик оқимларидан ўнлаб марта юқори бўлиб, материалдан намлик буғланишининг жадаллиги сезиларли даражада ошади. Бироқ, қалин қатламли материалларни қуриши тезлиги иссиқлик юбориш тезлиги билан эмас, балки намликнинг ички тарқалиши тезлиги, шунингдек

тайёр маҳсулотнинг сифат талаблари билан белгиланади [36, 457-458 бетлар, 69].

Куритишнинг дастлабки момента ида юқори ҳарорат градиенти таъсирида, у намлик ҳаракати йўналишига тўғри келади, яъни намлик атрофдан материалга чуқур ўтади. Бироз вақт ўтгач, намлик градиентининг устунлиги туфайли намлик ҳаракатининг йўналиши тескари томонга ўзгаради, шу пайтдан бошлаб намлик материалдан буғлана бошлади. Шунинг учун юпқа қатламли материалларни қуритиш учун терморадиацион қуритиш афзалроқдир [69].

Инфрақизил нур қуригичлар электр токи (қаршилик элементлари, электр спираллар ва бошқалар) ёки табиий газни ёқиши орқали олинган энергия манбалари билан жиҳозланган. Бу ҳақда батафсил маълумот [70, 450-463-бетлар]да келтирилган. Бундай қурилмалар қуритишнинг қўпроқ бир хиллигини таъминлайди, аммо таркибий элементларнинг мураккаблиги, кўп бузилиши қуригичлар нархининг юқорилигига ва фойдаланишда чекланганликка сабаб бўлади.

Бугунги кунда самарадорликни ошириш, қуритиш вақтини қисқартириш ва энергия сарфини камайтириш мақсадида қўшимча энергия манбаи сифатида ИҚ қуригичлардан фойдаланадиган қурилмаларга алоҳида эътибор қаратилмоқда. Тадқиқот натижалари конвектив қуригичлар билан ИҚ қуригичларни биргаликда қўлланилиши юқори самарадорликни ва кенг фойдаланишни кўрсатади [105-110]. Бироқ, материалнинг турига ва дастлабки намлигига қараб ИҚ нурланишининг тўлқин узунлигини танлаш зарурати янада қўпроқ тадқиқотлар ўтказишни назарда тутади.

7. Барабанли қуриткич.

Донларни қуритишда энг кенг тарқалган барабанли қуриткичлар уч асосий қисмдан иборат: барабан, ўтхона (калорифер) ва совутиш камераси. Ушбу турдаги қуригичлар битта труба ёки бир-бирига киритилган бир нечта труба шаклида бажарилиши мумкин. Металл пластинкалар билан жиҳозланган барабаннинг ўқи донни горизонталга нисбатан 6° гача бурчак

остида спиралсимон юқорига кўчиради. Барабан бўйлаб олдинга 2-3 м/с тезлиқда иситиладиган газ ҳаракат қиласи. Қияликнинг бурчагига этиб келган дон совутиш камерасига эркин қуийлади. Барабаннинг айланиш тезлиги (дақиқасига ўртача 1 дан 8 гача) унинг қиялик бурчаги ва озиқ-овқат донининг аппаратда бўлиш вақти (15-20 дақиқа) билан аниқланади, бунда қуритиш газининг ҳарорати 180-250°C оралиғида сақланиши тавсия этилади [111, 112].

Қуйидагилар барабанли қуритичларнинг афзалликлари ҳисобланади:

- ихчамлик, соддалик ва мобил қурилмалар сифатида фойдаланиш имконияти;
- қуритиш тезлиги, унумдорлиги ва бир хиллигининг юқорилиги;
- барабан кучланишини 100 кг/м³ ёки ундан ортиқ намлиқда ушлаб туриш;
- иқтисодий самарадорлик ва молиявий фойда.

Барабанли қуритичларнинг самарадорлигини ошириш учун уларнинг конструкцияси ва қуритиш технологияларини такомиллаштириш тўғрисида адабиётларда жуда кўп маълумотлар [113-122] мавжуд, аммо ушбу турдаги қуритичларнинг камчиликлари сифатида униб чиқиш даражаси юқори бўлган уруғли донларни олиш, дон қуритиш вақтини ва қуритиш агенти оқими жадаллигига ҳамда дон қатламини механик саралашга боғлиқ бўлган ҳаракат тезлигини ростлашнинг имконсизлиги кабилар сақланиб қолмоқда.

Энди қуида дон ва мойли экинларни қуритувчи қурилмаларни бир-бирига қиёслаб ўрганамиз.

Қишлоқ хўжалигига йиғиб олинган дон ва мойли ўсимликларни қуритиш учун кўплаб қуритичлар мавжуд бўлиб, улар техник хусусиятлари билан ҳам бир-биридан фарқ қиласи. Юқорида муҳокама қилинган дон қуритичларнинг қиёсий техник хусусиятлари 1.1-жадвалда келтирилган.

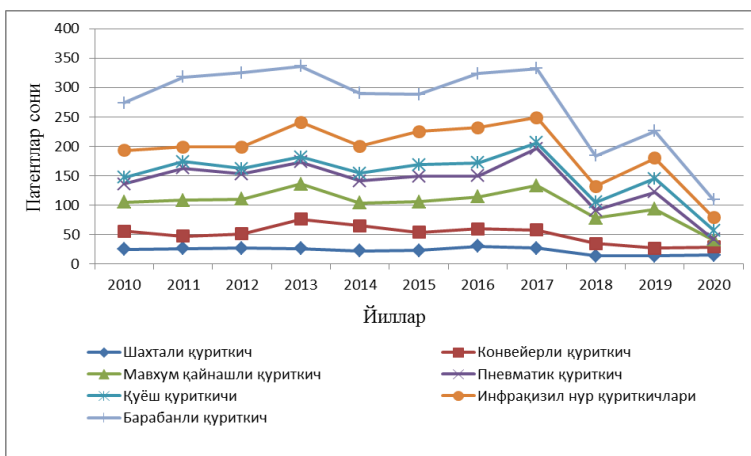
1.1-жадвал

Дон қурилчиларининг қиёсий техник хусусиятлари

Қурилмаларнинг номи ва техник хусусиятлари	Шахтали қурилчиларниң 32	Конвейерли қурилчиларниң ASM-AGRO-34	Мавхум қайнаш қатламли қурилчиларниң СКС-1,5-1000Б	Пневматик қурилчиларниજ JG1000	Гелио қурилчиларниજ	ИК нур қурилчиларниજ Sahara-12	Барабанли қурилчиларниજ СЗСБ-8
Үнумдорлик, (кг/с)	32000	34000	4500	1500	80	500	8000
Ўрнатилган қувват, кВт	125	91	40	78	0,2	36	28,2
Буғлатиш қобилияти, (кг/с)	2300	2500	3000	1000	30	30	560
Қурилчи агенти ҳарорати, °C	50÷160	125	190	150÷600	50 ÷ 60	30÷50	140 ÷ 160
Донни қизини ҳарорати, °C	45	50	65	55	35	45	45
Вазни, т	32,6	15	10,8	5	0,5	2,4	8,3
Хизмат килиши муддати, йил	10	20	10	10	10	15	15
Ёнғинга хавфсизлiği ва ўт чиқишидан химояланганлыги	Дон турига боғлиқ	+	+	-	+	+	Дон турига боғлиқ

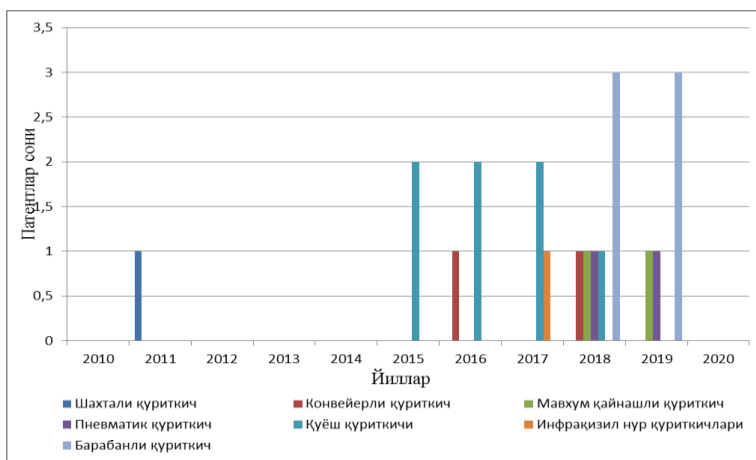
Белгиларни жадвалда белгиланиши: - ёнғинга хавфли, + ёнғинга хавфсиз.

Сўнгти ўн йил ичида қурилчиларга оид илмий ишланмалар Россия, Ақш ва Украина нинг патент маълумотлар базаларида шаклланган ихтиrolар учун патентларни таққослаш орқали таҳлил қилинди. Таҳлиллар натижалари 1.1-расмда қўрсатилган.



1.1-расм. Россия, Ақш ва Украина мамлакатларининг патент маълумотлар базалари асосида қурилчиш қурилмаларининг патентларини таққослаш диаграммаси.

Ўзбекистонда тадқиқотчилар томонидан ўтказилган илмий ва патент тадқиқотларини таққослаш натижалари қуйидаги 2-расмда келтирилган.



1.2-расм. Ўзбекистон патент базаси асосида қуришиш қурилмаларининг патентларини таққослаш диаграммаси.

Дон ва мойли уруғларни қуришиш қурилмалари қўрсаткичларини таҳлил қилиш шуни қўрсатдики, уларнинг барчаси ҳам афзаллик ва камчиликларга эга. Қуришиш аппаратининг асосий турини танлаш ва унинг асосида дон ва мойли уруғларни қуришиш учун барча талабларга жавоб берадиган қурилмани яратиш учун олинган маълумотлар 1.2-жадвалда умумлаштирилган.

1.2-жадвал. Дон қуришиш қурилмалари хусусиятларини қиёсий таққослаш

Қурилманинг номланиши ва хусусияти	Кўчма ҳолатда фойдаланиши	Универсаллиги	Комбинацияланиши имконияти	Жараёнини тўлик автоматлантитриши имконияти	Турли сочилувчан материалларни қуритиш имконияти	Асосий қуритич сифатида фойдаланиши имконияти	Куритилаётган материални қиздириш усули		
							Конвектив	Контакти	Нурли
Шахтали қуриткич	+	-	+	+	-	+	+	-	-
Конвейерли қуриткич	+	-	+	+	+	+	+	-	+
Мавхум қайнаш катламли қуриткич	+	-	-	-	-	+	+	-	+
Пневматик қуриткич	+	-	+	-	-	-	+	-	-
Қўёш қуриткичи	+	-	+	-	-	-	+	+	+
ИҚ нур қуриткичи	+	-	+	+	+	-	+	+	+
Барабанли қуриткич	+	+	+	+	+	+	+	+	+

Белгиларни жалвалдаги белгиланиши: – ёқламайди, + ёқлади.

Уруғ ва донларни қуришиш қурилмалари ҳамда технологиялари таҳлили бўйича [123] да ҳам батафсил маълумотлар келтирилган.

Юқоридаги таҳлиллардан кўриниб турибдики, талабларга энг яқин жавоб берадиган қуригичнинг тури барабанли қуригичдир. Бироқ, ушбу турдаги қуригич ҳам қўйилган талабларга тўлиқ жавоб бермайди. Ўтказилган таҳлил ушбу қуригични такомиллаштириш зарурлигини кўрсатди. Қуригичларнинг мавжуд камчиликларни бартараф этиш ва янги замонавий қуригични яратиш учун бошқа қуригичларнинг муайян афзаликларидан фойдаланиш мақсадга мувофиқдир.

1.4.-§. Қунгабоқар уруғларини барабанли қуригичда қуритиш жараёнини моделлаштириш

Технологик жараённи оптималлаштириш ёки уни бошқариш мақсадида сочиувчан материалларни қуритиш жараёнига, шу жумладан донларни қуритишга, ушбу жараённи математик моделлаштиришга тааллуқли жуда кўплаб илмий ишлар қилинган. Аммо шуни таъкидлаш керакки, барабан типидаги аппаратларда қуритиш жараёнини моделлаштириш ва бошқаришга багъишиланган илмий тадқиқотлар, афсуски, унчалик кўп эмас. Бундан ташқари, қунгабоқар уруғларини қуритиш учун мўлжалланган қуритиш қурилмаларининг алоҳида турлари амалда йўқ, ушбу жараён дон қуритиш учун мўлжалланган қурилмаларда амалга оширилади. Шунинг учун нафақат иссиқлик масса алмасиниш жараёни, балки қуритилаётган материалнинг илгариланма ҳаракати содир бўладиган барабан типидаги қурилмада қунгабоқар уруғларини қуритиш жараёнининг математик тавсифини ишлаб чиқиши долзарб масала ҳисобланади.

Қуритиш қурилмасининг математик модели нафақат жараённинг ҳар бир онидаги ҳолатини башорат қилиб туриши, балки қуритилаётган материал заррачаларининг барабандаги ўртача бўлиш вақтини аниқлашга имкон берувчи барабандаги қуритилаётган материал тақсимланишини, иссиқлик узатишнинг ҳажмий коэффициентини ўрнатишни, шунингдек, қурилманинг умумий иссиқлик юкламасини ҳам башорат қилиши керак. Мазкур катталиклар қийматини билиш уларнинг қуритиш қурилмаси барабанининг габарит ўлчамларига ва технологик жараённи бориши шартларига боғлиқ

бўлган муносатини аниқлаш имконини беради. Бироқ, бунинг аналитик тавсифини ишлаб чиқиш ва хал қилиш алгоритмини тузиш мураккаб масала бўлиб кўринади. Шунинг учун кўпинча ушбу катталикларни аниқлашга имкон берувчи тенгламалар эмпирик хусусиятга эга бўлади.

Барабан типидаги қуритиш қурилмасининг моделини шартли равища икки қисмдан иборат деб тасаввур қилиш мумкин, улардан бирида қуритилаётган материал ва қуритиш агенти ўртасидаги динамик жараёни тавсифланса, иккинчисида эса жихоз, қуритилаётган материалнинг барабандаги тақсимланиш вақти ва иссиқлик узатиш тавсифланади. Моделнинг иккала қисмига кирувчи тенгламаларнинг қўшма ечими барабанли қуриткичда қуритиш жараёни қандай кетаётганини баҳолаш ва вақтнинг исталган онда тизимнинг ҳолатини башоратлаш имконини беради.

1.4.1. -§. Кунгабоқар уруғларининг барабанли қуритгичда бўлиш вақтига ва унинг унумдорлигига таъсир қилувчи омиллар моделлари

Қуритиш агентининг ҳарорати, намлиги ва қуритиладиган материал қатламидан ўтиш тезлиги кунгабоқар уруғларини қуритиш жараёнининг жадаллигини аниқлайди. Кунгабоқар уруғлари сиртидаги буғланиш намликнинг эркин сиртдан буғланишига ўхшаш тарзда содир бўлади: намлик ҳароратининг ошиши билан унинг атроф-муҳитга ўтиш тезлиги ошади. Уруғ юзасидан буғланган намлик ўрнини уруғ ядросидан келаётган намлик эгаллайди [53]. Уруғнинг намлиги камайиши билан намликни ўтказувчи капиллярлар ҳам тораяди, бу эса ички диффузияни олдини олади. Уруғнинг ҳарорати ошиши билан намлик ҳарорати ҳам ошади, бу еса унинг зичлиги ва қовушқоқлигини пасайишига олиб келади. Бу ички диффузия тезлигининг ошишига олиб келади. Қуритгич конструкциясининг ва қуритиш технологик жараёнининг оптималлиги технологик жараёнда сарфланадиган иссиқлик миқдорини аниқлайди.

Барабан типидаги қурилмаларда қуритиш жараёнининг самарадорлиги қуритгич томонидан қуритгичнинг ички ҳажмининг бирлигига кунгабоқар

урұғига узатиладиган иссиқлик миқдори билан ифодаланади. Узатилаётган иссиқлик миқдори иссиқлик берилаётган сирт юзасига боғлиқ бўлади. Барабанли қуритиш аппаратлари 20-25% гача қуритиладиган материал билан тўлдирилиши мумкин. Ушбу тўлдирилиш даражаси барабанли қуритичдаги қуритиш жараёнининг самарадорлигини белгиламайди. Қуритиш барабанига юборилган қуритувчи ҳаво барабан куракчаларидан тушаётган материалларга, шунингдек куракчаларда қолаётган материалларга тегиб ўтади деб фараз қилиш мумкин. Шунда материалларнинг қуритувчи ҳаво билан ўзаро алоқа қиласидиган ҳажми қуритиш барабани ички ҳажмининг 2 % га яқин қисмини ташкил қиласиди. Демак, биз кўраётган ушбу кўрсаткич барабанли қуритиш аппаратининг самарадорлигини англаатади [124, 125].

Барабан типидаги қуритиш аппаратини материал билан тўлдирилиш даражаси аппаратнинг қувватини оширмайди, шу сабабли тўлдиришнинг мақбул даражаси тушунчасидан фойдаланиш мумкин:

$$\xi_c = \left(\frac{V_{\kappa}}{V_{\delta}} \right) \cdot 100\% \quad (1.1)$$

бу ерда ξ_c - барабанни тўлдиришнинг самарали даражаси, %;

V_{κ} – уруғларни қуритиш агенти билан контаклашувчи ҳажми, m^3 ;

V_{δ} – барабаннинг ички ҳажми, m^3 .

Кўрсатилган омиллардан ташқари, аппаратдаги уруғларнинг ўтказиш қобилияти ва бўлиш вақти қуритиш қурилмасининг самарадорлигига кучли таъсир кўрсатади.

[126] ишда барабан типидаги қурилмада қуритилаётган материалнинг бўлиш вақтини аниқлаш учун қуйидаги тенглама келтирилган:

$$\tau = L \frac{\left[\sqrt{8(R-a)/\pi g} + (2\pi - \arccos((R-a)/R))/2\omega \right] \pi g d\rho}{3v^2 k \rho_e (R-a)}, \quad (1.2)$$

бу ерда L – барабанли қуритиш аппаратининг умумий узунлиги, м;

R – қуритиш барабани радиуси, м; a – қуракча кенглиги, м; g – эркин

тушиш тезланиши, м/с²; ω – қуритиш барабан бурчак тезлиги, рад/с; v – қуритувчи ҳавонинг тезлиги, м/с; ρ_e – қуритувчи ҳавонинг зичлиги, кг/м³; k – мутаносиблик коэффициенти;

муаллифлар қурилманинг ўтказиш қобилиятини қуйидаги формула бўйича аниқлаган:

$$Q = \frac{3a^2 v^2 k z n (R - a) \rho_e}{\pi g d \rho}, \quad (1.3)$$

бу ерда z - куракчалар сони; n - барабанинг айланиш частотаси, с⁻¹.

Барабан типидаги қурилмаларда сочилувчан материалларни қуритиш бўйича тадқиқотлар [125, 127-131] таҳлили шуни кўрсатадики, қуритилган материалнинг дастлабки намлиги, унинг талаб қилинадиган охирги намлиги, шунингдек қуритиш режимиининг мақбуллиги (оптималлиги) аппаратдаги материалнинг бўлиш вақтига сезиларли таъсир кўрсатади.

Кунгабоқар уруғларининг намлиги турли хил омилларга (шу жумладан об-ҳаво шароитларига) қараб 15÷50% оралиqlарда ўзгаради. Шунинг учун маҳсулотнинг намлиги бўйича белгиланган кўрсаткичларга эришиш учун уруғларнинг аппаратда бўлиш вақтини ростлаш зарурати туғилади. Барабан типидаги қуритгичларда қуритилиши керак бўлган материалнинг аппаратда бўлиш вақтини барабанинг айланиш бурчак тезлигини ўзгартириш ёки қуритиш агенти узатиш тезлигини ўзгартириш орқали бошқариш мумкин. Бироқ, ушбу иккала кўрсаткич ҳам қуритиш вақтини кўпайтиради ва интенсивлик кўрсаткичини камайтиради. Аппаратда уруғларнинг бўлиш вақтини ростлашнинг бу усулларидан фарқли ўлароқ, барабанинг мусбат ёки манфий томонга оғиш бурчагини ростлаш жараён жадаллигини камайтиrmайди.

[126] иш муаллифлари аппаратдаги материалнинг бўлиш вақтини аниқлаш учун қуйидаги tenglamani таклиф этдилар:

$$\tau = L \frac{\sqrt{8(R-a)/\pi g \cos \Phi} + [2\pi - \arccos((R-a)/R)]/2\omega}{3v^2 k \rho_e (R-a)/\pi g d\rho \cos \Phi \pm 4/\pi(R-a) \operatorname{tg} \Phi}, \quad (1.4)$$

бу ерда Φ – барабанни горизонтга нисбатан оғиш бурчаги, град;

Хажмий үтказиш қобилияти Q ($\text{м}^3/\text{с}$) ни аниқлаш учун қуйидаги тенглама таклиф этилди:

$$Q = \left[\frac{3v^2 \rho_e k (R-a)}{\pi g d\rho \cos \Phi} \pm \frac{4}{\pi} (R-a) \operatorname{tg} \Phi \right] a^2 z n \quad (1.5)$$

Охирги иккита тенгламани таҳлил қилиб, мусбат бурилиш бурчаги уруғларнинг аппаратдаги бўлиш вақтини ва бир ўтишдаги намлик йўқотилишини камайтиради, аммо қурилма унумдорлигининг ошишига олиб келади. Аммо асосий вазифа хом ашёнинг бир ўтишида намликни йўқотишни кўпайтиришдир. Ушбу муаммони ҳал қилиш учун манфий оғиш бурчагини ўрнатиш керак. Шу билан бирга, бир ўтишда юқори намлик йўқотилиши аппаратдаги уруғларнинг бўлиш вақтини кўпайтириш ва қурилма унумдорлигини камайтириш орқали эришилади.

Турли хил ишлар [132-135] муаллифлари қуритилган материалнинг аппаратда бўлиш вақтини ва унинг ҳажмий үтказиш қобилиятини аниқлаш учун турли хил эмпирик моделларни, шунингдек, фазалар орасидаги алоқа юзасини ошириш, қуритиш агенти тезлиги ва қуритилаётган материал қатламини ўзгартириш ва бошқалар орқали қурилма унумдорлигини ошириш усуларини таклиф қилдилар.

Бироқ, муаллифлар томонидан олинган боғлиқликлар эмпириклиги туфайли барча барабан типидаги қурилмалар учун ишлатилиши мумкин эмас. Аппаратдаги материалнинг бўлиш вақтини текис ростлашнинг энг мақбул (оптимал) усули барабаннинг айланиш частотасини бошқариш деб хисоблаш мумкин.

Биринчи боб бўйича хуросалар

1. Донли ва мойли уруғларни қуритишнинг усул ва қурилмалари таҳлили шуни кўрсатдики, кунгабоқар уруғларини қуритишида энг кенг фойдаланиладиган усул бу конвектив қуритиш усули ҳисобланади ва ушбу усулдан фойдаланиш катта самара беради.

2. Қуритиш қурилмаларини таҳлил қилиш натижасида кунгабоқар уруғларини қуритиш учун махсус мосламанинг йўқлиги ва бунинг учун барабанли қуритиш қурилмасини ишлатилиши аниқланди. Ўтказилган таҳлил ушбу қуриткични такомиллаштириш зарурлигини кўрсатди.

3. Қуритиш қурилмаларининг янги энергия тежамкор, қуритиш самарадорлиги юқори бўлган конструкцияларини ишлаб чиқища бир нечта қуритиш усулларидан фойдаланган ҳолда комбинациялашган қуриткич турларини лойиҳалашга эътибор қаратиш лозим деб топилди.

4. Намликнинг тарқалиши, иссиқлик ўтказувчанлиги ва намликни узатишни акс эттирувчи коэффициентларни тавсифлаш қийин ва кўпинча ноаниқ боғлиқликда бўлиб, бу иссиқлик узатиш ва намлик узатишнинг маълум дифференциал тенгламаларини аналитик ечишнинг амалий имконсизлигига олиб келади.

5. Тажрибалардан коэффициентлар қийматлари аниқланадиган қуритиш жараёнини ҳисоблаш усулларидан фойдаланиш мақсадга мувофиқдир.

П-БОБ. БАРАБАН ТИПИДАГИ КОМБИНАЦИЯЛАШГАН АППАРАТДА КУНГАБОҚАР УРУҒЛАРИНИ ҚУРИТИШ ЖАРАЁНИНИ МОДЕЛЛАШТИРИШ

2.1. Барабан типидаги қуритиш аппаратида иссиқлик ва масса узатиш жараёнларини моделлаштириш.

Қуритиш жараёнининг математик модели қуйидаги қўйимларга асосан тузилган:

- иссиқлик ва масса узатиш коэффициентлари ўзгармас;
- ўқ йўналишидаги намлик диффузияси аҳамиятсиз даражада кичик;
- радиацион иссиқлик узатиш ўқ;
- ўқ йўналишда қуритувчи агентнинг кириш тезлиги ўзгармас;
- қуритиладиган материал ва қуритиш агентининг ҳарорати камера ҳароратига ва ўқ координатасига боғлиқ;
- барабаннинг айланиш тезлиги вақт бўйича ўзгармас;
- нам уругларни барабанга узатиш сарфи ўзгармас.

2.1.1. Қуритилаётган кунгабоқар уруғларининг моддий баланс тенгламаси.

Қуритиш мосламасини узунлик бўйича элементар ячайкаларга ажратамиз ҳамда l ва $l + \Delta l$ кесимлари орасида жойлашган элементни қўриб чиқамиз.

l кесимдаги қуритилаётган кунгабоқар уруғлари $v_m(l)$ тезлик билан ҳаракатланади, унинг массавий сарфи $g_m(l)$ ни ташкил этади. $l + \Delta l$ кесимдаги тезлик $v_m(l + \Delta l)$ катталик билан, қуритилаётган кунгабоқар уруғлари масса сарфи эса $g_m(l + \Delta l)$ билан аниқланади. У ҳолда ушбу элементар қисмдаги қуритилаётган кунгабоқар уруғларининг массасини қуйидаги тенглама ҳисоблаш мумкин:

$$m_m(l) = \frac{g_m(l)}{v_m(l)} \Delta l, \quad (2.1)$$

бу ерда $g_m(l)$ – қуритилаётган кунгабоқар уруғлари сарфи, кг/с;

$v_m(l)$ - қуритилаётган кунгабоқар уруғларининг чизиқли тезлиги, м/с.

Қуритилаётган кунгабоқар уруғлари ва иссиқлик агентининг алоқаси натижасида масса алмашинуви содир бўлади, бу қуритиш қурилмасининг бирлик қисмида қуритилаётган кунгабоқар уруғларидан қуритиш агентига вақт бирлигига намлик ўтказиш жадаллиги билан тавсифланади. Δl узунликдаги кесмада вақт бирлигига қуритилаётган кунгабоқар уруғларидан қуритиш агентига ўтувчи намлик миқдори қўйидаги тенглама билан аниқланиши мумкин:

$$g_{mg} = r\Delta l. \quad (2.2)$$

l кесмадаги массавий сарф тенгламасини Тейлор қаторига ёйилишига асосланиб, $l + \Delta l$ оралиқда қуритилаётган кунгабоқар уруғларининг массавий сарфини қўйидагича ҳисоблаш мумкин:

$$g_m(l + \Delta l) = g_m(l) + \frac{\partial g_m(l)}{\partial l} \Delta l. \quad (2.3)$$

$l + \Delta l$ оралиқдаги фазалар контактлашуви натижасида қуритилаётган материал массаси ўзгаради. Бу ўзгариш қўйидаги тенглама бўйича ҳисобланади:

$$\frac{\partial m_m}{\partial t} = g_m(l) - g_m(l + \Delta l) - g_{mg}. \quad (2.4)$$

(2.4) тенгламага функцияларнинг тегишли қийматларини қўйгандан сўнг ва ўзгартиришлардан кейин, моддий баланснинг умумий тенгламасини оламиз:

$$\frac{\partial}{\partial t} \left(\frac{g_m}{v_m} \right) + \frac{\partial g_m}{\partial l} = -r. \quad (2.5)$$

Қуритилаётган кунгабоқар уруғларининг намлиги қуритиш аппарати узунлиги бўйлаб камаяди, шунинг учун қуритилаётган материал ва газсимон мухитга ўтаётган намлик учун алоҳида балансларни тузиш керак. l ва $l + \Delta l$

кесимлар орасидаги элементар қисмдаги қуритилаётган кунгабоқар уруғлари массасини қўйидаги тенглама орқали аниқлаш мумкин:

$$m_k(l) = \frac{g_m(l)}{v_m(l)} \varphi_x(l) \Delta l. \quad (2.6)$$

Бирлик улушларда ифодаланган қуритилаётган кунгабоқар уруғларининг намлиги φ_x орқали белгиланади.

$$g_k(l) = g_m(l) \varphi_x(l). \quad (2.7)$$

У ҳолда ушбу кесимдаги қуритилаётган кунгабоқар уруғларининг массавий сарфи қўйидаги формула бўйича аниқланади:

$$g_k(l + \Delta l) = g_m(l + \Delta l) \varphi_x(l + \Delta l) = g_m(l) \varphi_x(l) + \frac{\partial}{\partial l} g_m(l) \varphi_x(l) \Delta l. \quad (2.8)$$

Қуритилаётган кунгабоқар уруғларидан газ фазасига вақт бирлигida ўтаётган намлик миқдори қўйидаги формула бўйича аниқланади:

$$g_{kg} = rk(l) \Delta l, \quad (2.9)$$

бу ерда $k=1$ (ушбу қиймат намлик концентрациясини ифодалаганлиги сабабли).

l ва $l + \Delta l$ кесимлар орасидаги қуритилаётган кунгабоқар уруғлари массасини вақт бўйича ўзгариши қўйидаги тенглама бўйича ҳисобланади:

$$\frac{\partial m_k}{\partial t} = g_k(l) - g_k(l + \Delta l) - g_{kg}. \quad (2.10)$$

(2.5), (2.7)-(2.9) тенгламалардан олинган катталикларни (2.10) тенгламага қўйгандан сўнг ва ўзгартиришлардан кейин қуритиш соҳасининг моддий балансига эга бўламиз:

$$\frac{\partial}{\partial t} \frac{g_m}{v_m} \varphi_x + \frac{\partial}{\partial l} g_m \varphi_x = -r. \quad (2.11)$$

(2.11) тенгламадаги ҳосилаларни дифференциаллаш уни қўйидаги

кўринишга олиб келади:

$$\varphi_x \frac{\partial}{\partial t} \frac{g_m}{v_m} + \frac{g_m}{v_m} \frac{\partial}{\partial t} \varphi_x + \varphi_x \frac{\partial}{\partial l} g_m + g_m \frac{\partial}{\partial l} \varphi_x = -r. \quad (2.12)$$

(2.5) тенгламани ҳисобга олган ҳолда (2.12) тенглама

$$\frac{1}{v_m} \frac{\partial \varphi_x}{\partial t} + \frac{\partial \varphi_x}{\partial l} = \frac{(\varphi_x - 1)}{g_m} r, \quad (2.13)$$

кўринишга ўзгаради.

Қуритиш тезлигини R_v билан ифодалаб, (2.13) тенгламани қуидаги шаклда ёзиш мумкин (2.15):

$$R_v = -\frac{(\varphi_x - 1)}{g_m} r v_m; \quad (2.14)$$

$$\frac{\partial \varphi_x}{\partial t} + v_m \frac{\partial \varphi_x}{\partial l} = -R_v. \quad (2.15)$$

2.1.2. Қуритилаётган кунгабоқар уруғларининг иссиқлик баланс тенгламаси.

l ва $l + \Delta l$ кесимлари билан чегараланган қуритиш аппаратининг ячейкасини яна кўриб чиқамиз. Ўрганилаётган ячейкадаги қуритилаётган кунгабоқар уруғларининг иссиқлик миқдори қуидаги формула бўйича ҳисобланади:

$$Q = \frac{g_m}{v_m} C_m T_m \Delta l. \quad (2.16)$$

Ушбу формулада:

Q – иссиқлик миқдори, Ж ;

C_m – кунгабоқар уруғларининг солиштирма иссиқлик сифими, $\text{Ж}/\text{кг}\cdot\text{К}$;

T_m – қуритилаётган кунгабоқар уруғларининг ҳарорати, ^0K .

Ўрганилаётган ячейкага иссиқликнинг келиши ва ундан иссиқликни олиб ташлаш учун мувозанат тенгламаларини тузамиз.

Материалнинг l кесимига киритилган иссиқликнинг миқдорий

ифодасини қуидаги шаклда ёзиш мумкин:

$$Q(l) = g_m C_m T_m. \quad (2.17)$$

Үрганилаётган ячейкага қуритилаётган кунгабоқар уруғлари билан беріга кираётган иссиқлиқдан ташқари, иссиқлик агентининг солишири маисиқлиги Q_m ҳам берилади.

Иссиқлиқнинг бир қисми қуритилаётган кунгабоқар уруғлари билан беріга $l + \Delta l$ кесим орқали чиқариб ташланади. Унинг миқдори (2.18) тенглама билан аниқланиши мумкин:

$$Q(l + \Delta l) = g_m C_m T_m + \frac{\partial}{\partial l} g_m C_m T_m \Delta l. \quad (2.18)$$

Қуритилаётган кунгабоқар уруғларидан чиқариладиган бұғ оқими таркибидаги солишири маисиқлик (2.19) тенглама билан аниқланади.

$$Q_v = r c_v T_m; \quad (2.19)$$

бу ерда c_v – ажратиб чиқарилған сув буғининг иссиқлик сифими, Ж/кг·К.

Юқорида келтирилған тенгламаларга асосланиб, l ва $l + \Delta l$ кесимлари билан чегараланған элементар ҳажмдаги иссиқлиқнинг миқдорий үзгариш тенгламасини келтириб чиқариш мумкин:

$$\frac{\partial Q}{\partial t} = Q(l) - Q(l + \Delta l) + Q_m \Delta l - Q_v \Delta l. \quad (2.20)$$

Ушбу тенгламага (2.16)-(2.19) тенгламалар орқали аниқланған катталикларнинг қийматларини қўйғандан сўнг ва баъзи үзгаришларни амалга оширгандан кейин, (2.20) тенгламани қуидаги шаклда асосий қўриниш сифатида қайта ёзиш мумкин:

$$\frac{\partial}{\partial t} \frac{g_m}{v_m} C_m T_m + \frac{\partial}{\partial l} g_m C_m T_m = Q_m - Q_v. \quad (2.21)$$

Қуритилиши керак бўлган кунгабоқар уруғининг иссиқлик сифимини фақат унинг таркибий функцияси деб фараз қилиб, дифференциал тенглама сифатида қуидагича ифодалаш мумкин:

$$\frac{1}{v_m} \frac{\partial C_m}{\partial t} + \frac{\partial C_m}{\partial l} = \frac{\partial C_m}{\partial \varphi_x} \left(\frac{1}{v_m} \frac{\partial \varphi_x}{\partial t} + \frac{\partial \varphi_x}{\partial l} \right). \quad (2.22)$$

Чегараланган ҳажмдаги иссиқликтининг миқдорий ўзгариши асосий тенгламасини дифференциаллаганимиздан сўнг, қуидагига эга бўламиш:

$$T_m \frac{\partial}{\partial t} \frac{g_m}{v_m} C_m + C_m \frac{g_m}{v_m} \frac{\partial}{\partial t} T_m + T_m \frac{\partial}{\partial l} g_m C_m + g_m C_m \frac{\partial}{\partial l} T_m = Q_m - Q_v. \quad (2.23)$$

(2.23) тенгламанинг чап қисмидаги биринчи ва учинчи ташкил этувчиликар қўшимча дифференциаллангандан сўнг уни қуидаги қўринишда қайта ёзиш мумкин:

$$T_m \left[g_m \left(\frac{1}{v_m} \frac{\partial C_m}{\partial t} + \frac{\partial C_m}{\partial l} \right) + C_m \left(\frac{\partial}{\partial t} \frac{g_m}{v_m} + \frac{\partial}{\partial l} g_m \right) \right]. \quad (2.24)$$

Бу тенгламага (2.11) ва (2.22) тенгламалардан олинган катталикларниң қийматларини қўйиб, уни қуидагича қайта ёзиш мумкин:

$$T_m \left[g_m \frac{\partial C_m}{\partial \varphi_x} \left(\frac{1}{v_m} \frac{\partial \varphi_x}{\partial t} + \frac{\partial \varphi_x}{\partial l} \right) - C_m r \right]. \quad (2.25)$$

(2.14, 2.15) тенгламаларни хисобга олиб, охирги тенглама қуидаги қўринишга ўзгаради:

$$T_m \left[\frac{\partial C_m}{\partial \varphi_x} (\varphi_x - 1) r - C_m r \right]. \quad (2.26)$$

(2.19), (2.23)-(2.26) тенгламалардан олинган қийматларни (2.23) тенгламага қўйсак, унинг янги шаклига эга бўламиш:

$$\frac{1}{v_m} \frac{\partial T_m}{\partial t} + \frac{\partial T_m}{\partial l} = \frac{1}{g_m C_m} \left\{ Q_m - \left[\left(C_v + \frac{\partial C_m}{\partial \varphi_x} (\varphi_x - 1) - C_m \right) T_m \right] r \right\}. \quad (2.27)$$

Буғланиш иссиқлигини

$$L = -\frac{C_v T_m}{\varphi_x - 1} - T_m \frac{\partial C_m}{\partial C_m} + \frac{C_m T_m}{\varphi_x - 1}, \quad (2.28)$$

орқали ифодалаб, (2.27) тенгламани анча қулайроқ қўринишга келтириш

мумкин:

$$\frac{\partial C_m T_m}{\partial t} + v_m \frac{\partial C_m T_m}{\partial l} = \frac{Q_m v_m}{g_m} - LR_v. \quad (2.29)$$

2.1.3. Қуритувчи газ иссиқлик оқимининг моддий баланс тенгламаси.

Қуритиш аппаратида ажратилган, намликни қунгабоқар уруғларидан қуритилаётган қиздирилган газга ўтиши содир бўладиган, l ва $l + \Delta l$ кесимлари орасида жойлашган элементар ҳажмни яна қўриб ўтамиз. Намликнинг қуритилаётган қунгабоқар уруғларидан қуритаётган газга ўтиши билан газнинг массаси ошади ва қуритилаётган қунгабоқар уруғларининг массаси камаяди. Ушбу жараённи қуидаги дифференциал тенглама шаклида тасвиirlаш мумкин:

$$\frac{\partial m_g}{\partial t} = g_g(l) - g_g(l + \Delta l) - r\Delta l - f\Delta l, \quad (2.30)$$

бу ерда g_g - (2.31) тенглама билан аниқланадиган қуритаётган газнинг массавий сарфи:

$$g_g(l + \Delta l) - g_g(l) = r\Delta l + f\Delta l, \quad (2.31)$$

бу ерда f - иссиқлик оқимининг жадаллиги.

Элементар қисмдаги иссиқлик оқимининг жадаллиги ўзгармагани учун f ни 0 га teng деб олиш мумкин.

Дифференциаллаш ва тегишли ўзгартишлардан сўнг биз қуритаётган газ оқими учун моддий баланс тенгламасини оламиз:

$$\frac{\partial \varphi_y}{\partial t} + v_g \frac{\partial \varphi_y}{\partial l} = R_v \left(\frac{\rho_{Lm}}{\rho_{Lg}} \right), \quad (2.32)$$

бу тенгламада ρ_{Lm} - қуритилаётган материалнинг чизиқли зичлиги, ρ_{Lg} - қуритувчи газнинг чизиқли зичлиги, кг/м, φ_y - қуритувчи газ намлиги.

2.1.4. Қуритувчи газ иссиқлик оқимининг иссиқлик баланс тенгламаси.

Иссиқлик газ оқими барабан ўқ йўналиши бўйича берилади. Бу йўналиш бўйича газ оқими иссиқлик ўзгаришларини барабандада ажратилган l ва $l + \Delta l$ оралиқда жойлашган элементар кесимда кўриб ўтамиз. Қизиган газ билан бирга берилаётган иссиқлик миқдори қуйидаги ифода ёрдамида аниқланади:

$$Q_g(l) = g_g(l)C_g(l)T_g(l), \quad (2.33)$$

бу ерда g_g – газ сарфи; C_g – газнинг иссиқлик сифими, Ж/кг·К; T_g – материал ҳарорати, K .

Газ билан бирга чиқиб кетадиган иссиқлик миқдори қуйидагича аниқланади:

$$Q_g(l + \Delta l) = g_g(l + \Delta l)C_g(l + \Delta l)T_g(l + \Delta l). \quad (2.34)$$

Калорифердан ажралиб чиқсан иссиқлик миқдори элементар кесим учун $Q_0\Delta l$, материалга ютилаётган иссиқлик миқдори $Q_m\Delta l$ бўлади. материалдан ажралиб чиқаётган буғ ўзи билан $Q_v\Delta l$ иссиқлик миқдорини олиб чиқиб кетади. Иссиқликнинг қолган қисми $Q_n\Delta l$ эса атроф мухитга чиқиб кетади. (2.34) тенгламага Тейлор қаторига ёйишни қўллаб газ йўли учун иссиқлик баланс тенгламасини қуйидагича ёзишимиз мумкин:

$$-\frac{\partial}{\partial l} g_g C_g T_g = Q_0 - Q_m + Q_v - Q_n. \quad (2.35)$$

Калорифердан ажралиб чиқсан иссиқлик миқдорини қуйидагича ифодалаш мумкин:

$$Q_0 = q_0 \cdot f, \quad (2.36)$$

q_0 - калорифернинг иссиқлик чиқариш қобилияти.

Газ таркиби ва ҳароратига боғлиқ бўлган иссиқлик сифими учун қуйидаги дифференциал боғлиқликни тузиш мумкин:

$$\frac{\partial}{\partial l} C_g T_g = T_g \left(\frac{\partial C_g}{\partial \varphi_y} \cdot \frac{\partial \varphi_y}{\partial l} \right) + \left(C_g + T_g \frac{\partial C_g}{\partial T_g} \right) \frac{\partial T_g}{\partial l}. \quad (2.37)$$

(2.36) ва (2.37) ифодаларни инобатга олиб, (2.35) ифодани қуйидагича ёзиш мүмкін:

$$\frac{\partial T_g}{\partial l} = \frac{Q_m + Q_n + q_1 r + q_2 f}{g_g \left(C_g + T_g \frac{\partial C_g}{\partial T_g} \right)}, \quad (2.38)$$

бу ерда

$$q_1 = \left[C_g - \frac{\partial C_g}{\partial \varphi_y} (\varphi_y - 1) \right] T_g - c_v T_m, \quad q_2 = \left[-C_g + \frac{\partial C_g}{\partial \varphi_y} (\varphi_y - b) \right] T_g + q_0. \quad (2.39)$$

Қуритиши зонаси учун $f = 0$, q_1 катталик эса ажралиб чиқаётган газни материал ҳароратидан қиздирувчи газ ҳароратигача қиздириши учун сарфланадиган иссиқликни ифодалайди.

Барабаннинг l ва $l + \Delta l$ кесимлари орасидаги элементар ҳажмнинг иссиқлик микдори ўзгаришини хисобга олиб ҳамда материал иссиқлик баланси тенгламаси натижасида деб фараз қилиб (2.38) тенгламанинг ўнг томонида қуйидагига эга бўламиш:

$$\frac{\partial C_g T_g}{\partial t} + v_g \frac{\partial C_g T_g}{\partial l},$$

бу ерда v_g - газнинг ўқ йўналишидаги тезлиги, м/с.

Атроф муҳитга йўқотилаётган иссиқликни эътиборга олмаса бўладиган даражада деб хисобланса газ йўли учун иссиқлик баланс тенгламаси қуйидагича бўлади:

$$\frac{\partial C_g T_g}{\partial t} + v_g \frac{\partial C_g T_g}{\partial l} = - \frac{Q_g v_g}{g_g} - L_1 R_v \left(\frac{\rho_{Lm}}{\rho_{Lg}} \right), \quad (2.40)$$

$$\text{бу ерда } L_1 = \left(\frac{C_g T_g}{\varphi_y - 1} - \frac{c_v T_g}{\varphi_y - 1} - T_g \frac{\partial C_g}{\partial \varphi_y} \right) / (C_g + T_g \frac{\partial C_g}{\partial T_g}).$$

Қуритиши мосламаси узунлиги бўйича элементар ячейкаларга бўлинди ва l ва $l + \Delta l$ кесимлари орасида жойлашган элемент кўриб чиқилди. Қуритилаётган кунгабоқар уруғларининг ҳаракат тезлиги ва унинг элемент чегараларидаги масса сарфига асосланган ҳолда ҳар бир ячейка учун қуритилаётган кунгабоқар уруғларининг массаси, қуритилаётган материалдан вақт бирлигига қуритиши агентига ўтадиган намлик микдори,

қуритилаётган кунгабоқар уруғлари массасининг вақт бўйича ўзгариши ҳисоблаб чиқилди. Олинган нисбатлар кунгабоқар уруғлари учун умумий моддий балансни тузишга имкон берди.

$$\frac{\partial \varphi_x}{\partial t} + v_m \frac{\partial \varphi_x}{\partial l} = -R_v. \quad (2.41)$$

Кунгабоқар уруғидан қуриладиган қиздирилган газга намлик ўтиши содир бўладиган кесимлар орасида жойлашган элементар хажмда иккинчисининг массаси ортиши ва қуритилаётган кунгабоқар уруғларининг массаси камайиши содир бўлади. Бу жараён қуидаги дифференциал тенглама кўринишида тасвирланади:

$$\frac{\partial \varphi_y}{\partial t} + v_g \frac{\partial \varphi_y}{\partial l} = R_v (\rho_{Lm} / \rho_{Lg}). \quad (2.42)$$

Сўнг, ўрганилаётган ячейкага иссиқликнинг келиши ва ундан иссиқликнинг чиқиши баланси тенгламаси асосида ўрганилаётган ячейкадаги қуритилаётган кунгабоқар уруғлари таркибидаги иссиқлик миқдори аниқланди ва кунгабоқар уруғларининг иссиқлик сифими фақат унинг таркибига боғлиқ бўлиб, иссиқлик баланси қуидагича тузилди:

$$\frac{\partial (C_m T_m)}{\partial t} + v_m \frac{\partial (C_m T_m)}{\partial l} = \frac{\lambda_v V_v}{\rho_{Lm}} (T_g - T_m) - L R_v. \quad (2.43)$$

Қуритиш агенти ўрганилаётган ячейка ичига киритадиган ва олиб чиқадиган иссиқлик миқдорини ҳисоблаш, иссиқлик йўқотишларини ҳисобга олган ҳолда қуритувчи газнинг таркибига ва унинг бошланғич ҳароратига боғлиқ бўлган иссиқлик сифимини аниқлаш асосида қуритувчи газ учун иссиқлик балансининг нисбати олинади.

$$\frac{\partial (C_g T_g)}{\partial t} + v_g \frac{\partial (C_g T_g)}{\partial l} = -\frac{\lambda_v V_v}{\rho_{Lg}} (T_g - T_m) - L_m \frac{\rho_{Lm}}{\rho_{Lg}} R_v. \quad (2.44)$$

бу ерда φ_x – кунгабоқар донларининг намлиги; φ_y – қуритувчи агент намлиги; T_g – қуритувчи агент ҳарорати; T_m – кунгабоқар донларининг ҳарорати; v_m – кунгабоқар донларини ўқ йўналишидаги тезлиги; v_g – қуритувчи агентнинг ўқ йўналишидаги тезлиги; C_m – кунгабоқар донларининг солиштирма иссиқлик сифими; C_g – қуритувчи газ солиштирма иссиқлик сифими; ρ_{Lm} – кунгабоқар донларининг чизиқли зичлиги; ρ_{Lg} – қуритиш

газининг чизиқли зичлиги; V_v – барабаннинг солиштирма сигими; λ_v – иссиқлик узатиш солиштирма коэффициенти; $L_m=L$ - буғланиш иссиқлиги; R_v – қуритиш тезлиги.

(2.41), (2.42), (2.43) ва (2.44) тенгламалар қуритиш жараёнининг математик моделини ифодалайди.

Модел таркибидаги параметрлар қийматлариниг бир қисми адабиётдан, қолгани ўтказилган тажрибадан олинган ёки ҳисоблаб чиқилган. Атмосфера ҳавосининг солиштирма иссиқлик сигими $C_g=1.005 \text{ кЖ/кг}\cdot\text{К}$, кунгабоқар уруғи учун эса $C_m=1,51 \text{ кЖ/кг}\cdot\text{К}$. Иссиқлик узатишнинг солиштирма коэффициенти $\lambda_v=0.27 \text{ кЖ/м}^3\cdot\text{К}\cdot\text{с}$, қуритиш газининг ўқ йўналишидаги тезлиги $v_g=0.5 \text{ м/с}$, барабаннинг ички диаметри эса 0.3м. – қуритиш барабанининг солиштирма сигими $V_v=0.06 \text{ м}^3/\text{м}$, $\rho_{Lm}=4.17 \text{ кг/м}$, $\rho_{Lg}=0.057 \text{ кг/м}$, $L=2261 \text{ кЖ/кг}$, $v_m=2\cdot10^{-3} \text{ м/с}$.

Олинган умумий аналитик модел хусусий ҳосилали дифференциал тенгламалардан иборат. Бундан ташқари қуритиш тезлиги R_v нинг

$$R_v = \frac{\lambda_v V_v (T_g - T_m) / \rho_{Lm}}{C_v (T_{dp} - T_m) + L}, \quad (2.45)$$

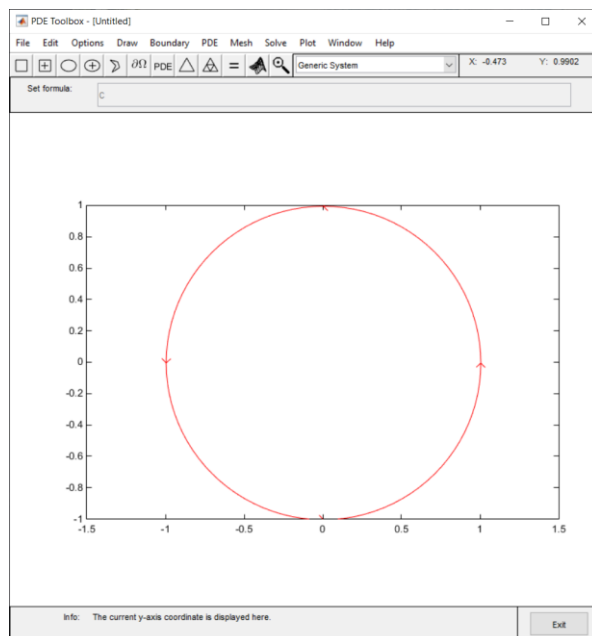
ифодасида манфий биринчи даражадаги материалнинг ҳароратининг мавжудлиги ҳосил бўлган дифференциал тенгламаларни ночизиқли қиласи. Бу ерда C_v - сувнинг солиштирма иссиқлик сигими, $\text{Ж/кг}\cdot\text{К}$; T_{dp} - қуритувчи ҳавонинг шудринг нуқтаси, K .

Айланма барабанли қуриткичда амалга ошадиган қуритиш жараёнининг мавжуд мураккаб ночизиқли математик моделини аналитик ечимга эга бўлган чизиқли моделга монанд ҳолда ўзгартириш масаласи [136] диссертацияда кўриб ўтилган. [133] да сочилувчан ва дон кўринишидаги материалларга иссиқлик билан ишлов беришнинг аралаш режимида ишловчи барабанли қуритикичда қуритиш жараёнига оид экспериментал маълумотларни математик қайта ишлаш орқали қуриткичининг конструктив параметрларини, унумдорлигини ҳамда қуритиш жараёнининг оптималь

технологик параметрларини ҳисобловчи критериал тенгламаси олинган. Бундан ташқари саноатнинг турли тармоқларида айланувчи барабанли қурилчиларда қуритиш жараёнини моделлаштиришда тизимли ёндашув амалга оширилган бўлиб, бу орқали алоҳида идеаллаштирилган моделларни ўзаро боғлаш мумкин [137-139]. Бундай моделли тизим қуритиш жараёнини масса, иссиқлик алмашинув параметрлари, техник ҳамда иқтисодий хусусиятлардан келиб чиқиб оптималлаштириш имконини яратади.

Юқорида келтирилган (2.41), (2.42), (2.43), (2.44) масса ва иссиқлик алмашиниш тенгламаларини мос равища биринчи ва иккинчи тенгламалар системасига келтириб оламиз.

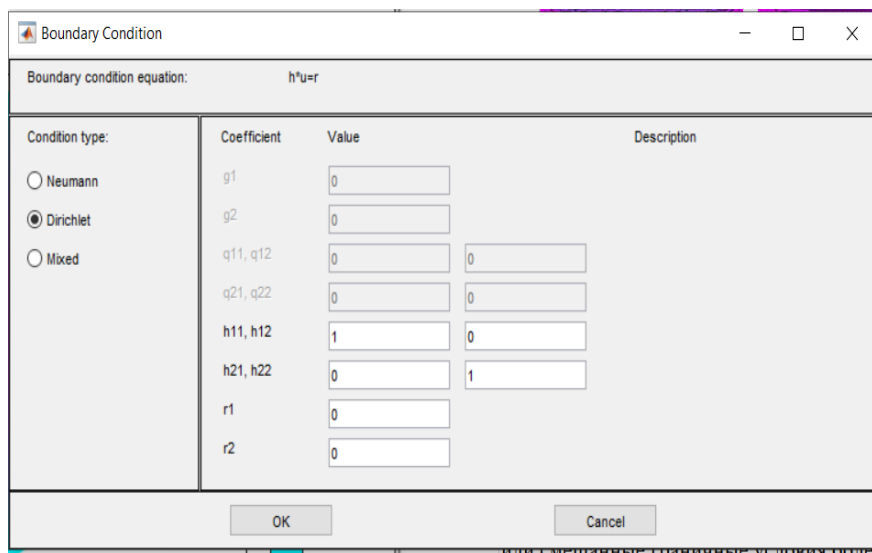
Қуритиш жараёнининг математик моделини ифодаловчи тенгламалар системасини ечиш учун PDE Toolbox дастурий пакетидан фойдаланилган. Унинг таркибига киритилган функциялар ихтиёрий ўлчамдаги дифференциал тенгламалар системасини ечиш имконини беради. PDE Toolbox муҳити фақат иккинчи тартибли система билан ишлайди. 2.1-расмда Матлабдаги PDE Toolbox муҳити ойнаси рухсат этилган ечимлар майдонини чегараловчи доира билан кўрсатилган.



2.1-расм. Матлабдаги PDE Toolbox муҳити.

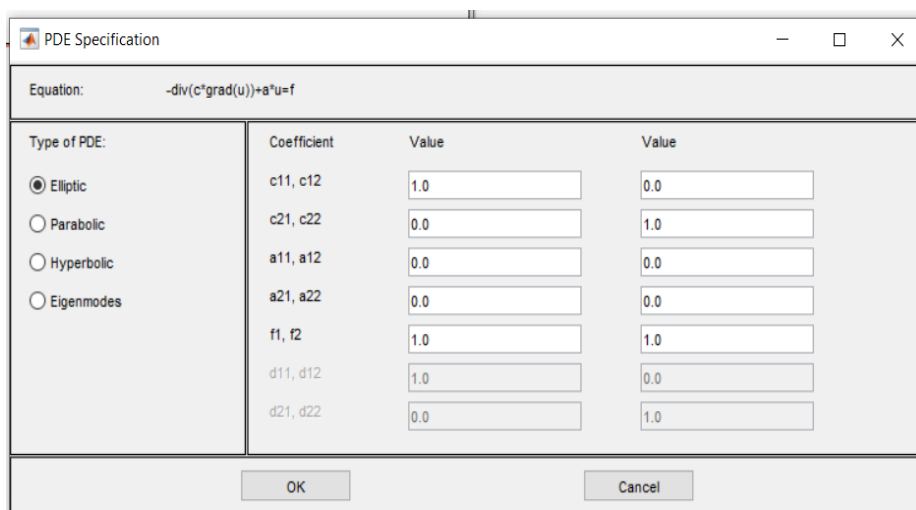
Муҳитнинг ечими ($u_1(x, y)$, $u_2(x, y)$) вектор-функциялардир. Ечимни

аниқ аниқлаш учун чегара шартларини ўрнатиш керак. Dirichle шартлари чегаранинг турли қисмларида ўрнатилиши мумкин (2.2-расм).



2.2-расм. Dirichle шартларини ўрнатиш.

Options менюсининг Application пастки менюсида Generic System параметрларини танлаб, тенгламалар системамизни ечиш учун PDE Toolbox мухитини созлаймиз. Сўнг, PDE Specification мулоқот ойнасида тенгламалар системасининг коэффициентларини ўрнатамиз (2.3-расм).



2.3-расм. PDE Specification мулоқот ойнаси

PDE Toolbox мухитининг хусусияти шундаки, у иккинчи тартибли системалар билан ишлай олади:

$$\begin{aligned} -\nabla \cdot (c_{11} \nabla u_1) - \nabla \cdot (c_{12} \nabla u_2) + a_{11}u_1 + a_{12}u_2 &= f_1; \\ -\nabla \cdot (c_{21} \nabla u_1) - \nabla \cdot (c_{22} \nabla u_2) + a_{21}u_1 + a_{22}u_2 &= f_2; \end{aligned} \quad (2.46)$$

Ушбу мухитда қуритилаётган материал ва қуритувчи ҳавонинг моддий

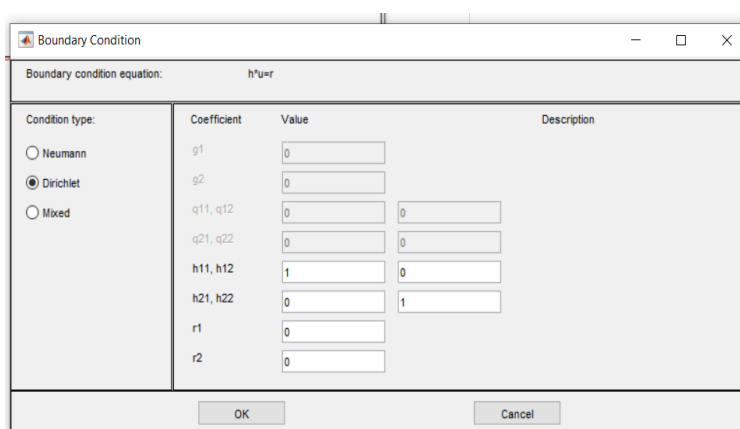
хамда иссиқлик баланси дифференциал тенгламалари системасини ечамиз:

$$\begin{cases} \frac{\partial \varphi_x}{\partial t} + v_m \frac{\partial \varphi_x}{\partial l} = -R_v \\ \frac{\partial \varphi_y}{\partial t} + v_g \frac{\partial \varphi_y}{\partial l} = R_v (\rho_{Lm} / \rho_{Lg}) \end{cases}; \quad (2.47)$$

$$\begin{cases} \frac{\partial (C_m T_m)}{\partial t} + v_m \frac{\partial (C_m T_m)}{\partial l} = \frac{\lambda_v V_v}{\rho_{Lm}} (T_g - T_m) - L R_v \\ \frac{\partial (C_g T_g)}{\partial t} + v_g \frac{\partial (C_g T_g)}{\partial l} = -\frac{\lambda_v V_v}{\rho_{Lg}} (T_g - T_m) - L_m \frac{\rho_{Lm}}{\rho_{Lg}} R_v \end{cases}. \quad (2.48)$$

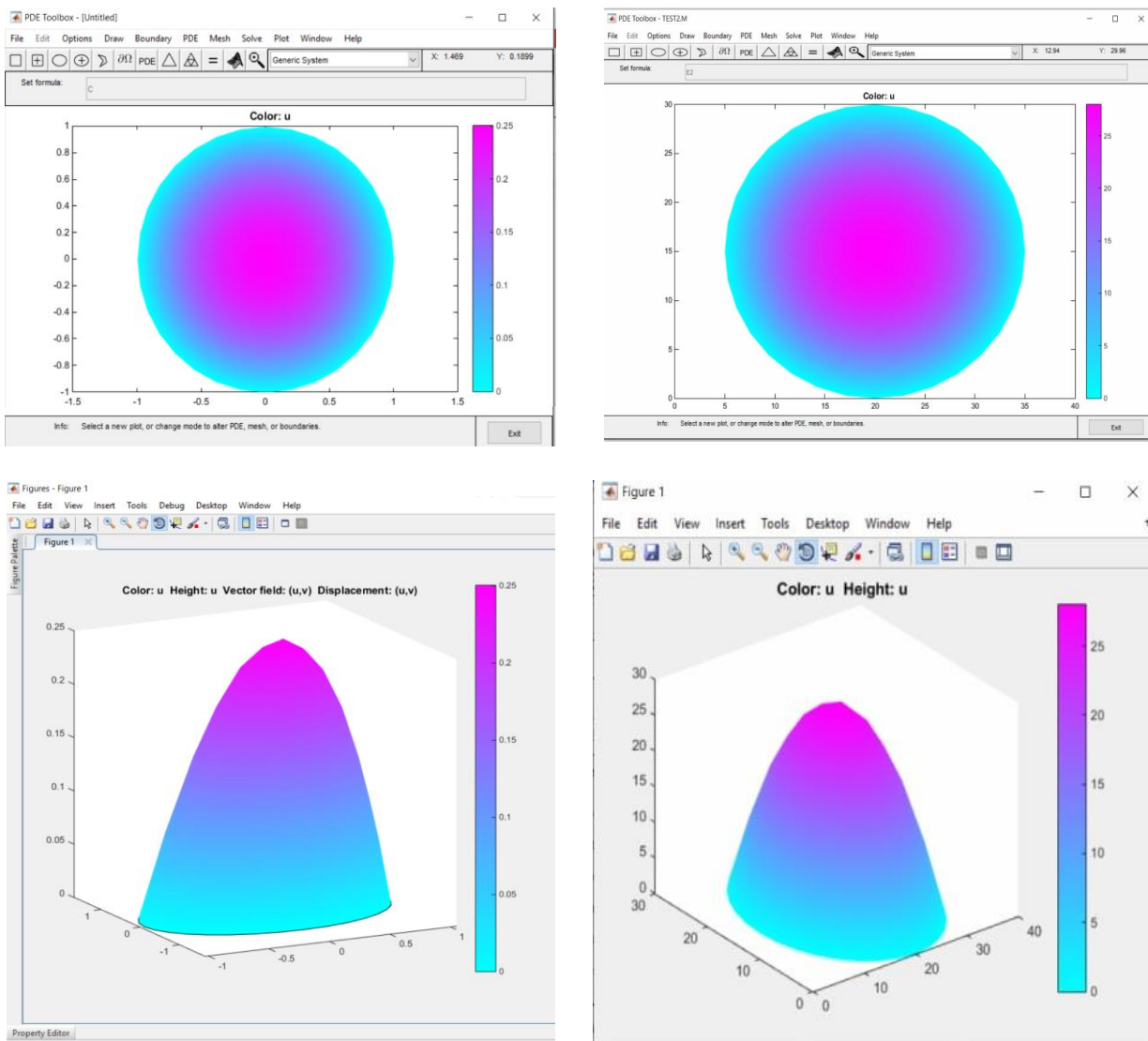
Аввал, PDE Toolbox муҳитида ҳал қилинадиган муаммонинг турини танлаймиз – Generic System ва тизимнинг коэффициентлари ўрнатилиши керак бўлган PDE Specification ойнасини очамиз. Бизнинг ҳолатда биринчи тенгламалар системаси (2.47) учун $c_{11}=1$, $c_{12}=0$, $a_{11}=0$, $a_{12}=0$, $f_1=1$, $c_{21}=0$, $c_{22}=1$, $a_{21}=0$, $a_{22}=0$, $f_2=1$ ни ўрнатишимиш керак. Иккинчи тенгламалар системаси (2.48) учун $c_{11}=1$, $c_{12}=0$, $a_{11}=1$, $a_{12}=0$, $f_1=1$, $c_{21}=0$, $c_{22}=1$, $a_{21}=0$, $a_{22}=1$, $f_2=1$ ни ўрнатамиз. Ушбу қийматлар $R_v=1$ и $R_v(\frac{\rho_{Lm}}{\rho_{Lg}})=1$ бўлган системага мос келади.

Boundary Condition ойнаси юқорида санаб ўтилган шартларнинг учта туридан бирини танлаш учун Neumann, Dirichlet ва Mixed ҳамда чегаравий шартлар коэффициентларни ўрнатиш учун кириш қаторларини ўз ичига олади. Чегарадаги изланган функцияларни нол қийматларига $h_{11}=1$, $h_{12}=0$, $r_1=0$ и $h_{21}=0$, $h_{22}=1$, $r_2=0$ параметрли Dirichlet шартлари мос келади (2.4-расм).



2.4-расм. Boundary Condition да шарт турларини ўрнатиш

Майдоннинг триангуляциясини ўрнатамиз ва масалани ечамиз. PDE Toolbox ойнасида ранг билан тўлган ва ўнг томонида ранглар палитраси бўлган контур графикини оламиз.

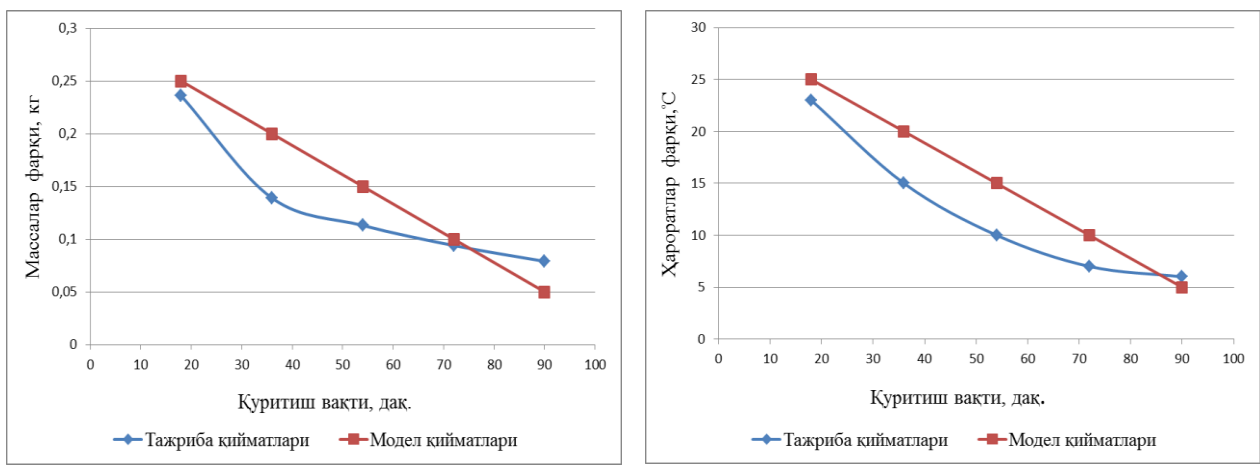


a)

б)

2.5-расм. Тенгламалар системасининг график кўринишидаги ечимлари:
а – моддий баланс биринчи тенгламалар системасининг ечими, б – иссиқлик
баланс иккинчи тенгламалар системасининг ечими

Графиклардан кўриниб турибдики, тенгламанинг биринчи системаси (2.47) учун энг катта ечимлар сони $0.05 \div 0.25$ оралиқда, иккинчи тенгламалар системаси (2.48) учун ечимлар сони $5 \div 25$ оралиқда бўлади.



2.6-расм. Аналитик модел ва тажриба қийматларини таққослаш графиги: а – масса алмашиниш жараёни, б – иссиқлик алмашиниш жараёни.

Модел томонидан башорат қилинган ва экспериментал усул орқали олинган қийматлар ўртасидаги тафовутлар намликтин тарқалиши, иссиқлик ўтказувчанлиги ва намлик беришни акс эттирувчи коэффициентлар тавсифланишининг қийинлиги, кўпинча эса ноаниқ боғлиқликка эга бўлиши билан изоҳланади. Кунгабоқар уруғлари учун ушбу коэффициентларни аниқлаш уруғлар таркибининг доимий эмаслиги, уруғлар турлари ва навларининг кўплиги, пишиб етилганлик даражасининг ўзгарувчанлиги, куритиш учун турли қурилмалар ва технологик режимларнинг қўлланилиши билан мураккаблашади. Шунинг учун тажриба асосида керакли коэффициентлар аниқланадиган эмпирик моделлаштириш усулига ўтишга қарор қилинди.

2.2. Барабан типидаги комбинациялашган қуритиш аппаратида кунгабоқар уруғларининг қуритилиш жараёнини эмпирик моделлаштириш.

Дон куриткич аппаратлари турлича бўлиб, уларда жараённи тўғри ташкил этиш, кириш параметрлари ўзгаришига боғлик ҳолда маҳсулотнинг чиқищдаги ўзгаришларини башоратлаш ҳамда осон лойиҳалаш мақсадида математик моделлаштириш амалга оширилди. Барабан типидаги куриткичларда асосан конвектив ва контактли қуритиш усуllари

қўлланилади [140]. Кириш параметрлари сифатида олинадиган қуриткичга кирувчи ҳаво ҳарорати, ҳаво тезлиги, қуритиш ҳавоси ва қуритилувчи маҳсулотнинг нисбий намлиги, барабанни айланиш тезлиги ҳамда маҳсулотни барабанга узатиш тезлиги каби катталиклар қуриткичда иссиқлик узатиш жараёнига бевосита таъсир кўрсатади.

Мазкур математик модел барабанли қуриткич устида олиб борилган тажриба асосида тузилган. Моделда қуёшнинг кун давомидаги фаоллиги алоҳида инобатга олинган. Қуриткичда қунгабоқар уруғларини қуритиш бўйича тажрибалар ўтказилган ва тажрибадан олинган натижалар диссертациянинг 3 чи бобида батафсил баён қилинган.

Тажриба қуриткичидан қуритиш жараёни 80°C , 90°C ва 100°C ҳароратларда амалга оширилди. Тажриба ўтказиш учун 2 кг дан қунгабоқар уруғлари олинган бўлиб, дастлабки намликлари $38\%-46\%$ оралиқни ташкил этди. Қуритиш жараёнида қуёшнинг фаоллиги ҳам инобатга олиниб, қуёш коллекторидаги қизиган ҳаво ҳарорати қийматининг ўзгариши билан баҳоланади. Бунга кўра коллектордаги ҳаво ҳарорати $55-65^{\circ}\text{C}$ оралиғида ўзгаради. Қуёшнинг иссиқлик энергияси таъсирида айланувчи барабаннинг кўпроқ қизиши содир бўлади, бу билан контактли қуритиш амалга ошади. Қуёш коллекторидаги нисбатан қизиган ҳаво электрокалориферда тегишли қуритиш ҳароратларигача қиздирилади. Қуритилаётган қунгабоқар уруғларининг қуриткич чиқишидаги намлик ўзгариши қуритиш ҳарорати, уруғларнинг дастлабки намлиги, қуёш коллекторидаги ҳаво ҳарорати каби кириш омилларининг таъсирларига боғлиқ.

Барабан типидаги қуритиш қурилмасида қуритиш жараёнининг модели 2.1-параграфда келтирилган қўйимлар асосида қурилган.

Тажриба қуриткичига қуритиш учун солинган қунгабоқар уруғлари бир партия қуриб тушиши учун маълум вақт сарф бўлади. Бу қунгабоқар уруғларини қуритишдаги битта босқич ҳисобланади. Сақлаш учун мос намликка эришиш учун қуритиш жараёни 5 та босқичда амалга оширилган бўлиб, ҳар бир босқичнинг давомийлиги 18 дақиқани ташкил этади, жами

қуритиш давомийлиги 90 дақиқа. Бу кўрсаткич ҳам кириш омили сифатида олинган.

Математик модел ҳар бир қуритиш ҳарорати учун ишлаб чиқилди. Кириш омиллари:

- 1) қуритиш агенти ҳарорати T_{ka} , °C;
- 2) кунгабоқар уруғларининг бошланғич намлиги ϕ_0 , %;
- 3) қуёш коллекторидаги ҳаво ҳарорати T_{kk} , °C;
- 4) кунгабоқар уруғларини қуритиш босқичи давомийлиги τ , дак;

Тажриба иккинчи тартибли ротатабелли режалаштириш асосида ўтказилди.

Ушбу тадқиқот тажрибасини ўтказишдан мақсад қуритиш агентининг ҳарорати, кунгабоқар уруғлари бошланғич намлиги, қуёш коллекторидаги ҳаво ҳароратини масса йўқотилиш даражасига, қуритиш барабанидан чиқаётган кунгабоқар уруғлари намлиги ўзгаришига, қуритиш агентининг ҳарорати, тезлиги ва қуёш коллекторидаги ҳаво ҳароратини тажриба қуриткичининг электр энергия сарфига таъсирини ўрганишдир. Тажриба мақсадидан келиб чиқиб юклаш бункеридағи кунгабоқар уруғлари сарфи ва қуритиш барабанининг айланишлар сонини мос қийматда ўзгармас қилиб ўрнатамиз.

2.2.1. Қуритиш аппаратида кунгабоқар уруғларини масса йўқотилиш жараёнини моделлаштириш.

Кунгабоқар уруғларини қуритиш ўртача 80°C, 90°C ва 100°C қуритиш ҳароратларида амалга оширилди. Жараённи дастлаб 80°C қуритиш ҳароратида кўриб ўтамиз ва мос математик моделни ишлаб чиқамиз.

Қуриткичда кунгабоқар уруғларини 80°C ҳароратда қуритища масса йўқотилиш жараёнини моделлаштириш.

Киравчи омиллар сифатида қўйидагилар олинган:

- 1) қуритиш агенти ҳарорати, унинг ўзгариш оралиғи $78 \div 82^\circ\text{C}$.

2) кунгабоқар уруғларининг бошланғич намлиги, унинг ўзгариш оралиғи $38 \div 46\%$.

3) қуёш коллекторидаги ҳаво ҳарорати, унинг ўзгариш оралиғи $55 \div 65^{\circ}\text{C}$.

4) кунгабоқар уруғларини қуритиш даври, унинг ўзгариш оралиғи $36 \div 72$ дақ.

Биринчи кириш омили учун қуйидагиларни ҳисоблаймиз:

$$x_1^{\max} = 82^{\circ}\text{C} \quad x_1^{\min} = 78^{\circ}\text{C}$$

Үрта қиймат ва ўзгариш оралиғи (қадами)ни ҳисоблаймиз:

$$x_i^0 = \frac{x_1^{\max} + x_1^{\min}}{2} = \frac{82^{\circ}\text{C} + 78^{\circ}\text{C}}{2} = 80^{\circ}\text{C};$$

$$\Delta x = \frac{x_1^{\max} - x_1^{\min}}{2} = \frac{82^{\circ}\text{C} - 78^{\circ}\text{C}}{2} = 2^{\circ}\text{C}.$$

Кириш омилини қуйидаги формула орқали кодлаймиз:

$$x_i = \frac{x_i - x_i^0}{\Delta x_i}. \quad (2.49)$$

Қолган кириш омиллари учун ҳам юқоридаги ҳисоб ишларини амалга оширамиз.

Қуриткичда кунгабоқар уруғларининг масса йўқотилиш жараёни ночизиқли тавсифга эга, яъни параболик эгри чизиқни ифодаловчи ташкил этувчига эга. Шунинг учун, тажрибани иккинчи тартибли ротатабелли режалаштириш асосида ўтказамиз. Ушбу усул ишончлилиги ва мантикийлиги жиҳатидан иккинчи тартибли ортогонал марказий композицион тажриба усулидан фарқ қиласи [141].

Кириш омиллари тўртта бўлганлиги боис “юлдузча” елка қиймати қуйидагича бўлади:

$$\alpha = 2^{\frac{k}{4}} = 2^{\frac{4}{4}} = 2.$$

Бу ерда k – кириш омиллар сони. Ҳар бир омил бўйича $-\alpha$ ва $+\alpha$ қийматлар мавжуд.

Юқоридаги кириш омилларини масса йўқотилиш даражаси M га таъсирини моделлаштирамиз.

Кириш омиллари ва уларнинг ўзгариш оралиқлари 2.1-жадвалда келтирилган.

2.1-жадвал.

Омиллар чегаралари ва уларнинг ўзгариш оралиқлари

Омилнинг номи	Кодлаштирилган белгиси	Омилнинг хақиқий қиймати					Ўзгариш оралиғи
		-2	-1	0	+1	+2	
Куритиш агенти ҳарорати $T_{\text{ка}}$, °C	X ₁	76	78	80	82	84	2
Ургунинг бошлангич намлиги, ф0%	X ₂	34	38	42	46	50	4
Қўёш коллекторидаги ҳаво ҳарорати $T_{\text{кк}}$, °C	X ₃	50	55	60	65	70	5
Куритиш даври, дақ.	X ₄	18	36	54	72	90	18

Чиқувчи омилнинг тажрибайи натижалари ҳамда дисперсиялари 3-илова 2.2-жадвалда келтирилган.

Режалаштирилган тажриба матрицаси асосида ҳар бир шароитда уч марта такроран тажрибалар ўтказилди. Ўтказиладиган тажрибаларнинг умумий сони қуйидаги формула орқали топилади:

$$N = 2^k + 2k + n_0 = 2^4 + 8 + 7 = 31$$

бу ерда, N – тажрибалар сони; k – омиллар сони; n_0 -ўрта қийматлардаги тажрибалар сони.

Тажриба ўтказиш натижасида олинган такрорий қийматларнинг ўрта арифметиги аниқланди. Масса йўқотилиш даражасининг ўрта арифметиги қийматлари 3-илова 2.2-жадвалга киритилган.

Регрессия моделига эга бўлиш учун матрица бўйича режалаштирилган марказий композицион тажриба матрицасини тузилган (3-илова 2.2-жадвал).

Тажриба қуриткичининг иккинчи тартибли математик модели қуйидаги регрессион тенглама кўринишига эга бўлади:

$$y = b_0 + \sum_{i=1}^n b_i x_i + \sum_{i,j=1}^n b_{ij} x_i x_j + \sum_{i=1}^n b_{ii} x_i^2, \quad (2.50)$$

бу ерда b_0, b_i, b_{ij}, b_{ii} лар регрессия коэффициентлари ҳисобланади.

Тажриба қуриткичидаги тадқиқот ўтказиш орқали ушбу регрессия коэффициентларини аниқлаймиз.

Танланган 2^4 режа асосида коэффициентлар қуйидаги формулалар орқали ҳисобланади:

$$\begin{aligned} b_0 &= C_1 \sum_{u=1}^{31} y_u - C_2 \sum_{i=1}^4 \sum_{u=1}^{24} x_{iu}^2 y_u; \\ b_i &= C_3 \sum_{u=1}^{24} x_{iu} y_u; \\ b_{ij} &= C_4 \sum_{u=1}^{16} x_{iu} x_{ju} y_u; \\ b_{ii} &= C_5 \sum_{u=1}^{24} x_{iu}^2 y_u + C_6 \sum_{i=1}^4 \sum_{u=1}^{24} x_{iu}^2 y_u - C_2 \sum_{u=1}^{31} y_u; \end{aligned} \quad (2.51)$$

бу ерда C_i коэффициентлар ёрдамчи коэффициентлардир.

Ўзгармас қийматли ёрдамчи коэффициентлар қуйидаги қийматларни қабул қиласи: $C_1=0,1432$; $C_2=0,0361$; $C_3=0,042$; $C_4=0,063$; $C_5=0,032$; $C_6=0,0038$.

Жадвалдан фойдаланган ҳолда регрессия коэффициентларини аниқлаш учун қуйидаги қийматларни ҳисблаймиз (3-илова 2.2-жадвал):

$$\begin{array}{ll} \sum x_{1u} \bar{y}_u = -0,517; & \sum x_{2u} x_{3u} \bar{y}_u = 0,063; \\ \sum x_{2u} \bar{y}_u = -1,205; & \sum x_{2u} x_{4u} \bar{y}_u = -0,563; \\ \sum x_{3u} \bar{y}_u = -0,4; & \sum x_{3u} x_{4u} \bar{y}_u = -0,073; \\ \sum x_{4u} \bar{y}_u = -2,365; & \sum x_{1u}^2 \bar{y}_u = 34,871; \\ \sum x_{1u} x_{2u} \bar{y}_u = -0,083; & \sum x_{2u}^2 \bar{y}_u = 35; \\ \sum x_{1u} x_{3u} \bar{y}_u = 0,067; & \sum x_{3u}^2 \bar{y}_u = 35,527; \\ \sum x_{1u} x_{4u} \bar{y}_u = -0,105; & \sum x_{4u}^2 \bar{y}_u = 35,543. \end{array}$$

Топилган қийматлар асосида (2.51) формула бўйича регрессия коэффициентлари қуйидаги қийматларни қабул қиласи:

$$\begin{aligned} b_0 &= 1,38; \quad b_1 = -0,02; \quad b_2 = -0,05; \quad b_3 = -0,017; \quad b_4 = -0,1; \quad b_{12} = -0,005; \quad b_{13} = 0,004; \\ b_{14} &= -0,007; \quad b_{23} = 0,004; \quad b_{24} = -0,04; \quad b_{34} = -0,0046; \quad b_{11} = 0,02; \quad b_{22} = 0,02; \quad b_{33} = 0,04; \\ b_{44} &= 0,04. \end{aligned}$$

Хисобланган қийматлардан келиб чиқиб регрессия тенгламаси қуидагида күришида бўлади:

$$y = 1,38 - 0,02x_1 - 0,05x_2 - 0,017x_3 - 0,1x_4 - 0,005x_1x_2 - 0,004x_1x_3 - 0,007x_1x_4 \\ - 0,004x_2x_3 - 0,04x_2x_4 - 0,0046x_3x_4 + 0,02x_1^2 + 0,02x_2^2 + 0,04x_3^2 + 0,04x_4^2. \quad (2.52)$$

Оптималлаштириш параметри дисперсиясини режалаштириш марказидаги тажрибалар натижалари асосида қуидаги формула бўйича хисобланади:

$$S_y^2 = \frac{\sum_{i=1}^n (y_i - \bar{y}_0)^2}{n_0 - 1}; \quad (2.53)$$

бу ерда \bar{y}_0 - ўрта қийматларда хисобланган чиқиш катталиги қийматларининг ўрта арифметиги.

(2.52) формуладаги регрессия коэффициентларининг Стьюдент мезони асосида аҳамиятлилиги қуидаги формула бўйича текширилади:

$$\varepsilon(b_i) = t(P; f_i) \cdot S_{bi}, \quad (2.54)$$

бу ерда t – Стьюдент мезони $t(P; f_i)$.

S_{bi} – регрессия коэффициентини аниқлашдаги ўртача квадратик ҳато.

(2.52) формуладаги $\varepsilon(b_i)$ коэффициентларининг S_{bi} га нисбати бўйича хисобланган қийматлари Стьюдент мезони асосида жадвалдан олинган $t(P; f_i)$ нинг қийматига teng ва ундан катта бўлса, у ҳолда коэффициентлар аҳамиятли хисобланади, аксинча ҳолатда эса коэффициентлар аҳамиятсиз хисобланиб, кейинги хисоб ишларида тенгламадан тушиб қолдирилади.

Тегишли хисоблашлардан сўнг (2.52) формула қуидаги күришига келди:

$$y = 1,38 - 0,02x_1 - 0,05x_2 - 0,017x_3 - 0,1x_4 - 0,04x_2x_4 + 0,02x_1^2 + 0,02x_2^2 + 0,04x_3^2 + 0,04x_4^2. \quad (2.55)$$

Ушбу топилган регрессия тенгламасини ечиш натижасида олинган чиқувчи омил қийматлари З-илованинг 2.3-жадвалида келтирилган.

Олинган регрессия тенгламасини Фишер меъзони асосида монандликка текширишдан олдин монандлик дисперсияси ҳисобланди:

$$S_{\text{mon}}^2 = \frac{\sum_{1}^{31} (\bar{y}_u - y_{xuc})^2 - \sum_{1}^7 (y_u - \bar{y}_0)}{N - k - (n_0 - 1)}. \quad (2.56)$$

Фишер меъзонининг ҳисобий қиймати F_x топилган сўнг $F(P, f_1, f_2)$ асосида жадвалдан мос қиймат $F_{\text{ж}}$ билан солиширилади. Фишер меъзонининг жадвал қийматини иловадан қуидаги шарт бўйича оламиз:

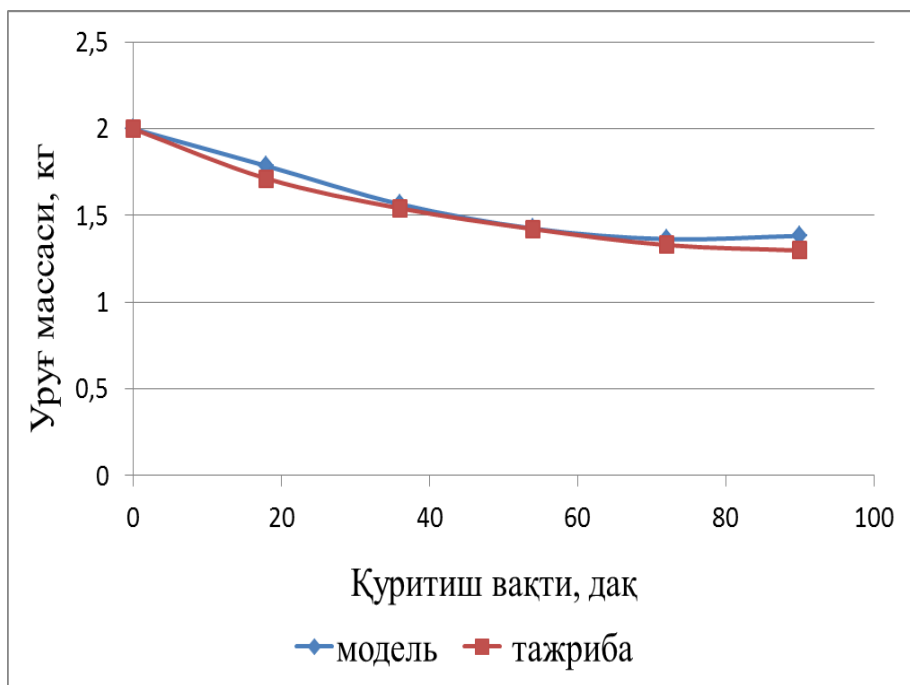
$$F_{\text{ж}} [P_D = 0,95; f_1 \{S_y^2\} = 7 - 1 = 6; f_2 \{S_{\text{mon}}^2 \{Y\}\} = 31 - 10 - (7 - 1) = 15] = 2,79$$

Фишер меъзонининг жадвалдаги қиймати $F_{\text{ж}}$ билан F_x ҳисобий қийматини таққосланганда $F_x = 2,76 < 2,79 = F_{\text{ж}}$ шарт бажарилди. Демак, тузилган модел тенгламаси тажрибага монанд.

Маълумки, топилган регрессион тенглама кириш омилларининг кодланган шаклларидан иборат бўлиб, уларни ҳақиқий қийматларига ўзгартирилганда қуидаги ифода хосил бўлди:

$$M_{80} = 42,32 - 0,81 \cdot T_{\text{ка}} - 0,0875 \cdot \varphi_0 - 0,1954 \cdot T_{\text{кк}} + 0,004636 \cdot \tau - \\ - 0,00056 \cdot \varphi_0 \cdot \tau + 0,005T_{\text{ка}}^2 + 0,00125 \cdot \varphi_0^2 + 0,0016 \cdot T_{\text{кк}}^2 + 0,000123 \cdot \tau^2. \quad (2.57)$$

Ушбу топилган формула тажриба қуриткичидаги кунгабоқар уруғларининг қуритиш ҳарорати ўртача 80°C бўлган режими учун масса бериш жараёнининг эмпирик математик модели ҳисобланади. Эмпирик модель асосида кириш омиллари ўрта қийматлари орқали масса ўзгариши ва тажрибада олинган қийматлар 4-илова 2.4-жадвалда сон жиҳатдан таққосланган. Масса ўзгариш қийматларининг таққослаш графиги 2.7-расмда келтирилган.



2.7-расм. Масса ўзгариш қийматларининг таққослаш графиги (куритиши ҳарорати 80°C).

Графикдан кўриниб турибдики, тажриба ва моделдан олинган қийматлар бир-бирига жуда яқин. Моделни монандлигини ва таққослаш графигидаги мутаносибликни хисобга олган ҳолда олинган эмпирик моделдан фойдаланиш мумкин.

Қуриткичда қунгабоқар уруғларини 90°C ҳароратда қуритишида масса йўқотилиш жараёнини моделлаштириш.

Қуриткичда қунгабоқар уруғларининг масса йўқотилиш жараёнини 90°C қуритиши ҳароратида кўриб ўтамиш ва масса ўзгаришининг эмпирик математик моделини ишлаб чиқамиз.

Киравчи омиллар:

- 1) қуритиши агенти ҳарорати, унинг ўзгариш оралиғи $88 \div 92^{\circ}\text{C}$.
- 2) қунгабоқар уруғларининг бошланғич намлиги, унинг ўзгариш оралиғи $38 \div 46\%$.
- 3) қуёш коллекторидаги ҳаво ҳарорати, унинг ўзгариш оралиғи $55 \div 65^{\circ}\text{C}$.

4) кунгабоқар уруғларини қуритиш даври, унинг ўзгариш оралиғи $36 \div 72$ дақ.

Барча кириш омиллари учун ҳисоблаш учун қулай бўлган кодланган кўринишга ўтказиб олинади. Кириш омилларининг чегаралари ва уларнинг ўзгариш оралиқлари 2.5-жадвалда келтирилган.

2.5-жадвал

Омиллар чегаралари ва уларнинг ўзгариш оралиқлари

Омилнинг номи	Кодлаштирилган белгиси	Омилнинг хақиқий қиймати					Ўзгариш оралиғи
		-2	-1	0	+1	+2	
Куритиш агенти харорати T_{ka} , °C	X ₁	86	88	90	92	94	2
Ургунинг бошлангич намлиги, %	X ₂	34	38	42	46	50	4
Куёш коллекторидаги ҳаво харорати T_{kk} , °C	X ₃	50	55	60	65	70	5
Куритиш даври, дақ.	X ₄	18	36	54	72	90	18

Масса йўқотилиш даражасининг ўрта арифметиги қийматлари 3-илова 6-жадвалга киритилган.

Регрессия моделига эга бўлиш учун матрица бўйича режалаштирилган марказий композицион тажриба ўтказилди (3-илова 2.6-жадвал).

Тажриба қуриткичининг иккинчи тартибли эмпирик математик модели (2.50) тенглама кўринишида бўлади. Тенгламадаги коэффициентлар (2.51) формула асосида ҳисоблаб топилади. C₁, C₂, C₃, C₄, C₅, C₆ ёрдамчи коэффициентлар ўзгармас.

3-илова 2.6-жадвалдан фойдаланиб регрессия коэффициентларини аниқлаш учун қуидаги қийматлар ҳисобланди:

$$\sum x_{1u} \bar{y}_u = -0,461;$$

$$\sum x_{2u} x_{3u} \bar{y}_u = -0,015;$$

$$\sum x_{2u} \bar{y}_u = -1,513;$$

$$\sum x_{2u} x_{4u} \bar{y}_u = -0,321;$$

$$\sum x_{3u} \bar{y}_u = -0,405;$$

$$\sum x_{3u} x_{4u} \bar{y}_u = 0,029;$$

$$\sum x_{4u} \bar{y}_u = -2,639;$$

$$\sum x_{1u}^2 \bar{y}_u = 33,419;$$

$$\sum x_{1u} x_{2u} \bar{y}_u = -0,031; \quad \sum x_{2u}^2 \bar{y}_u = 33,391;$$

$$\sum x_{1u} x_{3u} \bar{y}_u = 0,035; \quad \sum x_{3u}^2 \bar{y}_u = 33,435;$$

$$\sum x_{1u} x_{4u} \bar{y}_u = 0,025; \quad \sum x_{4u}^2 \bar{y}_u = 34,051.$$

Хисобланган қийматлар асосида (2.51) формула орқали регрессия коэффициентлари хисобланди:

$$\begin{aligned} b_0 &= 1,326; \quad b_1 = -0,02; \quad b_2 = -0,06; \quad b_3 = -0,017; \quad b_4 = -0,1; \quad b_{12} = -0,002; \quad b_{13} = 0,002; \\ b_{14} &= 0,0016; \quad b_{23} = -0,001; \quad b_{24} = -0,02; \quad b_{34} = 0,002; \quad b_{11} = 0,02; \quad b_{22} = 0,02; \quad b_{33} = 0,04; \\ b_{44} &= 0,04. \end{aligned}$$

Хисобланган коэффициентлар тенгламага қўйилгандан сўнг қўйидаги кўринишга келади:

$$\begin{aligned} y &= 1,326 - 0,02x_1 - 0,06x_2 - 0,017x_3 - 0,1x_4 - 0,002x_1x_2 + 0,002x_1x_3 \\ &+ 0,0016x_1x_4 - 0,001x_2x_3 - 0,02x_2x_4 + 0,002x_3x_4 + 0,02x_1^2 + 0,02x_2^2 + \\ &+ 0,02x_3^2 + 0,04x_4^2. \end{aligned} \quad (2.58)$$

Оптималлаштириш параметри дисперсияси (2.53) формула асосида хисоблаб топилган. (2.58) формуладаги коэффициентлар (2.54) асосида Стьюдент меъзонига текширилди ва аҳамиятсиз коэффициентлар тенгламадан чиқариб юборилди. Сўнгра (2.58) тенглама қўйидаги кўринишга келди:

$$\begin{aligned} y &= 1,326 - 0,02x_1 - 0,06x_2 - 0,017x_3 - 0,1x_4 - 0,02x_2x_4 + 0,02x_1^2 + \\ &+ 0,02x_2^2 + 0,02x_3^2 + 0,04x_4^2. \end{aligned} \quad (2.59)$$

Топилган ушбу регрессия тенгламасини хисобланган чиқиш қийматлари 3-илованинг 2.7-жадвалида келтирилган.

Монандлик дисперсияси (2.56) формула асосида топилгандан сўнг тенглама Фишер меъзони бўйича тажриба қийматларига монанд эканлиги аниқланди.

$$F_x = \frac{S_{\text{mon}}^2}{S_y^2} = \frac{0,0023}{0,001} = 2,3.$$

Фишер меъзонининг жадвал қийматини иловадан қуидаги шарт бўйича оламиз:

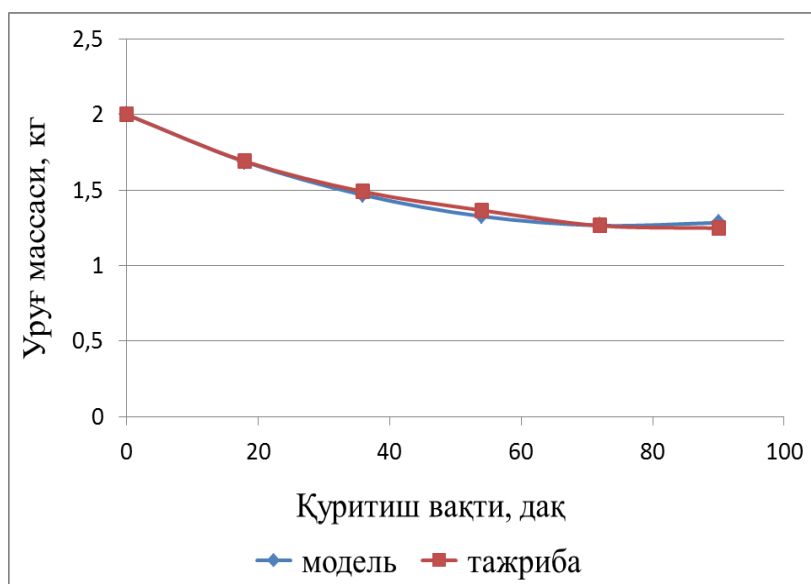
$$F_{\text{ж}} [P_{\text{Д}} = 0,95; f_1 \{S_y^2\} = 7 - 1 = 6; f_2 \{S_{\text{мон}}^2 \{Y\}\} = 31 - 10 - (7 - 1) = 15] = 2,79.$$

Фишер меъзонининг жадвалдаги қиймати $F_{\text{ж}}$ билан F_x ҳисобий қийматини таққосланганда $F_x = 2,3 < 2,79 = F_{\text{ж}}$ шарт бажарилди. Демак, тузилган модел тенгламаси тажрибага монанд.

Тенглама кириш омилларининг кодланган кўринишидан иборат бўлганилиги сабабли, уларни ҳақиқий қийматларига ўзгартирилди ва қуидаги ифода келиб чиқди:

$$M_{90} = 48,046 - 0,91 \cdot T_{\text{ка}} - 0,09 \cdot \varphi_0 - 0,0994 \cdot T_{\text{кк}} + 0,004636 \cdot \tau - \\ - 0,00056 \cdot \varphi_0 \cdot \tau + 0,005 \cdot T_{\text{ка}}^2 + 0,00125 \cdot \varphi_0^2 + 0,0008 \cdot T_{\text{кк}}^2 + 0,000123 \cdot \tau^2. \quad (2.60)$$

Демак, (2.60) тенглама тажриба қуриткичидаги кунгабоқар уруғларининг куритиши ҳарорати ўртача 90°C бўлган режими учун масса йўқотилиш жараёнигининг эмпирик математик модели ҳисобланади. Модель ва тажриба асосида топилган масса ўзгариш қийматлари 4-илова 2.8-жадвалда келтирилган бўлиб, қийматларининг таққослаш графиги 2.8-расмда тасвирланган.



2.8-расм. Масса ўзгариш қийматларининг таққослаш графиги (куритиши ҳарорати 90°C).

Монандлик мезонига ва расмдаги график тасвирга күра ҳосил бўлган тенглама тўла эмпирик модель бўла олади.

Қуриткичда кунгабоқар уруғларини 100°C ҳароратда қуритишда масса йўқотилиш жараёнини моделлаштириш.

Кунгабоқар уруғларини қуритиш жараёнини 100°C қуритиш ҳароратида кўриб ўтамиз ва масса ўзгаришининг эмпирик математик моделини ишлаб чиқамиз.

Киравчи омиллар:

- 1) қуритиш агенти ҳарорати, унинг ўзгариш оралиғи $98 \div 102^{\circ}\text{C}$.
- 2) кунгабоқар уруғларининг бошланғич намлиги, унинг ўзгариш оралиғи $38 \div 46\%$.
- 3) қуёш коллекторидаги ҳаво ҳарорати, унинг ўзгариш оралиғи $55 \div 65^{\circ}\text{C}$.
- 4) кунгабоқар уруғларини қуритиш даври, унинг ўзгариш оралиғи $36 \div 72$ дақ.

Келтирилган кириш омилларини ҳисоблаш учун қулай ҳолда кодланган кўринишга ўзгартириб олинади. 2.9-жадвалда кириш омилларининг ўзгариш оралиқлари ва чегаралари келтирилган.

2.9-жадвал

Омиллар чегаралари ва уларнинг ўзгариш оралиқлари

Омилнинг номи	Кодлаштирилган белгиси	Омилнинг хақиқий қиймати					Ўзгариш оралиғи
		-2	-1	0	+1	+2	
Қуритиш агенти ҳарорати T_{ka} , $^{\circ}\text{C}$	X ₁	96	98	100	102	104	2
Ургунинг бошланғич намлиги, %	X ₂	34	38	42	46	50	4
Қуёш коллекторидаги ҳаво ҳарорати T_{kk} , $^{\circ}\text{C}$	X ₃	50	55	60	65	70	5
Қуритиш даври, дақ.	X ₄	18	36	54	72	90	18

З-илова 2.10-жадвалда масса йўқотилиш даражасининг ўрта арифметиги қийматлари киритилган.

Регрессия моделига эга бўлиш учун матрица бўйича режалаштирилган марказий композицион тажриба ўtkазилади (З-илова 2.10-жадвал).

Эмпирик модель (2.50) тенглама күринишида бўлиб, коэффициентлар (2.51) формула орқали ҳисобланади. $C_1, C_2, C_3, C_4, C_5, C_6$ ёрдамчи коэффициентлар ўзгармасдир.

З-илова 2.10-жадвалдан фойдаланган ҳолда регрессия коэффициентларини аниқлаш учун қуйидаги қийматларни ҳисоблаймиз:

$$\begin{array}{ll} \sum x_{1u} \bar{y}_u = -0,506; & \sum x_{2u} x_{3u} \bar{y}_u = 0,026; \\ \sum x_{2u} \bar{y}_u = -1,538; & \sum x_{2u} x_{4u} \bar{y}_u = -0,324; \\ \sum x_{3u} \bar{y}_u = -0,406; & \sum x_{3u} x_{4u} \bar{y}_u = 0,034; \\ \sum x_{4u} \bar{y}_u = -2,374; & \sum x_{1u}^2 \bar{y}_u = 32,552; \\ \sum x_{1u} x_{2u} \bar{y}_u = -0,024; & \sum x_{2u}^2 \bar{y}_u = 32,552; \\ \sum x_{1u} x_{3u} \bar{y}_u = 0,05; & \sum x_{3u}^2 \bar{y}_u = 32,556; \\ \sum x_{1u} x_{4u} \bar{y}_u = 0,044; & \sum x_{4u}^2 \bar{y}_u = 33,344. \end{array}$$

Ҳисобланган қийматлар асосида регрессия коэффициентлари қуйидагича:

$b_0=1,3; b_1=-0,02; b_2=-0,06; b_3=-0,017; b_4=-0,1; b_{12}=-0,0015; b_{13}=0,00315;$
 $b_{14}=0,0028; b_{23}=0,0016; b_{24}=-0,02; b_{34}=0,002; b_{11}=0,015; b_{22}=0,015; b_{33}=0,015;$
 $b_{44}=0,04.$

Коэффициентлар қўйилгандан сўнг регрессия тенгламаси қуйидагича кўринишида бўлади:

$$\begin{aligned} y = & 1,3 - 0,02x_1 - 0,06x_2 - 0,017x_3 - 0,1x_4 - 0,0015x_1x_2 + \\ & + 0,003x_1x_3 + 0,0028x_1x_4 + 0,0016x_2x_3 - 0,02x_2x_4 + \\ & + 0,002x_3x_4 + 0,015x_1^2 + 0,015x_2^2 + 0,015x_3^2 + 0,04x_4^2. \end{aligned} \quad (2.61)$$

Режалаштириш марказидаги тажриба натижалари асосида (2.53) формула орқали оптималлаштириш параметри дисперсиясини ҳисобланади. Кейинги ҳисоблашлар учун тенглама коэффициентлари Стыюдент меъзонига

текширилди, аҳамиятсиз коэффициентлар тенгламадан чиқариб юборилди ва тенглама қуидаги күришишга келди:

$$y = 1,3 - 0,02x_1 - 0,06x_2 - 0,017x_3 - 0,1x_4 - 0,02x_2x_4 + \\ + 0,015x_1^2 + 0,015x_2^2 + 0,015x_3^2 + 0,04x_4^2. \quad (2.62)$$

Топилган тенгламанинг ҳисобланган чиқиш қийматлари 3-илованинг 2.11-жадвалида келтирилган.

Олинган регрессия тенгламаси Фишер меъзони асосида монандликка текширилди.

$$F_x = \frac{S_{\text{mon}}^2}{S_y^2} = \frac{0,0029}{0,0011} = 2,64.$$

Фишер меъзонининг жадвал қийматини иловадан қуидаги шарт бўйича оламиз:

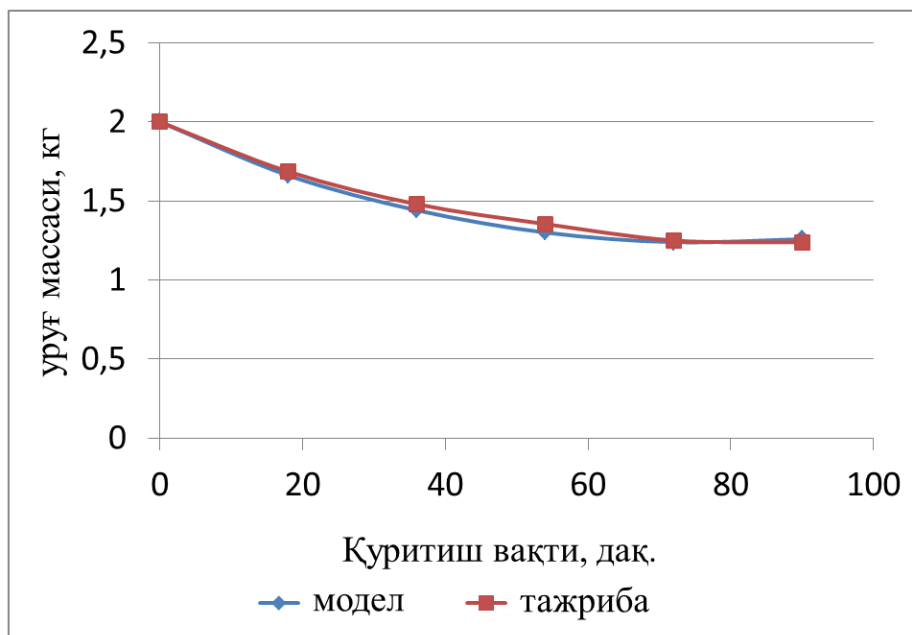
$$F_{\infty} [P_D = 0,95; f_1 \{S_y^2\} = 7 - 1 = 6; f_2 \{S_{\text{mon}}^2 \{Y\}\} = 31 - 10 - (7 - 1) = 15] = 2,79$$

Фишер меъзонининг жадвалдаги қиймати F_{∞} билан F_x ҳисобий қийматини таққосланганда $F_x = 2,64 < 2,79 = F_{\infty}$ шарт бажарилди. Демак, топилган модел тенгламаси тажрибага монанд.

Топилган тенглама кириш омилларининг кодланган шаклларидан иборат бўлганлиги учун ҳақиқий қийматларига ўзгартирилди. Тенглама қуидагича ифодаланди:

$$M_{100} = 44,479 - 0,76 \cdot T_{\text{ka}} - 0,07875 \cdot \varphi_0 - 0,07544T_{\text{kk}} - \\ - 0,007124 \cdot \tau - 0,00028 \cdot \varphi_0 \cdot T_{\text{kk}} + 0,00375 \cdot T_{\text{ka}}^2 + \\ + 0,0009375 \cdot \varphi_0^2 + 0,0006 \cdot T_{\text{kk}}^2 + 0,000123 \cdot \tau^2. \quad (2.63)$$

Топилган ушбу формула кунгабоқар уруғларини ўртача 100°C қуритиш ҳароратли режими учун масса йўқотилиш жараёнининг эмпирик математик модели ҳисобланади. Тажриба асосида олинган қийматлар билан модель ёрдамида ўрта қийматлар бўйича ҳисобланган масса ўзгаришлар қийматлари 4-илова 2.12-жадвалда келтирилган. Тажриба ва модель бўйича масса ўзгариш қийматларининг солиштириш графиги 2.9-расмда берилган.



2.9-расм. Тажриба ва модель бўйича масса ўзгариш қийматларининг солишириш графиги (куритиши ҳарорати 100°C).

Тенгламани монандликка текширгандан сўнг, юқоридаги графикдан ҳам кўриниб турибдики топилган регрессион тенглама фойдаланишга яроқли.

2.2.2. Куритиши аппаратида кунгабоқар уруғларини намлик йўқотилиш жараёнини моделлаштириш.

Биз қўйида қуритиши жараёнида кунгабоқар уруғларидан намликни йўқотилиш жараёнини ва уни моделлаштиришни кўриб ўтамиз. Тажриба учун турли бошланғич намликдаги 2кг дан кунгабоқар уруғлари олинди. Жараён 80°C, 90°C ва 100°C қуритиши ҳароратларида амалга оширилди. Тажриба иккинчи тартибли ротатабелли режалаштириш асосида ўтказилди. Бу тажрибада ҳам кириш омиллари тўртта. Қуриткич чиқишидаги уруғлар намликларининг ўзгаришига таъсир қилувчи кириш омиллари 2.13-жадвалда келтирилган.

Куриткичда кунгабоқар уругларини 80°С ҳароратда қуритишда намлик йўқотилиш жараёнини моделлаштириш.

2.13-жадвал

Омиллар чегаралари ва уларнинг ўзгариш оралиқлари

Омилнинг номи	Кодлаш-тирилган белгиси	Омилнинг хақиқий қиймати					Ўзгариш оралиғи
		-2	-1	0	+1	+2	
Куритиш агенти ҳарорати T_{ka} , °C	X ₁	76	78	80	82	84	2
Ургунинг бошлангич намлиги, %	X ₂	34	38	42	46	50	4
Күёш коллекторидаги ҳаво ҳарорати T_{kk} , °C	X ₃	50	55	60	65	70	5
Куритиш даври, дак.	X ₄	18	36	54	72	90	18

Чиқувчи омилнинг тажрибайи натижалари ҳамда дисперциялари 3-илова 2.14-жадвалда келтирилган.

Режалаштирилган тажриба матрицаси асосида ҳар бир шароитда уч марта такроран тажрибалар ўтказилди. Ўтказиладиган тажрибаларнинг умумий сони қуидаги формула орқали топилади:

$$N = 2^k + 2k + n_0 = 2^4 + 8 + 7 = 31$$

бу ерда, N – тажрибалар сони; k – омиллар сони; n_0 -ўрта қийматлардаги тажрибалар сони.

Тажриба ўтказиш натижасида олинган намлик ўзгаришининг такрорий қийматларининг ўрта арифметиги қуидагида аниқланади:

$$\bar{Y} = \frac{Y_{i1} + Y_{i2} + Y_{i3}}{3}.$$

Намлик йўқотилиш даражасининг ўрта арифметиги қийматлари 3-илова 2.14-жадвалга киритилган.

Кириш омиллари табиий қийматларидан кодланган қийматларига ўтказилди.

Регрессия модели учун матрица бўйича режалаштирилган марказий композицион тажриба матрицаси тузилди (3-илова 2.14-жадвал).

Тажриба қурилғаннан кейінгі эмпирик математик модели (2.50) тенглама күрінишида бўлади. 2^4 режа асосида тенглама коэффициентлари (2.51) формула орқали топилади. Ёрдамчи үзгармас коэффициентлар қиймати куйидагича: $C_1=0,1432$; $C_2=0,0361$; $C_3=0,042$; $C_4=0,063$; $C_5=0,032$; $C_6=0,0038$.

З-илова 2.14-жадвалдан фойдаланган холда регрессия тенгламаси коэффициентларини аниқлаш учун қуйидаги қийматлар ҳисобланди:

$$\begin{array}{ll} \sum x_{1u} \bar{y}_u = -26,3 & \sum x_{2u} x_{3u} \bar{y}_u = 2,9 \\ \sum x_{2u} \bar{y}_u = 55,1 & \sum x_{2u} x_{4u} \bar{y}_u = -36,9 \\ \sum x_{3u} \bar{y}_u = -32,7 & \sum x_{3u} x_{4u} \bar{y}_u = -10,9 \\ \sum x_{4u} \bar{y}_u = -119,9 & \sum x_{1u}^2 \bar{y}_u = 482,5 \\ \sum x_{1u} x_{2u} \bar{y}_u = -12,3 & \sum x_{2u}^2 \bar{y}_u = 489,3 \\ \sum x_{1u} x_{3u} \bar{y}_u = -1,5 & \sum x_{3u}^2 \bar{y}_u = 484,1 \\ \sum x_{1u} x_{4u} \bar{y}_u = -1,3 & \sum x_{4u}^2 \bar{y}_u = 502,9 \end{array}$$

Тенгламанинг регрессия коэффициентлари қийматлари куйидагича:

$$\begin{aligned} b_0 &= 17,87; & b_1 &= -1,1; & b_2 &= 2,3; & b_3 &= -1,37; & b_4 &= -5; & b_{12} &= -0,77; & b_{13} &= -0,1; \\ b_{14} &= -0,08; & b_{23} &= 0,18; & b_{24} &= -2,3; & b_{34} &= -0,7; & b_{11} &= 0,55; & b_{22} &= 0,77; & b_{33} &= 0,6; & b_{44} &= 1,2. \end{aligned}$$

Топилган коэффициентлар тенгламага қўйилгандан сўнг қуйидаги ифода ҳосил бўлди:

$$\begin{aligned} y &= 17,87 - 1,1x_1 + 2,3x_2 - 1,37x_3 - 5x_4 - 0,77x_1x_2 - 0,1x_1x_3 - 0,08x_1x_4 + \\ &+ 0,18x_2x_3 - 2,3x_2x_4 - 0,7x_3x_4 + 0,55x_1^2 + 0,77x_2^2 + 0,6x_3^2 + 1,2x_4^2. \end{aligned} \quad (2.64)$$

Оптималлаштириш параметри дисперсияси режалаштириш марказидаги тажриба натижалари асосида (2.53) формула ёрдамида ҳисобланди. Стыодент мөъзонига коэффициентлар текширилди ва аҳамиятсиз ҳисобланган коэффициентлар тенгламадан чиқариб ташланди. Натижада қуйидаги тенглама ҳосил бўлди:

$$y = 17,87 - 1,1x_1 + 2,3x_2 - 1,37x_3 - 5x_4 - 2,3x_2x_4 + x_4^2. \quad (2.65)$$

Топилган ушбу тенгламанинг ҳисобланган чиқиши омиллари 3-илова 2.15-жадвалда келтирилган.

Олинган регрессия тенгламасини Фишер мөъзони асосида монандликка текширилди ва тенглама тажрибага монанд эканлиги исботланди.

$$F_x = \frac{S_{\text{mon}}^2}{S_y^2} = \frac{5,84}{3,3} = 1,77.$$

Фишер мөъзонининг жадвал қийматини иловадан қўйидаги шарт бўйича оламиз:

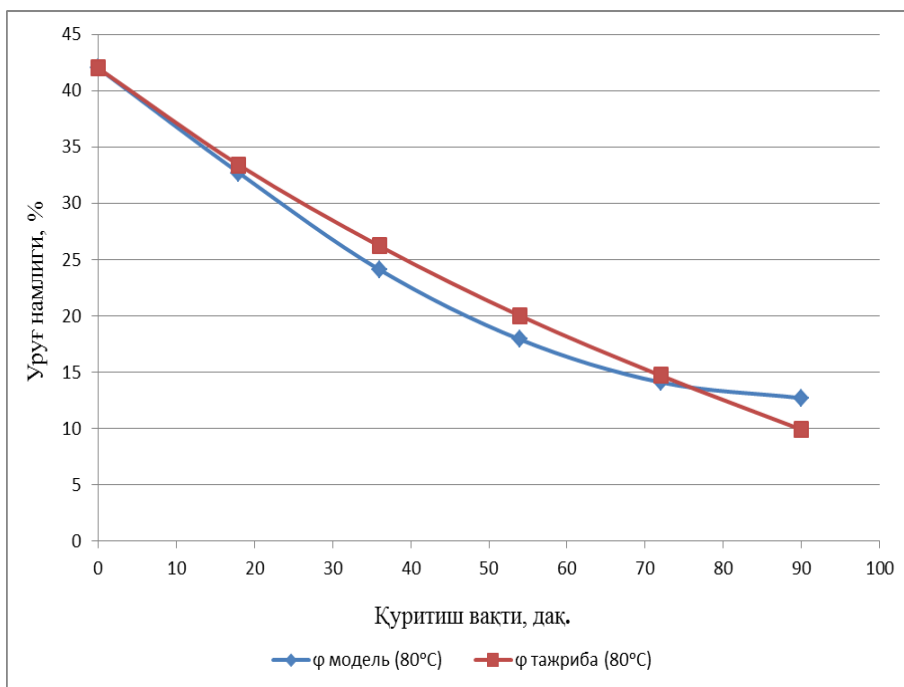
$$F_{\text{жс}} [P_{\text{Д}} = 0,95; f_1 \{S_y^2\} = 7 - 1 = 6; f_2 \{S_{\text{mon}}^2 \{Y\}\} = 31 - 7 - (7 - 1) = 18] = 2,66$$

Фишер мөъзонининг жадвалдаги қиймати $F_{\text{жс}}$ билан F_x ҳисобий қийматини таққосланганда $F_x = 1,77 < 2,66 = F_{\text{жс}}$ шарт бажарилди. Демак, тузилган модел тенгламаси тажрибага монанд.

(2.65) тенглама кириш омилларининг кодланган кўринишида бўлиб, ҳақиқий қийматларига ўзгартирилди. Тенглама қўйидаги кўринища ифодаланди:

$$\varphi_{80} = 7,52 - 0,55T_{\text{ка}} + 2,3\varphi_0 - 0,274T_{\text{кк}} + 0,664\tau - 0,03194\varphi_0\tau + 0,0037\tau^2. \quad (2.66)$$

Мазкур формула кунгабоқар уруғларини ўртача 80°C қуритиш ҳароратида қуритишда намлик йўқотилиш жараёнининг эмпирик математик модели ҳисобланади. Модель асосида ўрта қийматлар бўйича ҳисобланган намлик йўқотилиш қийматлари ва тажрибада олинган қийматлар 4-илова 2.16-жадвалда берилган. Жадвал бўйича намлик йўқотилиш қийматларининг солишириш графиги 2.10-расмда келтирилган.



2.10-расм. Тажриба ва модель бүйича намлик йүқотилиш қийматларининг солишириш графиги (қуритиш ҳарорати 80°C).

Расмда тасвирланған солишириш графиги модель қийматларини тажриба қийматларига қанчалик мос келишини күрсатмоқда.

Қуритиштегі кунгабоқар уруғларини 90°C ҳароратда қуритишда намлик йүқотилиш жараёнини моделлаштириш.

Қуритиш жараёни 90°C да ташкил этилганда қуритич чиқишидаги кунгабоқар уруғлари намлиги йүқотилиш жараёнини моделлаштирамиз. Жараёнга таъсир қилувчи кириш омиллари, уларнинг чегаралари ва ўзгариш ораликлари 2.17-жадвалда берилған.

2.17-жадвал

Кириш омиллари чегаралари ва уларнинг ўзгариш оралиқлари

Омилнинг номи	Кодлаштирилған белгиси	Омилнинг хақиқий қиймати					Ўзгариш оралиғи
		-2	-1	0	+1	+2	
Куритиш агенти ҳарорати T_{ka} , °C	X ₁	86	88	90	92	94	2
Уруғнинг бошланғич намлиги, %	X ₂	34	38	42	46	50	4
Күёш коллекторидаги ҳаво ҳарорати T_{kk} , °C	X ₃	50	55	60	65	70	5
Куритиш даври, дак.	X ₄	18	36	54	72	90	18

Чикувчи омилнинг тажрибавий натижалари ҳамда дисперциялари ва намлиқ йўқотилиш даражасининг ўрта арифметиги қийматлари 3-илова 2.18-жадвалда келтирилган.

Кириш омиллари табиий қийматларидан кодланган қийматларига айлантирилди.

Режалаштирилган марказий композицион тажриба матрицаси тузилди (3-илова 2.18-жадвал).

3-илова 2.18-жадвалдан фойдаланган ҳолда регрессия коэффициентларини аниқлаш учун қуйидаги қийматларни ҳисоблаб топилди:

$$\sum x_{1u} \bar{y}_u = -27,8; \quad \sum x_{2u} x_{3u} \bar{y}_u = -20,6;$$

$$\sum x_{2u} \bar{y}_u = 43,8; \quad \sum x_{2u} x_{4u} \bar{y}_u = -36,8;$$

$$\sum x_{3u} \bar{y}_u = -24,2; \quad \sum x_{3u} x_{4u} \bar{y}_u = 0;$$

$$\sum x_{4u} \bar{y}_u = -154,2; \quad \sum x_{1u}^2 \bar{y}_u = 393;$$

$$\sum x_{1u} x_{2u} \bar{y}_u = -2; \quad \sum x_{2u}^2 \bar{y}_u = 393,4;$$

$$\sum x_{1u} x_{3u} \bar{y}_u = -2; \quad \sum x_{3u}^2 \bar{y}_u = 393;$$

$$\sum x_{1u} x_{4u} \bar{y}_u = -1,2; \quad \sum x_{4u}^2 \bar{y}_u = 414,2.$$

Тенгламанинг ҳисобланган регрессия коэффициентлари қуйидагича:

$$b_0=14,4; \quad b_1=-1,2; \quad b_2=1,8; \quad b_3=-1; \quad b_4=-6,5; \quad b_{12}=-0,13; \quad b_{13}=0,1; \\ b_{14}=-0,13; \quad b_{23}=-0,08; \quad b_{24}=-1,3; \quad b_{34}=0; \quad b_{11}=0,49; \quad b_{22}=0,5; \quad b_{33}=0,49; \quad b_{44}=1,2.$$

Ҳисоблаб топилган коэффициентлар асосида қуйидаги тенглама шаклланди:

$$y = 14,4 - 1,2x_1 + 1,8x_2 - x_3 - 6,5x_4 - 0,13x_1x_2 - 0,1x_1x_3 - \\ - 0,13x_1x_4 + 0,08x_2x_3 - 1,3x_2x_4 + 0,49x_1^2 + 0,5x_2^2 + 0,49x_3^2 + 1,2x_4^2. \quad (2.67)$$

Оптималлаштириш параметри дисперсияси (2.53) формула орқали ҳисобланиб, тенглама коэффициентлари Стыюдент мъзонига текширилди ва аҳамиятсиз коэффициентлар тенгламадан чиқариб ташланди. Ҳосил бўлган тенглама қуйидагича:

$$y = 14,4 - 1,2x_1 + 1,8x_2 - x_3 - 6,5x_4 - 1,3x_2x_4 + 1,2x_4^2. \quad (2.68)$$

Мазкур тенглама бўйича ҳисобланган чиқиши омиллари 3-илова 2.19-жадвалда берилган.

(2.68) тенглама Фишер меъзони асосида монандликка текширилди ва монандлиги исботланди.

$$F_x = \frac{S_{\text{mon}}^2}{S_y^2} = \frac{3,07}{4} = 0,77.$$

Фишер меъзонининг жадвал қийматини иловадан қўйидаги шарт бўйича оламиз:

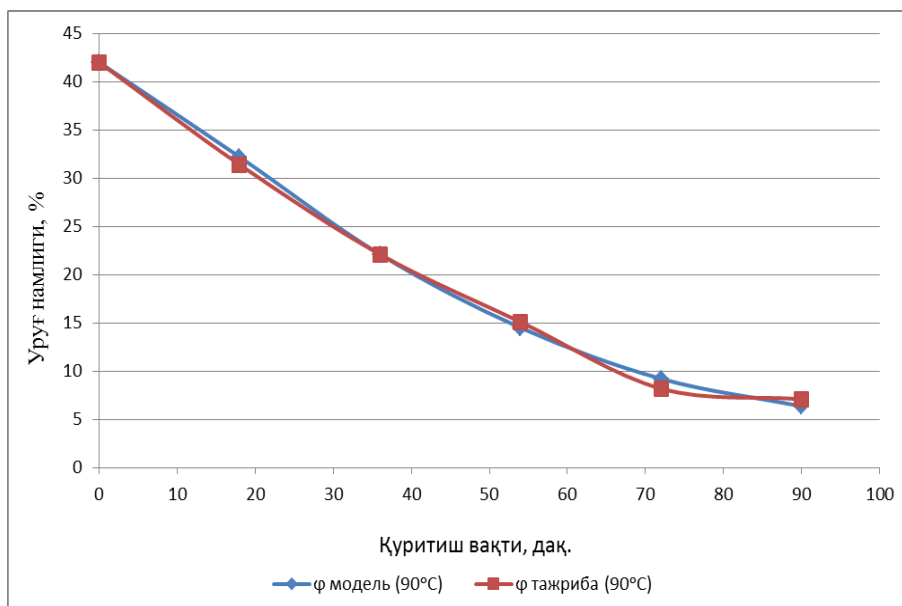
$$F_{\text{ж}} [P_{\text{Д}} = 0,95; f_1 \{S_y^2\} = 7 - 1 = 6; f_2 \{S_{\text{mon}}^2 \{Y\}\} = 31 - 7 - (7 - 1) = 18] = 2,66$$

Фишер меъзонининг жадвалдаги қиймати $F_{\text{ж}}$ билан F_x ҳисобий қийматини таққосланганда $F_x = 0,77 < 2,66 = F_{\text{ж}}$ шарт бажарилди. Демак, тузилган модел тенгламаси тажрибага монанд.

Тенглама кириш омилларининг кодланган қўринишидан иборат бўлиб, ҳақиқий қийматларига айлантирилди. Ҳақиқий қийматларига эга кириш омилларидан иборат тенглама қўйидагича ифодаланади:

$$\begin{aligned} \varphi_{90} = & 50,844 - 0,6T_{\text{ка}} + 1,425\varphi_0 - 0,2T_{\text{кк}} + 0,0038\tau - \\ & - 0,0182\varphi_0\tau + 0,00372\tau^2. \end{aligned} \quad (2.69)$$

Ушбу формула ўртача 90°C қуритиш ҳароратида кунгабоқар уруғларини қуритишда намлик йўқотилиш жараёнининг эмпирик математик модели ҳисобланади. Ўрта қийматлар бўйича модель асосида ҳисоблаб топилган намлик йўқотиш қийматлари ҳамда тажриба қийматлари 4-илова 2.20-жадвалда келтирилган. Жадвалдаги қийматларнинг таққослаш графиги 2.11-расмда берилган.



2.11-расм. Тажриба ва модель бўйича намлик йўқотилиш қийматларининг солиштириш графиги (куритиши ҳарорати 90°C).

Расмда тасвирланган солиштириш графигидан ҳам кўриниб турибдики, топилган эмпирик модел тенгламаси тажрибага тўла мос келади ва фойдаланишга яроқли.

Куриткичда кунгабоқар уруғларини 100°C ҳароратда куритища намлик йўқотилиш жараёнини моделлаштириш.

Куритиши жараёни 100°C да ташкил этилганда қуриткич чиқишидаги кунгабоқар уруғлари намлиги йўқотилиш жараёнининг эмпирик моделини ишлаб чиқамиз. Куритиши жараёнига таъсир қилувчи кириш омиллари, чегаралари ва ўзгариш оралиқлари 2.21-жадвалда берилган.

2.21-жадвал

Кириш омиллари чегаралари ва уларнинг ўзгариш оралиқлари

Омилнинг номи	Кодлаштирилган белгиси	Омилнинг хақиқий қиймати					Ўзгариш оралиғи
		-2	-1	0	+1	+2	
Куритиши агенти ҳарорати T_{ka} , °C	X ₁	96	98	100	102	104	2
Ургунинг бошланғич намлиги, %	X ₂	34	38	42	46	50	4
Қуёш коллекторидаги ҳаво ҳарорати T_{kk} , °C	X ₃	50	55	60	65	70	5
Куритиши даври, дақ.	X ₄	18	36	54	72	90	18

Чиқувчи омилнинг тажрибавий натижалари ҳамда дисперциялари, намлик йўқотилиш даражасининг ўрта арифметиги қийматлари 3-илова 2.22-жадвалда келтирилган.

Кириш омиллари ўзининг табиий қийматларидан кодланган қийматларига ўзгартирилди. Режалаштирилган марказий композицион тажриба матрицаси 3-илова 2.22-жадвалда берилган.

Мазкур жадвалдан фойдаланган ҳолда регрессия коэффициентларини аниқлаш учун қуидаги қийматларни ҳисоблаймиз:

$$\begin{array}{ll} \sum x_{1u} \bar{y}_u = -32,1; & \sum x_{2u} x_{3u} \bar{y}_u = 1,1; \\ \sum x_{2u} \bar{y}_u = 41,5; & \sum x_{2u} x_{4u} \bar{y}_u = -22,3; \\ \sum x_{3u} \bar{y}_u = -25,5; & \sum x_{3u} x_{4u} \bar{y}_u = 0,3; \\ \sum x_{4u} \bar{y}_u = -144,3; & \sum x_{1u}^2 \bar{y}_u = 340,9; \\ \sum x_{1u} x_{2u} \bar{y}_u = -2,1; & \sum x_{2u}^2 \bar{y}_u = 342,9; \\ \sum x_{1u} x_{3u} \bar{y}_u = 2,9; & \sum x_{3u}^2 \bar{y}_u = 341,3; \\ \sum x_{1u} x_{4u} \bar{y}_u = -0,5; & \sum x_{4u}^2 \bar{y}_u = 372,1. \end{array}$$

Ҳисобланган қийматлар асосида регрессия тенгламасининг коэффициентлари қуидагича:

$$b_0=13,83; \quad b_1=-1,3; \quad b_2=1,7; \quad b_3=-1,1; \quad b_4=-6; \quad b_{12}=-0,13; \quad b_{13}=0,18; \\ b_{14}=-0,03; \quad b_{23}=-0,07; \quad b_{24}=-1,4; \quad b_{34}=0,02; \quad b_{11}=0,016; \quad b_{22}=0,08; \quad b_{33}=0,03; \quad b_{44}=1.$$

Ҳисобланган қийматлардан келиб чиқиб регрессия тенгламаси қуидагича кўринишда бўлади:

$$y = 13,83 - 1,3x_1 + 1,7x_2 - 1,1x_3 - 6x_4 - 0,13x_1x_2 + 0,18x_1x_3 - \\ - 0,03x_1x_4 - 0,07x_2x_3 - 1,4x_2x_4 + 0,02x_3x_4 + 0,016x_1^2 + \\ + 0,08x_2^2 + 0,03x_3^2 + x_4^2. \quad (2.70)$$

Оптималлаштириш параметри дисперсияси режалаштириш марказидаги тажрибалар натижалари асосида (2.53) формула бўйича ҳисобланди. (2.70)

тенгламадаги коэффициентлар Стыодент мезонига текширилиб, ахамиятсиз ҳисобланган коэффициентлар тенгламадан чиқариб юборилди. Натижада тенглама қуидаги күринишга келди:

$$y = 13,83 - 1,3x_1 + 1,7x_2 - 1,1x_3 - 6x_4 - 1,4x_2x_4 + x_4^2. \quad (2.71)$$

Ушбу тенглама орқали ҳисобланган чиқиш омили қийматлари 3-илова 2.23-жадвалда келтирилган.

Фишер мезони асосида (2.71) регрессия тенгламаси монандликка текширилди ва тенгламанинг тажрибага монанд эканлиги тасдиқланди.

$$F_x = \frac{S_{\text{mon}}^2}{S_y^2} = \frac{2,2}{4,455} = 0,5.$$

Фишер мезонининг жадвал қийматини иловадан қуидаги шарт бўйича оламиз:

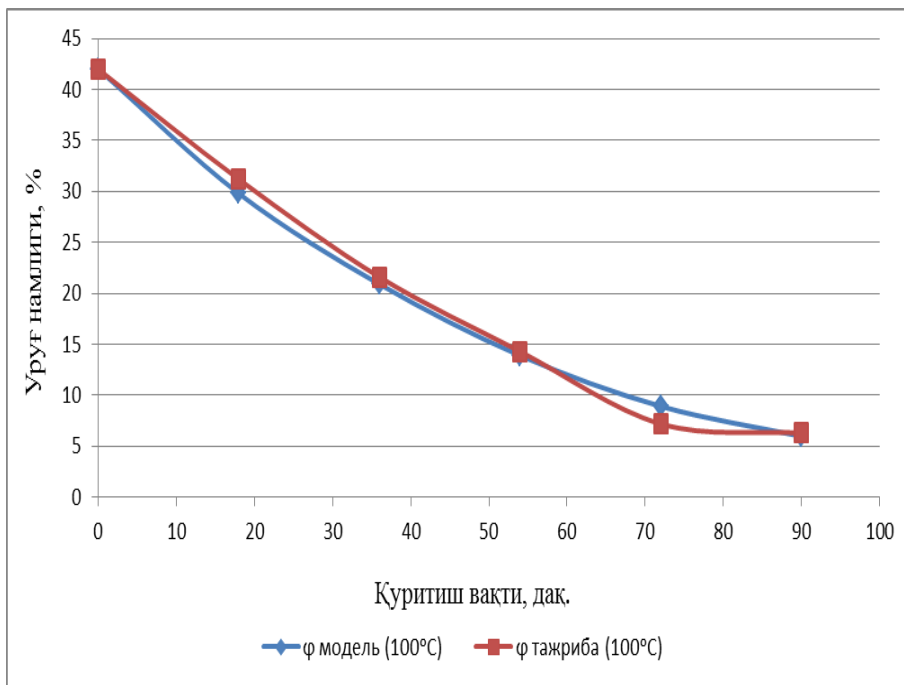
$$F_{\text{ж}} [P_D = 0,95; f_1 \{S_y^2\} = 7 - 1 = 6; f_2 \{S_{\text{mon}}^2 \{Y\}\} = 31 - 7 - (7 - 1) = 18] = 2,66.$$

Фишер мезонининг жадвалдаги қиймати $F_{\text{ж}}$ билан F_x ҳисобий қийматини таққосланганда $F_x = 0,5 < 2,66 = F_{\text{ж}}$ шарт бажарилди. Демак, тузилган модел тенгламаси тажрибага монанд.

Кодланган кириш омиллари ўзининг ҳақиқий қийматларига ўзгартирилди. Натижада тенглама қуидаги күринишга келди:

$$\varphi_{100} = 55,862 - 0,65T_{\text{ка}} + 1,475\varphi_0 - 0,2T_{\text{кк}} + 0,1572\tau - 0,0196\varphi_0\tau + 0,0031\tau^2. \quad (2.72)$$

Топилган (2.72) формула қуритиш ҳарорати 100°C бўлган режимда кунгабоқар уруғларини қуритишида намлик йўқотиш жараёнининг эмпирик математик модели саналади. Модель бўйича кириш омилларининг ўрта қийматлари ассида намлик йўқотилиш қийматлари ва тажриба қийматлари 4-илова 2.24-жадвалда келтирилган. Жадвал бўйича қийматларнинг ўзгариш графиги 2.12-расмда таққосланган.



2.12-расм. Тажриба ва модель бўйича намлик йўқотилиш қийматларининг таққослаш графиги (куритиши ҳарорати 100°C).

Монандликка текширилган топилган регрессион тенгламани расмдаги таққослаш гарфиги ҳам фойдаланишга яроқли эканини исботламоқда.

2.3. Барабан типидаги комбинациялашган қуритиши аппаратида энергия тежамкорликни математик моделлаштириш

Тажриба қуриткичидаги қуритиши агентининг ҳарорати, тезлиги ва қуёш коллекторидаги ҳаво ҳароратини қуриткичнинг электр энергия сарфига таъсирини ўрганиб, қуриткичнинг энергия тежамкорлигининг математик тенгламасини келтириб чиқарамиз. Тажриба ёз ва куз ойларида ўтказилган бўлиб, қуриткичнинг энергия тежамкорлиги турличадир. Бунинг сабаби, атмосфера ҳарорати қийматини турлича бўлиши ҳисобига қуёш коллекторидаги ҳаво ҳарорати қиймати билан электрокалорифердан чиқаётган қуритиши агенти ҳарорати орасидаги фарқнинг турлича бўлишидир. Ушбу фарқ қанча кичик бўлса, қуриткичнинг энергия сарфи мос равища кичик бўлади, ёки аксинча. Тажриба учун қунгабоқар уруғлари олинган бўлиб, қуритиши ўртача 80°C , 90°C ва 100°C қуритиши ҳароратларида амалга

оширилди. Қуёш коллекторидаги ҳаво ҳароратининг ўзгаришига тажриба қуриткичининг конструкциясидан келиб чиқиб ушбу қуритиш ҳароратлари ҳам таъсир қиласи.

2.3.1. Қуритиш аппаратининг ёз ойи учун энергия тежамкорлик эмпирик моделини ишлаш чиқиши.

Дастлаб ёз ойида ўтказилган тажриба асосида қуриткичининг энергия тежамкорлик E тенгламасини келтириб чиқарамиз. Қуриткичининг энергия тежамкорлигига таъсир қилувчи кириш омиллари сифатида қуритиш агентининг ҳарорати, тезлиги ва қуёш коллекторидаги ҳаво ҳарорати каби параметрлар олинган бўлиб, уларнинг ўзгариш оралиқлари қуидагича:

- 1) қуритиш агенти ҳарорати $T_{\text{ка}}$, унинг ўзгариш оралиғи $80 \div 100^{\circ}\text{C}$;
- 2) қуёш коллекторидаги ҳаво ҳарорати $T_{\text{кк}}$, унинг ўзгариш оралиғи $55 \div 65^{\circ}\text{C}$;
- 3) қуритиш агенти тезлиги $V_{\text{ка}}$, унинг ўзгариш оралиғи $0.5 \text{ м/с} \div 1.5 \text{ м/с}$.

Биринчи кириш омили учун қуидагиларни ҳисоблаймиз:

$$x_1^{\max} = 100^{\circ}\text{C}, \quad x_1^{\min} = 80^{\circ}\text{C}$$

Ўрта қиймат ва ўзгариш оралиғи (қадами)ни ҳисоблаймиз:

$$x_1^0 = \frac{x_1^{\max} + x_1^{\min}}{2} = \frac{100^{\circ}\text{C} + 80^{\circ}\text{C}}{2} = 90^{\circ}\text{C}$$

$$\Delta x = \frac{x_1^{\max} - x_1^{\min}}{2} = \frac{100^{\circ}\text{C} - 80^{\circ}\text{C}}{2} = 10^{\circ}\text{C}$$

Биринчи ириш омили кодланди. Қолган кириш омиллари учун ҳам юқоридаги ҳисоб ишлари амалга оширилди. Кiriш омилларининг ҳақиқий ва кодланган қийматлари комбинацияси 2.25-жадвал келтирилган. Учта кириш омилли тажриба учун ўтказиладиган тажрибалар комбинациялар сони $N = 2^3 = 8$.

2.25-жадвал

**Кириш омилларининг ҳақиқий ва кодланган қийматлари
комбинацияси**

Тажрибалар сони №	Кириш омилларининг натурал қийматлари			Кириш омилларининг ўлчамсиз тизимдаги қийматлари		
	$T_{\text{ка}}$	$T_{\text{кк}}$	$V_{\text{ка}}$	x_1	x_2	x_3
1	80	55	0,5	- 1	- 1	- 1
2	100	55	0,5	+1	- 1	- 1
3	80	65	0,5	- 1	+1	- 1
4	100	65	0,5	+1	+1	- 1
5	80	55	1,5	- 1	- 1	+1
6	100	55	1,5	+1	-1	+1
7	80	65	1,5	- 1	+1	+1
8	100	65	1,5	+1	+1	+1

Кириш омиллари комбинациялари асосида ўтказилган тажриба қийматлари қуйидаги жадвалда келтирилган:

2.26-жадвал.

Комбинация асосида кириш омилларининг тажриба қийматлари

№	x_0	x_1	x_2	x_3	x_1x_2	x_1x_3	x_2x_3	y
1	+	-	-	-	+	+	+	2410
2	+	+	-	-	-	-	+	2893
3	+	-	+	-	-	+	-	2285
4	+	+	+	-	+	-	-	2685
5	+	-	-	+	+	-	-	2655
6	+	+	-	+	-	+	-	3244
7	+	-	+	+	-	-	+	2520
8	+	+	+	+	+	+	+	2971

$b_j = \frac{1}{N} \sum x_{ji} y_i$ формула орқали коэффициентларни аниқлаймиз:

$$b_0=2708; \quad b_1=240; \quad b_2=-92,6; \quad b_3=139,6; \quad b_{12}=-27,6; \quad b_{13}=19,6; \quad b_{23}=-9,4.$$

Кириш омилларининг ўрта қийматлари асосида 6 марта такроран тажриба ўтказилди ва тажриба натижалари қийматларининг ўрта арифметиги ҳисобланди.

Оптималлаштириш параметри дисперсияси қуйидаги формула бўйича ҳисобланади:

$$S_y^2 = \frac{\sum_{i=1}^n (y_i - \bar{y}_0)^2}{n_0 - 1}; \quad (2.73)$$

бу ерда \bar{y}_0 - ўрта қийматларда ҳисобланган чиқиши катталиги қийматларининг ўрта арифметиги. Стыодент меъзони бўйича топилган коэффициентларнинг аҳамиятлиги аниқланади:

$$S_{b_i} = \frac{S_y}{\sqrt{N}}; \quad t_i = \frac{|b_i|}{S_{b_i}}. \quad (2.74)$$

Аҳамиятлилик даражаси $r = 0,05$ ва эркинлик даражаси $f = 3-1=2$ да Стыодент меъзони қиймати $t_p (f) = 4,3027$ га тенг. Ушбу меъзон қийматидан модул жиҳатдан кичик бўлган коэффициент қийматлари аҳамиятлилиги кичик бўлганлиги сабабли кейинги ҳисоблашлардан олиб ташланади ва b_0, b_1, b_2, b_3 , коэффициентлар кейинги ҳисоблашларда қатнашади. Тенглама қўйидагича бўлади:

$$y = 2708 + 240x_1 - 92,6x_2 + 139x_3. \quad (2.75)$$

Топилган тенглама асосида ҳисобланган қийматлар билан тажриба қийматлари 3-илова 2.27-жадвалда келтирилган.

Тенглама монандликка текшириш учун монандлик дисперсияси ҳисобланди:

$$S_{mon}^2 = \frac{\sum_{i=1}^8 (y_{xuc} - \hat{y}_{xuc})^2}{N - (k + 1)}. \quad (2.76)$$

Тенгламани монандлик бўйича Фишер меъзонига текширилди ва тенгламанинг тажрибага монандлиги тасдиқланди.

$$F_{xuc} = \frac{S_{mon}^2}{S_y^2} = 1,19.$$

Аҳамиятлилик даражаси $p = 0,05$ ва эркинлик даражалари $f_1 = 3-1=2$ ва $f_2=4$ да $F_{sc}=6,93$.

Фишер мөъзонининг жадвалдаги қийматини ҳисобий қиймат билан таққослашда қуйидаги шарт бажарилиши керак:

$$F_x < F_{sc};$$

шартга кўра $F_x < F_{sc}$, яъни $1,19 < 6,93$;

Демак, тузилган модел тенгламаси тажрибага монанд.

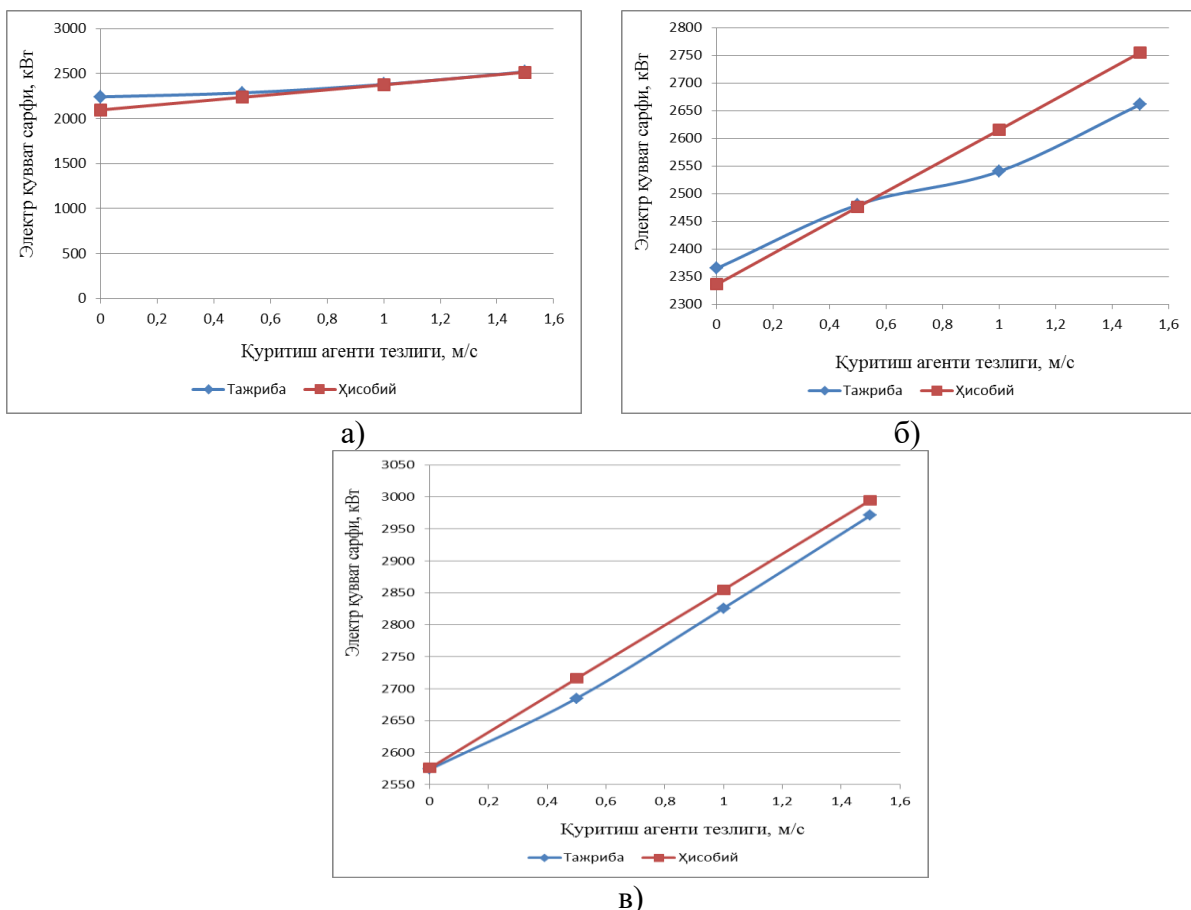
(2.75) тенглама кириш омилларининг кодланган шаклларидан иборат. Шунинг учун тенгламани ҳақиқий қийматларга ўзгартирилди. Натижада қуйидаги тенглама ҳосил бўлди:

$$E_{\dot{e}_3} = 1380 + 24T_{ka} - 18,52T_{kk} + 279,2V_{ka}. \quad (2.77)$$

Топилган ушбу тенглама қуритиш аппаратининг ёз ойи учун энергия тежамкорлигини ифодаловчи эмпирик математик модел ҳисобланади. Мазкур математик модел қуриткичнинг электр энергия истеъмолини 98,4% аниқликда башорат қилиш имконини беради. Модел асосида графиклар қурамиз. 6-илова 2.13, 2.14-расмларда қуёш коллекторидаги ҳаво ҳарорати 55°C , 60°C ва 65°C , қуритиш агенти тезлиги $0 \div 1.5$ м/с оралиқда ўзгарадиган ҳолатларда 80°C , 90°C ва 100°C қуритиш ҳароратлари билан ишлаш жараёнидаги қуриткичнинг электр қувват сарфи ўзгариш графиклари кўрсатилган.

6-илова 2.13, 2.14-расмлардаги графиклардан кўринадики, қуритиш агенти ҳарорати ортган сари қуриткич электр қувват сарфи ҳам чизиқли ортиб боради. Бундан ташқари ўрнатилган қуритиш агенти ҳароратида қуёш коллекторидаги ҳаво ҳароратининг ортиши билан электр қувват сарфи камаяди. Буни қуёш коллекторидаги ҳаво ҳароратини ортиши коллектордан сўриб олинаётган ушбу ҳавони электрокалориферда керакли қуритиш ҳароратигача қиздириш вақтини камайишига сабабчи бўлиши билан тушинтириш мумкин [142].

2.15-расмда топилган тенглама бўйича ҳисобланган қийматлар тажриба қийматлари билан график кўринишда таққосланган. Қуёш коллекторидаги ҳаво ҳарорати 65°C бўлган ҳолат бўйича ҳисобланган.



2.15-расм. Тенглама бўйича ҳисобланган элекстр қувват сарфи қийматларини тажриба қийматларига монандлиги графиги: а) қуритиш агенти ҳарорати 80°C , б) қуритиш агенти ҳарорати 90°C , в) қуритиш агенти ҳарорати 100°C .

Расмдаги графиклардан кўринадики, элекстр қувватнинг ҳисобий қийматлари билан тажриба қийматлари орасидаги фарқ катта эмас. Демак, топилган эмпирик модельдан берилган қуритиш ҳароратларида курилма энергия тежамкорлигини башорат қилишда фойдаланиш мумкин.

2.3.2. Қуритиш аппаратининг куз ойи учун энергия тежамкорлик эмпирик моделини ишлаш чиқиши.

Куз ойида ўтказилган тажриба асосида қуриткичнинг элекстр энергия сарфи тенгламасини келтириб чиқарамиз. Кириш омиллари сифатида

қуритиш агенти ҳарорати, қуёш коллекторидаги ҳаво ҳарорати ва қуритиш агенти тезлиги параметрлари олинган бўлиб, уларнинг ўзгариш оралиқлари қуийдагича:

- 1) қуритиш агенти ҳарорати $T_{\text{ка}}$, унинг ўзгариш оралиғи $80 \div 100^{\circ}\text{C}$;
- 2) қуёш коллекторидаги ҳаво ҳарорати $T_{\text{кк}}$, унинг ўзгариш оралиғи $45 \div 55^{\circ}\text{C}$;
- 3) қуритиш агенти тезлиги $V_{\text{ка}}$, унинг ўзгариш оралиғи $0.5 \text{ м/с} \div 1.5 \text{ м/с}$.

Кириш омилларини регрессион тенгламани ҳисоблаш учун қулай бўлган кодланган кўринишга ўтказилди. Кириш омилларининг ҳақиқий ва кодланган қийматлари комбинацияси 2.28-жадвал келтирилган.

2.28-жадвал Кириш омилларининг ҳақиқий ва кодланган қийматлари комбинацияси

Кириш омилларининг натурал қийматлари				Кириш омилларининг ўлчамсиз тизимдаги қийматлари		
Тажрибалар сони №	$T_{\text{ка}}$	$T_{\text{кк}}$	$V_{\text{ка}}$	x_1	x_2	x_3
1	80	45	0,5	- 1	- 1	- 1
2	100	45	0,5	+1	- 1	- 1
3	80	55	0,5	- 1	+1	- 1
4	100	55	0,5	+1	+1	- 1
5	80	45	1,5	- 1	- 1	+1
6	100	45	1,5	+1	- 1	+1
7	80	55	1,5	- 1	+1	+1
8	100	55	1,5	+1	+1	+1

Кириш омиллари комбинациялари асосида ўтказилган тажриба қийматлари 2.29-жадвалда келтирилган:

2.29-жадвал Комбинация асосида кириш омилларининг тажриба қийматлари

№	x_0	x_1	x_2	x_3	x_1x_2	x_1x_3	x_2x_3	y
1	+	-	-	-	+	+	+	2815
2	+	+	-	-	-	-	+	3347
3	+	-	+	-	-	+	-	2728
4	+	+	+	-	+	-	-	2951
5	+	-	-	+	+	-	-	3214
6	+	+	-	+	-	+	-	3794
7	+	-	+	+	-	-	+	3077
8	+	+	+	+	+	+	+	3348

$b_j = \frac{1}{N} \sum x_{ji} y_i$ формула орқали коэффициентларни аниқлаймиз:
 $b_0=3159; b_1=200; b_2=-133; b_3=199; b_{12}=-77; b_{13}=12; b_{23}=-12,5.$

6 марта такроран кириш омилларнинг ўрта қийматлари асосида тажриба ўтказилди ва ўрта арифметиги ҳисобланди. Оптималлаштириш параметри дисперсияси (2.73) формула бўйича ҳисобланади. Ҳисобланган коэффициентлар Стъюдент меъзони асосида аҳамиятлиликка текширилди. Аҳамиятлиликка эга бўлган коэффициентлардан иборат тенглама қўйидаги кўринишга эга:

$$y = 3159 + 200x_1 - 133x_2 + 199x_3 - 77x_1x_2. \quad (2.78)$$

Тажриба қийматлари билан топилган тенглама асосида ҳисобланган қийматлар 3-илова 2.30-жадвалда берилган.

Тенгламанинг монандлик дисперсияси (2.76) формула орқали ҳисобланди ва Фишер меъзонида монандликка текширилди. Тенгламанинг тажрибага монандлиги исботланди.

$$F_x = \frac{S_{\text{mon}}^2}{S_y^2} = 0,28.$$

Аҳамиятлилик даражаси $p = 0,05$ ва эркинлик даражалари $f_1 = 3-1=2$ ва $f_2=4$ да $F_{\text{ж}}=6,93$.

Фишер меъзонининг жадвалдаги қийматини ҳисобий қиймат билан таққослашда қўйидаги шарт бажарилиши керак:

$$F_x < F_{\text{ж}};$$

шартга кўра $F_x < F_{\text{ж}}$, яъни $0,28 < 6,93$;

Демак, тузилган модел тенгламаси тажрибага монанд.

(2.78) тенглама кодланган шаклдаги кириш омилларига эга. Шу сабабли тенгламани ҳақиқий қийматларга айлантирилди. Тенглама қўйидаги кўринишга келди:

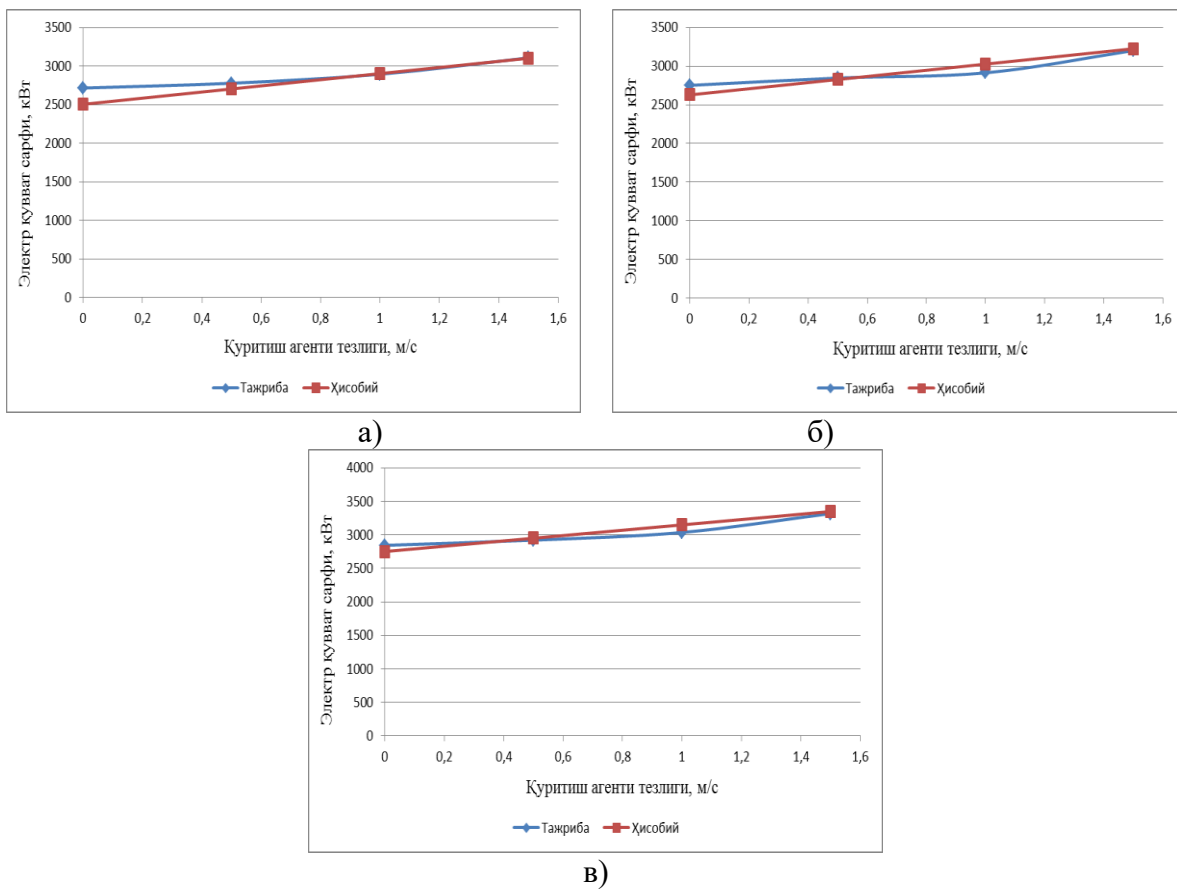
$$E_{\text{куз}} = -4639 + 97T_{\text{ка}} + 112T_{\text{кк}} + 398V_{\text{ка}} - 1,54T_{\text{ка}}T_{\text{кк}}. \quad (2.79)$$

Топилган тенглама қуритиш аппаратининг куз ойи учун электр энергия тежамкорлигини ифодаловчи эмпирик матерматик модел ҳисобланади. Мазкур эмпирик модел қуриткичнинг электр энергия истеъмолини 97,6% аниқликда башорат қилиш имконини беради. Моделдаги қуритиш агенти ҳарорати билан қуёш коллекторидаги ҳаво ҳароратининг қўпайтмаси ушбу параметрларни ўзаро боғлиқлигини англатади, яъни қуритиш агентининг ҳароратининг ортиши қуёш коллекторидаги ҳаво ҳароратининг ошишига сезиларли таъсир қилмоқда. Ёз ойида ушбу таъсир сезиларсиз даражада бўлганлиги учун тенгламада акс этмаган. Куз ойида атмосфера ҳавоси ҳароратининг пастлиги, ҳаво таркибида намлик қўплиги ва ҳаво зичлигининг ёз ойига нисбатан юқорилиги қуёш коллекторидаги ҳаво ҳароратининг ўзгаришига таъсир қиласи, коллектордаги ҳаво ҳароратига ичидан қуритиш агенти ўтаётган айланувчи барабаннинг қизиши натижасида узатилаётган иссиқлик таъсири ортади.

Топилган тенглама асосида графиклар қурамиз. 6-илова 2.16, 2.17-расмларда қуёш коллекторидаги ҳаво ҳарорати 45°C , 50°C ва 55°C , қуритиш агенти тезлиги $0 \div 1.5 \text{ м/с}$ оралиқда ўзгарадиган ҳолатларда 80°C , 90°C ва 100°C қуритиш ҳароратлари билан ишлаш жараёнидаги қуриткичнинг электр қувват сарфи ўзгариш графиклари қўрсатилган.

6-илова 2.16 ва 2.17-расмлардаги графиклар ҳақида 6-илова 2.13 ва 2.14-расмлар ҳақидаги фикрларни айтиш мумкин. Факат куз ойида қувват сарфи ёз ойига нисбатан кўпроқ бўлиши графиклардан маълум бўлиб туриди. Қуритиш агенти ҳарорати ортган сари қуёш коллекторидаги ҳаво ҳарорати ўзгаришлар кесимида электр қувват сарфи ўзгариш қиймати кескин ортиб боради (6-илова 2.16-расм). Қуёш коллекторидаги ҳаво ҳарорати ортган сари қуритиш агенти ҳароратлари кесимида электр қувват сарфи ўзгариш қиймати камайиб боради (6-илова 2.17-расм). Бу икки ҳолат куз ойидаги атмосфера ҳавосини қиздириш учун ёз ойига нисбатан кўпроқ вақт сарфланаётгани билан изоҳланади. Бунга сабаб эса куз ойида атмосфера ҳавосининг оғир бўлиши ва ҳароратининг паст бўлишидир.

Энди топилган тенглама орқали ҳисобланган электр қувват сарфи қийматларини тажрибада топилган қиймат билан таққослашни 2.18-расмда тасвирланган графиклар орқали амалга оширамиз.



2.18-расм. Тенглама бўйича ҳисобланган электр қувват сарфи қийматларини тажриба қийматларига монандлиги графиги: а) қуритиш агенти ҳарорати 80°C, б) қуритиш агенти ҳарорати 90°C, в) қуритиш агенти ҳарорати 100°C.

Топилган тенглама тажриба қийматларига монанд эканлиги исботлангандан сўнг, расмдаги графиклар тенгламани монанд эканлигини яққол тасвирлайди.

Ёз ва куз ойларида қуриткичда электр қувват сарфини ўрганиш бўйича топилган тенгламалар тажриба қийматларига монанд, ушбу топилган тенгламаларни қуритиш агенти ҳамда қуёш коллекторидаги ҳаво ҳароратининг берилган қийматлар оралиғида қуриткичининг электр қувват сарфи қандай ўзгаришини олдиндан башоратлашда фойдаланиш мумкин.

Иккинчи боб бўйича хуросалар

1. Барабан типидаги қуриткичда уруғ намлигини йўқотиш жараёнини симуляция қилиш ва бошқариш имконини берадиган динамик модель таклиф этилган.

2. Мазкур модель айланувчи қуриткичнинг турли иш шароитларига мос ҳолда қуриткич чиқишидаги ҳаво ва маҳсулотнинг намлиги ва ҳароратини баҳолаш имконини беради.

3. Кунгабоқар уруғининг уруғлар таркибининг доимий эмаслиги, уруғлар турлари ва навларининг қўплиги, пишиб етилганлик даражасининг ўзгарувчанлиги, қуритиш учун турли қурилмалар ва технологик режимларнинг қўлланилиши иссиқлик ва намликнинг йўқолишини акс эттирувчи коэффициентларни аниқлашни мураккаблаштиради, шунинг учун зарур коэффициентларни аниқлайдиган эмпирик модельлаштиришга ўтиш зарур деб ҳисобланди.

4. Янги тажриба қуриткичидаги кунгабоқар уруғларини қуритишда масса ва намлик йўқотилиш жараёнини эмпирик математик модельлари тузилди, монандликка текширилди ва яроқлилиги исботланди. Ушбу модельлар ўрнатилган қуритиш ҳароратларида кунгабоқар уруғларини қурилма чиқишидаги массаси ва намлигини башорат қилиш имконини беради.

5. Коллекторидаги ҳаво ҳароратини қуёш ёрдамида қўшимча қиздириш ва қуритиш агенти тезлигининг ўзгариши қурилманинг энергия тежамкорлигини қўрсатувчи эмпирик математик модель ишлаб чиқилди. Мазкур модель қуёш фаоллигига ва қуритиш агенти тезлигини ўзгаришига қараб қуритиш қурилмасини қанча электр энергия истеъмол қилишини олдиндан башорат қилиш имконини беради.

ШІ-БОБ. ЭКСПЕРИМЕНТАЛ ТАДҚИҚОТЛАРНИ ЎТКАЗИШ УСУЛЛАРИ ВА НАТИЖАЛАРИ

3.1-§. Экспериментал тадқиқотлар ўтказиш услуби

Тажриба ўтказиш учун “кунгабоқар дони” олинди. Тажриба иши күйидаги кетма-кетликда бажарилди:

1. Кунгабоқар донининг дастлабки намлиги, ҳарорати аниқланади ва қайд этилади.
2. Атроф мұхит ҳарорати ва намлиги ўлчанади, қайд этилади.
3. Қуритиш қурилмаси барча ишчи қисмларининг ишчи ҳолати назоратдан ўтказилади.
4. Қуритиш электр тармоғига уланади.
5. Кунгабоқар донини юклаш бункерининг дон сарфи мос қийматга ўрнатиласы да қайд этилади.
6. Қуритиш агентининг бошланғич ҳарорати ўрнатиласы да қайд этилади. Қуритиш агентининг ўрнатилған ҳароратта чиққунича кутиб туриласы да қайд этилади.
7. Қуритиш агентининг тезлиги мос қийматга ўрнатиласы да қайд этилади.
9. Қуритиш барабани ишга тушириласы.
10. Қуритиш агентининг қуритиш барабани кириш ва чиқишидеги ҳарорати, намлиги аниқланади да қайд этилади.
11. Қуёш коллекторидеги ҳаво ҳарорати ва намлиги ўлчанади да қайд этилади.
12. Кунгабоқар дони бир неча партия қуритиласы, ҳарорати ўлчанади ҳамда қайд этилади.
13. Кунгабоқар дони ҳар партия қуритилғандан сўнг совитиласы, массаси ўлчанади да қайд этилади.
14. Кунгабоқар дони қуритиб бўлингандан сўнг қуритичдан тўкиласы.
15. Қуритиш қурилмаси тармоқдан узилади.

Қуритиш жараёнидаги барча ўзгаришлар, яъни қуритиш агентининг қуритиш барабани кириши ва чиқишидаги ҳарорати ва намлиги, атроф мұхит ҳарорати ва намлиги, қуёш коллекторидаги ҳаво ҳарорати ва намлиги, кунгабоқар дони массаси ва намлиги, электрокалорифердаги электр энергия сарфи, юклаш бункеридағи дон сарфи, қуритиш агентининг тезлиги қийматлари маҳсус журналга қайд этиб борилади.

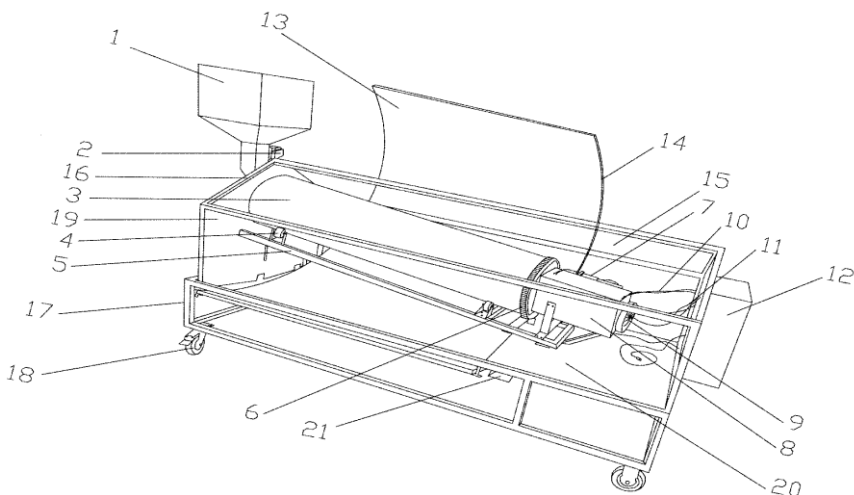
3.2-§. Экспериментал қуритиш аппарати тавсифи.

Барабанли қуриткичнинг унумдорлиги ва қуритиш жадаллигини ошириш учун қуриткич конструкциясига ўзgartиришлар киритилди, қуёшнинг иссиқлик энергиясидан қўшимча равишда фойдаланилди ва янги комбинациялашган энергия тежамкор барабанли лаборатория шароитида қуритишни амалга оширувчи тажриба қурилмаси сифатида ишлаб чиқилди. Тажриба қуриткичининг умумий кўриниши 3.1-расмда кўрсатилган.



3.1-расм. Тажриба қуриткичининг умумий кўриниши.

Тажрибани ўтказишдан мақсад қуёш иссиқлик энергиясидан қўшимча фойдаланган ҳолда кунгабоқар уруғларини қуритилиш жадаллигини тадқиқ қилиш, шунингдек, қуритиш агенти тезлигини қуритиш жадаллигига ва қуриткичининг энергия тежамкорлигига таъсирини ўрганишдан иборат. Тажриба қуриткичи технологик схемаси 3.2-расмда тасвирланган.

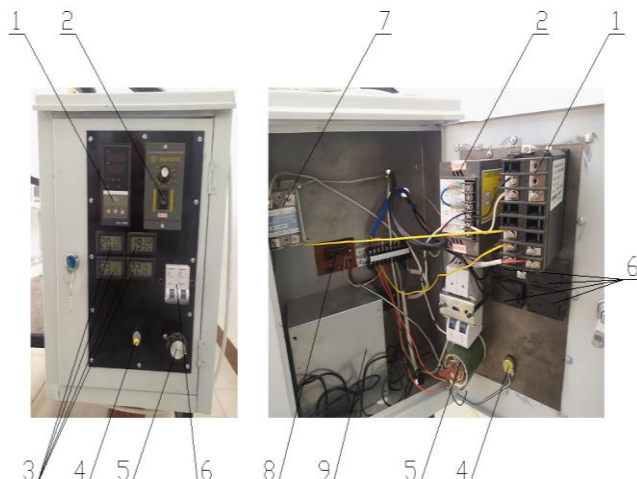


3.2-расм. Комбинациялашган энергия тежамкор барабанли тажриба қуриткичи схемаси: 1-юклаш бункери, 2-дон сарфини ростловчи қадамли мотор, 3-куритиш барабани, 4-айланувчи роликлар, 5-айланувчи роликлари қотирилган таянч, 6-барабанга маҳкамланган тишли ғилдирак, 7- барабанни айлантирувчи мотор, 8-электр печь, 9-вентилятор, 10-электр печни ток билан таъминлаш ўтказгичи, 11- ҳароратлар ҳақидаги маълумотларни етказувчи датчик кабеллари, 12-бошқарув шкафи, 13-параболик труба шаклидаги нур қайтаргич, 14-нур қайтаргич маҳкамланган метал профил, 15-қуёш коллектори, 16-қуёш коллекторининг метал каркаси, 17-қуритикчнинг остки таянч қисми, 18-куриткич қурилмасини силжитувчи ғилдираклар, 19-қуёш коллекторини олд томондан тўсувчи метал панел, 20-қуёш коллекторини паст томондан тўсувчи метал панель, 21-тўкиш бункери.

Тажриба қуриткичи қуйидаги техник кўрсаткичларга эга:

Унумдорлиги, кг/соат	40;
Истемол қуввати, кВт	4,5;
Тармоқ кучланиши, В	$\approx 220\text{V}$;
Куритиш барабани айланишлар сони, айл/дақ.	1;
Куритиш барабани диаметри, мм	300;
Куритиш барабани узунлиги, мм	1200;
Куритиш ҳарорати, $^{\circ}\text{C}$	70-150;
Вазни, кг	100;
Умумий ўлчамлари, мм	930x680x1800;

Тажриба қуриткичининг тўртта нуқтасида, яъни қуриткичининг кириш қисмида, қуёш коллекторида, электр печда ва қуриткичининг чиқиш қисмида датчиклар мавжуд бўлиб, улар ҳароратни ўлчаб бошқарув шкафига узатади (3.3-расм).



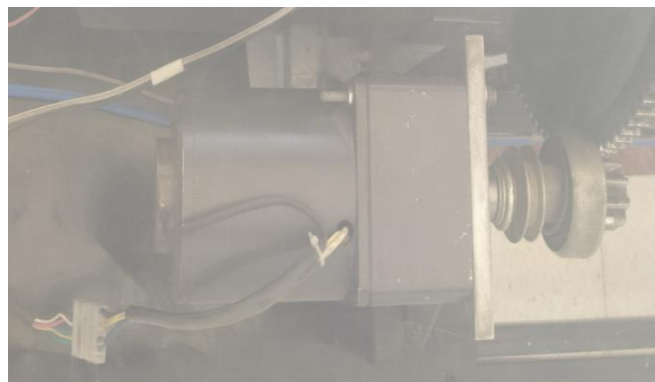
3.3-расм. Тажриба қуриткичининг бошқарув шкафи.

1-REX-C400FK02-M*AN-RELAY типли ҳарорат ростлагичи, 2-қуритиш барабанини ишга туширувчи ва айланиш тезлигини бошқарувчи t.w.t speed control, 3-тажриба қуриткичининг тўртта нуқтасидаги ҳароратларни кўрсатувчи датчиклар, 4-вентилятор тезлиги ростлагичи, 5-дон сарфини ростловчи қадамли мотор тезлигини ростлагич, 6- қурилмани узиб улагич, 7- электр печни узиб уловчи JGX-1 D48100 реле, 8-отмега микроконтроллери, 9-таъминлаш блоки.

Бошқарув шкафидаги REX-C400FK02-M*AN-RELAY типли ҳарорат ростлагичи қуёш коллекторидаги қизиган ҳаво ҳарорати қийматига қараб электр печдан чиқаётган қизиган ҳаво ҳароратини ўрнатилган қийматда ростлайди. Ростлаш жараёни бошқарув шкафидаги JGX-1 D48100 реленинг узиб уланиши орқали амалга ошади. Реленинг узиб уланиши натижасида электр печь ҳам узиб уланади. Реленинг узилиб туриш вақтининг уланиб туриш вақтига нисбати электр печга кираётган, қуёш коллекторида қизиган ҳаво ҳароратига боғлиқ ҳолда ўзгаради, яъни ҳарорат қанча юқори бўлса, реленинг узилиб туриш вақти шунча кўп бўлади. Бу эса электр печга

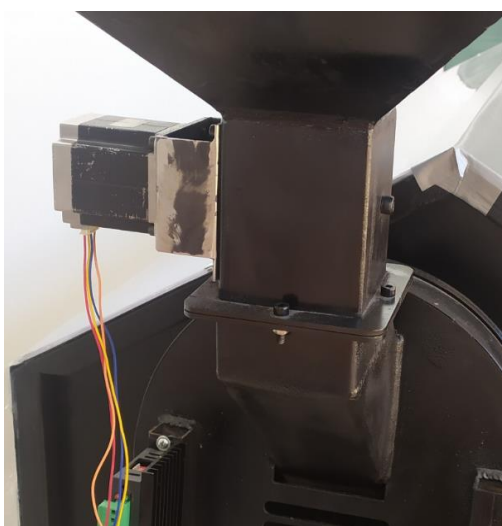
келаётган электр қувват сарфини сезиларли даражада тежалишини таъминлайди. Қуёш коллектори қуритиш барабани ва электр печни ўз ичига олгани учун ёпиқ хона шароитида ҳам электр қувватни тежай олади.

Қуритиш барабанини айлантирувчи мотор бошқарилиш хусусиятига эга (3.4-расм). Қуритиш учун ўрнатилган ҳарорат тўла таъминлангандан сўнг мотор t.w.t speed control орқали ишга туширилади ва қуритиш барабанининг айланувчи тезлиги ростланади.



3.4-расм. Қуритиш барабанини айлантирувчи мотор.

Дон сарфини ростловчи қадамли мотор орқали қуритиш барабанига узатилаётган кунгабоқар уруғларини сарфи назорат қилинади (3.5-расм). Кунгабоқар уруғларининг бошланғич намлигига қараб дон сарфи ўзгартирилади. Қадамли мотор ўз навбатида бошқарув шкафидаги патенциометр орқали бошқарилади.



3.5-расм. Дон сарфини ростловчи қадамли мотор.

3.3-§. Экпериментал тадқиқотлар натижалари

Илмий тадқиқот тажрибасини режалаштириш учун жараён ва тизимнинг кириш параметрлари кўриб чиқилади. Кириш параметрлари сифатида куритилаётган кунгабоқар донларининг массаси, бошланғич ҳарорати, бошланғич намлиги, куритиш агентининг куритиш барабани киришидаги ҳарорати, куритиш агентининг тезлиги, куритиш барабанининг айланишлар сони, юклаш бункеридағи дон сарфи, қуёш коллекторидаги ҳаво ҳароратини олиш мумкин. Қуёш коллекторидаги ҳаво ҳарорати қуёшнинг кун давомидаги фаоллигига боғлик.

Ушбу илмий тадқиқот тажрибасини ўтказищдан мақсад қуритиш агентининг ҳарорати, тезлиги, қуёш коллекторидаги ҳаво ҳарорати қуритиш самарадорлигига, қуритиш барабанидан чиқаётган кунгабоқар донлари намлигига, электрокалорифернинг электр қувват сарфига таъсирини ўрганишдир. Тажриба мақсадидан келиб чиқиб юклаш бункеридағи дон сарфи ва қуритиш барабанининг айланишлар сонини мос қийматда ўзгармас қилиб ўрнатамиз.

Тажриба қурилмамиз қуёшнинг иссиқлик энергиясидан қўшимча тарзда фойдалана оладиган комбинациялашган энергия тежамкор қуритиш қурилмаси бўлганлиги учун тажрибани қуёшли очик ҳавода ва қуёшсиз булутли шароитда ўтказамиз ва натижаларни таққослаймиз. Қуритиш қурилмаси янги конструкцияси туфайли булутли шароитда ҳам бир мунча тежамкор режимда ишлай олади.

Дастлаб тажрибани булутли шароитда ўтказамиз. Қуритиш учун 2 кг кунгабоқар донидан олинди, бошланғич намлиги ва ҳарорати ўлчанди ва қайд этилди. Ҳаво ҳарорати ўлчанди, қайд этилди. Қуритиш агенти керакли ҳароратга ўрнатилди, сўнг қуритиш барабани ишга туширилди. Қуритиб чиқарилган кунгабоқар донининг ҳарорати ўлчанади, қайд этилади. Дон совитилгандан сўнг массаси ўлчанади, қайд этилади, қуриткичга қайта солинади. Ушбу жараён бир неча марта такрорланади. Қуритиш агенти 80°C ,

90°C, 100°C ли ҳароратларга навбати билан ўрнатилади ва тажриба қайтадан ўтказилади, натижалар жадвалларга қайд этиб борилади.

Кунгабоқар уруғларининг намлик даражасига қараб юклаш бункеридаги дон сарфини, қуритиш агенти тезлигини ҳамда қуритиш барабани айланишлар тезлигини ростлаш имконияти мавжуд бўлиб, ростлаш кўлда амалга оширилади. Қуриткичнинг барча параметрларини ростловчи элемент ва қурилмалар бошқарув шкафида жойлашган.

Кунгабоқар уруғларининг ҳарорати лазерли пиromетр ёрдамида ўлчаниб, қуритишдан олдин ва кейинги массалари SF-400 электрон тарози ёрдамида ва намлиги Aczet MB 200 асбоби ҳамда орқали ўлчанди (6-илова 3.6-расм). Қуритиш барабанига юборилаётган қуритиш агентининг тезлиги Trotec TA300 (Германия) маркали анемометер орқали ўлчанди. Вентилятор тезлигини созлаган ҳолда қуритиш агентининг тезлиги 0.5 м/с дан 1.5 м/с гача ўзгартириб турилади.

Тажриба қуриткичидаги жараённинг давомийлиги, кунгабоқар уруғларининг массаси, намлиги ва ҳарорати қуритишнинг аввали ва охирида ўлчанди ва маҳсус журналга қайд этиб борилди. Тажриба хона шароитида, ёз ва куз ойи ўрталарида очик майдонда ўтказилди. Қуритишнинг жадаллиги кунгабоқар уруғларининг аппаратда бўлиш вақтига нисбатан намлик бериш миқдорига қараб ҳисоблаб чиқилди.

3.3.1. Қуритиш аппаратида кунгабоқар уруғларининг маса ва намлик ўзгариши тажриба натижалари.

Ёз ойида янги йифиширилган ва қуритиш учун олинган кунгабоқар уруғларининг дастлабки намлиги ўртacha 42% ни, куз ойида қуритиш учун олинган кунгабоқар ургининг дастлабки намлиги эса ўртacha 46% ни ташкил этди. Донни қуриткичда қуритишнинг ҳар бир партияси битта босқич ҳисобланади. Тажриба учун 2кг дан кунгабоқар уруғлари олинди ва турли намикда, қуритиш агентининг турли ҳарорат ва тезликларида, бир неча босқичда ўтказилди. Битта босқич давомийлиги 18 дақиқа бўлиб, ҳар бир

босқичдан сүнг дон массаси, намлиги ўлчаниб борилди. Куйидаги жадвалларда тегишли қуритиш ҳароратларидаги масса ўзгаришлари берилган.

Булутли шароитда ўтказилган тажрибада уруғ массанинг ўзгариши.

3.1-жадвал.

Қуритиш агенти ҳарорати 80°C бўлганда дон массасининг ўзгариши
(булутли шароитда).

№	τ , дақ.	$m_{\text{кир}}$, кг.	$m_{\text{чиқ}}$, кг.	Δm , кг
1.	18	2	1,83	0,170
2.	36	1,83	1,709	0,121
3.	54	1,709	1,606	0,103
4.	72	1,606	1,524	0,082
5.	90	1,524	1,45	0,074

3.2-жадвал.

Қуритиш агенти ҳарорати 90°C бўлганда дон массасининг ўзгариши
(булутли шароитда).

№	τ , дақ.	$m_{\text{кир}}$, кг.	$m_{\text{чиқ}}$, кг.	Δm , кг
1.	18	2	1,78	0,220
2.	36	1,78	1,646	0,134
3.	54	1,646	1,536	0,110
4.	72	1,536	1,445	0,091
5.	90	1,445	1,37	0,075

3.3-жадвал.

Қуритиш агенти ҳарорати 100°C бўлганда дон массасининг ўзгариши
(булутли шароитда).

№	τ , дақ.	$m_{\text{кир}}$, кг.	$m_{\text{чиқ}}$, кг.	Δm , кг
1.	18	2	1,764	0,236
2.	36	1,764	1,625	0,139
3.	54	1,625	1,512	0,113
4.	72	1,512	1,418	0,094
5.	90	1,418	1,339	0,079

бу ерда τ – қуритиш вақти, $m_{\text{кир}}$ – доннинг қуритиш барабанига киришидаги массаси, $m_{\text{чиқ}}$ – доннинг қуритиш барабани чиқишидаги массаси, Δm – массалар фарқи.

Ёз ойида қуёшли очик ҳаво шароитда ўтказилган тажрибада уруғ массанинг ўзгариши.

Ёз ойида ўтказилган тажриба натижалари қуйидаги жадвалларда келтирилган.

3.4-жадвал.

Куритиш агенти ҳарорати 80°C бўлганда дон массасининг ўзгариши
(ёз ойида, қуёшли кун).

№	τ , дақ.	$m_{\text{кир}}$, кг.	$m_{\text{чиқ}}$, кг.	Δm , кг
1.	18	2	1,713	0,257
2.	18	1,713	1,542	0,171
3.	18	1,542	1,422	0,120
4.	18	1,422	1,330	0,092
5.	18	1,330	1,298	0,032

3.5-жадвал.

Куритиш агенти ҳарорати 90°C бўлганда дон массасининг ўзгариши
(ёз ойида, қуёшли кун).

№	τ , дақ.	$m_{\text{кир}}$, кг.	$m_{\text{чиқ}}$, кг.	Δm , кг
1.	18	2	1,690	0,310
2.	18	1,690	1,489	0,201
3.	18	1,489	1,366	0,123
4.	18	1,366	1,264	0,102
5.	18	1,264	1,248	0,016

3.6-жадвал.

Куритиш агенти ҳарорати 100°C бўлганда дон массасининг ўзгариши
(ёз ойида, қуёшли кун).

№	τ , дақ.	$m_{\text{кир}}$, кг.	$m_{\text{чиқ}}$, кг.	Δm , кг
1.	18	2	1,685	0,315
2.	18	1,685	1,479	0,206
3.	18	1,479	1,354	0,125
4.	18	1,354	1,250	0,104
5.	18	1,250	1,238	0,012

Куз ойида қуёшли очик ҳаво шароитда ўтказилган тажрибада уруғ
массасининг ўзгариши.

3.7-жадвал.

Куритиш агенти ҳарорати 80°C бўлганда дон массасининг ўзгариши
(куз ойида, қуёшли кун).

№	τ , дақ.	$m_{\text{кир}}$, кг.	$m_{\text{чиқ}}$, кг.	Δm , кг
1.	18	2	1,724	0,276
2.	18	1,724	1,576	0,148
3.	18	1,576	1,468	0,108
4.	18	1,468	1,379	0,089
5.	18	1,379	1,311	0,068

3.8-жадвал.

Қуритиш агенти ҳарорати 90°C бўлганда дон массасининг ўзгариши
(куз ойида, қуёшли кун).

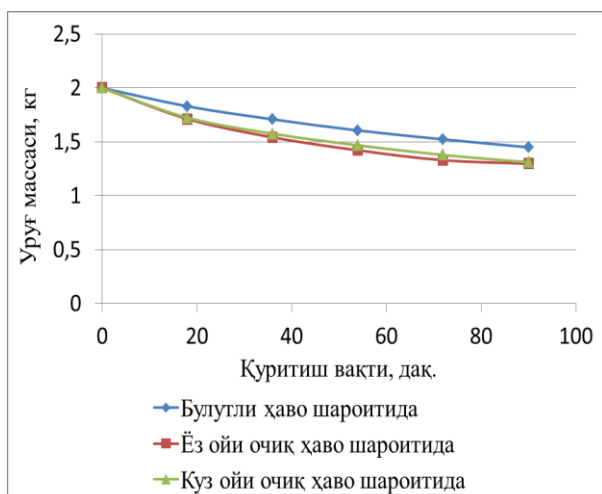
№	τ , дақ.	$m_{\text{кир}}$, кг.	$m_{\text{чиқ}}$, кг.	Δm , кг
1.	18	2	1,707	0,293
2.	18	1,707	1,541	0,166
3.	18	1,541	1,428	0,119
4.	18	1,428	1,330	0,098
5.	18	1,330	1,251	0,079

3.9-жадвал.

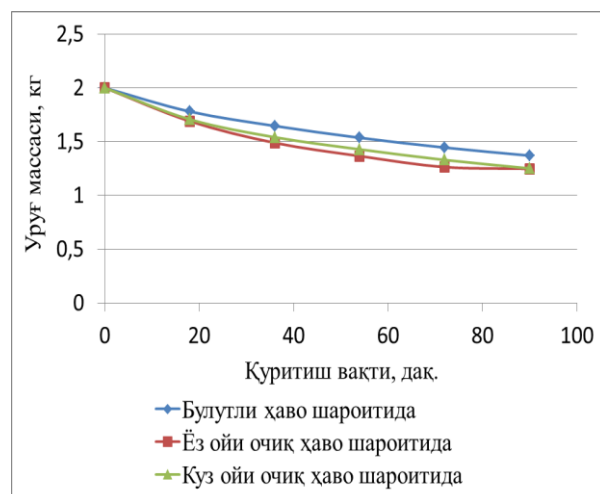
Қуритиш агенти ҳарорати 100°C бўлганда дон массасининг ўзгариши
(куз ойида, қуёшли кун).

№	τ , дақ.	$m_{\text{кир}}$, кг.	$m_{\text{чиқ}}$, кг.	Δm , кг
1.	18	2	1,689	0,311
2.	18	1,689	1,511	0,178
3.	18	1,511	1,383	0,128
4.	18	1,383	1,280	0,103
5.	18	1,280	1,248	0,022

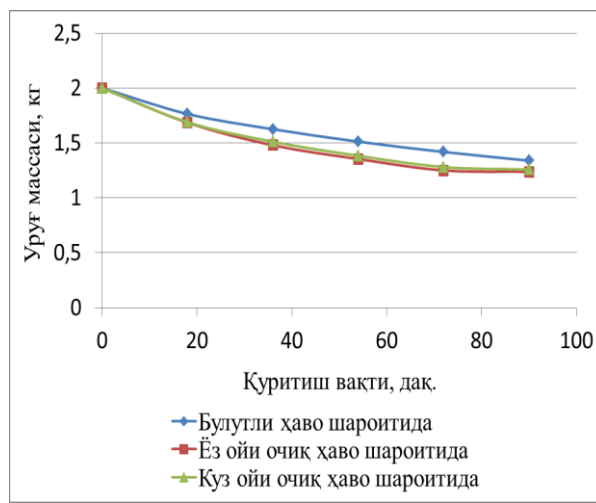
3.1÷3.9-жадваллар бўйича кунгабоқар уруғларининг қуриткич кириши ва чиқишидаги ҳароратлари фарқи 5-илова 3.10÷3.18-жадвалларда келтирилган. Олинган 3.1÷3.9-жадваллар қийматлари асосида қуритиш ҳароратлари кесимидағи таққослаш графиклари 3.7-расмда келтирилган.



a)



б)



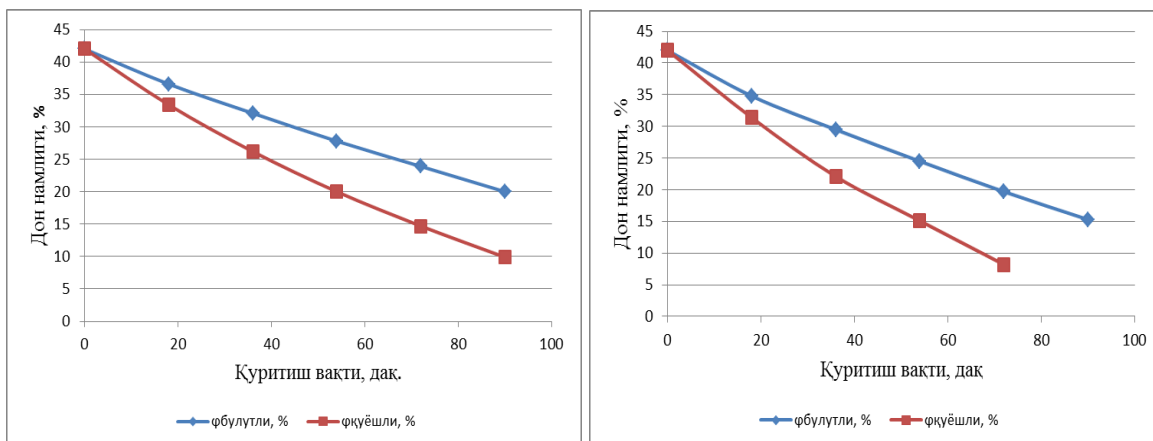
3.7-расм. Куритиши ҳароратлари кесимида уруғ массаси ўзгаришларини таққослаш графиги: а) куритиши ҳарорати 80°C, б) куритиши ҳарорати 90°C, в) куритиши ҳарорати 100°C

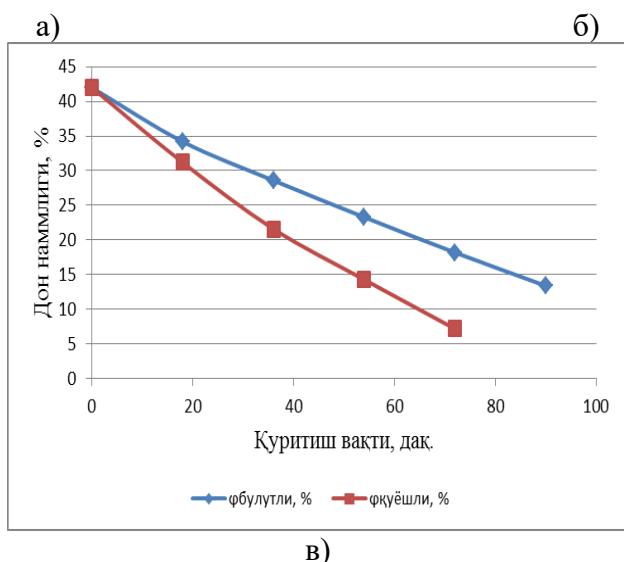
Расмдаги графиклардан қўринадики, турли шароитларда уруғларнинг масса ўзгаришлари ҳам турлича. Бунга сабаб куритиши қурилмасининг қуёш фаоллилига боғлиқлигидир. Ёз ойида қуёшнинг кўпроқ қиздириши куритиши барабанини қизишига сабаб бўлади. Қизиган барабанинг ҳарорати контактли куритиши усули орқали уруғларга ўтади ва намликни кўпроқ чиқишига сабаб бўлади.

Куритиши агенти тезлигининг ўзгариши кунгабоқар дони намлигининг ўзгаришига, шунингдек тажриба қуриткичининг қувват сарфига таъсир қиласди. Буни тажриба ёрдамида тадқиқ қилишимиз мумкин. Тажриба давомида қуёш коллекторидаги ҳаво ҳарорати қийматини ҳисобга олиш зарур, чунки унинг қиймати тажриба қуриткичи қувват сарфига таъсир қиласди. Куритиши агентининг тезлик ўзгариши $0,5 \div 1,5$ м/с оралиқни ташкил этади. Қуйида куритиши агенти тезлигини куритиши қурилмасида қуритилаётган кунгабоқар уруғи массасининг ўзгаришини ёз ва куз ойларида қуёшли кунда кўриб ўтамиз. Куритиши ҳароратлари 80°C, 90°C ва 100°C. Тажриба натижалари жадвал кўринишида 5-илова 3.19÷3.24-жадвалларда келтирилган. Тажриба қийматларини таққослаш мақсадида 6-илова 3.8, 3.9, 3.10-расмларда графиклар келтирилган.

Янги қуритиш қурилмасида қуритиш агенти тезлигини тадқиқ қилишдан асосий мақсад қуёшнинг фаоллигини ўрганиш, яъни қуёшдан олинаётган қўшимча иссиқлик қуритиш агенти тезлигини қуритилаётган уруғлар массаси ўзгаришига қилаётган таъсирида қанчалик аҳамиятли бўлаётганини аниқлаш. Расмлардаги графиклардан кўринади, қуритиш агенти тезлиги ортиши билан масса йўқотилиши ортмоқда, қуритиш ҳароратининг ортиши ҳам масса йўқотилишини тезлаштиради. Ўтказилган тадқиқотлар шуни кўрсатмоқдаки, бир хил қуритиш ҳарорати ва агенти тезликларида уруғлар масса йўқотилиши ёз ойида кўпроқ бўлмоқда. Буни қуритиш барабанини қуёш коллекторида қўшимча қиздирилиши билан изоҳлаш мумкин. Графиклардан булатли ҳаво шароитида уруғлар массаси ўзгаришлари қандай бўлишини таҳмин қилиш мумкин. Графикларда тасвирланган масса ўзгаришларига қараб ўзимизга керакли режимларни бемалол танлашимиз, ўрнатишимииз мумкин.

Қуёш коллекторидаги ҳаво ҳарорати ёз ойларида ўртача 65°C ни ташкил этади ва тажриба давомида бу қийматни ўзгармас деб ҳисобланади. Тажриба 80°C, 90°C, 100°C қуритиш ҳароратларида, қуритиш агентининг тезлиги 0,5 м/с бўлган булатли ва қуёшли шароитларда амалга оширилди, натижалар таққосланди. 5-илова 3.25, 3.26, 3.27-жадвалларда кунгабоқар уруғларини тегишли қуритиш ҳароратиларида намлик йўқотилиш жараёнининг тажриба натижалари келтирилган ва ўзгаришлар эгри чизиқли кўринишларда 3.11-расмда тасвирланган. Уруғларнинг бошланғич намлиги ўртача 42% ни ташкил этди.

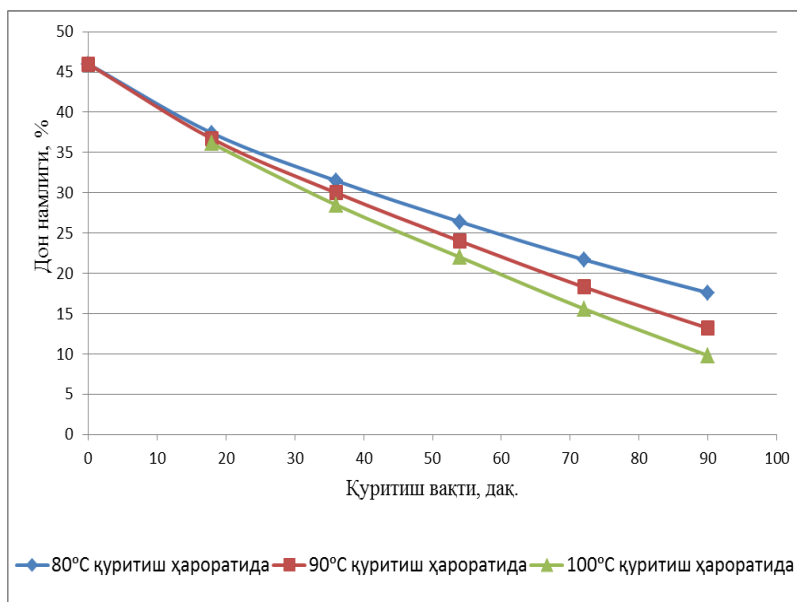




3.11-расм. Куритиши қурилмасида қуритилаётган кунгабоқар уруғларининг булатли ва қүёшли об-ҳаво шароитидаги намлик ўзгаришлари: Фбулутли – булатли шароитда уруғ намлиги ўзгариши, Фкуёш – қүёшли кунда уруғ намлиги ўзгариши, а) куритиши ҳарорати 80°C, б) куритиши ҳарорати 90°C, в) куритиши ҳарорати 100°C.

Расмдаги графикдан кўриниб турибдики, кунгабоқар уруғлари намлик ўзгаришига қуритиши ҳароратидан ташқари қүёшнинг иссиқлик энергиясидан қўшимча фойдаланиш ҳам самара бермоқда. Сабаби ҳақида юқорида фикр билдириб ўтилди.

Юқоридаги тажриба куз ойида ҳам ўтказилди. Куз ойида кунгабоқар уруғлари бошлангич намлиги 46% ни ташкил этди. Қуёш коллекторидаги ҳаво ҳарорати ўртача 53°C. Олинган натижалар жадвал кўринишида 5-илова 3.28-жадвалда берилган. Куритиши ҳароратларида намлик ўзгаришининг график кўриниши 3.12-расмда кўрсатилган.



3.12-расм. Куз ойида қуритиш қурилмасида кунгабоқар уруғлари намлик үзгариш графиги.

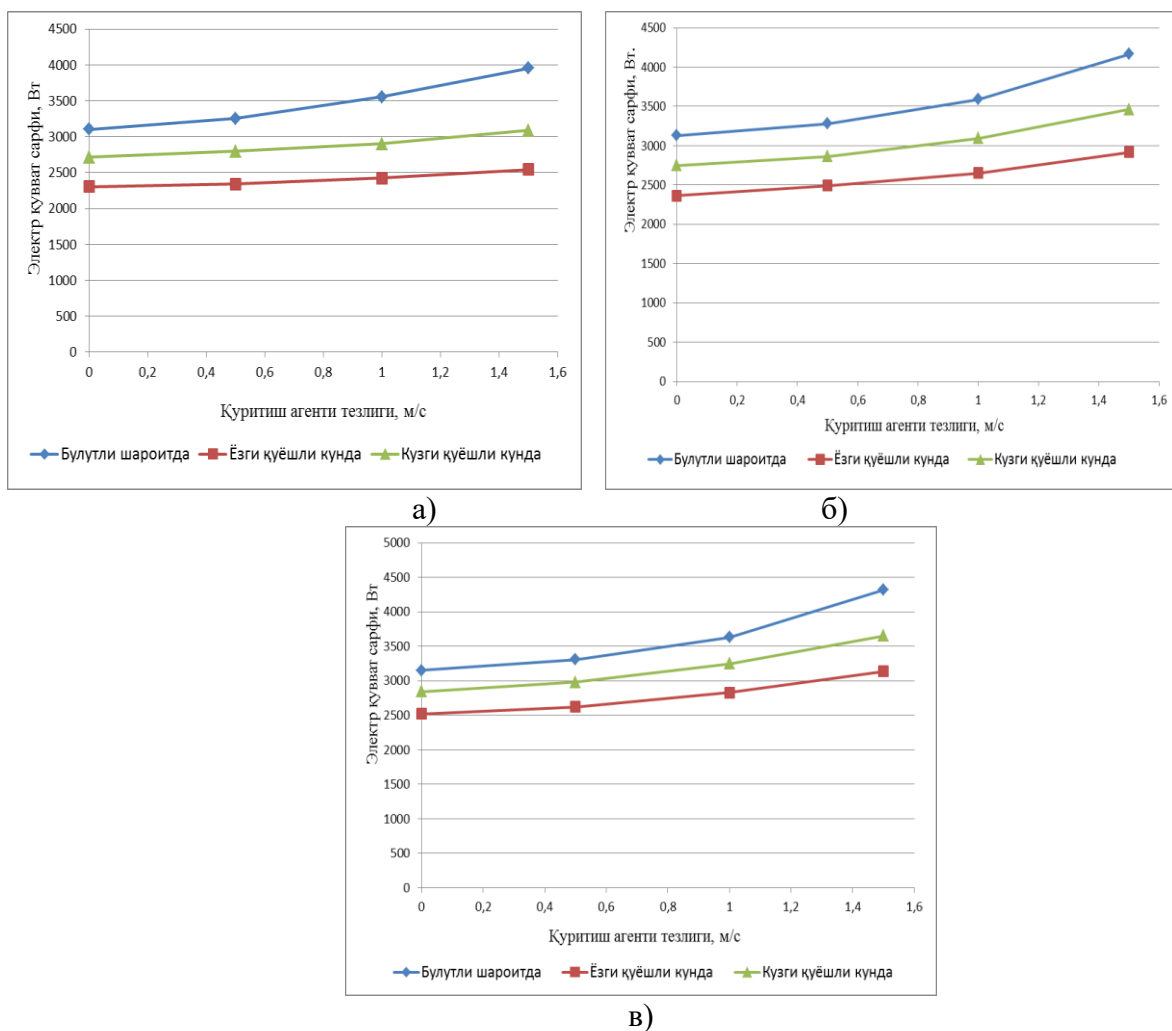
Расмдаги графиклар қуритиш ҳароратларини намлик үзгаришига қандай таъсир қилишини кўрсатмоқда.

Ўтказилган ушбу тажриба тадқиқотлари ва таҳлили тажриба қуриткичидан булутли ҳаво шароитига қараганда қуёшли очик майдонда фойдаланиш намликни йўқотиш бўйича ёз ойида 48%, куз ойида 27%, қуритиш вақти бўйича умумий 15% га самарали эканлигини кўрсатмоқда. Қуриткичда қўшимча равишда қуёш иссиқлик энергиясидан самарали фойдаланиш орқали кунгабоқар уруғларининг бир хил вақт ораликларида намлик бериши булутли шароитга нисбатан ёз ойида 1.33 баробарга, куз ойида эса 1.26 баробарга ортди.

3.3.2. Қуритиш аппарати қувват сарфининг тажриба натижалари.

Қуритиш агенти тезлигининг үзгариши янги қуритиш қурилмаси қувват сарфига таъсири тадқиқ этилди. Қуритиш агенти тезлигининг үзгариш оралиғи $0,5 \div 1,5$ м/с, янги қуритиш қурилмасининг тўлиқ қувват сарфи 4500 Вт ни ташкил этади. Тажриба ёз ва куз ойларида ҳамда булутли ҳаво шароитида ўтказилган. Ёзниг қуёшли кунида қуёш коллекторидаги ҳаво ҳарорати 65°C , кузда эса 53°C ни ташкил этади. Олинган натижалар 5-илова

3.29, 3.30, 3.31-жадвалларда берилган. Натижаларнинг таққослаш графики 3.13-расмда акс эттирилган.



3.13-расм. Куритиш агенти тезлиги ўзгаришини қуритиш қурилмаси қувват сарфига таъсириининг график тасвири: а) қуритиш ҳарорати 80°C, б) қуритиш ҳарорати 90°C, в) қуритиш ҳарорати 100°C.

Расмдаги графиклардан кўринади, қуритиш агентининг ошиши қувват сарфининг ошишига сабаб бўлмоқда. Буни электрокалориферда қизиган ҳавони қуритиш барабанига кўпроқ берилиши натижасида электрокалориферни кўпроқ вақт уланиб туриши билан тушунтириш мумкин. Қуритиш ҳароратларининг ўзгариши билан ҳам қуритиш қурилмасининг қувват сарфи ўзгаради. Янги қуритиш қурилмасидаги қуёш коллектори қуритиш жадаллигидан ташқари қувват сарфига ҳам ижобий таъсир қиласи. Буни расмда тасвирланган графиклардан яққол кўришимиз мумкин. Қувватнинг энг кўп сарфи булутли ҳаво шароитида, энг кам қувват сарфи эса ёз ойида

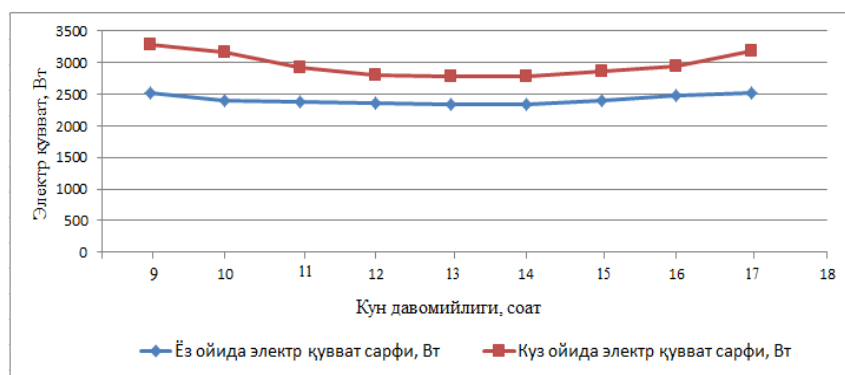
куёшли очиқ ҳаво шароитида бўлмоқда. Бунга сабаб шуки, электрокалорифер қуёш коллекторидаги ҳавони қиздириб, сўнг барабанга беради, қуёш коллекторидаги ҳаво ҳарорати қанча юқори бўлса электрокалорифер камроқ вақт ичида бу ҳавони ўрнатилган қуритиш ҳавоси ҳароратигача қиздириб беради. Натижада қувват сарфи камаяди.

Янги қуритиш қурилмасининг қуёш коллекторидаги ҳаво ҳарорати қуритиш ҳарорати ортиши билан орта бошлайди, сабаби қуриткич конструкцияси қуритиш барабани ва электрокалорифердан чиқаётган иссиқликларни сақлаб қолишга мўлжалланган. Бундан ташқари қуёшнинг иссиқлик энергияси ҳам коллектордаги ҳаво ҳароратини ортишига сабаб бўлади. Қуритиш ҳароратлари кесимида қуёш коллекторидаги ҳаво ҳароратини кун давомида атроф муҳит ҳарорати ўзгаришига мос равища ўзгариши тажриба йўли билан аниқланди, олинган натижалар 5-илова 3.32-3.37-жадвалларда келтирилган. Тажриба ёз ва куз ойларида ўтказилди. Натижа қийматларининг таққослаш графиги 6-илова 3.14, 3.15-расмларда тасвирланган.

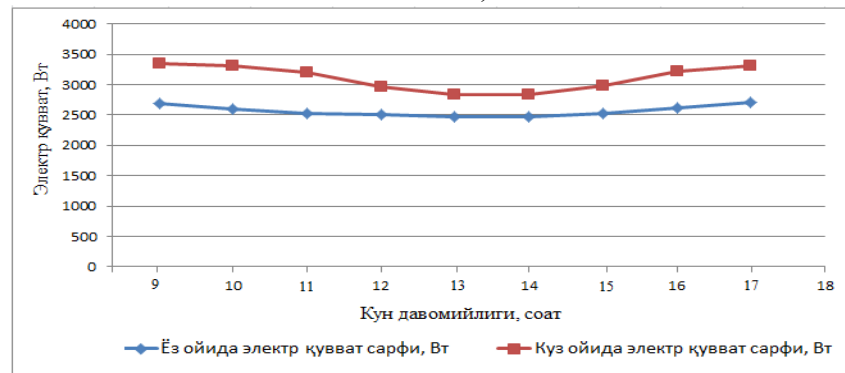
Қуёш фаоллигини баҳолаш бўйича ўтказилган тажриба натижалари шуни кўрсатади, қуёш коллекторидаги ҳаво ҳарорати атмосфера ҳавоси ҳароратининг кун давомидаги ўзгаришига мутаносиб ҳолатда ўзгариб боради. Расмларда тасвирланган ҳароратлар ўзгаришининг эгрилиги қуёшнинг кун давомидаги фаоллигига қараб куннинг биринчи ярмида ҳарорат ошиб боришини, куннинг ярмида максимал қийматга етишини ҳамда куннинг иккинчи ярмида эса максимал қийматидан камайиб боришини англаатади. Ёз ойида коллектордаги ҳарорат атроф муҳит ҳарорати ва қуёш нур қайтаргичи ҳисобига 80°C , 90°C , 100°C қуритиш ҳароратларида ўртacha 22°C , 25°C , 29°C га ошириш мумкин. Ҳудди шундай, куз ойида тегишли қуритиш ҳароратларида ҳаво ҳароратини мос равища 20°C , 22°C ва 24°C га кўтариш мумкин. Қуритиш ҳароратлари қийматининг ошиши ҳам қуёш коллекторидаги ҳаво ҳарорати ортишига сабаб бўлади. Коллектордаги ҳароратнинг кўтарилиши атмосфера ҳавосини ортиқча қиздиришга ҳожат

қолдирмайди ва электр қуввати тежалишига ижобий таъсир кўрсатади. Тажрибадан кўриниб турибдики, барабанли қуриткичларда қуёш коллекторидан фойдаланиш катта истиқболга эга.

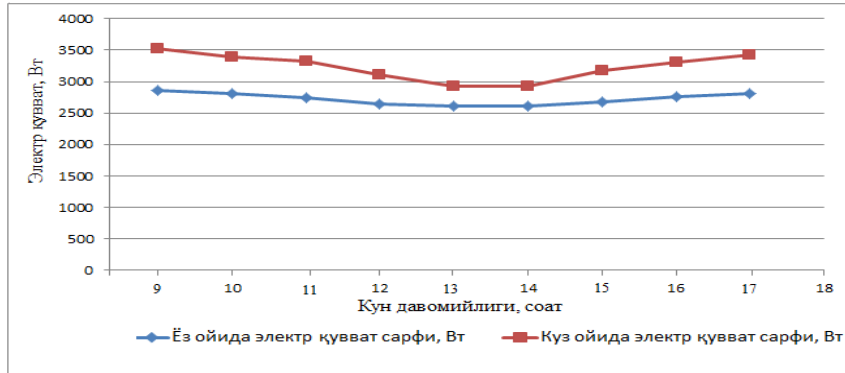
Янги қуритиш қурилмасининг қувват сарфининг кун давомида ўзгаришини ёз ва куз ойларида ўтказилган тажриба натижалари асосида кўриб чиқамиз. Қуритиш агентининг тезлиги 0,5 м/с қийматга ўрнатилган. Тажриба натижалари 5-илова $3.38 \div 3.40$ -жадвалларда берилган, ўзгариш эгри чизиқлари 3.16-расмда кўрсатилган.



а)



б)



в)

3.16-расм. Қуритиш қурилмасининг қувват сарфининг кун давомида ўзгариши: а) қуритиш ҳарорати 80°C , б) қуритиш ҳарорати 90°C , в) қуритиш ҳарорати 100°C .

Ёз ва куз ойларида қуёш коллектори ёрдамида тажриба қуриткичи электр қувватининг кун давомида ўзгаришини ўрганиш бўйича олиб борилган тадқиқод ва таҳлиллар шуни кўрсатадики, куннинг ўртасида электр қувват сарфи минимал қийматга етади. Расмдаги эгри чизиқлар куннинг биринчи қисмида электр қувват сарфини минимал қийматга қараб камайиб боришини, куннинг иккинчи ярмида эса ортиб боришини ифодалайди. Ёз ойида 80°C , 90°C ва 100°C қуритиш режимларида, қуритувчи ҳаво тезлиги 1 м/с бўлганда электр энергия иқтисоди мос равища 13%, 12% ва 11,2% ни ташкил этди. Мазкур режимларда ўртача 370 Вт·соат электр энергия қўшимча иқтисод қилинди. Куз ойида эса мазкур қуритиш ҳароратларида ва қуритувчи ҳаво тезлигига электр энергия иқтисоди мос равища 9%, 18% ва 24,5% ларни ташкил этди. Натижада, қўшимча равища ўртача 691 Вт·соат электр энергия иқтисод қилинди. Шу сабабли қуёш коллектори ва нур қайтаргичдан фойдаланиш орқали сарфланаётган электр энергия кўпроқ микдорда иқтисод қилинади. Куз ойида атмосфера ҳавосининг намлиги ва зичлигининг юқори бўлиши, шунингдек ҳаво ҳароратининг ёз ойига нисбатан пастлиги қуриткичнинг кўпроқ электр энергия истеъмол қилишига олиб келди ва ёз ойи билан таққослаганда электр энергия истеъмоли 772 Вт·соат га ортади. Қуриткичнинг электр энергия истеъмоли қуритиш ҳарорати ортган сари ортади, энергия самарадорлик камаяди. Ишлаб чиқилган қуриткичнинг синовлари шуни кўрсатадики, қуриткичнинг самарадорлиги қуёш фаоллигига боғлиқ: куннинг энг қизиган вақтида кунгабоқар уруғларининг қуриш жадаллиги энг юқори, электр энергия истеъмоли эса энг кичик.

Юқорида ўтказилган барча тажриба натижаларини умумлаштирамиз. Тажриба натижалари қуёшнинг кун давомидаги фаоллигини тажриба қуриткичидан қуритилаётган кунгабоқар уруғларининг қуриш жадаллигига ва қуриткичнинг энергия тежамкорлигига таъсирининг ижобий эканлигини кўрсатади. Тажриба қуриткичидан булутли ҳаво шароитида, ёз ва куз ойларида очик майдонда турли қуритиш ҳароратларида ўтказилган тадқиқод

ва таҳлиллар кунгабоқар уруғлари намлигини йўқотишда қуёш иссиқлик энергиясининг аҳамияти катта эканлигини англатади. Қуёш фаоллигига қараб қуритишнинг бир хил вақт оралиқларида уруғларнинг намлик бериш даражаси ортиб боради (3.11, 3.12-расмлар). 3.11, 3.12-расмлардан кўриниб турибдики, кунгабоқар уруғларини булутли шароитда 100°C қуритиш ҳароратида қуритгандан кўра, ёз ойида 80°C, куз ойида эса 90°C да қуритган афзал бўлмоқда. Бундан ташқари қуритиш учун кетаётган умумий вақт ҳам ўртача 15% га қисқаради, қуритиш унумдорлиги 17,6% га ортади. Қуёшнинг иссиқлик энергиясидан фойдаланган ҳолда қуритиш ҳарорати аста секин кўтарилиши билан кунгабоқар уруғлари куриш вақтининг қисқаришини кузатиш мумкин. Масалан, булутли шароитда кунгабоқар уруғлари охирги нисбий намлигини 8% га етказиш учун 90 дақиқадан кўп вақт сарфланса, қуёшли очиқ майдонда 70 дақиқа кифоя қиласди. Қуритиш тезлиги булутли ҳаво шароитидаги қуритишга нисбатан ёзда ўртача 1,5 баробар, кузда 1,3 баробар тез амалга ошади.

Кунгабоқар уруғларини қуритиш агенти ҳарорати 80°C, тезлиги 1,5 м/с бўлгандаги қуритиш қуритиш агенти ҳарорати 90°C, тезлиги 0,5 м/с бўлгандан олинган натижалар билан бир хил якуний натижани беради, лекин энергия харажатлари кам. 90°C ва 100°C қуритиш ҳароратларида ҳам шунга ўҳшашиб режимлар мавжуд (6-илова 3.14, 3.15; 3.16-расмлар). Масса ўзгаришига қараб исталган режимларни танлаш мумкин. Оптимал режимни танлашда қуритиш қурилмаси қувват сарфини ҳисобга олиш тавсия этилади.

Қуёш коллекторидаги ҳаво ҳарорати қиймати атмосфера ҳавоси ҳароратига, қуёш коллекторининг герметиклиги ва қуёш нурининг қуёш коллекторига йўналтирилганлигига боғлиқ. Нур қайтаргичсиз ҳам қуёш коллекторида атмосфера ҳавоси ҳароратидан 26% га юқори бўлган ҳароратга эга бўлиш мумкин. Лекин нур қайтаргич ёрдамида атмосфера ҳавоси ҳароратини ёз ва куз ойларида ўртача 1,8 баробаргача ошириш имконияти мавжуд (6-илова 3.14 ва 3.15-расмлар).

Қуёш коллекторининг қуриткич электр қуввати сарфига қандай таъсир этишини 3.16-расм яққол кўрсатади. Коллектордаги ҳаво ҳарорати қанча юқори бўлса, электр қувват сарфи мос равишда камаяди, бу кўрсаткич кун давомида ўзгариб туради. Куннинг энг қизиган вақтида ҳаво ҳарорати максимал қийматга эришганда электр қувват сарфи минимал қийматга эга бўлади. Нур қайтаргичсиз қуёш коллекторининг ўзидан фойдаланиш билан қуриткичнинг сарфлаётган электр энергияси ёз ойида 6% га тежалса, куз ойида эса 4% тежалади.

Учинчи боб бўйича хулосалар

1. Кунгабоқар уруғларини қуритувчи барабан типидаги комбинациялашган қурилмада экспериментал тадқиқодлар ўтказиш услуби ишлаб чиқилди.
2. Ишлаб чиқилган барабан типидаги комбинациялашган кунгабоқар уруғлари қуриткичи тажриба нусхаси экспериментал тадқиқотларни тўлақонли ўтказиш имконини беради.
3. Тажриба қуриткичидан қуёшли очик майдонда кунгабоқар уруғларини 80°C, 90°C ва 100°C ҳароратларда қуритиш орқали уруғ намлигини йўқотиш бўйича булатли об-ҳавога нисбатан ёз ойида 48%, куз ойида 27% самарага, қуритиш вақти бўйича эса умумий 15% самарага эришилади, қуритиш унумдорлиги 17,6% га ортади.
4. Тажриба қуриткичи ёз ва куз ойларида қуёшли очик майдонда фойдаланилганда сарфланаётган электр энергияни 13% ва 9% га иқтисод қиласади.
5. Тажриба қуриткичининг ишланиши қуёш фаоллигига боғлик бўлиб, куннинг энг қизиган вақтида қуриткичда кунгабоқар уруғларининг қуриш жадаллиги энг юқори, қуриткичнинг электр қувват сарфи эса энг кичик бўлди.

Хулоса

1. Қуритиш усуллари ва қуритиш аппаратларининг конструкцияларининг чуқур таҳлили ўтказилди, бу эса керакли қуритиш усулинини ва қуритиш аппаратининг турини танлашга имкон беради.

2. Қуритишнинг комбинациялашган усулидан фойдаланиб қуритиш жадаллигини ошириш ва аппаратнинг энергия истеъмолини камайтириш мумкинлиги кўрсатилди.

3. Кунгабоқар уруғларини қуритиш жараёнини моделлаштириш ва бошқаришга имкон берувчи динамик модел ишлаб чиқилган.

4. Қуритиш аппаратининг эмпирик математик моделлари ишлаб чиқилган бўлиб, булар қуритишнинг турли режимли параметрларида аппарат чиқишидаги кунгабоқар уруғларининг намлигини башорат қилиш имконини берди.

5. Қуритиш аппаратининг эмпирик математик модели ишлаб чиқилган бўлиб, ушбу модел қуритич коллекторидаги ҳаво ҳарорати ва қуритиш агенти тезлигининг ўзгариши ҳисобига қуритичнинг электр энергия истеъмолини башорат қилиш имконини берди.

6. Ишлаб чиқилган барабан типидаги комбинациялашган қуритиш аппаратида кунгабоқар уруғларини қуритиш учун экспериментал тадқиқодлар ўтказиш услуби ишлаб чиқилди.

7. Ишлаб чиқилган тажриба қуритичидаги кунгабоқар уруғларини ёзда қуритганда қуритиш самарадорлиги булатли об-ҳавога нисбатан қуёшли вақтда 48%, кузда 27% ни ташкил этди.

8. Қуритиш аппаратининг унумдорлиги қуёш энергиясидан қўшимча фойдаланиш ва қуритиш вақтининг қисқариши ҳисобига 17,6% га ортди.

9. Ишлаб чиқилган тажриба қуритичидаги қуёшли очик майдонда кунгабоқар уруғларини қуритишда қўшимча равишда электр энергия иқтисоди булатли об-ҳавога таққослагандага ёзда 13% ни, кузда 9% ни ташкил этади.

10. Қуритичнинг қуритиш самарадорлиги қуёш фаоллигига боғлиқ.

ФОЙДАЛАНИЛГАН АДАБИЁТЛАР РЎЙХАТИ

1. Ўзбекистон Республикаси Президентининг 2017 йил 7 февралдаги ПФ-4947-сон «Ўзбекистон Республикасини янада ривожлантириш бўйича Ҳаракатлар стратегияси тўғрисидаги» Фармони.
2. V. Bandura, V. Mazur, L. Yaroshenko, O. Rubanenko. Research on Sunflower Seeds Drying Process in a Monolayer Tray Vibration Dryer Based on Infrared Radiation. INMATEH - Agricultural Engineering. Vol. 57, No. 1 / 2019.
3. P.C. Coradi, C.C. Peralta, C.H.P. Fernandes, T.L. Pereira. Alterations of the quality of sunflower seeds in the storage. Revista Brasileira de Produtos Agroindustriais, Campina Grande, v.17, n.1, p.75-86, 2015.
4. L.A. de Souza Abreu, M.L.M. de Carvalho, C.A.G. Pinto, V.Y. Kataoka, T.T. de Almeida Silva. Deterioration of sunflower seeds during storage. Journal of Seed Science, v. 35, n. 2, p.240-247, 2013.
5. D.C. Lima, A.S. Dutra, F.M. Pontes, F.T.C. Bezerra. Storage of sunflower seeds. Revista Ciéncia Agronómica, v. 45, n. 2, p. 361-369, 2014.
6. G. Maciel, D. Torre, N. Izquierdo, G. Cendoya, R. Bartosik. Effect of oil content of sunflower seeds on the equilibrium moisture relationship and the safe storage condition. AgricEngInt: CIGR Journal Open access at <http://www.cigrjournal.org> Vol. 17, No. 2. June, 2015.
7. Ж.Б. Худайқулов, X.N. Атабаева (тузувчилик). Кунгабоқар етиштириш [Матн]: илмий нашр / “Агробанк” АТБ.-Тошкент: “ТАСВИР” нашриёт уйи, 2021. - 56 б.
8. S.A. Giner, M.C. Gely. Sorptional Parameters of Sunflower Seeds of Use in Drying and Storage Stability Studies. Biosyst. Eng. 2005, 92, 217–227.
9. M. Charney. Sunflower Seeds and Their Products. Journal of Agricultural & Food Information, 11:81–89, 2010.
10. A. Matin, T. Majdak, T. Krička, M. Grubor. Valorization of sunflower husk after seeds convection drying for solid fuel production. Jour. of Cent. Euro. Agr. 2019, 20(1), p.389-401.

11. J.M. Yelwa, S. Abdullahi. Epoxidation and Hydroxylation of Sunflower Seed Oil. *Int J Sci Res Chemi.* September-October-2019; 4 (5).
12. R. Nandha, H. Singh, K. Garg, S. Rani. Therapeutic Potential of Sunflower Seeds: An Overview. *Int. J. Res. Dev. Pharm. L. Sci.* 2014, 3, pp 967-972.
13. V. Papchenko, T. Matveeva, A. Belinska, V. Rudniev, O. Zviahintseva, N. Cherevichna. Investigation of Anthoicians Availability in Sunflower Seed Husks. *Technology audit and production reserves.* 2017, 4, pp 31-34.
14. Hussain, S.; Ali, A.; Ibrahim, M.; Saleem, M. F.; alias Haji, M. A.; Bukhsh, A. Exogenous Application of Abscisic Acid for Drought Tolerance in Sunflower (*Helianthus Annuus L.*): A Review. *J. Anim. Plant Sci.* 2012, 22, pp 806-826.
15. Yu. Tkalich, I. Tkalich, O. Tsyluryk, S. Masliiov. Reserves for Increasing the Yield of Sunflower Seeds in the Ukrainian Steppe. *Agr. & Fores.* 2019, 65, 105-114. DOI: 10.17707/AgricultForest.65.3.09.
16. C.R.M. da Rocha, V.N. Silva, S.M. Cicero. Internal Morphology and Germination of Sunflower Seeds. *J. of Seed Sci.* 2014, 36, pp 48-53.
17. M.A. Malik, Ch.S. Saini. Engineering Properties of Sunflower Seed: Effect of Dehulling and Moisture Content. *Cog. Food & Agr.* 2016, 2, 1-11.
18. S. Jafari, J. Khazaei, A. Arabhosseini, J. Massah, M.H. Khoshtaghaza. Study on Mechanical Properties of Sunflower Seeds. *El. J. of P. Ag. Un.* 2011, 14, 1-11.
19. S. Kumar, S. Singh, R.K. Vishwakarma and B.R. Singh. Evaluating the effects of some relevant parameters on physical properties of sunflower seed. *Bioved*, 30(2) : 1–7, 2019.
20. V. Radić, M. Vujaković, A. Marjanović-Jeromela, J. Mrđa, V. Miklić, N. Dušanić, I. Balalić. Interdependence of Sunflower Seed Quality Parameters. *HELIA*, 32, Nr. 50, p.p. 157-164, (2009) doi: 10.2298/HEL0950157R.
21. B. Wang, C.L. Zhang, L. Zhang. Mechanical Properties Of Sunflower Seeds. *Int. Con. on Mech., El., Ind. and Cont. En. (MEIC 2014)*.

22. A.H. Mirzabe, J. Khazaei, G.R. Chegini. Physical properties and modeling for sunflower seeds. *Agric Eng Int: CIGR Journal.* Vol. 14, No.3. September, 2012.
23. А.С. Демидов. Поиск рационального способа сушки семян подсолнечника. Санкт-Петербургский государственный университет низкотемпературных и пищевых технологий.
24. R. Khodabakhshian, B. Emadi, M.H. Abbaspour Fard. Some Engineering Properties of Sunflower Seed and Its Kernel. *J. of Ag. S. and Tech.* 2010, 4, 36-46.
25. E.M. Santalla, R.H. Mascheroni. Equilibrium Moisture Characteristics of High Oleic Sunflower Seeds and Sernels. *Dry. Technol.* 2003, 21, pp. 147–163.
26. Разработка электропривода сушильной установки растительного сырья АО “Шымкентмай” https://knowledge.allbest.ru/manufacture/3c0b65635a2ac68b5d43b89421216c36_0.html.
27. A.K. de Figueiredo, E. Baümler, I.C. Riccobene, S.M. Nolasco. Moisture-Dependent Engineering Properties of Sunflower Seeds with Different Structural Characteristics. *J. of Food Eng.* 2011, 102, 58–65.
28. N. Dibagar, S.J. Kowalski, R.A. Chayjan, A. Figiel. Accelerated Convective Drying of Sunflower Seeds by High-Power Ultrasound: Experimental Assessment and Optimization Approach. *Food and Bio. Proc.* 2020, 123, pp 42–59.
29. E.M. Santalla, R.H. Mascheroni. Moisture Diffusivity in High Oleic Sunflower Seeds and Kernels. *Int. J. of Food Prop.* 2010, 13, 464–474.
30. P.C. Coradi, C.H.P Fernandes, C.C. Peralta, T.L.L. Pereira. Quality of Sunflower Seeds after Drying with Different Temperatures. *Spanish J. of Rural Develop.* 2014, 4, pp 23-32. DOI: 10.5261/2014.GEN4.03.
31. P.C. Coradi, C.H.P. Fernandes, C.C. Peralta, T.L. Pereira. Effects of Drying and Storage Conditions in the Quality of Sunflower Seeds. *Pesq. agropec. pernamb.*, 2015, 1-10. DOI: 10.12661/pap.2015.005.
32. <https://www.fruit-inform.com/ru/technology/keep/18770#.Y3xcx71BzIV>

33. R. Sivakumar, R. Saravanan, A.E. Perumal, S. Iniyan, Fluidized Bed Drying of some Agro Products – A Review. *Ren. and Sust. En. Rev.* 2016, 61, 280–301.
34. H.J. Das, R. Saikia, P. Mahanta. Effects of Spiral and Cone Angles on Drying Characteristics and Energy Consumption of Fluidized Bed Paddy Dryer. *Dry. Technol.* 2020, 1-13. DOI: 10.1080/07373937.2020.1832512.
35. K.M. Kundu, R. Das, A.B. Datta, P.K. Chatterjee. On the Analysis of Drying Process. *Dry Technol.* 2005, 23, 1093–1105.
36. Н.Р. Юсупбеков, Ҳ.С. Нурмуҳаммедов, С.Г. Зокиров, Кимёвий технология асосий жараён ва қурилмалари. –Т.: “Фан ва технология”, 2015, 848б.
37. Н.Р. Юсупбеков, Ҳ.С. Нурмуҳаммедов, С.Г. Зокиров. Кимёвий технология асосий жараён ва қурилмалари. - Т.; «Шарқ», 2003. - 644 б.
38. А.В. Лыков. Теория сушки. – М., «Энергия», 1968. – 472 ст.
39. П.Д. Лебедов. Теплообменные, сушильные и холодильные установки. Учебник для студентов технических вузов. Изд. 2-е, перераб. М., «Энергия», 1972. – 320 ст.
40. В.И. Курдюмов, А.А. Павлушкин, Г.В. Карпенко, С.А. Сутягин. Тепловая обработка зерна в установках контактного типа. Монография. 2013. - 290 ст.
41. А.Б. Оспанов и др. Совершенствование процессов сушки и обеззараживания зерна в электромагнитном поле сверхвысокой частоты. Монография. 2017.-163 ст.
42. Т.М. Кунилова. Анализ существующих типов оборудования и технологий сушки.
43. А.Ю. Измайлов, С.А. Павлов, и др. Устройство двухпоточной сушки семян и зерна. RU Патент 2,732,560, 21.09.2020.
44. Agricultural News. sila-zemli.com/khranenie/shakhtnye-zernosushilki.html (accessed Nov 13, 2017).

45. Conveyor Grain Plant. <https://asm-agro.ru/articles/shahtnaya-sushilka-kakie-u-neyo-minusy/>(accessed April 14, 2020).

46. Modern Production and Technology. https://itexn.com/4075_mobilnye-shahtnye-zernosushilki.html.

47. Expert Business Portal. <https://sdexpert.ru/news/project/dostoinstva-i-nedostatki-tipov-zernosushilok/>(accessed July 29, 2019).

48. Amistar Gold. https://www.pesticidy.ru/dictionary/heating_grain (accessed May 30, 2013).

49. <https://zen.yandex.ru/media/id/5e82c672bb31c2679c6e7d8e/shahtnaia-sushilka-kakie-u-nee-minusy-5ea11be298c2d801bbb1952b> (accessed April 23, 2020).

50. М.М. Абдюшев. Зерносушилка. RU Патент 2,727,818, 24.07.2020.

51. Н.М. Андрианов, М.А. Иванов. Способ распределения газа в шахтной зерносушилке и устройство для его осуществления. RU Патент 2,538,185, 10.01.2015.

52. А.В. Голубкович, С.А. Павлов, и др. Способ автоматического управления зерносушилкой и устройство для его осуществления, RU Патент 2,656,531, 05.06.2018.

53. И.Г. Лысых. Технология и технические средства для поточной гравитационной сушки семян подсолнечника. Диссертация. М.:2004.

54. В.Ю. Маяровский, В.П. Колинко и др. Устройство для направления потока газовой среды в зерносушилке (варианты). RU Патент 2,386,093, 10.04.2010.

55. А.В. Голубкович, С.А. Павлов. Способ и устройство для сушки сыпучих материалов. RU Патент 2,382,304, 20.02.2010.

56. А.В. Дранников, О.А. Орловцева, Н.А. Игнатенко Зерносушильный аппарат. RU Патент 2,651,015, 18.04.2018.

57. С.Д. Шепелёв, М.В. Запевалов. Зерносушилка. RU Патент 89214, 27.11.2009.

58. А.Г. Сергеев Устройство распределения газа в шахтной зерносушилке. RU Патент 2,610,781, 15.02.2017.
59. В.М. Дмитриев, Е.А. Сергеева, О.С. Неверова Энергосберегающая шахтная сушилка для зерновых культур. RU Патент 2,727,521, 22.07.2020.
60. Г.М. Ефимова, И.Х. Масалимов, И.Р. Ракипов. Конвейерная сушилка с ик-нагревом. RU Патент 2,657,076, 08.06.2018.
61. А.В. Ефимов, И.Х. Масалимов, И.Р. Ганиев, В.Н. Пермжаков Конвейерная сушилка для сыпучих материалов. RU Патент 2,403,515, 10.11.2010.
62. В.В. Костин. Конвейерная сушилька. RU Патент 2,650,011, 06.04.2018.
63. С.А. Булавин, Ю.В. Саенко, А.Ю. Носуленко, В.Н. Саенко. Конвейерная установка для сушки пророщенного зерна. RU Патент 2 529 704, 27.09.2014.
64. K.K. Khankari, S.V. Pawnkar. Performance Analysis of a Double-Deck Conveyor Dryer - a Computational Approach. *Dry. Technol.* 1999, 17, 2055-2067. DOI:10.1080/07373939908917672.
65. D. Friso. Conveyor-Belt Dryers with Tangential Flow for Food Drying: Mathematical Modeling and Design Guidelines for Final Moisture Content Higher Than the Critical Value. *Inventions* 2020, 5, 22; doi:10.3390/inventions5020022.
66. O.F. Lutfy, S.B. Mohd Noor, M.H. Marhaban and K.A. Abbas. Non-linear modelling and control of a conveyor-belt grain dryer utilizing neuro-fuzzy systems. *Proc. IMechE Vol. 225 Part I: J. Systems and Control Engineering.* 2010.
67. O.F. Lutfy, Selamat, H.; Mohd Noor, S. B. In Modelling of a Conveyor-belt Grain Dryer Utilizing a Sigmoid Network, Proceedings of the 10th Asian Control Conference (ASCC), Kota Kinabalu, Malaysia, May 31 - June 3, 2015.
68. Lutfy, O. F.; Selamat, H.; Mohd Noor, S. B. Intelligent Modelling and Control of a Conveyor-Belt Grain Dryer Using a Simplified Type-2 Neuro-Fuzzy Controller. *Dry. Technol.* 2015, 33, 1210-1222. DOI:10.1080/07373937.2015.1021007.

69. B.C. Севостьянов, А.В. Кощуков, Е.А. Шкарпеткин. Классификация и анализ существующих сушилок, применяемых в промышленности строительных материалов. Конференция: инновационные материалы, технологии и оборудование для строительства современных транспортных сооружений белгород, 08–10 октября 2013 года.
70. A. S. Mujumdar. Ed. *Handbook of Industrial Drying*, 3th ed.; Taylor & Francis Group, LLC: Oxfordshire, UK, 2006.
71. I. Goplour, M. Z. Nejad, R. A. Chayjan, A. M. Nikbakht, R. P. F Guine M. Dowlati. Investigating Shrinkage and Moisture Diffusivity of Melon Seed in a Microwave Assisted Thin Layer Fluidized Bed Dryer. *J. of Food Meas. and Char.* 2017, 11, 1-11. DOI 10.1007/s11694-016-9365-5.
72. А.С. Гинзбург, В.А. Резчиков. Сушка пищевых продуктов в кипящем слое. – М., «Пищевая промышленность», 1966. – 196 ст.
73. H. J. Das, R. Saikia and P. Mahanta. Effects of spiral and cone angles on drying characteristics and energy consumption of fluidized bed paddy dryer. *Drying Technology*. <https://doi.org/10.1080/07373937.2020.1832512>. 2020 Taylor & Francis Group.
74. R. Sivakumar, R. Saravanan, A. Elaya Perumal, S. Iniyan. Fluidized bed drying of some agro products – A review . *Renewable and Sustainable Energy Reviews* 61 (2016) 280–301
75. Hirakh Jyoti Das, Pinakeswar Mahanta, Rituraj Saikia, Md Shoail Aamir. Performance Evaluation of Drying Characteristics in Conical Bubbling Fluidized Bed Dryer. *Powder Technology* (2019), <https://doi.org/10.1016/j.powtec.2020.06.051>.
76. R. A. Chayjan, M. Kaveh, N. Dibagar, M. Z. Nejad. Optimization of Pistachio Nut Drying in a Fluidized Bed Dryer with Microwave Pretreatment Applying Response Surface Methodology. *Chem. Pr. and Proc. Modeling*. 2017, 1-15. DOI: 10.1515/cppm-2016-0048.
77. M. Kaveh, R. A. Chayjan, B. Khezri. Modeling Drying Properties of Pistachio Nuts, Squash and Cantaloupe Seeds under Fixed and Fluidized Bed

Using Data-Driven Models and Artificial Neural Networks. Inter. J. of Food Eng. 2018, 1-19. DOI: 10.1515/ijfe-2017-0248.

78. А.В. Голубкович, С.А. Павлов. Способ сушки зерна в псевдоожженном слое. RU Patent 2,700,672, 18.09.2019.

79. Р. Л. Исьемин и др. Аппарат для сушки органических материалов, включая биомассу, в кипящем слое. RU Патент 2 731 261, 31.08.2020

80. О.С. Кочетов. Сушилка взвешенного слоя с инертной насадкой. RU Патент 2 647 001. 13.03.2018.

81. О.С. Кочетов. Сушилка кипящего слоя с инертной насадкой RU Патент 2 646 665, 06.03.2018

82. Е.П. Кошевой, В.С. Косачёв, С.А. Подгорный. Ротационная сушилка кипящего слоя. RU Патент 139937, 27.04.2014.

83. О.С. Кочетов. Установка для сушки диспергированных материалов в кипящем слое инертных тел. RU Патент 2 671 670. 06.11.2018.

84. А.А. Шевцов, Л.Н. Флора и др. Сушилка для сыпучих материалов. RU Патент 2,613,217, 05.03.2017.

85. Н.А. Устинов, Е.К. Кожевникова. Сушилка с псевдоожженным слоем. RU Патент 139139, 10.04.2014.

86. В.И. Атаназевич. Сушка пищевых продуктов. - М. : Гастроном, 2000.

87. A.E.A. Paixao, S.C.S. Rocha. Pneumatic Drying in Diluted Phase: Parametric Analysis of Tube Diameter and Mean Particle Diameter. Dry. Technol. 1998, 16, 1957-1970. DOI: 10.1080/07373939808917505.

88. B. Satpati, Ch. Koley, S. Datta. Nonlinear Model of Pneumatic Conveying Dryer for Economic Process Control. Dry. Technol. 2020, 38, 1516-1537. DOI: 10.1080/07373937.2019.1648286.

89. K. Weerachai, K. Sittidej and Somchai, Wongwises. A Small-Scale Pneumatic Conveying Dryer of Rough Rice. Drying Technology, 24: 105–113, 2006.

90. Дж.Н. Мухитдинов, Б. Х. Юнусов, С. И. Якубов, Исследование температурных полей вихревой камеры сушилки для дисперсных материалов. «Химическая промышленность сегодня», 2003. Москва., № 12.

91. S.M. El-Behery, W. A. El-Askary, H. H. Mofreh and K. A. Ibrahim. Eulerian–Lagrangian Simulation and Experimental Validation of Pneumatic Conveying Dryer. *Drying Technology*, 31: 1374–1387, 2013

92. S. Banooni, E. Hajidavalloo, M. Dorfeshan. Experimental and numerical study of the effects of pre-drying of S-PVC using a pneumatic dryer. *Powder Technology* 338 (2018) 220–232.

93. C. S. Lopes, Th. F. de Pa'dua, M. do Carmo Ferreira, and J. T. Freire. Influence of the Entrance Configuration on the Performance of a Non-Mechanical Solid Feeding Device for a Pneumatic Dryer. *Drying Technology*, 29: 1186–1194, 2011.

94. C. Nimmol. Performance, energy, and product quality aspects of a modified pneumatic dryer for rapid drying of high-moisture paddy. American Society of Agricultural and Biological Engineers. Vol. 62(6): 1531-1539. 2019. <https://doi.org/10.13031/trans.13347>.

95. R. Dhurandhar, J.P. Sarkar, B. Das. The Recent Progress in Momentum, Heat and Mass Transfer Studies on Pneumatic Conveying: A Review. *Heat and Mass Transfer*. 2018, 54, 2617–2634. <https://doi.org/10.1007/s00231-018-2275-9>.

96. А.Н. Ченин. Повышение эффективности сушки зерна в барабанной гелиосушилке. Диссертация. Брянская область – 2017.

97. I. Farkas, Integrated Use of Solar Energy for Crop Drying. *Dry. Technol.* 2013, 31, 866–871. DOI: 10.1080/07373937.2013.790410.

98. G. Pirasteh a,n, R. Saidur a,b, S.M.A. Rahman c, N.A. Rahim. A review on development of solar drying applications. *Renewable and Sustainable Energy Reviews* 31 (2014) 133–148.

99. A. Boulemtafes-boukadoum, A. Benzaouia. Energy and exergy analysis of solar drying process of Mint. *Energy Procedia* 6 (2011) 583–591.

100. C.O.C. Oko and S. N. Nnamchi. Coupled Heat and Mass Transfer in a Solar Grain Dryer. *Drying Technology*, 31: 82–90, 2013.
101. P.P. Dutta and A. Kumar. Development and Performance Study of Solar Air Heater for Solar Drying Applications. Springer Nature Singapore Pte Ltd. 2017. *Solar Drying Technology, Green Energy and Technology*.
102. S. Shanmugam, P. Kumar, A.R. Veerappan. Evaluation of Thermal Efficiency of Oscillating-Bed Solar Dryer through Drying of Sunflower Seeds. *J. Ren. Sust. Ener.* 2011, 3, 1-9. doi:10.1063/1.3618742.
103. Y. Chan, N.T.M. Dyah, A. Kamaruddin. Solar Dryer with Pneumatic Conveyor. *Ener. Proced.* 2015, 65, 378–385. DOI: 10.1016/j.egypro.2015.01.067.
104. A.M. Matouk, M.M. El-Kholy, S.A. El-Raheam. Utilization of Solar Energy for Drying Sunflower Seed. *J. Soil Sci. and Agric. Eng.* 2013, 4, 125 – 146.
105. S.B. Pawar, V.M. Pratape. Fundamentals of Infrared Heating and its Application in Drying of Food Materials:A Review. *J. of Food Pr. En.* 2015, 1-15.
106. N. da Silva Timm and others. Infrared radiation drying of parboiled rice: Influence of temperature and grain bed depth in quality aspects. accepted: 6 January 2020. DOI: 10.1111/jfpe.13375
107. I Palamarchuk, M. Mushtruk, V. Vasyliv, M. Zheplinska. Substantiation of regime parameters of vibrating conveyor infrared dryers. *Pot. Slov. J.l of Food Sc..* vol. 13, 2019, no. 1, p. 751-758 <https://doi.org/10.5219/1184>.
108. С.Ф. Демидов. Исследование процесса сушки семян подсолнечника семенного фонда инфракрасным излучением. Научный журнал НИУ ИТМО. Серия «Процессы и аппараты пищевых производств» № 2, 2014.
109. M. Nosrati, D. Zare and others. New Approach in Determination of Moisture Diffusivity for Rough Rice Components in Combined Far-Infrared Drying by Finite Element Method. *Dry. Technol.* 2020, 38, 1721-1732.
110. P. Sakare, N. Prasad, N. Thombare, R. Singh, S.Ch. Sharma. Infrared Drying of Food Materials: Recent Advances. *Food Eng. Reviews.* 2020, 12, 381–398. <https://doi.org/10.1007/s12393-020-09237-w>.

111. Drying Food Products. <https://www.prosushka.ru/1882-zernosushilka-barabannaya.html>.

112. Grain Drying Technology and Process.
<https://zernosushka.ru/barabannaya-sushilka/>.

113. Б.В. Ткач, С.А. Шевцов, Н.А. Сердюкова. Барабанная сушилка. RU Патент 2,649,379, 02.04.2018.

114. А.Х. Утешев. Сушилка барабанная с двойным корпусом и струйным насосом. RU Патент 2 674804, 13.12.2018.

115. В.Г. Вохмянин. Сушилка барабанного типа. RU Патент 2,681,387, 06.03.2019.

116. Y. Ying, Zh. Wu, H. Jiang. Determination of Residence Time of Grains in Drum Dryer. Dry.Technol. 1999, 17, 1905-1913.
doi:10.1080/07373939908917660

117. X.Wang, Sh. Luo, L. Zhang, Zh. Zhang. Numerical Simulation of Temperature and Flow Field on Single Channel Drum Dryer. Adv. Mat. Research. 2012, 422, pp 669-672. DOI:10.4028/www.scientific.net/AMR.422.669.

118. T. Poós, M. Örvös. Heat and Mass Transfer in Agitated, Co-, or Countercurrent Conductive–Convective Heated Drum Dryer. Dry.Technol. 2012, 30, 1457–1468. DOI: 10.1080/07373937.2012.689402.

119. Hendra; Syukriah; Silalahi, M.; Indriani, A.; Hernadewita; Hermiyetti. Finite Element Method Analysis for Manufacturing Design Drum Dryer of Rotary Dryer Machine, Proceedings of the 1st International Conference on Industrial and Manufacturing Engineering, Medan City North Sumatera, Indonesia, 16.10.2018

120. I. Hamawand, and T.Yusaf. Particles Motion in a Cascading Rotary Drum Dryer. Can. J. Chem. Eng. 2013, 9999, 1-15. DOI 10.1002/cjce.21845.

121. S. Wangchai. Numerical simulation of the flow of agricultural seeds inside a rotary drum dryer by DEM, Proceedings of the 12th TSAE International Conference, Chonburi, Thailand, March 14–15, 2019.

122. M.A. Delele, F. Weigler, J. Mellmann. Advances in the Application of Rotary Dryer for Drying of Agricultural Products: A Review. Dry. Technol. 2015, 33, 1-63. DOI: 10.1080/07373937.2014.958498.

123. J.P. Mukhiddinov, E.X. Safarov. Reviewing Technologies And Devices For Drying Grain And Oilseeds // Chemical technology. Control and management. – 2021. – №3(99). –pp. 05-19.

124. P.L. Dauglas, J.A.T. Jones, S.K. Mallick. Modelling and simulation of crosstlow grain dryers. Part L Model development / Chem. Eng. Res. and Des..- 2012 . - 71 ,№3 .-P.325-331.

125. К.В. Винокуров. Разработка технологического процесса и обоснование параметров барабанной зерносушилки с использованием эффекта рециркуляции зерна. Диссертация. Саратов 2004.

126. С.Т. Антипов. Тепло- и массообмен при сушке в аппаратах с вращающимся барабаном / С.Т. Антипов, В.Я. Валуйский, В.Н. Меснянкин — Воронеж: Изд-во Воронеж, гос. технол. акад. 2001. — 308 с.

127. H. Ihsan, Yu. Talal. Particles Motion in a Cascading Rotary Drum Dryer. Can. J. Chem. Eng. 2013, 9999:1–15. DOI: 10.1002/cjce.21845

128. В.Н. Меснянкин. Совершенствование аппаратов с вращающимся барабаном для сушки сыпучих пищевых продуктов. Диссертация. Воронеж, 2002.- 194 с.: ил. РГБ ОД, 61 02-5/1540-0

129. L. Xie, L. Yang, L. Su, Sh. Xu and W. Zhang. A Novel Rotary Dryer Filled with Alumina Ceramic Beads for the Treatment of Industrial Wastewaters: Numerical Simulation and Experimental Study. Processes 2021, 9, 862.

130. А.В. Алтухов. Методология совершенствования и расчета барабанных сушильных агрегатов. Диссертация. Республика Казахстан, Шымкент-1999.

131. Б.Р. Беккулов. Шоли қуритиш қурилмасининг конструкциясини ишлаб чиқиши ва унинг параметрларини асослаш. Диссертация. Наманган – 2020

132. Ю. В. Янюк, Е. А. Питухин. Преобразование математической модели процесса сушки для управления сушильной установкой барабанного типа//Труды лесоинженерного факультета ПетрГУ/Изд-во ПетрГУ, Петрозаводск, 2003. Вып. 4. С. 191-196.

133. А.М. Байтуреев. Математическое моделирование и получения критериального уравнения процесса сушки сыпучих и зернистых материалов в сушильном барабане со смешанным режимом термообработки. Вестник национальной академии наук Республики Казахстан. №4. 2014.

134. B.B. Кафаров, М.Б. Глебов. Математическое моделирование основных процессов химических производств. – М.: Высш. шк., 1991. – 400 ст.

135. S. Wangchai. Numerical simulation of the flow of agricultural seeds inside a rotary drum dryer by DEM. IOP Conf. Series: Earth and Environmental Science 301 (2019) 012048 IOP Publishing doi:10.1088/1755-1315/301/1/012048.

136. Ю.В. Янюк. Преобразование математической модели процесса сушки для управления сушилкой барабанного типа. Диссертация. ПетрГУ. 2003.

137. S.T. Antipov, A.I. Klyuchnikov, V.A. Panflov. System modelling of non-stationary drying processes. Foods and Raw Materials, no. 1, pp. 93–106, 2019, DOI: <http://doi.org/10.21603/2308-4057-2019-1-93-106>.

138. Н.Р. Юсупбеков и др. Моделирование химико-технологических комплексов. 10-я международная конференция по теории и применению мягких вычислений, вычисление со словами и восприятием – ICSCCW-2019. –Прага: Springer, 2019. –PP.588-595.

139. С.К. Манасян. Имитационное моделирование процессов сушки зерна в зерносушилках сельскохозяйственного назначения. Диссертация. Красноярск-2009.

140. M. Stakic, E. Tsotsas, “Model-Based Analysis of Convective Grain Drying Processes”, Dry. Technol., no. 23, pp. 1895–1908, 2005, doi: 10.1080/07373930500210283.

141. Н.Р. Юсупбеков, Дж.П. Мухитдинов, Технологик жараёнларни моделлаштириш ва оптималлаштириш асослари. –Т.: «Сано-стандарт», 2019. 480 б.

142. E.X. Safarov. Study of the Influence of the Drying Agent Speed on the Operation of A Combined Energy-Saving Drum Dryer. Universum: технические науки. Moscow, 2022.-№8(101).C.18-23.doi:10.32743/UniTech.2022.101.8.14120.

ИЛОВАЛАР

IXTIRO
PATENTI

O'ZBEKISTON RESPUBLIKASI ADLIYA VAZIRLIGI

№ IAP 06976

Ushbu patent O'zbekiston Respublikasining "Ixtiolar, foydali modellar va sanoat namunalari to'g'risida"gi Qonuniga asosan quyidagi ixtiroga berildi:

Sochiluvchan materiallar uchun aerodinamik gelio quritgich

Talabnoma kelib tushgan sana: **06.10.2020** Talabnoma raqami: **IAP 2020 0420**

Ustuvorlik sanasi: **06.10.2020**

Patent egasi(lari): **Toshkent davlat texnika universiteti, UZ**

Ixtiro muallif(lari): **Yusupbekov Nadirbek Rustambekovich, Muxitdinov Djaloliddin Paxritdinovich, Safarov Elyorbek Xasanovich, UZ**

Ixtiroga berilgan patent O'zbekiston Respublikasi hududida 06.10.2020 yildan boshlab patentni kuchda saqlab turish uchun patent boji o'z vaqtida to'langandagina 20 yil mobaynida amal qiladi.
O'zbekiston Respublikasi Ixtiolar davlat reyestrida 31.05.2022 yilda ro'yxatdan o'tkazildi.



ELEKTRON HISOBBLASH MASHINALARI UCHUN YARATILGAN
DASTURNING RASMIY RO'YXATDAN O'TKAZILGANLIGI TO'G'RISIDAGI
GUVOHNOMA
O'ZBEKISTON RESPUBLIKASI ADLIYA VAZIRLIGI
№ DGU 18786

Ushbu guvohnoma O'zbekiston Respublikasining «Elektron hisoblash mashinalari uchun yaratilgan dasturlar va ma'lumotlar bazalarining huquqiy himoyasi to'g'risida»gi Qonuniga asosan quyidagi elektron hisoblash mashinalari uchun yaratilgan dasturga berildi:

Kombinatsiyalashgan barabanli quritkichda kungabоqар urug'larining namlik berish jarayonini modellashtirish

Talabnoma kelib tushgan sana: **14.09.2022** Talabnoma raqami: **DGU 2022 4538**

Huquq egasi(lari): **Muxitdinov Djaloliddin Paxritdinovich UZ;**

Dastur muallifi(lari): **Muxitdinov Djaloliddin Paxritdinovich UZ; ; Safarov Elyorbek Xasanovich UZ;**

O'zbekiston Respublikasining Dasturli mahsulotlar davlat reyestrida
17.10.2022 y. ro'yxatdan o'tkazilgan.





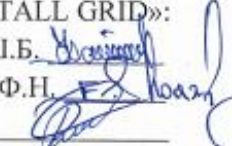
АКТ

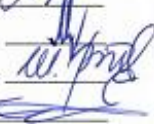
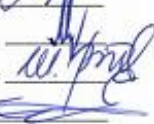
приема-передачи рабочей документации опытного образца, комбинированного энергосберегающего сушильного устройства для сушки сельскохозяйственных продуктов (КЭСУ-40 мини).

Мы, нижеподписавшиеся, представители заказчика – Ташкентского государственного технического университета – в лице: д.т.н., проф. Д.П.Мухитдинова, д.т.н., проф. Мухамедханова У.Т., PhD, доц. Шамсутдиновой В.Х., ответственного исполнителя Сафарова Э.Х. с одной стороны и представители Общества с Ограниченной Ответственностью «METALL GRID» в лице: главного инженера Файзиева Ш.Б., начальника производства Шоазизова Ф.Н., технолога Рузиева А. с другой стороны составили настоящий акт о передаче рабочей документации с целью изготовления опытного образца комбинированного энергосберегающего сушильного устройства для сельскохозяйственных зерновых продуктов (КЭСУ-40 мини), разработанной в ТашГТУ для проведения дальнейших работ (изготовления, проведения промышленных испытаний и совместного исследования).

Рабочая документация комбинированного энергосберегающего сушильного устройства для сушки сельскохозяйственных зерновых продуктов (КЭСУ-40 мини) состоит из: спецификации, сборочных и рабочих чертежей.

Комбинированное энергосберегающее сушильное устройство для сушки сельскохозяйственных зерновых продуктов состоящее из сушильного барабана, солнечного коллектора, электрокалорифера, электромотора, шагового мотора и шкафа управления будет установлено на единую раму.

Представители
ООО «METALL GRID»:
Файзиев Ш.Б. 
Шоазизов Ф.Н. 
Рузиев А. 

Представители ТашГТУ:
Мухитдинов Д.П. 
Мухамедханов У.Т. 
Шамсутдинова В.Х. 
Сафаров Э.Х. 



ПРОТОКОЛ

испытания опытного образца, комбинированного энергосберегающего сушильного устройства для сушки сельскохозяйственных зерновых продуктов (КЭСУ-40 мини).

Комиссия в составе:

От ООО «METALL GRID»:

Главный инженер
Начальник производства
Технолог

Файзиев Ш.Б.
Шоазизов Ф.Н.
Рузинев А.

От ТГТУ:

д.т.н., профессор кафедры «АПП»
д.т.н., профессор кафедры «АПП»
PhD, доцент кафедры «АПП»
Ответственный исполнитель

Мухитдинов Д.П.
Мухамедханов У.Т.
Искандаров З.Э.
Сафаров Э.Х.

провела производственные испытания опытного образца, комбинированного энергосберегающего сушильного устройства для сушки сельскохозяйственных зерновых продуктов в период с 10 июля по 24 июля 2021 года.

Техническая характеристика комбинированного энергосберегающего сушильного устройства для сушки сельскохозяйственных зерновых продуктов (КЭСУ-40 мини)

1. Тип машины

передвижной

2. Габаритные размеры изделия, мм

-длина	1800
-ширина	680
-высота	930

2-илованинг давоми

3. Производительность сушки за 1 час:	
- эксплуатационного времени, кг	38-40
4. Потребляемая мощность, кВт	4.5
5. Окружная скорость сушильного барабана, об/мин.	1
6. Масса конструкции, кг	100
7. Количество обслуживающего персонала, чел	1
8. Солнечный коллектор объемом, м ³	0.7
9. Солнечный отражатель площадью, м ²	3

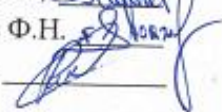
Испытание проводилось подключением к электрическому току частотой 50 Гц, напряжением 220В с параллельным использованием солнечной энергии в дневное время. Испытание продолжалось по 10 часов ежедневно в полевых условиях при средней нагрузке по высушиваемому материалу - 40 кг/час. Средняя начальная влажность семян подсолнечника составляла 42%. Сушка проводилась при трех температурных режимах: 80°C, 90°C, 100°C. Удаление влаги для каждой партии сушки при различных режимах сушки составляло в среднем 6,4%, 8,5% и 8,7% соответственно. Атмосферный воздух в солнечном коллекторе нагревался до температуры 65°C, дальнейшее повышение температуры в сушилке осуществлялось за счет электрической печи. За счет использования солнечной энергии потребление электроэнергии сушилкой при температурах сушки 80°C, 90°C, 100°C экономилось в среднем на 2,1 кВт/час, 1,9 кВт/час и 1,8 кВт/час соответственно.

При испытании опытный образец комбинированного энергосберегающего сушильного устройства для сушки сельскохозяйственных зерновых продуктов показал бесперебойную работу и среднюю производительность сушки семян подсолнечника 40 кг/час при среднем влагосъеме 7,8% за проход.

При испытаниях сушилки выявилось неудобство эксплуатации, выражющееся в необходимости постоянного поворота установки по направлению к солнцу.

Указанное замечание не снижает прочие эксплуатационные достоинства сушилки и рекомендуется к серийному производству.

От ООО «METALL GRID»:

Файзиев Ш.Б. 
 Шоазизов Ф.Н. 
 Рузиев А. 

От ТГТУ:

Мухитдинов Д.П. 
 Мухамедханов У.Т. 
 Исхандаров З.Э. 
 Сафаров Э.Х. 

“КЕЛИШИЛДИ”

БПТУ илмий ишлар ва
инновациялар бўйича
директор в.в.б:
С. Донаев
2022й.



“ТАСДИҚЛАЙМАН”

Тўлкинов Мирзиё Бофлари
фермер хўжалиги раҳбари
TO'LQINOV MIRZIY BOFLARI
2022й.



Илмий тадқиқотнинг илмий ва амалий натижаларини

ЖОРӢ ҚИЛИШ ДАЛОЛАТНОМАСИ

Ушбу далолатнома Сафаров Элёрбек Хасановичнинг “Кунгабоқар донларини куритиш учун комбинациялашган энергия тежсамкор аппарат ишилаб чиқини”

(матбу тоғлини, давлат сайдирикни В2020.2.PbD/T1582)

мавзусидаги диссертация иши натижалари Андижон вилояти Балиқчи туманинаги “Тўлкинов Мирзиё Бофлари” фермер хўжалигига жорӣ қилиш учун қабул
(жорӣ қилинган корхона иомни)

қилингандигини тасдиқлайди.

1. Жорӣ қилинган натижалар тури: кунгабоқар донларини куритувчи барабан типидаги комбинациялашган энергия тежсамкор аппарат,
(курилма, иш, технологиянинг эксплуатацияси, тизимнинг ишланиши)

2. Жорӣ қилиш кўламининг хусусиятлари: ягона
(ноёб, ягона, тўшам, оммавий, серияли)

3. Жорӣ қилиш шакли:

Курилма: Кунгабоқар донларини куритиш учун комбинациялашган энергия тежсамкор аппарат.

4. Илмий тадқиқот натижаларининг янгилиги:

- ишилаб чиқилган барабан типидаги қуриткичининг аналитик моделлаштириши асосида кунгабоқар уруглари намтигини ўқотиши жараёнини моделлаштириши ва бошқарни имконини берадиган динамик модели ишилаб чиқилган;
- кунгабоқар уругларини ишилаб чиқилган барабан типидаги қуриткичда қуритиш учун экспериментал тадқиқодлар ўтказилиши услуби ишилаб чиқилган;
- кунгабоқар уругларини қуритишда тажсирбани иккинчи тартибли ротатабелли режсалаштириши усули асосида намлиқ ўйқотилишини башорат қилиши имконини берадиган эмпирик математик моделлар ишилаб чиқилган;
- чизиqli регрессион таҳтил асосида коллектордаги ҳавонинг қўшимча қизишини қуритиш тезлигининг ўзгаришига ва қурилманинг энергия тежсамкорлигига таъсирини кўрсатувчи эмпирик математик модел ишилаб чиқилган.
(каштоф, тубдан янги, сифат жиҳозидан янги, мөнфазалар, эски ишланмаларни мөдерназация қилиш)

5. Тажриба текшируви: 13.11.2021й. дан 30.11.2021й. гача, 30.06.2022й. дан 11.07.2022й. гача
(дағрини белгилаш)

6. Жорӣ қилинди: кунгабоқар донларини куритувчи барабан типидаги комбинациялашган энергия тежсамкор аппарат.

7. Йиллик иктиносий самара: 4 517 272.5 сўм

(жорӣ қилинган лойиҳагача)

8. Жорӣ қилиш ҳажми илмий тадқиқот иши ИТИ ва кафолатланган иктиносий самарадорлик $I_{\text{каф}}$ нисбати ИТИ/ $I_{\text{каф}}$ якупнида хисобланган кафолатланган иктиносий самарани хисоблаш асосида ва шартнома тузишда $I_{\text{каф}}$ ни босқичмабосқич жорӣ қилишида жорӣ қилиш ҳажмининг 100 фоизини ташкил этади.

2-илованинг давоми

9. Ижтимоий ва илмий-техник самара: кунгабоқар донларини қайта ишлаш вакти ва
харажатларини камайтириш, куритиш самарадорлигини ошириш.
(атроф-мухиттин, ер ости бойликларини мухофаза қилиш, меҳнат шаронгларини яхшилаш ва согломлаштириш, бошкарув тузилмасини такомиллаштириш, илмий-техникавий соҳалар, маҳсус максадлар ва бошқалар)

ТГТУ дан
Илмий раҳбар
“Ишлаб чиқари жараёнларини
автоматлаштириш” кафедраси
профессори,т.ф.д
Д.П. Мухитдинов

Мухитдинов
“Ишлаб чиқари жараёнларини
автоматлаштириш” кафедраси
(PhD)таянч докторант
Э.Х. Сафаров

Сафаров

Фермер хўжалигидан

Фермер хўжалиги раҳбари
А. Хайитов

Хайитов

Фермер хўжалиги вакили
А. Қодиров

Қодиров

“Кунгабокар донларини қуритиш учун комбинациялашган энергия тежамкор аппарат ишлаб чиқиши” илмий-тадқықот иши натижаларини жорий килишдан иктисодий самарадорликни хисоблаш

Олинган илмий-техникавий натижаларнинг ишончлилигини тасдиқлаш мақсадида Андикон вилояти Балиқчи туманиндағи “Тұлқинов Мирзиә Бөліари” фермер хұжалиғи учун кунгабокар донларини қуритувчи барабан типидаги комбинациялашган энергия тежамкор аппаратининг иш самарадорлыгини текшириш бүйіча тажриба-тадқықот ишлари олиб борилди.

1. Жараёнин жадаллантириш орқали тежамкорлықни хисоблаш.

Фермер хұжалигіда барабан типидаги комбинациялашган энергия тежамкор қуритиш аппаратидан фойдаланиш орқали кунгабокар донларини табиий қуритишдаги йўқотишлар міндори камаяди.

Қуритиш курилмасининг ўртача куилук унумдорлиги: $A = 680 \text{ кг/кун.}$

Йиллик иш кунлари сони: $B = 30 \text{ кун.}$

Кунгабокар донларининг сотиши нархи: $H = 5000 \text{ сўм.}$

Кунгабокар донларини табиий усууда қуритилгандаги йўқотишлар міндори умумий доннинг ўртача $C_1=0.075$ улушини ташкил этади.

Кунгабокар донларини барабан типидаги комбинациялашган курилмада қуритиш орқали йўқотишлар міндори умумий доннинг ўртача $C_2=0.015$ улушини ташкил этади.

Шундай килиб, кунгабокар донларини барабан типидаги комбинациялашган қуриткичда қуритиш орқали табиий қуритишдаги йўқотишлар міндорини камайтириш хисобига йиллик тежамкорлик $P=(C_1-C_2) \times A \times B \times H = (0.075-0.015) \times 680 \times 30 \times 5000 = 6 120 000 \text{ сўм/йил га тенг.}$

2. Капитал ва эксплуатация харажатларни хисоблаш.

Миллий иктисолиётда янги ускуналар, ихтиrolар ва рационализаторлик таклифлардан фойдаланишининг иктисодий самарадорлыгини аниқлашда янги техникаларга режалаштирилган капитал қўйилмалар янги ускуналарни яратиш ва улардан фойдаланиш учун зарур бўлган тўғридан-тўғри ва бошка бир марталик харажатларни хисобга олиши керак.

Юқоридагиларга асосланиб:

- кунгабокар донларини қуритувчи барабан типидаги комбинациялашган курилманинг киймати $K_{\text{кк}} = 6,450,000 \text{ сўмни ташкил этади};$

- қуритиш курилмасига техник хизмат кўрсатиш, шу жумладан уни жорий таъмиглаш бўйича сарф-харажатлар, у томонидан истеъмол қилинадиган электр энергияси киймати, иш пайтида истеъмол қилинадиган материаллар киймати

$$K_{\text{хар}} = 0,05 \cdot K_{\text{кк}} = 322500 \text{ сўм};$$

- комбинациялашган қуритиш курилмасини монтаж қилиш харажатлари $K_{\text{м}} = 0,3 \cdot K_{\text{кк}} = 1 935 000 \text{ сўм};$

- иш ҳаки фонди, яъни, асосий ищчининг ойлик маоши, $K_o = 1,500,000 \text{ сўм};$

- илмий-тадқықот ишларини олиб бориш учун сарф-харажатлар, $K_{\text{итти}} = 477 350 \text{ сўм};$

- сарф-харажатларнинг умумий суммасини куйидагини ташкил этади:

$$K_{\text{ум}} = K_{\text{кк}} + K_{\text{хар}} + K_{\text{м}} + K_o + K_{\text{итти}} = 10 684 850 \text{ сўм}.$$

2-илованинг давоми

Барабан типидаги комбинациялашган энергия тежамкор қурилмасини жорий қилишнинг иқтисодий самарааси қўйидагини ташкил этади:

$\dot{E}_{uc} = P - E_M K_{ym} = 6\ 120\ 000 - 0.15 * 10\ 684\ 850 = 6\ 120\ 000 - 1\ 602\ 727,5 = 4\ 517\ 272,5$ сўм,
бу ерда E_M – меъёрий самарадорлик коэффициенти.

Иқтисодий самарадорликни аниқлашда қурилманинг ўзини оқлаш муддати қурилманинг ишлашидан олинган иқтисодий самарани комбинациялашган қурилмасини ишлаб чики ва жорий қилиш билан боғлиқ харажатлар билан таққосланадиган вақт даври сифатида белгиланади, яъни:

$$T = K_{ym} / \dot{E}_{uc} = 10\ 684\ 850 / 4\ 517\ 272,5 = 2,4 \text{ йил}$$

Ҳисоблашни амалга оширилар:

“Тўлқинов Мирзиё Боғлари”
фермер хўжалиги вакили

А. Хайитов

“Тўлқинов Мирзиё Боғлари”
фермер хўжалиги вакили

А. Қодиров

ТДТУ “Ишлаб чиқариш
жараёнларини автоматлаштириш”
кафедраси профессори, т.ф.д.

Д. Мухитдинов

ТДТУ “Ишлаб чиқариш
жараёнларини автоматлаштириш”
кафедраси таянч докторанти

Э. Сафаров



“КЕЛИШИЛДИ”
ОГУ илмий ишлар ва
инновациялар бўйича
проектор в.в.б:
С. Донаев
2022й.



“ТАСДИҚЛАЙМАН”
“Пахтакор олтин тупроти”
фермер хўжалиги раҳбари
И. Қамбаров
2022й.

Илмий тадқиқотнинг илмий ишларини натижаларини

ЖОРИЙ ҚИЛИШ ДАЛОЛАТНОМАСИ

Мазкур далолатнома Сафаров Элёрбек Хасановичнинг 02.0016-“Кимё технологияси ва озиқ-овқат ишлаб чиқариш жараёнлари ва аппаратлари (техника фанлари)” ихтисослиги бўйича Ўзбекистон Республикаси Вазирлар Маҳкамаси хузуридаги Олий аттестация комиссиясида B2020.2.PhD/T1582 раками билан рўйхатдан ўтган “Кунгабоқар донларини қуритиш учун комбинациялашган энергия тежсамкор аппарат ишлаб чиқши”

(маалу томи, давлат кайди раками)

мавзусидаги диссертация иши натижалари Андижон вилояти Балиқчи туманидаги “Пахтакор олтин тупроти” фермер хўжалигига жорий қилиш учун кабул
(жорий қилинган корхона томи)

килингандигини тасдиқлади.

1. Жорий қилинган натижалар тури: *кунгабоқар донларини қуритувчи барабан титидаги комбинациялашган энергия тежсамкор аппарат*.

(курилма, иш, технологиянинг экспортутишаси, тизимнинг ишлаши)

2. Жорий қилиш кўламининг хусусиятлари: *ягона*

(ноёб, ягона, тўплам, омшаний, сернили)

3. Жорий қилиш шакли:

Курилма: *Кунгабоқар донларини қуритишга мўлжалланган комбинациялашган энергия тежсамкор аппарат*.

4. Илмий тадқиқот натижаларининг янгилиги:

- ишлаб чиқилган барабан титидаги қуриткичининг аналитик моделлаштириш асосида кунгабоқар урутлари намлигини йўқотиши жараёнини моделлаштириш ва бошқариш имконини берадиган динамик модели ишлаб чиқилган;
- кунгабоқар урутларини ишлаб чиқилган барабан титидаги қуриткичда қуритиш учун экспериментал тадқиқодлар ўтказиши услуби ишлаб чиқилган;
- кунгабоқар урутларини қуритишда тажрибани иккинчи тартибли ротатабслли режалаштириш усули асосида намлик йўқотилишини башорат қилиш имконини берадиган эмпирік математик моделлар ишлаб чиқилган;
- чизикли регрессион таҳлил асосида коллектордаги ҳавонинг кўшимча қизишини қуритиш тезлигининг Ўзгаришига ва курилманинг энергия тежсамкорлигига таъсирини кўрсатувчи эмпирік математик модел ишлаб чиқилган.
(жашоғ, тубдан янги, сифат жиҳозидан янги, модификациялар, эски ишламаларни модернизация килиш)

5. Тажриба текшируви: 22.10.2021й. дан 12.11.2021й. гача, 30.07.2022й. дан 14.08.2022й. гача

(датни белгилаш)

6. Жорий қилинди: *кунгабоқар донларини қуритувчи барабан титидаги комбинациялашган энергия тежсамкор аппарат*.

7. Йиллик иқтисодий самара: *5 760 772,5сўм*

(жорий қилинган лойиҳагача)

8. Жорий қилиш ҳажми илмий тадқиқот иши ИТИ ва кафолатланган иқтисодий самарадорлик И_{саф} нисбати ИТИ/И_{саф} якуннида хисобланган кафолатланган

2-илованинг давоми

иқтисодий самарани ҳисоблаш асосида ва шартнома тузишда Икаф ни босқичмабосқич жорий қилишда жорий қилиш ҳажмининг 100 фоизини ташкил этади.

9. Ижтимоий ва илмий-техник самара: *кунгабоқар донларини қайта ишилаш вақти ва харажатларини камайтириш, қуритиш самарадорлигини ошириш.*

(атроф-мухитни, ер ости бойликларини муҳофаза килиш, меҳнат шароитларини яхшилаш ва соғломлаштириш, бошкарув тузилмасини такомиллаштириш, илмий-техникавий соҳалар, маҳсус максадлар ва бошқалар)

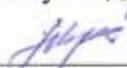
ТГТУ дан

Илмий раҳбар

“Ишлаб чиқари жараёнларини
автоматлаштириш” кафедраси

профессори, т.ф.д

Д.П. Мухитдинов


“Ишлаб чиқари жараёнларини
автоматлаштириш” кафедраси

(PhD)таяинч докторанти

Э.Х. Сафаров



Фермер хўжалигидан

Фермер хўжалиги раҳбари

И. Қамбаров



Фермер хўжалиги вакили

М. Хайдаров



“Кунгабокар донларини қуритиш учун комбинациялашган энергия тежамкор аппарат ишлаб чиқиши” илмий-тадқиқот иши натижаларини жорий қилишдан иқтисодий самарадорликни ҳисоблаш

Олинган илмий-техникавий натижаларнинг ишончлилигини тасдиқлаш мақсадида Андикон вилояти Балиқчи туманидаги “Пахтакор олтин тупроги” фермер хўжалиги учун кунгабокар донларини қуритувчи барабан типидаги комбинациялашган энергия тежамкор аппаратининг иш самарадорлигини текшириш бўйича тажриба-тадқиқот ишлари олиб борилди.

1. Жараённи жадаллаштириш орқали тежамкорликни ҳисоблаш.

Фермер хўжалигига барабан типидаги комбинациялашган энергия тежамкор қуритиш аппаратидан фойдаланиш орқали кунгабокар донларини табиий қуритишдаги йўқотишлар микдори камаяди.

Қуритиш қурилмасининг ўртача қунлик унумдорлиги: $A = 675 \text{ кг/кун.}$

Йиллик иш қунлари сони: $B = 38 \text{ кун.}$

Кунгабоқар донларининг сотиш нархи: $H = 5000 \text{ сўм.}$

Кунгабокар донларини табиий усулда қуритилгандаги йўқотишлар микдори умумий доннинг ўртача $C_1=0.073$ улушкини ташкил этади.

Кунгабокар донларини барабан типидаги комбинациялашган қурилмада қуритиш орқали йўқотишлар микдори умумий доннинг ўртача $C_2=0.015$ улушкини ташкил этади.

Шундай килиб, кунгабокар донларини барабан типидаги комбинациялашган қуритиш орқали табиий қуритишдаги йўқотишлар микдорини камайтириш ҳисобига йиллик тежамкорлик $P=(C_1-C_2) \times A \times B \times H = (0.073-0.015) \times 675 \times 38 \times 5000 = 7\,438\,500 \text{ сўм/йил га тенг.}$

2. Капитал ва эксплуатация харажатларни ҳисоблаш.

Миллий иқтисодиётда янги ускуналар, ихтиrolар ва рационализаторлик таклифлардан фойдаланишининг иқтисодий самарадорлигини аниқлашда янги техникаларга режалаштирилган капитал қўйилмалар янги ускуналарни яратиш ва улардан фойдаланиш учун зарур бўлган тўғридан-тўғри ва бошка бир марталик харажатларни ҳисобга олиши керак.

Юкоридагиларга асосланиб:

- кунгабокар донларини қуритувчи барабан типидаги комбинациялашган қурилманинг қиймати $K_{\text{кк}} = 6,450,000 \text{ сўмни ташкил этади};$
- қуритиш қурилмасига техник хизмат кўрсатиш, шу жумладан уни жорий таъмиглаш бўйича сарф-харажатлар, у томонидан истеъмол килинадиган электр энергияси қиймати, иш пайтида истеъмол килинадиган материаллар қиймати $K_{\text{жер}} = 0,05 \cdot K_{\text{кк}} = 322500 \text{ сўм};$
- комбинациялашган қуритиш қурилмасини монтаж қилиш харажатлари $K_{\text{м}} = 0,3 \cdot K_{\text{кк}} = 1\,935\,000 \text{ сўм};$
- иш ҳаки фонди, яъни, асосий ишчининг ойлик маоши, $K_o = 2000,000 \text{ сўм};$
- илмий-тадқиқот ишларини олиб бориш учун сарф-харажатлар, $K_{\text{итти}} = 477\,350 \text{ сўм};$
- сарф-харажатларнинг умумий суммасини куйидагини ташкил этади:

$$K_{\text{усл}} = K_{\text{кк}} + K_{\text{жер}} + K_{\text{м}} + K_o + K_{\text{итти}} = 11\,184\,850 \text{ сўм.}$$

2-илованинг давоми

Барабан типидаги комбинациялашган энергия тежамкор куритиш курилмасини жорий қилишнинг иқтисодий самарааси қуйидагини ташкил этади:

$\dot{E}_{ic} = P - E_m K_{ym} = 7\ 438\ 500 - 0.15 * 11\ 184\ 850 = 7\ 438\ 500 - 1\ 677\ 727,5 = 5\ 760\ 772,5$ сўм, бу ерда E_m – меъёрий самарадорлик коэффициенти.

Иқтисодий самарадорликни аниклашда қурилманинг ўзини оқлаш муддати қурилманинг ишлашидан олинган иқтисодий самарани комбинациялашган куритиш қурилмасини ишлаб чиқи ва жорий қилиш билан боғлиқ харажатлар билан такқосланадиган вакт даври сифатида белгиланади, яъни:

$$T = K_{ym} / \dot{E}_{ic} = 11\ 184\ 850 / 5\ 760\ 772,5 = 1,9 \text{ йил}$$

Ҳисоблашни амалга оширилар:

“Пахтакор олтин тупроғи”
фермер хўжалиги вакили

И. Қамбаров

“Пахтакор олтин тупроғи”
фермер хўжалиги вакили

М. Ҳайдаров

ТДТУ “Ишлаб чиқариш
жараёнларини автоматлаштириш”
кафедраси профессори, т.ф.д.

Д. Мухитдинов

ТДТУ “Ишлаб чиқариш
жараёнларини автоматлаштириш”
кафедраси таянч докторанти

Э. Сафаров

“КЕЛИШИЛДИ”
ТДГУ илмий ишлар ва
инновациялар бўйича
проректор в.в.б;
С. Донаев
2022й.



“ТАСДИҚЛАЙМАН”
Холмирза Болтабоев ишончи”
фермер хўжалиги раҳбари
А. Болтабоев
2022й.



**Илмий тадқиқотнинг илмий ва амалий натижаларини
ЖОРӢ ҚИЛИШ ДАЛОЛАТНОМАСИ**

Ушбу далолатнома Сафаров Элёрбек Хасановичнинг 02.0016—“Кимё технологияси ва озиқ-овкат ишлаб чиқариш жараёнлари ва аппаратлари (техника фанлари)” ихтиосолиги бўйича 01.01.2020 дан 30.09.2022 йилгача даврда Ислом Каримов номидаги Тошкент давлат техника университетида бажарилган, техника фанлари бўйича фалсафа доктори (PhD) даражасини олиш учун Ўзбекистон Республикаси Вазирлар Маҳкамаси хузуридаги Олий аттестация комиссиясида В2020.2.PhD/T1582 раками билан рўйхатдан ўтган “Кунгабокар донларини куритиш учун комбинациялашган энергия тежамкор аппарат ишлаб чиқиш”

(матбу томни, давлат қайд рагами)

мавзусидаги диссертация иши натижалари Андижон вилояти Балиқчи туманидаги “Холмирза Болтабоев ишончи” фермер хўжалигига жорӣ қилиш учун кабул
(жорӣ қилинган корхона номи)

қилинганинг тасдиқлайди.

1. Жорӣ қилинган натижалар тuri: кунгабокар донларини куритувчи барабан типидаги комбинациялашган энергия тежамкор аппарат,
(куримма, иш, технологиянинг эксплуатацияси, тизимишнинг ишланиш)

2. Жорӣ қилиш кўламининг хусусиятлари: _____ ягона
(ноёб, ягона, тўплам, оммавий, сериял)

3. Жорӣ қилиш шакли:

Курилма: Кунгабокар донларини куритиш учун комбинациялашган энергия тежамкор аппарат.

4. Илмий тадқиқот натижаларининг янгилиги:

- ишлаб чиқилган барабан типидаги куриткичининг аналитик моделлаштириш асосида кунгабокар уруғлари намлигини йўқотиш жараёнини моделлаштириш ва бошқариш имконини берадиган динамик модели ишлаб чиқилган;
- кунгабокар уруғларини ишлаб чиқилган барабан типидаги куриткичда куритиш учун экспериментал тадқиқодлар ўтказиш услуби ишлаб чиқилган;
- кунгабокар уруғларини куритишда тажрибани иккинчи тартибли ротатабелли режалаштириш усули асосида намлик йўқотилишини бапорат қилиш имконини берадиган эмпирик математик моделлар ишлаб чиқилган;
- чизикли регрессион тахлил асосида коллектордаги хавонинг қўшимча кизишини куритиш тезлигининг ўзгаришига ва курилманинг энергия тежамкорлигига таъсирини кўрсатувчи эмпирик математик модел ишлаб чиқилган.

(кашшоф, тубан янги, сифат жиҳозидан янги, модификациялар, эски ишланмаларни модернизация қилиш)

5. Тажриба текшируви: 28.09.2021й. дан 21.10.2021й. гача. 12.07.2022й. дан 29.07.2022й. гача
(дайрави белгилаш)

6. Жорӣ қилинди: кунгабокар донларини куритувчи барабан типидаги комбинациялашган энергия тежамкор курилма.

7. Йиллик иктисадий самара: 5 952 772,5 сўм
(жорӣ қилинганда лойиҳагача)

2-илованинг давоми

8. Жорий қилиш ҳажми илмий тадқиқот иши ИТИ ва кафолатланган иқтисодий самарадорлик $I_{каф}$ нисбати ИТИ/ $I_{каф}$ якунида ҳисобланган кафолатланган иқтисодий самарани ҳисоблаш асосида ва шартнома тузишда $I_{каф}$ ни босқичмабосқич жорий қилишда жорий қилиш ҳажмининг 100 фоизини ташкил этади.
9. Ижтимоий ва илмий-техник самара: кунгабокар донларини кайта ишлапш вакти ва харожатларини камайтириш, қуритиш самарадорлигини ошириш,
(атроф-мухитни, ер ости бойликларини муҳофаза қилиш, меҳнат шароитларини яхшилаш ва соғломлаштириш, тузилмасини тақомиллаштириш, илмий-техникавий соҳалар, маҳсус мақсадлар ва бошқалар)

ТГТУ дан
Илмий раҳбар
“Ишлаб чикари жараёнларини
автоматлаштириш” кафедраси
профессори, т.ф.д
Д.П. Мухитдинов

“Ишлаб чикари жараёнларини
автоматлаштириш” кафедраси
(PhD)таянч докторанти
Э.Х. Сафаров



Фермер хўжалигидан

Фермер хўжалиги раҳбари
А. Болтабоев



Фермер хўжалиги вакили
А. Болтабоев



“Кунгабокар донларини куритиш учун комбинациялашган энергия тежамкор аппарат ишлаб чиқиши” илмий-тадқиқот иши натижаларини жорий қилишдан иқтисодий самарадорликни хисоблаш

Олинган илмий-техникавий натижаларнинг ишончлилигини тасдиқлаш мақсадида Андижон вилояти Балиқчи туманиндағи “Холмирза Болтабоев ишончи” фермер хўжалиги учун кунгабокар донларини куритувчи барабан типидаги комбинациялашган энергия тежамкор аппаратининг иш самарадорлигини текшириш бўйича тажриба-тадқиқот ишлари олиб борилди.

1. Жараённи жадаллаптириш орқали тежамкорликни хисоблаш.

Фермер хўжалигида барабан типидаги комбинациялашган энергия тежамкор куритиш аппаратидан фойдаланиш орқали кунгабокар донларини табиий куритишдаги йўқотишилар миқдори камаяди.

Куритиш курилмасининг ўртача кунлик унумдорлиги: $A = 650 \text{ кг/кун.}$

Йиллик иш кунлари сони: $B = 42 \text{ кун.}$

Кунгабокар донларининг сотиш нархи: $H = 5000 \text{ сўм.}$

Кунгабокар донларини табиий усулда куритилгандаги йўқотишилар миқдори умумий доннинг ўртача $C_1 = 0.071$ улушкини ташкил этади.

Кунгабокар донларини барабан типидаги комбинациялашган курилмада куритиш орқали йўқотишилар миқдори умумий доннинг ўртача $C_2 = 0.014$ улушкини ташкил этади.

Шундай килиб, кунгабокар донларини барабан типидаги комбинациялашган куритичда куритиш орқали табиий куритишдаги йўқотишилар миқдорини камайтириши хисобига йиллик тежамкорлик $P = (C_1 - C_2) \times A \times B \times H = (0.071 - 0.014) \times 650 \times 42 \times 5000 =$

$= 7\,780\,500 \text{ сўм/йил га тенг.}$

2. Капитал ва эксплуатация харажатларни хисоблаш.

Миллий иқтисодиётда янги ускуналар, ихтиrolар ва рационализаторлик таклифлардан фойдаланишининг иқтисодий самарадорлигини аниклашда янги техникаларга режалаштирилган капитал кўйилмалар янги ускуналарни яратиш ва улардан фойдаланиши учун зарур бўлган тўғридан-тўғри ва бошқа бир марталик харажатларни хисобга олиши керак.

Юқоридагиларга асосланаб:

- кунгабокар донларини куритувчи барабан типидаги комбинациялашган курилманинг киймати $K_m = 6,450,000 \text{ сўмни ташкил этади};$
- куритиш куридмасига техник хизмат кўрсатиш, шу жумладан уни жорий таъмиrlаш бўйича сарф-харажатлар, у томонидан истеъмол килинадиган электр энергияси киймати, иш пайтида истеъмол килинадиган материаллар киймати $K_{жр} = 0,05 \cdot K_{кx} = 322500 \text{ сўм};$
- комбинациялашган куритиш курйлмасини монтаж қилиш харажатлари $K_m = 0,3 \cdot K_{кx} = 1\,935\,000 \text{ сўм};$
- иш хақи фонди, яъни, асосий ишчининг ойлик маоши, $K_o = 3,000,000 \text{ сўм};$
- илмий-тадқиқот ишларини олиб бориш учун сарф-харажатлар, $K_{ити} = 477\,350 \text{ сўм};$
- сарф-харажатларнинг умумий суммасини куйидагини ташкил этади:
 $K_{ум} = K_{кx} + K_{жр} + K_m + K_o + K_{ити} = 12\,184\,850 \text{ сўм.}$

2-илованинг давоми

Барабан типидаги комбинациялашган энергия тежамкор қуритиш қурилмасини жорий қилишнинг иқтисодий самарааси куйидагини ташкил этади:

$\dot{E}_{ic} = P - E_m K_{ym} = 7\ 780\ 500 - 0.15 * 12\ 184\ 850 = 7\ 780\ 500 - 1827727,5 = 5\ 952\ 772,5$ сүм,
бу ерда E_m – меъёрий самарадорлик коэффициенти.

Иқтисодий самарадорликни аниқлашда қурилманинг ўзини оқлаш муддати қурилманинг ишлишидан олинган иқтисодий самарани комбинациялашган қуритиш қурилмасини ишлаб чиқи ва жорий қилиш билан боғлиқ харажатлар билан таққосланадиган вақт даври сифатида белгиланади, яъни:

$$T = K_{ym} / \dot{E}_{ic} = 12\ 184\ 850 / 5\ 952\ 772,5 = 2 \text{ йил}$$

Хисоблашни амалга оширилар:

“Холмирза Болтабоев ишончи”
фермер хўжалиги вакили

А. Болтабоев

“Холмирза Болтабоев ишончи”
фермер хўжалиги вакили

А. Болтабоев

ТДТУ “Ишлаб чиқариш
жараёнларини автоматлаштириш”
кафедраси профессори, т.ф.д.

Д. Мухитдинов

ТДТУ “Ишлаб чиқариш
жараёнларини автоматлаштириш”
кафедраси таянч докторанти

Э. Сафаров



**O'zbekiston Respublikasi
Qishloq xo'jaligi vazirligi**

100140, Toshkent viloyati, Qibray tumanı, Universitet ko'chasi, 2-uy, tel.: (998-71) 206-70-30,
ishonch telefon: (998-71) 206-70-65, www.agro.uz, el. manzil: info@agro.uz, agro@exat.uz



2022 -yil 16-dekabr

07/31-9452-son**MA'LUMOTNOMA**

E.X. Safarovning dissertatsiya ishi natijalari asosida ishlab chiqilgan kungaboqar donlarini qurituvchi baraban tipidagi kombinatsiyalashgan energiya tejamkor apparat Baliqchi tumanidagi “Xolmirza Boltaboev ishonchi”, “Paxtakor oltin tuprog'i”, “To'lqinov Mirziyo Bog'lari” fermer xo'jaliklarida tadbiq etilgan (03.10.2022, 04.10.2022, 05.10.2022 dalolatnomalar).

Ishning ilmiy yangiligi quyidagilardan iborat: kungaboqar urug'larini quritish uchun quyosh issiqlik energiyasidan qo'shimcha foydalanish hisobiga quritish samaradorligini oshirish va elektr energiya iste'molini kamaytirish imkonini beradigan baraban tipidagi kombinatsiyalashgan apparat konstruksiyasi ishlab chiqilgan; tajribani rejalashtirish usuli asosida ishlab chiqilgan quritkichda kungaboqar urug'larini quritish jarayoni uchun aniq tajriba qiymatlarini olish imkonini beradigan tajribaviy tadqiqotlar o'tkazish uslubi ishlab chiqilgan; ishlab chiqilgan quritkichda kungaboqar urug'larini quritish jarayonida tajribani ikkinchi tartibli rotatabelli rejalashtirish usuli asosida namsizlantirishni bashorat qilish imkonini beradigan empirik matematik modellar ishlab chiqilgan; kungaboqar urug'larini quritishda tajribani chiziqli regression tahlil qilish asosida kollektordagi havoning qo'shimcha qizishini quritkichning energiya tejamkorligiga ta'sirini ko'rsatuvchi empirik matematik model ishlab chiqilgan.

Kombinatsiyalashgan quritish apparatida quyosh issiqlik energiyasidan qo'shimcha foydalanish hisobiga elektr energiya iste'moli 691 Vt•soatgacha iqtisod qilindi, quritish vaqt 15% ga qisqardi, unumdarlik 17,6% ga ortdi va quritish jarayoni 1,3 barobarga tezlashdi.

2-илованинг давоми

IJRO.GOV.UZ тизими орқали ЭРИ билан тасдиқланган, Хужжат коди: PE14969812
Kungaboqar donlarini baraban tipidagi kombinatsiyalashgan energiya
tejamkor quritish apparati yordamida quritilganda tabiiy usulda quritilgandagi
yo‘qotishlar miqdori o‘rtacha 5,83 % ga kamaygan. Shuning hisobiga fermer
xo‘jaliklarida umumiyligi miqdorda yiliga 16 mln. 230 ming so‘m iqtisodiy
samaradorlikka erishilgan.

Vazir o‘rinbosari



A. Turayev

Режалаштирилган марказий композицион тажриба матрицаси

Nº	x ₁	x ₂	x ₃	x ₄	x ₁ x ₂	x ₁ x ₃	x ₁ x ₄	x ₂ x ₃	x ₂ x ₄	x ₃ x ₄	(x ₁) ²	(x ₂) ²	(x ₃) ²	(x ₄) ²	\bar{y}_u
1	-	-	-	-	+	+	+	+	+	+	+	+	+	+	1,602
2	+	-	-	-	-	-	-	+	+	+	+	+	+	+	1,57
3	-	+	-	-	-	+	+	-	-	+	+	+	+	+	1,575
4	+	+	-	-	+	-	-	-	-	+	+	+	+	+	1,547
5	-	-	+	-	+	-	+	-	+	-	+	+	+	+	1,59
6	+	-	+	-	-	+	-	-	+	-	+	+	+	+	1,55
7	-	+	+	-	-	-	-	+	-	-	+	+	+	+	1,563
8	+	+	+	-	+	+	-	+	-	-	+	+	+	+	1,52
9	-	-	-	+	+	+	-	+	-	-	+	+	+	+	1,493
10	+	-	-	+	-	-	+	+	-	-	+	+	+	+	1,442
11	-	+	-	+	-	+	-	-	+	-	+	+	+	+	1,373
12	+	+	-	+	+	-	+	-	+	-	+	+	+	+	1,255
13	-	-	+	+	+	-	-	-	-	+	+	+	+	+	1,461
14	+	-	+	+	-	+	+	-	-	+	+	+	+	+	1,43
15	-	+	+	+	-	-	-	+	+	+	+	+	+	+	1,288
16	+	+	+	+	+	+	+	+	+	+	+	+	+	+	1,24
17	-2	0	0	0	0	0	0	0	0	0	4	0	0	0	1,453
18	2	0	0	0	0	0	0	0	0	0	4	0	0	0	1,39
19	0	-2	0	0	0	0	0	0	0	0	0	4	0	0	1,545
20	0	2	0	0	0	0	0	0	0	0	0	4	0	0	1,331
21	0	0	-2	0	0	0	0	0	0	0	0	0	4	0	1,562
22	0	0	2	0	0	0	0	0	0	0	0	0	4	0	1,47
23	0	0	0	-2	0	0	0	0	0	0	0	0	0	4	1,713
24	0	0	0	2	0	0	0	0	0	0	0	0	0	4	1,298
25	0	0	0	0	0	0	0	0	0	0	0	0	0	0	1,392
26	0	0	0	0	0	0	0	0	0	0	0	0	0	0	1,458
27	0	0	0	0	0	0	0	0	0	0	0	0	0	0	1,42
28	0	0	0	0	0	0	0	0	0	0	0	0	0	0	1,454
29	0	0	0	0	0	0	0	0	0	0	0	0	0	0	1,4
30	0	0	0	0	0	0	0	0	0	0	0	0	0	0	1,452
31	0	0	0	0	0	0	0	0	0	0	0	0	0	0	1,383

З-илованинг давоми**2.3-жадвал**

Регрессия тенгламасини ечиш натижасида олинган чиқувчи омил қийматлари

№	\bar{y}_u	y_{xuc}	$\bar{y}_u - y_{xuc}$	$(\bar{y}_u - y_{xuc})^2$
1	1,602	1,647	-0,045	0,002025
2	1,57	1,607	-0,037	0,001369
3	1,575	1,627	-0,052	0,002704
4	1,547	1,587	-0,04	0,0016
5	1,59	1,613	-0,023	0,000529
6	1,55	1,573	-0,023	0,000529
7	1,563	1,593	-0,03	0,0009
8	1,52	1,553	-0,033	0,001089
9	1,493	1,527	-0,034	0,001156
10	1,442	1,487	-0,045	0,002025
11	1,373	1,347	0,026	0,000676
12	1,255	1,307	-0,052	0,002704
13	1,461	1,493	-0,032	0,001024
14	1,43	1,453	-0,023	0,000529
15	1,288	1,313	-0,025	0,000625
16	1,24	1,273	-0,033	0,001089
17	1,453	1,5	-0,047	0,002209
18	1,39	1,42	-0,03	0,0009
19	1,545	1,56	-0,015	0,000225
20	1,331	1,36	-0,029	0,000841
21	1,562	1,574	-0,012	0,000144
22	1,47	1,506	-0,036	0,001296
23	1,713	1,74	-0,027	0,000729
24	1,298	1,34	-0,042	0,001764
25	1,392	1,38	0,012	0,000144
26	1,458	1,38	0,078	0,006084
27	1,42	1,38	0,04	0,0016
28	1,454	1,38	0,074	0,005476
29	1,4	1,38	0,02	0,0004
30	1,452	1,38	0,072	0,005184
31	1,383	1,38	0,003	0,000009
Жами:				0,047578

З-илованинг давоми

2.6-жадвал.

Режалаштирилган марказий композицион тажриба матрицаси

$\#$	x_1	x_2	x_3	x_4	x_1x_2	x_1x_3	x_1x_4	x_2x_3	x_2x_4	x_3x_4	$(x_1)^2$	$(x_2)^2$	$(x_3)^2$	$(x_4)^2$	\bar{y}_u
1	-	-	-	-	+	+	+	+	+	+	+	+	+	+	1,573
2	+	-	-	-	-	-	-	+	+	+	+	+	+	+	1,53
3	-	+	-	-	-	+	+	-	-	+	+	+	+	+	1,514
4	+	+	-	-	+	-	-	-	-	+	+	+	+	+	1,45
5	-	-	+	-	+	-	+	-	+	-	+	+	+	+	1,544
6	+	-	+	-	-	+	-	-	+	-	+	+	+	+	1,502
7	-	+	+	-	-	-	-	+	+	-	+	+	+	+	1,476
8	+	+	+	-	+	+	-	+	-	-	+	+	+	+	1,432
9	-	-	-	+	+	+	-	+	-	-	+	+	+	+	1,392
10	+	-	-	+	-	-	+	+	-	-	+	+	+	+	1,342
11	-	+	-	+	-	+	-	-	+	-	+	+	+	+	1,242
12	+	+	-	+	+	-	+	-	+	-	+	+	+	+	1,201
13	-	-	+	+	+	-	-	-	-	+	+	+	+	+	1,365
14	+	-	+	+	-	+	+	-	-	+	+	+	+	+	1,335
15	-	+	+	+	-	-	-	+	+	+	+	+	+	+	1,22
16	+	+	+	+	+	+	+	+	+	+	+	+	+	+	1,173
17	-2	0	0	0	0	0	0	0	0	0	4	0	0	0	1,416
18	2	0	0	0	0	0	0	0	0	0	4	0	0	0	1,366
19	0	-2	0	0	0	0	0	0	0	0	0	4	0	0	1,547
20	0	2	0	0	0	0	0	0	0	0	0	4	0	0	1,228
21	0	0	-2	0	0	0	0	0	0	0	0	0	4	0	1,445
22	0	0	2	0	0	0	0	0	0	0	0	0	4	0	1,341
23	0	0	0	-2	0	0	0	0	0	0	0	0	0	4	1,692
24	0	0	0	2	0	0	0	0	0	0	0	0	0	4	1,248
25	0	0	0	0	0	0	0	0	0	0	0	0	0	0	1,397
26	0	0	0	0	0	0	0	0	0	0	0	0	0	0	1,332
27	0	0	0	0	0	0	0	0	0	0	0	0	0	0	1,393
28	0	0	0	0	0	0	0	0	0	0	0	0	0	0	1,367
29	0	0	0	0	0	0	0	0	0	0	0	0	0	0	1,33
30	0	0	0	0	0	0	0	0	0	0	0	0	0	0	1,395
31	0	0	0	0	0	0	0	0	0	0	0	0	0	0	1,328

З-илованинг давоми

2.7-жадвал

Регрессия тенгламасини ечиш натижасида олинган чиқувчи омил қийматлари

Nº	\bar{y}_u	y_{xuc}	$\bar{y}_u - y_{xuc}$	$(\bar{y}_u - y_{xuc})^2$
1	1,573	1,613	-0,04	0,0016
2	1,53	1,573	-0,043	0,001849
3	1,514	1,533	-0,019	0,000361
4	1,45	1,493	-0,043	0,001849
5	1,544	1,579	-0,035	0,001225
6	1,502	1,539	-0,037	0,001369
7	1,476	1,499	-0,023	0,000529
8	1,432	1,459	-0,027	0,000729
9	1,392	1,433	-0,041	0,001681
10	1,342	1,393	-0,051	0,002601
11	1,242	1,273	-0,031	0,000961
12	1,201	1,233	-0,032	0,001024
13	1,365	1,399	-0,034	0,001156
14	1,335	1,359	-0,024	0,000576
15	1,22	1,239	-0,019	0,000361
16	1,173	1,199	-0,026	0,000676
17	1,416	1,446	-0,03	0,0009
18	1,366	1,366	0	0
19	1,547	1,526	0,021	0,000441
20	1,228	1,286	-0,058	0,003364
21	1,445	1,44	0,005	0,000025
22	1,341	1,372	-0,031	0,000961
23	1,692	1,706	-0,014	0,000196
24	1,248	1,266	-0,018	0,000324
25	1,397	1,326	0,071	0,005041
26	1,332	1,326	0,006	0,000036
27	1,393	1,326	0,067	0,004489
28	1,367	1,326	0,041	0,001681
29	1,33	1,326	0,004	0,000016
30	1,395	1,326	0,069	0,004761
31	1,328	1,326	0,002	0,000004
Жами:				0,040786

З-илованинг давоми

2.10-жадвал

Режалаштирилган марказий композицион тажриба матрицаси

№	x_1	x_2	x_3	x_4	x_1x_2	x_1x_3	x_1x_4	x_2x_3	x_2x_4	x_3x_4	$(x_1)^2$	$(x_2)^2$	$(x_3)^2$	$(x_4)^2$	\bar{y}_u
1	-	-	-	-	+	+	+	+	+	+	+	+	+	+	1,53
2	+	-	-	-	-	-	-	+	+	+	+	+	+	+	1,475
3	-	+	-	-	-	+	+	-	-	+	+	+	+	+	1,455
4	+	+	-	-	+	-	-	-	-	+	+	+	+	+	1,393
5	-	-	+	-	+	-	+	-	+	-	+	+	+	+	1,485
6	+	-	+	-	-	+	-	-	+	-	+	+	+	+	1,435
7	-	+	+	-	-	-	+	+	-	-	+	+	+	+	1,42
8	+	+	+	-	+	+	-	+	-	-	+	+	+	+	1,367
9	-	-	-	+	+	+	-	+	-	-	+	+	+	+	1,375
10	+	-	-	+	-	-	+	+	-	-	+	+	+	+	1,326
11	-	+	-	+	-	+	-	-	+	-	+	+	+	+	1,225
12	+	+	-	+	+	-	+	-	+	-	+	+	+	+	1,168
13	-	-	+	+	+	-	-	-	-	+	+	+	+	+	1,338
14	+	-	+	+	-	+	+	-	-	+	+	+	+	+	1,306
15	-	+	+	+	-	-	-	+	+	+	+	+	+	+	1,188
16	+	+	+	+	+	+	+	+	+	+	+	+	+	+	1,15
17	-2	0	0	0	0	0	0	0	0	0	4	0	0	0	1,392
18	2	0	0	0	0	0	0	0	0	0	4	0	0	0	1,337
19	0	-2	0	0	0	0	0	0	0	0	0	4	0	0	1,523
20	0	2	0	0	0	0	0	0	0	0	0	4	0	0	1,206
21	0	0	-2	0	0	0	0	0	0	0	0	0	4	0	1,402
22	0	0	2	0	0	0	0	0	0	0	0	0	4	0	1,328
23	0	0	0	-2	0	0	0	0	0	0	0	0	0	4	1,686
24	0	0	0	2	0	0	0	0	0	0	0	0	0	4	1,241
25	0	0	0	0	0	0	0	0	0	0	0	0	0	0	1,321
26	0	0	0	0	0	0	0	0	0	0	0	0	0	0	1,371
27	0	0	0	0	0	0	0	0	0	0	0	0	0	0	1,374
28	0	0	0	0	0	0	0	0	0	0	0	0	0	0	1,315
29	0	0	0	0	0	0	0	0	0	0	0	0	0	0	1,384
30	0	0	0	0	0	0	0	0	0	0	0	0	0	0	1,318
31	0	0	0	0	0	0	0	0	0	0	0	0	0	0	1,386

З-илованинг давоми

2.11-жадвал

Регрессия тенгламасини ечиш натижасида олинган чиқувчи омил қийматлари

№	\bar{y}_u	y_{xuc}	$\bar{y}_u - y_{xuc}$	$(\bar{y}_u - y_{xuc})^2$
1	1,53	1,562	-0,032	0,001024
2	1,475	1,522	-0,047	0,002209
3	1,455	1,482	-0,027	0,000729
4	1,393	1,442	-0,049	0,002401
5	1,485	1,528	-0,043	0,001849
6	1,435	1,488	-0,053	0,002809
7	1,42	1,448	-0,028	0,000784
8	1,367	1,408	-0,041	0,001681
9	1,375	1,402	-0,027	0,000729
10	1,326	1,362	-0,036	0,001296
11	1,225	1,242	-0,017	0,000289
12	1,168	1,202	-0,034	0,001156
13	1,338	1,368	-0,03	0,0009
14	1,306	1,328	-0,022	0,000484
15	1,188	1,208	-0,02	0,0004
16	1,15	1,168	-0,018	0,000324
17	1,392	1,4	-0,008	0,000064
18	1,337	1,32	0,017	0,000289
19	1,523	1,48	0,043	0,001849
20	1,206	1,24	-0,034	0,001156
21	1,402	1,394	0,008	0,000064
22	1,328	1,326	0,002	0,000004
23	1,686	1,66	0,026	0,000676
24	1,241	1,26	-0,019	0,000361
25	1,321	1,3	0,021	0,000441
26	1,371	1,3	0,071	0,005041
27	1,374	1,3	0,074	0,005476
28	1,315	1,3	0,015	0,000225
29	1,384	1,3	0,084	0,007056
30	1,318	1,3	0,018	0,000324
31	1,386	1,3	0,086	0,007396
Жами:				0,049486

З-илованинг давоми

2.14-жадвал.

Режалаштирилган марказий композицион тажриба матрицаси

№	x_1	x_2	x_3	x_4	x_1x_2	x_1x_3	x_1x_4	x_2x_3	x_2x_4	x_3x_4	$(x_1)^2$	$(x_2)^2$	$(x_3)^2$	$(x_4)^2$	\bar{y}_u
1	-	-	-	-	+	+	+	+	+	+	+	+	+	+	22,5
2	+	-	-	-	-	-	-	+	+	+	+	+	+	+	20,5
3	-	+	-	-	-	+	+	-	-	+	+	+	+	+	31,3
4	+	+	-	-	+	-	-	-	-	+	+	+	+	+	29,5
5	-	-	+	-	+	-	+	-	+	-	+	+	+	+	21,6
6	+	-	+	-	-	+	-	-	+	-	+	+	+	+	19,5
7	-	+	+	-	-	-	+	+	-	-	+	+	+	+	30,5
8	+	+	+	-	+	+	-	+	-	-	+	+	+	+	28,5
9	-	-	-	+	+	+	-	+	-	-	+	+	+	+	16,5
10	+	-	-	+	-	-	+	+	-	-	+	+	+	+	20
11	-	+	-	+	-	+	-	-	+	-	+	+	+	+	21
12	+	+	-	+	+	-	+	-	+	-	+	+	+	+	13,5
13	-	-	+	+	+	-	-	-	-	+	+	+	+	+	14,8
14	+	-	+	+	-	+	+	-	-	+	+	+	+	+	13
15	-	+	+	+	-	-	-	+	+	+	+	+	+	+	16
16	+	+	+	+	+	+	+	+	+	+	+	+	+	+	12,6
17	-2	0	0	0	0	0	0	0	0	0	4	0	0	0	21,2
18	2	0	0	0	0	0	0	0	0	0	4	0	0	0	16,6
19	0	-2	0	0	0	0	0	0	0	0	0	4	0	0	14,6
20	0	2	0	0	0	0	0	0	0	0	0	4	0	0	24,9
21	0	0	-2	0	0	0	0	0	0	0	0	0	4	0	22,7
22	0	0	2	0	0	0	0	0	0	0	0	0	4	0	15,5
23	0	0	0	-2	0	0	0	0	0	0	0	0	0	4	32,3
24	0	0	0	2	0	0	0	0	0	0	0	0	0	4	10,6
25	0	0	0	0	0	0	0	0	0	0	0	0	0	0	16,7
26	0	0	0	0	0	0	0	0	0	0	0	0	0	0	20,4
27	0	0	0	0	0	0	0	0	0	0	0	0	0	0	18,3
28	0	0	0	0	0	0	0	0	0	0	0	0	0	0	20,2
29	0	0	0	0	0	0	0	0	0	0	0	0	0	0	17,1
30	0	0	0	0	0	0	0	0	0	0	0	0	0	0	20,1
31	0	0	0	0	0	0	0	0	0	0	0	0	0	0	16,1

З-илованинг давоми

2.15-жадвал

Регрессия тенгламасини ечиш натижасида олинган чиқувчи омил қийматлари

№	\bar{y}_u	y_{xuc}	$\bar{y}_u - y_{xuc}$	$(\bar{y}_u - y_{xuc})^2$
1	22,5	21,94	0,56	0,3136
2	20,5	19,74	0,76	0,5776
3	31,3	31,14	0,16	0,0256
4	29,5	28,94	0,56	0,3136
5	21,6	19,2	2,4	5,76
6	19,5	17	2,5	6,25
7	30,5	28,4	2,1	4,41
8	28,5	26,2	2,3	5,29
9	16,5	16,54	-0,04	0,0016
10	20	14,34	5,66	32,0356
11	21	16,54	4,46	19,8916
12	13,5	14,34	-0,84	0,7056
13	14,8	13,8	1	1
14	13	11,6	1,4	1,96
15	16	13,8	2,2	4,84
16	12,6	11,6	1	1
17	21,2	20,07	1,13	1,2769
18	16,6	15,67	0,93	0,8649
19	14,6	13,27	1,33	1,7689
20	24,9	22,47	2,43	5,9049
21	22,7	20,61	2,09	4,3681
22	15,5	15,13	0,37	0,1369
23	32,3	32,67	-0,37	0,1369
24	10,6	12,67	-2,07	4,2849
25	16,7	17,87	-1,17	1,3689
26	20,4	17,87	2,53	6,4009
27	18,3	17,87	0,43	0,1849
28	20,2	17,87	2,33	5,4289
29	17,1	17,87	-0,77	0,5929
30	20,1	17,87	2,23	4,9729
31	16,1	17,87	-1,77	3,1329
Жами:				125,1995

З-илованинг давоми

2.18-жадвал.

Режалаштирилган марказий композицион тажриба матрицаси

№	x_1	x_2	x_3	x_4	x_1x_2	x_1x_3	x_1x_4	x_2x_3	x_2x_4	x_3x_4	$(x_1)^2$	$(x_2)^2$	$(x_3)^2$	$(x_4)^2$	\bar{y}_u
1	-	-	-	-	+	+	+	+	+	+	+	+	+	+	21,2
2	+	-	-	-	-	-	-	+	+	+	+	+	+	+	19
3	-	+	-	-	-	+	+	-	-	+	+	+	+	+	28,7
4	+	+	-	-	+	-	-	-	-	+	+	+	+	+	25,5
5	-	-	+	-	+	-	+	-	+	-	+	+	+	+	19,7
6	+	-	+	-	-	+	-	-	+	-	+	+	+	+	17,4
7	-	+	+	-	-	-	+	+	-	-	+	+	+	+	26,8
8	+	+	+	-	+	+	-	+	-	-	+	+	+	+	24,6
9	-	-	-	+	+	+	-	+	-	-	+	+	+	+	10,9
10	+	-	-	+	-	-	+	+	-	-	+	+	+	+	7,6
11	-	+	-	+	-	+	-	-	+	-	+	+	+	+	13
12	+	+	-	+	+	-	+	-	+	-	+	+	+	+	10,1
13	-	-	+	+	+	-	-	-	-	+	+	+	+	+	9,2
14	+	-	+	+	-	+	+	-	-	+	+	+	+	+	7,1
15	-	+	+	+	-	-	-	+	+	+	+	+	+	+	11,5
16	+	+	+	+	+	+	+	+	+	+	+	+	+	+	7,9
17	-2	0	0	0	0	0	0	0	0	0	4	0	0	0	18,1
18	2	0	0	0	0	0	0	0	0	0	4	0	0	0	15,1
19	0	-2	0	0	0	0	0	0	0	0	0	4	0	0	14,7
20	0	2	0	0	0	0	0	0	0	0	0	4	0	0	18,6
21	0	0	-2	0	0	0	0	0	0	0	0	0	4	0	19,7
22	0	0	2	0	0	0	0	0	0	0	0	0	4	0	13,5
23	0	0	0	-2	0	0	0	0	0	0	0	0	0	4	31,4
24	0	0	0	2	0	0	0	0	0	0	0	0	0	4	7,1
25	0	0	0	0	0	0	0	0	0	0	0	0	0	0	17
26	0	0	0	0	0	0	0	0	0	0	0	0	0	0	13
27	0	0	0	0	0	0	0	0	0	0	0	0	0	0	16,7
28	0	0	0	0	0	0	0	0	0	0	0	0	0	0	15,1
29	0	0	0	0	0	0	0	0	0	0	0	0	0	0	12,8
30	0	0	0	0	0	0	0	0	0	0	0	0	0	0	16,8
31	0	0	0	0	0	0	0	0	0	0	0	0	0	0	12,7

З-илованинг давоми

2.19-жадвал

Регрессия тенгламасини ечиш натижасида олинган чиқувчи омил қийматлари

№	\bar{y}_u	y_{xuc}	$\bar{y}_u - y_{xuc}$	$(\bar{y}_u - y_{xuc})^2$
1	21,2	21,2	0	0
2	19	18,8	0,2	0,04
3	28,7	27,4	1,3	1,69
4	25,5	25	0,5	0,25
5	19,7	19,2	0,5	0,25
6	17,4	16,8	0,6	0,36
7	26,8	25,4	1,4	1,96
8	24,6	23	1,6	2,56
9	10,9	10,8	0,1	0,01
10	7,6	8,4	-0,8	0,64
11	13	11,8	1,2	1,44
12	10,1	9,4	0,7	0,49
13	9,2	8,8	0,4	0,16
14	7,1	6,4	0,7	0,49
15	11,5	9,8	1,7	2,89
16	7,9	7,4	0,5	0,25
17	18,1	16,8	1,3	1,69
18	15,1	12	3,1	9,61
19	14,7	10,8	3,9	15,21
20	18,6	18	0,6	0,36
21	19,7	16,4	3,3	10,89
22	13,5	12,4	1,1	1,21
23	31,4	32,2	-0,8	0,64
24	7,1	6,2	0,9	0,81
25	17	14,4	2,6	6,76
26	13	14,4	-1,4	1,96
27	16,7	14,4	2,3	5,29
28	15,1	14,4	0,7	0,49
29	12,8	14,4	-1,6	2,56
30	16,8	14,4	2,4	5,76
31	12,7	14,4	-1,7	2,89
Жами:				79,61

З-илованинг давоми

2.22-жадвал

Режалаштирилган марказий композицион тажриба матрицаси

№	x_1	x_2	x_3	x_4	x_1x_2	x_1x_3	x_1x_4	x_2x_3	x_2x_4	x_3x_4	$(x_1)^2$	$(x_2)^2$	$(x_3)^2$	$(x_4)^2$	\bar{y}_u
1	-	-	-	-	+	+	+	+	+	+	+	+	+	+	19
2	+	-	-	-	-	-	-	+	+	+	+	+	+	+	15,9
3	-	+	-	-	-	+	+	-	-	+	+	+	+	+	25,8
4	+	+	-	-	+	-	-	-	-	+	+	+	+	+	22,5
5	-	-	+	-	+	-	+	-	+	-	+	+	+	+	16,5
6	+	-	+	-	-	+	-	-	+	-	+	+	+	+	13,6
7	-	+	+	-	-	-	+	+	-	-	+	+	+	+	23,9
8	+	+	+	-	+	+	-	+	-	-	+	+	+	+	20,9
9	-	-	-	+	+	+	-	+	-	-	+	+	+	+	9,8
10	+	-	-	+	-	-	+	+	-	-	+	+	+	+	6,5
11	-	+	-	+	-	+	-	-	+	-	+	+	+	+	11,8
12	+	+	-	+	+	-	+	-	+	-	+	+	+	+	7,5
13	-	-	+	+	+	-	-	-	-	+	+	+	+	+	7,3
14	+	-	+	+	-	+	+	-	-	+	+	+	+	+	5,1
15	-	+	+	+	-	-	-	+	+	+	+	+	+	+	9,1
16	+	+	+	+	+	+	+	+	+	+	+	+	+	+	6,1
17	-2	0	0	0	0	0	0	0	0	0	4	0	0	0	16,7
18	2	0	0	0	0	0	0	0	0	0	4	0	0	0	13,2
19	0	-2	0	0	0	0	0	0	0	0	0	4	0	0	13,3
20	0	2	0	0	0	0	0	0	0	0	0	4	0	0	17,1
21	0	0	-2	0	0	0	0	0	0	0	0	0	4	0	17,3
22	0	0	2	0	0	0	0	0	0	0	0	0	4	0	12,7
23	0	0	0	-2	0	0	0	0	0	0	0	0	0	4	31,2
24	0	0	0	2	0	0	0	0	0	0	0	0	0	4	6,5
25	0	0	0	0	0	0	0	0	0	0	0	0	0	0	12,2
26	0	0	0	0	0	0	0	0	0	0	0	0	0	0	15,4
27	0	0	0	0	0	0	0	0	0	0	0	0	0	0	15,6
28	0	0	0	0	0	0	0	0	0	0	0	0	0	0	11,8
29	0	0	0	0	0	0	0	0	0	0	0	0	0	0	16,2
30	0	0	0	0	0	0	0	0	0	0	0	0	0	0	12
31	0	0	0	0	0	0	0	0	0	0	0	0	0	0	16,3

З-илованинг давоми

2.23-жадвал

Регрессия тенгламасини ечиш натижасида олинган чиқувчи омил қийматлари

№	\bar{y}_u	y_{xuc}	$\bar{y}_u - y_{xuc}$	$(\bar{y}_u - y_{xuc})^2$
1	19	20,13	-1,13	1,2769
2	15,9	17,53	-1,63	2,6569
3	25,8	26,33	-0,53	0,2809
4	22,5	23,73	-1,23	1,5129
5	16,5	17,93	-1,43	2,0449
6	13,6	15,33	-1,73	2,9929
7	23,9	24,13	-0,23	0,0529
8	20,9	21,53	-0,63	0,3969
9	9,8	10,93	-1,13	1,2769
10	6,5	8,33	-1,83	3,3489
11	11,8	11,53	0,27	0,0729
12	7,5	8,93	-1,43	2,0449
13	7,3	8,73	-1,43	2,0449
14	5,1	6,13	-1,03	1,0609
15	9,1	9,33	-0,23	0,0529
16	6,1	6,73	-0,63	0,3969
17	16,7	16,43	0,27	0,0729
18	13,2	11,23	1,97	3,8809
19	13,3	10,43	2,87	8,2369
20	17,1	17,23	-0,13	0,0169
21	17,3	16,03	1,27	1,6129
22	12,7	11,63	1,07	1,1449
23	31,2	29,83	1,37	1,8769
24	6,5	5,83	0,67	0,4489
25	12,2	13,83	-1,63	2,6569
26	15,4	13,83	1,57	2,4649
27	15,6	13,83	1,77	3,1329
28	11,8	13,83	-2,03	4,1209
29	16,2	13,83	2,37	5,6169
30	12	13,83	-1,83	3,3489
31	16,3	13,83	2,47	6,1009
Жами:				66,2479

З-илованинг давоми

2.27-жадвал

Хисобланган қийматлар билан тажриба қийматлари

Y	$Y_{хис}$	$Y - Y_{хис}$	$(Y - Y_{хис})^2$
2410	2421	-11	121
2893	2901	-8	64
2285	2235,8	49,2	2420,64
2685	2715,8	-30,8	948,64
2655	2700,2	-45,2	2043,04
3244	3180,2	63,8	4070,44
2520	2515	5	25
2971	2995	-24	576
Жами			10268,76

2.30-жадвал

Хисобланган қийматлар билан тажриба қийматлари

№	Y	$Y_{хис}$	$Y - Y_{хис}$	$(Y - Y_{хис})^2$
1	2815	2816	-1	1
2	3347	3370	-23	529
3	2728	2704	24	576
4	2951	2950	1	1
5	3214	3214	0	0
6	3794	3768	26	676
7	3077	3102	-25	625
8	3348	3348	0	0
Жами				2408

4-илова**2.4-жадвал**

Модель ва тажриба асосида топилган масса ўзгариш қийматлари таққосланиши (қуритиш ҳарорати 80°C).

Z4	Y _{модель} , кг	Y _{таж.} кг	ΔY, кг
0	2	2	0
18	1,786	1,713	0,073
36	1,566	1,542	0,024
54	1,425	1,422	0,003
72	1,364	1,33	0,034
90	1,383	1,298	0,085

2.8-жадвал

Модель ва тажриба асосида топилган масса ўзгариш қийматлари таққосланиши (қуритиш ҳарорати 90°C).

Z4	Y _{модель} , кг	Y _{таж.} кг	ΔY, кг
0	2	2	0
18	1,687	1,69	-0,003
36	1,467	1,489	-0,022
54	1,326	1,366	-0,04
72	1,265	1,264	0,001
90	1,284	1,248	0,036

2.12-жадвал

Модель ва тажриба асосида топилган масса ўзгариш қийматлари таққосланиши (қуритиш ҳарорати 100°C).

Z4	Y _{модель} , кг	Y _{таж.} кг	ΔY, кг
0	2	2	0
18	1,661	1,685	-0,024
36	1,441	1,479	-0,038
54	1,3	1,354	-0,054
72	1,239	1,25	-0,011
90	1,258	1,238	0,02

4-илованинг давоми

2.16-жадвал

Модель ва тажриба асосида ҳисобланган қийматлари таққосланиши (қуритиш ҳарорати 80°C).

намлик йўқотилиш

Z4	Y _{модель, кг}	Y _{таж. кг}	ΔY, кг
0	42	42	0
18	32,7	33,4	-0,7
36	24,1	26,2	-2,1
54	17,9	20	-2,1
72	14,1	14,7	-0,6
90	12,7	9,9	2,8

2.20-жадвал

Модель ва тажриба асосида ҳисобланган қийматлари таққосланиши (қуритиш ҳарорати 90°C).

намлик йўқотилиш

Z4	Y _{модель, кг}	Y _{таж. кг}	ΔY, кг
0	42	42	0
18	32,2	31,4	0,8
36	22,1	22,1	0
54	14,5	15,1	-0,6
72	9,22	8,2	1,02
90	6,37	7,1	-0,73

2.24-жадвал

Модель ва тажриба асосида ҳисобланган қийматлари таққосланиши (қуритиш ҳарорати 100°C).

намлик йўқотилиш

Z4	Y _{модель, кг}	Y _{таж. кг}	ΔY, кг
0	42	42	0
18	29,8	31,2	-1,4
36	20,9	21,6	-0,7
54	13,9	14,3	-0,4
72	8,93	7,2	1,73
90	5,98	6,3	-0,32

5-илова**3.10-жадвал.**

Қуритиш агенти ҳарорати 80°C бўлганда дон ҳароратининг
ўзгариши (булутли шароитда).

№	τ , дақ.	$t_{\text{кир.}}, ^{\circ}\text{C}$	$t_{\text{чик.}}, ^{\circ}\text{C}$	$\Delta t, ^{\circ}\text{C}$
1.	18	21	38	17
2.	18	26	39	13
3.	18	28	38	10
4.	18	29	39	10
5.	18	30	39	9

3.11-жадвал.

Қуритиш агенти ҳарорати 90°C бўлганда дон ҳароратининг ўзгариши
(булутли шароитда).

№	τ , дақ.	$t_{\text{кир.}}, ^{\circ}\text{C}$	$t_{\text{чик.}}, ^{\circ}\text{C}$	$\Delta t, ^{\circ}\text{C}$
1.	18	22	41	19
2.	18	27	41	14
3.	18	30	42	12
4.	18	33	42	9
5.	18	35	42	7

3.12-жадвал.

Қуритиш агенти ҳарорати 100°C бўлганда дон ҳароратининг ўзгариши
(булутли шароитда).

№	τ , дақ.	$t_{\text{кир.}}, ^{\circ}\text{C}$	$t_{\text{чик.}}, ^{\circ}\text{C}$	$\Delta t, ^{\circ}\text{C}$
1.	18	22	42	20
2.	18	28	42	14
3.	18	31	42	11
4.	18	34	42	8
5.	18	36	42	6

5-илованинг давоми

3.13-жадвал.

Қуритиш агенти ҳарорати 80°C бўлганда дон ҳароратининг
ўзгариши (ёз ойида, қуёшли кун).

№	τ , дақ.	$t_{\text{кир.}}, ^{\circ}\text{C}$	$t_{\text{чик.}}, ^{\circ}\text{C}$	$\Delta t, ^{\circ}\text{C}$
1.	18	21	43	22
2.	18	28	43	15
3.	18	33	43	10
4.	18	36	43	7
5.	18	38	44	6

3.14-жадвал.

Қуритиш агенти ҳарорати 90°C бўлганда дон ҳароратининг
ўзгариши (ёз ойида, қуёшли кун).

№	τ , дақ.	$t_{\text{кир.}}, ^{\circ}\text{C}$	$t_{\text{чик.}}, ^{\circ}\text{C}$	$\Delta t, ^{\circ}\text{C}$
1.	18	22	44	22
2.	18	28	44	16
3.	18	35	44	9
4.	18	37	45	8
5.	18	38	45	7

3.15-жадвал.

Қуритиш агенти ҳарорати 100°C бўлганда дон ҳароратининг
ўзгариши (ёз ойида, қуёшли кун).

№	τ , дақ.	$t_{\text{кир.}}, ^{\circ}\text{C}$	$t_{\text{чик.}}, ^{\circ}\text{C}$	$\Delta t, ^{\circ}\text{C}$
1.	18	21	44	23
2.	18	29	44	15
3.	18	35	45	10
4.	18	38	45	7
5.	18	39	45	6

5-илованинг давоми

3.16-жадвал.

Куритиш агенти ҳарорати 80°C бўлганда дон ҳароратининг ўзгариши
(куз ойида, қуёшли кун).

№	τ , дақ.	$t_{кир.}, ^\circ\text{C}$	$t_{чик.}, ^\circ\text{C}$	$\Delta t, ^\circ\text{C}$
1.	18	21	41	20
2.	18	25	41	16
3.	18	29	41	12
4.	18	31	42	11
5.	18	34	42	8

3.17-жадвал.

Куритиш агенти ҳарорати 90°C бўлганда дон ҳароратининг
ўзгариши (куз ойида, қуёшли кун).

№	τ , дақ.	$t_{кир.}, ^\circ\text{C}$	$t_{чик.}, ^\circ\text{C}$	$\Delta t, ^\circ\text{C}$
1.	18	22	41	19
2.	18	27	42	15
3.	18	30	42	12
4.	18	34	42	8
5.	18	35	42	7

3.18-жадвал.

Куритиш агенти ҳарорати 100°C бўлганда дон ҳароратининг
ўзгариши (куз ойида, қуёшли кун).

№	τ , дақ.	$t_{кир.}, ^\circ\text{C}$	$t_{чик.}, ^\circ\text{C}$	$\Delta t, ^\circ\text{C}$
1.	18	22	43	21
2.	18	29	43	14
3.	18	32	43	11
4.	18	35	44	9
5.	18	37	44	7

5-илованинг давоми

3.19-жадвал.

Қуритиш агенти тезлигини уруғ массаси ўзгаришига таъсири
(ёз ойи қуёшли кун, қуритиш ҳарорати 80°C)

τ , дақ.	Қуритиш агенти тезлиги 0.5 м/с	Қуритиш агенти тезлиги 1 м/с	Қуритиш агенти тезлиги 1.5 м/с
0	2	2	2
18	1,764	1,713	1,688
36	1,58	1,542	1,523
54	1,456	1,422	1,405
72	1,361	1,33	1,315
90	1,318	1,298	1,288

3.20-жадвал.

Қуритиш агенти тезлигини уруғ массаси ўзгаришига таъсири
(ёз ойи қуёшли кун, қуритиш ҳарорати 90°C)

τ , дақ.	Қуритиш агенти тезлиги 0.5 м/с	Қуритиш агенти тезлиги 1 м/с	Қуритиш агенти тезлиги 1.5 м/с
0	2	2	2
18	1,738	1,69	1,652
36	1,529	1,489	1,461
54	1,401	1,366	1,341
72	1,293	1,264	1,25
90	1,272	1,248	1,241

3.21-жадвал.

Қуритиш агенти тезлигини уруғ массаси ўзгаришига таъсири
(ёз ойи қуёшли кун, қуритиш ҳарорати 100°C)

τ , дақ.	Қуритиш агенти тезлиги 0.5 м/с	Қуритиш агенти тезлиги 1 м/с	Қуритиш агенти тезлиги 1.5 м/с
0	2	2	2
18	1,734	1,685	1,66
36	1,514	1,479	1,438
54	1,361	1,354	1,295
72	1,263	1,25	1,211
90	1,256	1,238	1,232

5-илованинг давоми

3.22-жадвал.

Қуритиш агенти тезлигини уруғ массаси ўзгаришига таъсири
(куз ойи қуёшли кун, қуритиш ҳарорати 80°C)

τ , дак.	Қуритиш агенти тезлиги 0.5 м/с	Қуритиш агенти тезлиги 1 м/с	Қуритиш агенти тезлиги 1.5 м/с
0	2	2	2
18	1,773	1,724	1,695
36	1,614	1,576	1,557
54	1,498	1,468	1,453
72	1,401	1,379	1,368
90	1,325	1,311	1,304

3.23-жадвал.

Қуритиш агенти тезлигини уруғ массаси ўзгаришига таъсири
(куз ойи қуёшли кун, қуритиш ҳарорати 90°C)

τ , дак.	Қуритиш агенти тезлиги 0.5 м/с	Қуритиш агенти тезлиги 1 м/с	Қуритиш агенти тезлиги 1.5 м/с
0	2	2	2
18	1,756	1,707	1,682
36	1,58	1,541	1,522
54	1,457	1,428	1,415
72	1,359	1,33	1,321
90	1,262	1,251	1,242

3.24-жадвал.

Қуритиш агенти тезлигини уруғ массаси ўзгаришига таъсири
(куз ойи қуёшли кун, қуритиш ҳарорати 100°C)

τ , дак.	Қуритиш агенти тезлиги 0.5 м/с	Қуритиш агенти тезлиги 1 м/с	Қуритиш агенти тезлиги 1.5 м/с
0	2	2	2
18	1,743	1,689	1,662
36	1,562	1,511	1,492
54	1,426	1,383	1,368
72	1,309	1,28	1,267
90	1,263	1,248	1,237

5-илованинг давоми

3.25-жадвал.

Бошланғич намлиги 42% бўлган кунгабоқар
дони намлигининг ўзгариши (ёз ойида, қуритиш ҳарорати 80°C).

τ , дак.	$\Phi_{булутли}$, %	$\Phi_{куёш}$, %
0	42	42
18	36,6	33,4
36	32,1	26,2
54	27,8	20
72	23,9	14,7
90	20	9,9

3.26-жадвал.

Бошланғич намлиги 42% бўлган кунгабоқар
дони намлигининг ўзгариши (ёз ойида, қуритиш ҳарорати 90°C).

τ , дак.	$\Phi_{ёпик}$, %	$\Phi_{куёш}$, %
0	42	42
18	34,8	31,4
36	29,5	22,1
54	24,5	15,1
72	19,7	8,2
90	15,3	7,1

3.27-жадвал.

Бошланғич намлиги 42% бўлган кунгабоқар
дони намлигининг ўзгариши (ёз ойида, қуритиш ҳарорати 100°C).

τ , дак.	$\Phi_{ёпик}$, %	$\Phi_{куёш}$, %
0	42	42
18	34,2	31,2
36	28,6	21,6
54	23,3	14,3
72	18,2	7,2
90	13,4	6,3

3.28-жадвал.

Бошланғич намлиги 46% бўлган кунгабоқар
дони намлигининг ўзгариши (куз ойида).

τ , дак.	80°C қуритиш ҳароратида намлик ўзгариши, %	90°C қуритиш ҳароратида намлик ўзгариши, %	100°C қуритиш ҳароратида намлик ўзгариши, %
0	46	46	46
18	37,4	36,7	36,1
36	31,5	30	28,5
54	26,4	24	22
72	21,7	18,3	15,6
90	17,6	13,2	9,8

5-илованинг давоми

3.29-жадвал.

Қуритиш ҳарорати 80°C да қуритиш агенти тезлигини электр қуввати сарфи ўзгаришига таъсири.

Қуритиш агентининг тезлиги, м/с	Булутли шароитда электр қувват сарфи, Вт	Ёзги қуёшли кунда электр қувват сарфи, Вт	Кузги қуёшли кунда электр қувват сарфи, Вт
0	3106	2305	2716
0,5	3255	2341	2798
1	3553	2425	2902
1,5	3956	2545	3088

3.30-жадвал.

Қуритиш ҳарорати 90°C да қуритиш агенти тезлигини электр қуввати сарфи ўзгаришига таъсири.

Қуритиш агентининг тезлиги, м/с	Булутли шароитда электр қувват сарфи, Вт	Ёзги қуёшли кунда электр қувват сарфи, Вт	Кузги қуёшли кунда электр қувват сарфи, Вт
0	3130	2365	2751
0,5	3281	2491	2866
1	3593	2653	3096
1,5	4166	2918	3461

3.31-жадвал.

Қуритиш ҳарорати 100°C да қуритиш агенти тезлигини электр қуввати сарфи ўзгаришига таъсири.

Қуритиш агентининг тезлиги, м/с	Булутли шароитда электр қувват сарфи, Вт	Ёзги қуёшли кунда электр қувват сарфи, Вт	Кузги қуёшли кунда электр қувват сарфи, Вт
0	3150	2520	2843
0,5	3310	2620	2978
1	3631	2829	3248
1,5	4318	3138	3653

5-илованинг давоми

3.32-жадвал.

Қуритиш ҳарорати 80°C да кун давомида атроф мұхит ҳарорати үзгаришини қуёш коллекторидаги ҳаво ҳароратига таъсири.

Кун давомийлиги, соат	Атроф мұхит ҳарорати, °C	Қуёш коллекторидаги ҳаво ҳарорати, °C
9	29	53
10	31	55
11	33	56
12	38	58
13	40	60
14	39	60
15	36	57
16	33	55
17	29	52

3.33-жадвал.

Қуритиш ҳарорати 90°C да кун давомида атроф мұхит ҳарорати үзгаришини қуёш коллекторидаги ҳаво ҳароратига таъсири.

Кун давомийлиги, соат	Атроф мұхит ҳарорати, °C	Қуёш коллекторидаги ҳаво ҳарорати, °C
9	29	55
10	31	56
11	33	60
12	38	64
13	40	65
14	39	65
15	36	60
16	33	57
17	29	55

3.34-жадвал.

Қуритиш ҳарорати 100°C да кун давомида атроф мұхит ҳарорати үзгаришини қуёш коллекторидаги ҳаво ҳароратига таъсири.

Кун давомийлиги, соат	Атроф мұхит ҳарорати, °C	Қуёш коллекторидаги ҳаво ҳарорати, °C
9	29	57
10	31	60
11	33	62
12	38	66
13	40	67
14	39	67
15	36	65
16	33	62
17	29	59

5-илованинг давоми

3.35-жадвал.

Куритиш ҳарорати 80°C да қун давомида атроф мұхит ҳарорати үзгаришини қуёш коллекторидаги ҳаво ҳароратига таъсири.

Кун давомийлиги, соат	Атроф мұхит ҳарорати, $^{\circ}\text{C}$	Қуёш коллекторидаги ҳаво ҳарорати, $^{\circ}\text{C}$
9	20	34
10	21	37
11	22	42
12	23	47
13	24	52
14	23	46
15	22	43
16	21	38
17	20	35

3.36-жадвал.

Куритиш ҳарорати 90°C да қун давомида атроф мұхит ҳарорати үзгаришини қуёш коллекторидаги ҳаво ҳароратига таъсири.

Кун давомийлиги, соат	Атроф мұхит ҳарорати, $^{\circ}\text{C}$	Қуёш коллекторидаги ҳаво ҳарорати, $^{\circ}\text{C}$
9	20	34
10	21	37
11	22	45
12	23	52
13	24	55
14	23	51
15	22	46
16	21	40
17	20	36

3.37-жадвал.

Куритиш ҳарорати 100°C да қун давомида атроф мұхит ҳарорати үзгаришини қуёш коллекторидаги ҳаво ҳароратига таъсири.

Кун давомийлиги, соат	Атроф мұхит ҳарорати, $^{\circ}\text{C}$	Қуёш коллекторидаги ҳаво ҳарорати, $^{\circ}\text{C}$
9	20	35
10	21	39
11	22	46
12	23	52
13	24	57
14	23	52
15	22	49
16	21	42
17	20	37

5-илованинг давоми

3.38-жадвал.

Куритиш ҳарорати 80°C да
электрокалорифернинг кун давомидаги қувват сарфи.

Кун давомийлиги, соат	9	10	11	12	13	14	15	16	17
Ёз ойида электр қувват сарфи, Вт	2518	2410	2380	2350	2345	2345	2401	2483	2521
Куз ойида электр қувват сарфи, Вт	3284	3163	2914	2809	2778	2780	2871	2953	3179

3.39-жадвал.

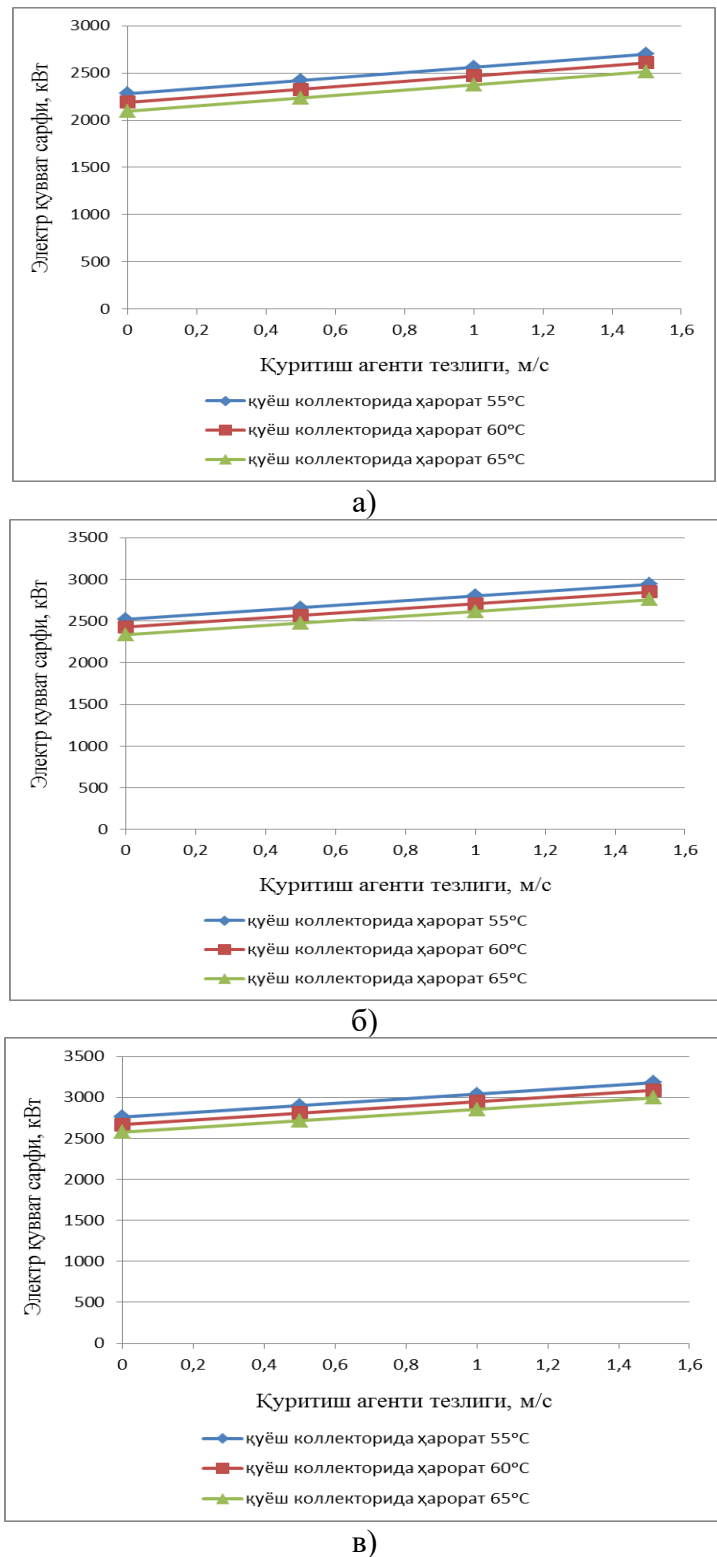
Куритиш ҳарорати 90°C да
электрокалорифернинг кун давомидаги қувват сарфи.

Кун давомийлиги, соат	9	10	11	12	13	14	15	16	17
Ёз ойида электр қувват сарфи, Вт	2684	2603	2523	2508	2480	2480	2518	2609	2713
Куз ойида электр қувват сарфи, Вт	3354	3312	3210	2958	2846	2843	2974	3213	3318

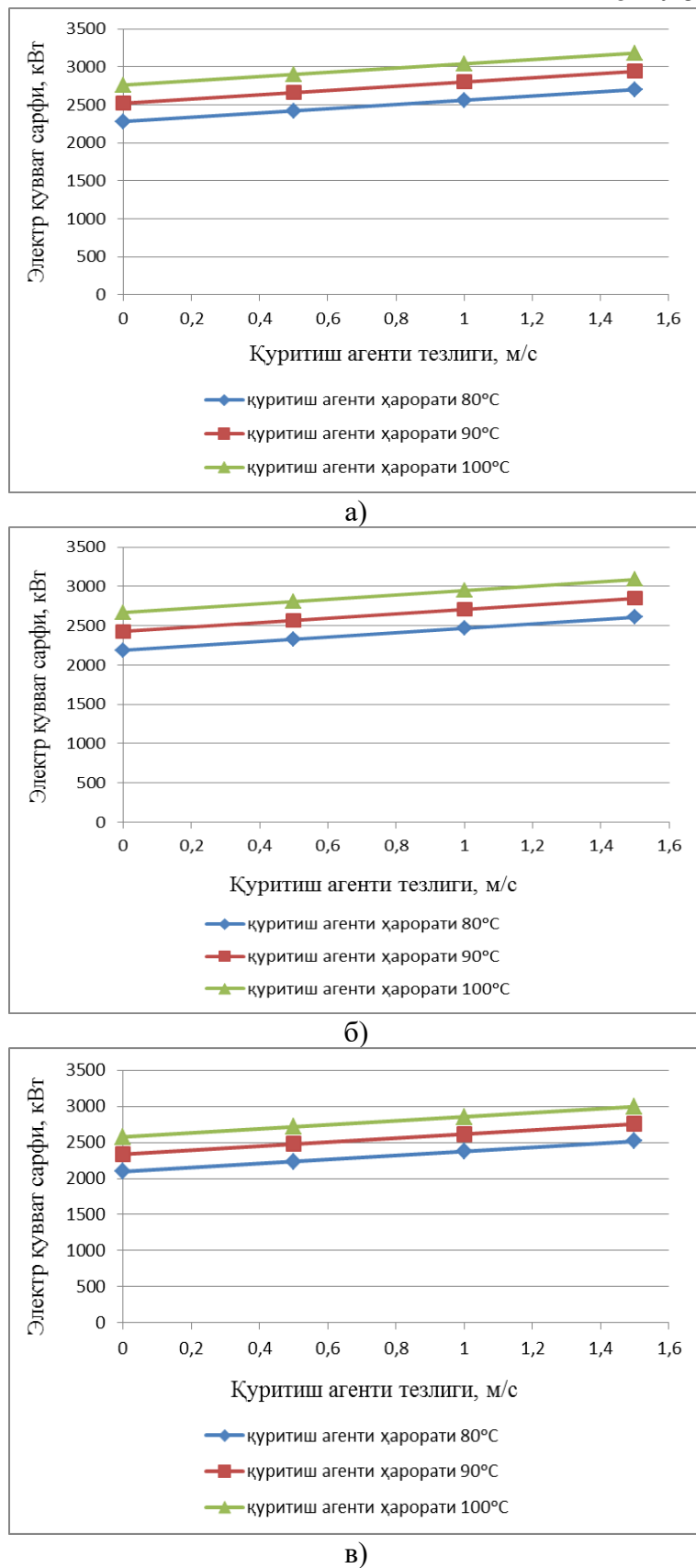
3.40-жадвал.

Куритиш ҳарорати 100°C да
электрокалорифернинг кун давомидаги қувват сарфи.

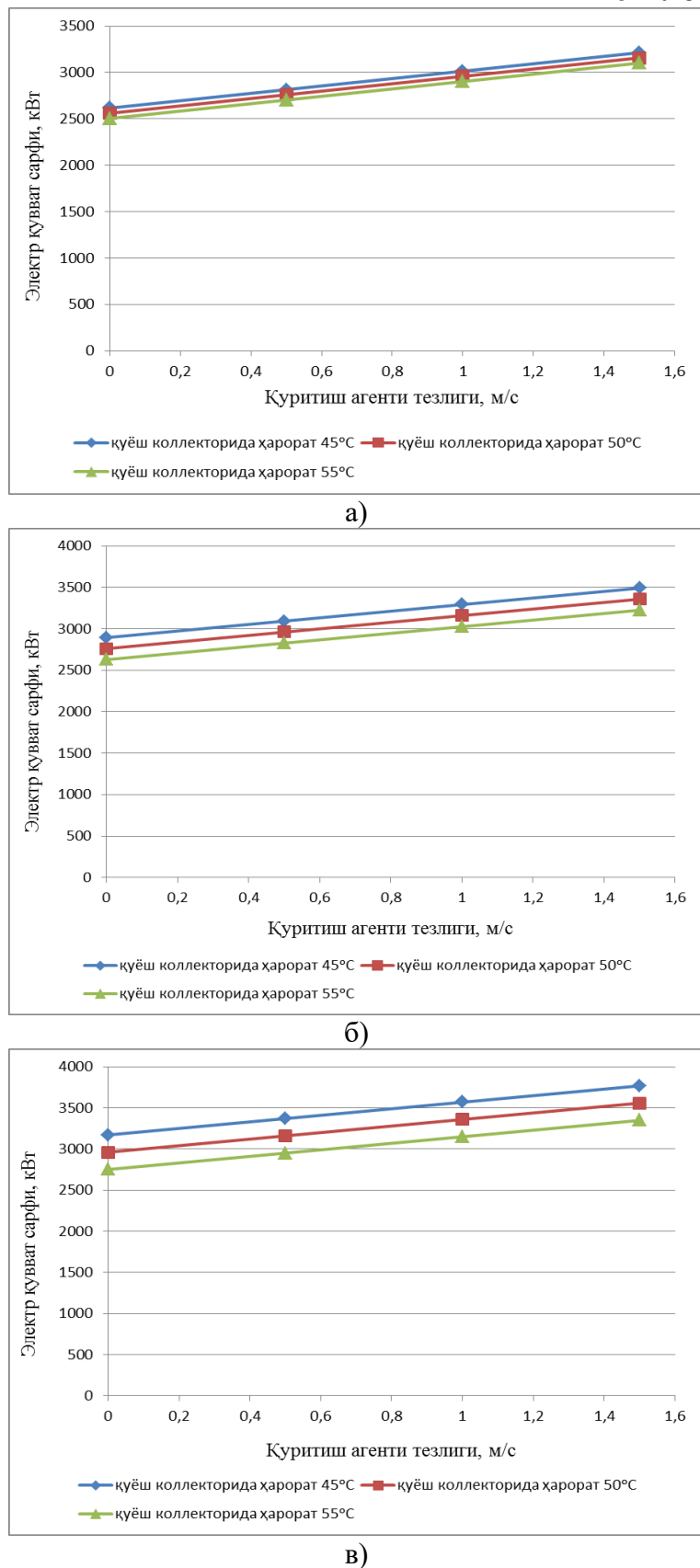
Кун давомийлиги, соат	9	10	11	12	13	14	15	16	17
Ёз ойида электр қувват сарфи, Вт	2853	2809	2736	2651	2610	2610	2685	2753	2812
Куз ойида электр қувват сарфи, Вт	3518	3387	3326	3114	2921	2934	3182	3315	3423



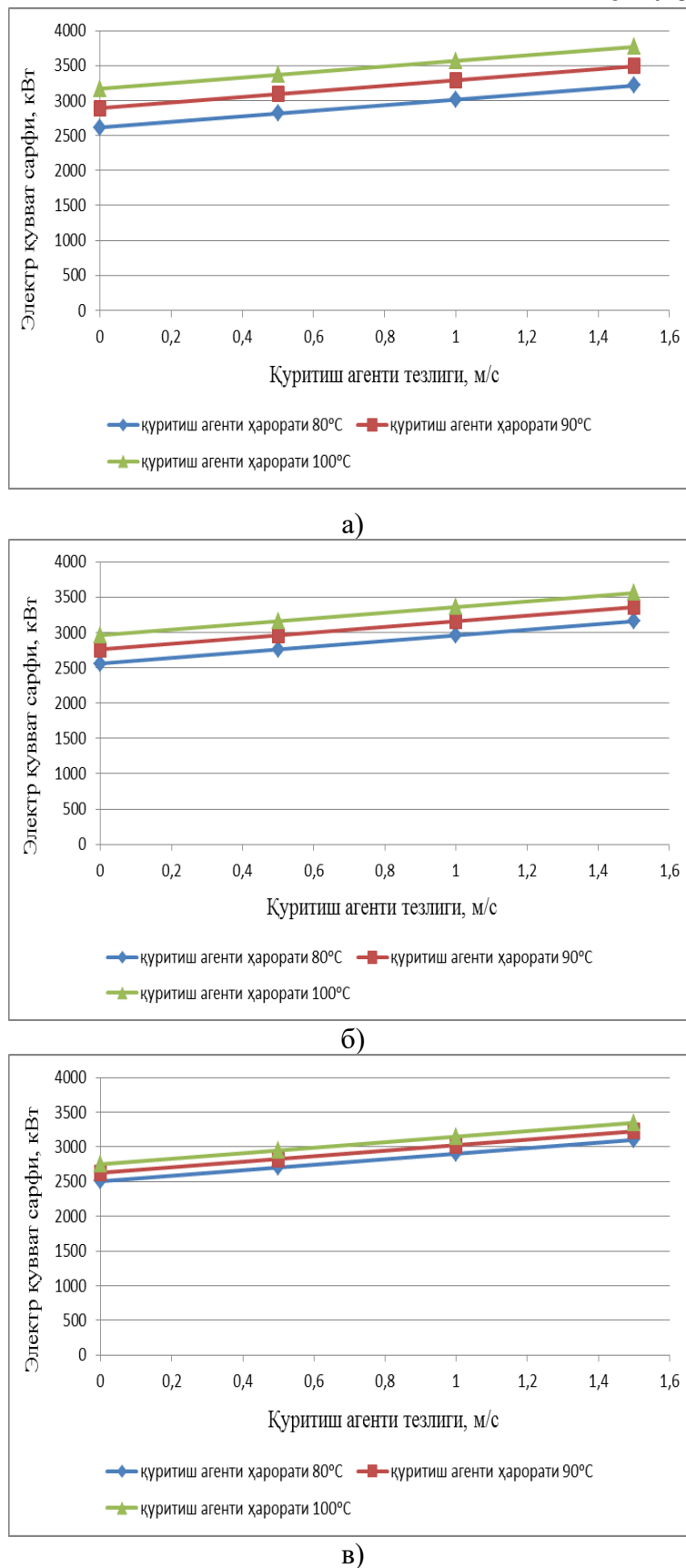
2.13-расм. Күриткич электр күвват сарғини қуёш коллекторидаги хаво ҳароратлари ўзгаришига мос ҳолда ўзгариш графиги (ёзда):а) қүришиш агенти ҳарорати 80°C, б) қүришиш агенти ҳарорати 90°C, в) қүришиш агенти ҳарорати 100°C.

6-илованинг давоми

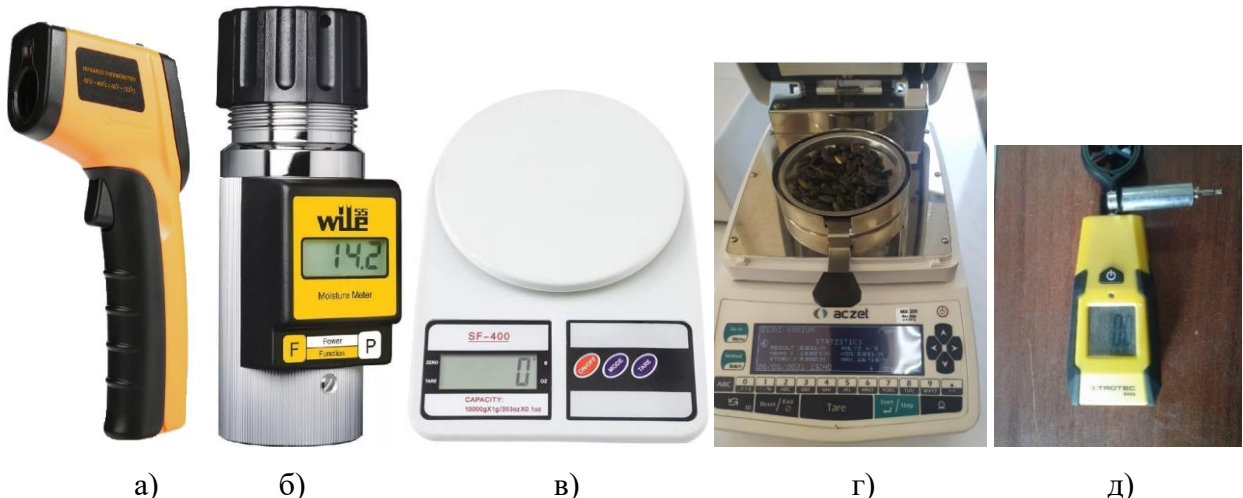
2.14-расм. Қуриткич электр қувват сарғини қуритиш агенти ҳароратлари ўзгаришига мос холда ўзгариш графиги (ёзда): а) қуёш коллекторидаги ҳаво ҳарорати 55°C б) қуёш коллекторидаги ҳаво ҳарорати 60°C в) қуёш коллекторидаги ҳаво ҳарорати 65°C.

6-ИЛОВАНИНГ ДАВОМИ

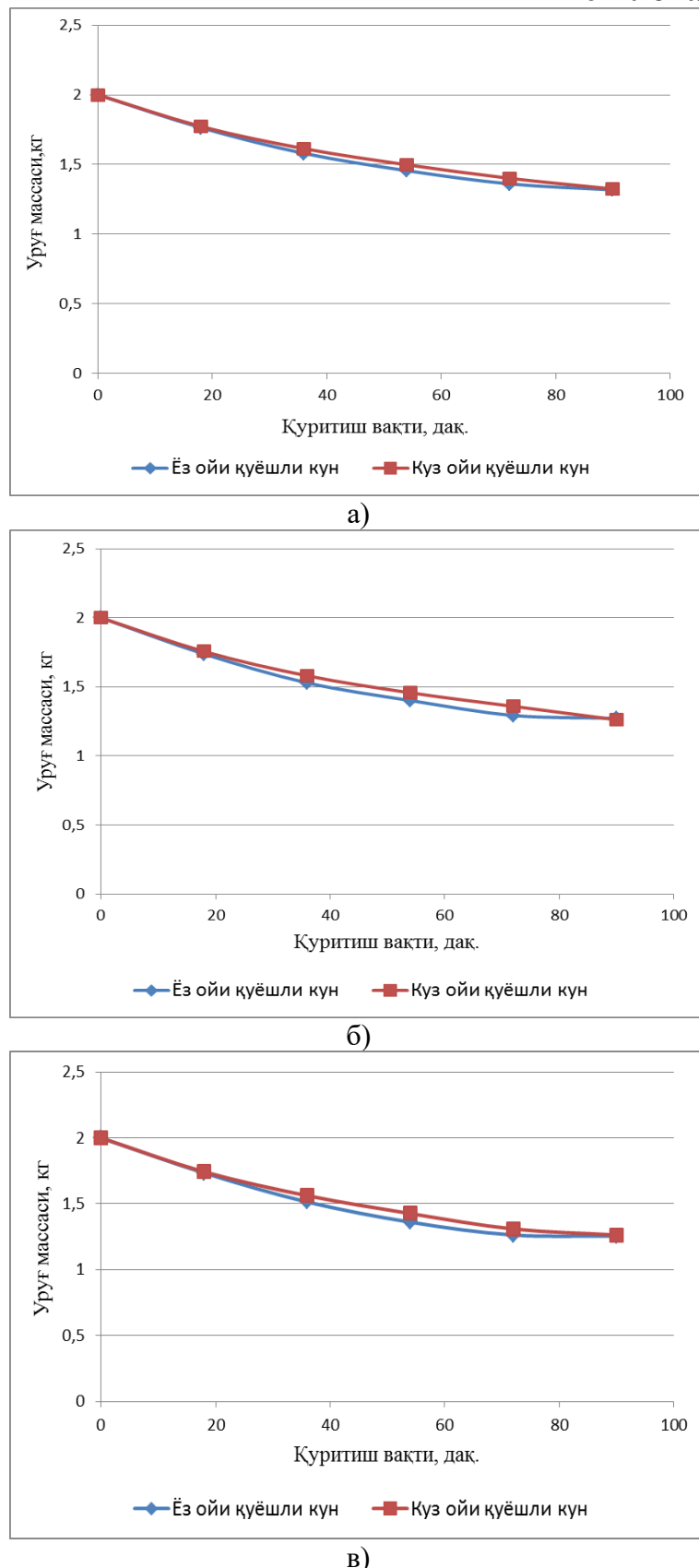
2.16-расм. Куритикч электр кувват сарфини күёш коллекторидаги ҳаво ҳароратлари ўзгаришига мос ҳолда ўзгариш графиги (кузда): а) куритиш агенти ҳарорати 80°C , б) куритиш агенти ҳарорати 90°C , в) куритиш агенти ҳарорати 100°C .

6-илованинг давоми

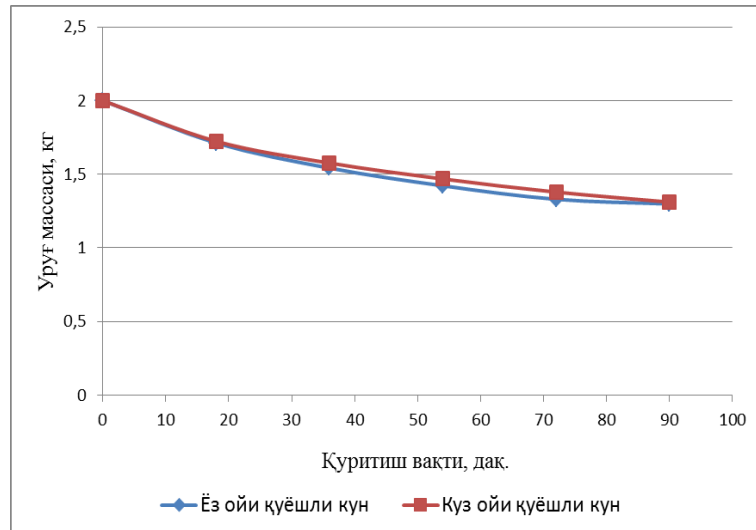
2.17-расм. Қуриткич электр қувват сарфини қуритиш агенти ҳароратлари ўзгаришига мос ҳолда ўзгариш графиги (кузда): а) қуёш коллекторидаги ҳаво ҳарорати 45°C б) қуёш коллекторидаги ҳаво ҳарорати 50°C в) қуёш коллекторидаги ҳаво ҳарорати 55°C .

6-илованинг давоми

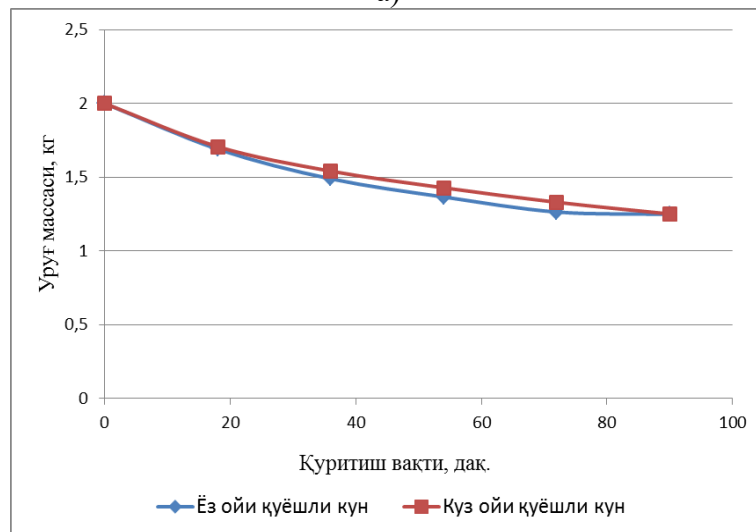
3.6-расм. Тажрибада ишлатилган ўлчов асоблари: а) ҳарорат ўлчовчи лазерли пиromетр б) дон намлигини ўлчовчи Wile 55 в) SF-400 электрон тарози г) дон намлигини ўлчовчи Aczet MB 200 д) қуриши агенти тезлигини ўлчовчи Trotec TA300 анемометер

6-илованинг давоми

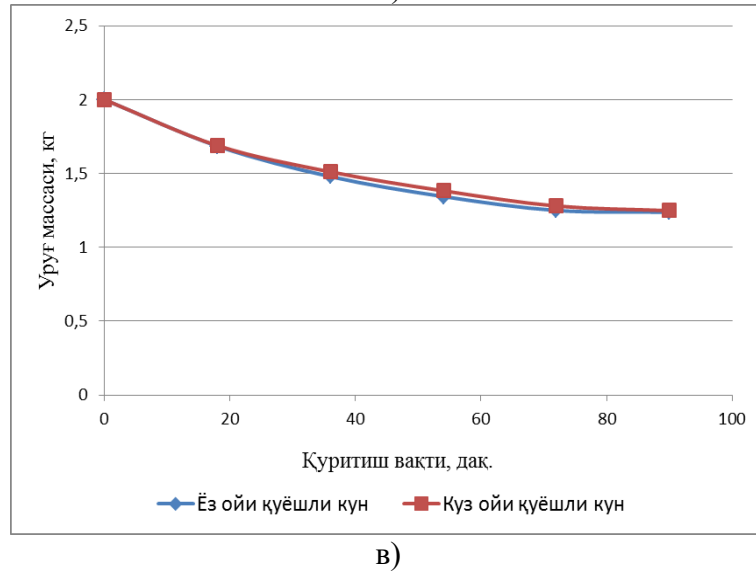
3.8-расм. Куритиш агенти тезлигини уруг массаси ўзгаришига таъсири (куритиш агенти тезлиги 0.5 м/с: а) куритиш ҳарорати 80°C, б) куритиш ҳарорати 90°C, в) куритиш ҳарорати 100°C

6-илованинг давоми

a)

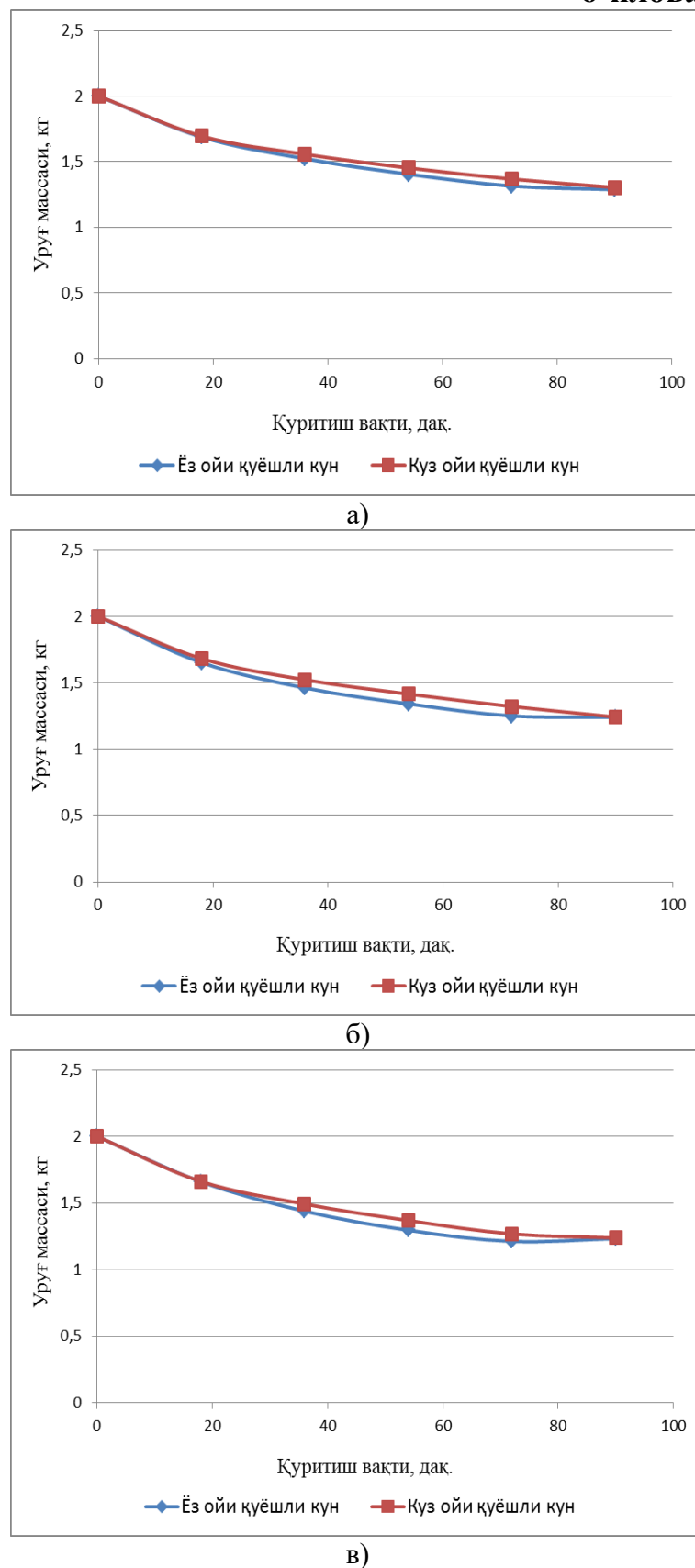


б)

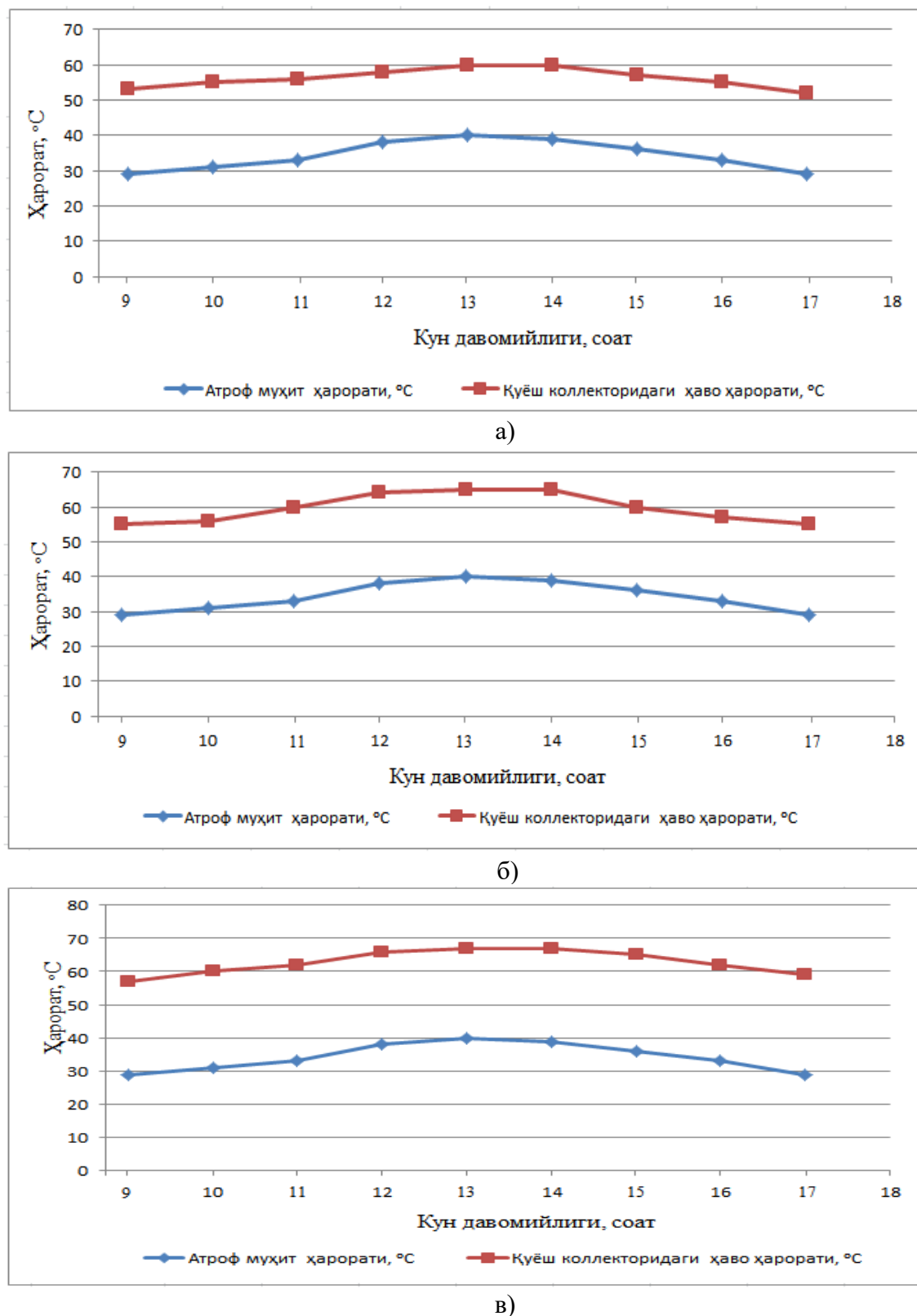


в)

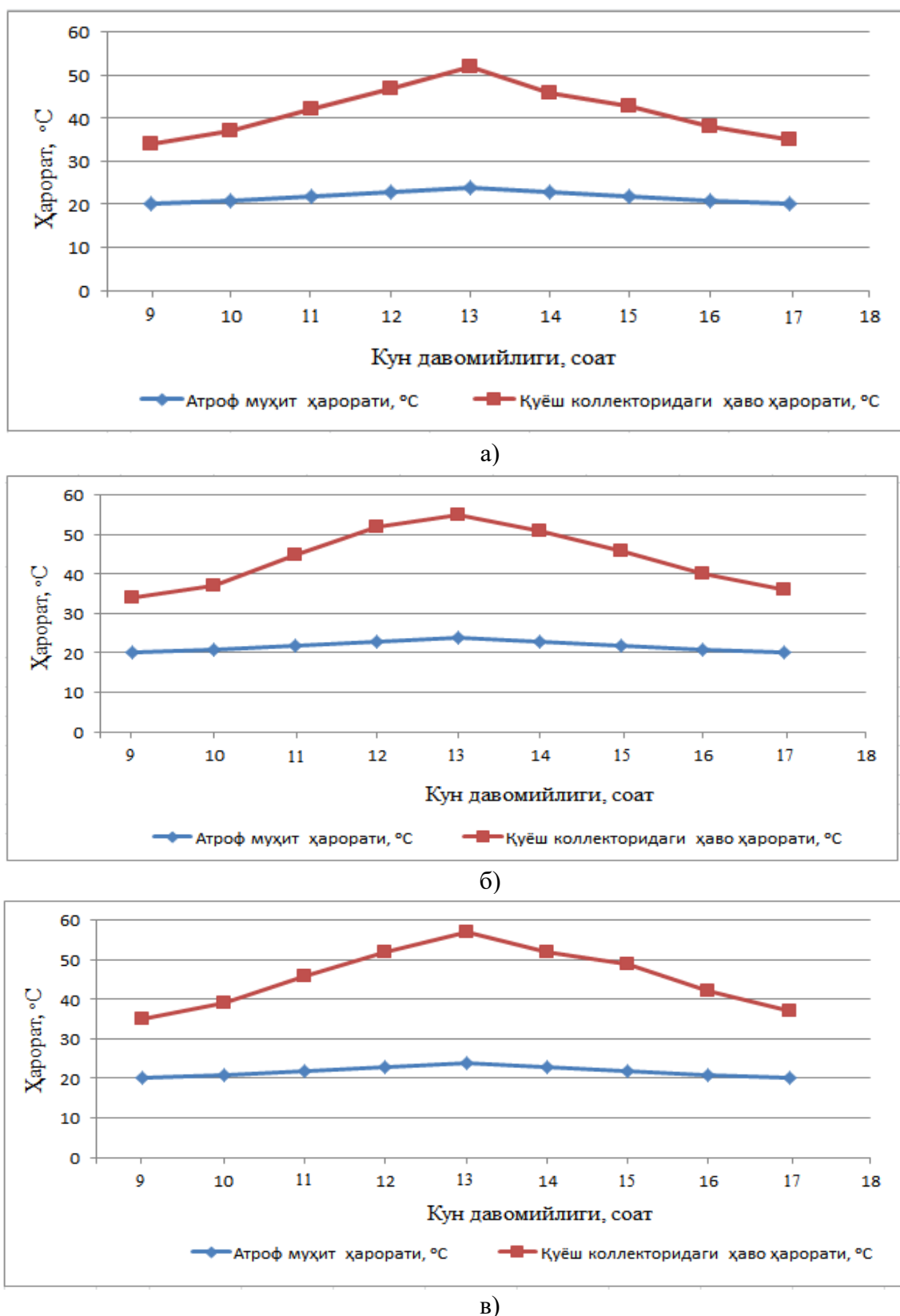
3.9-расм. Куритиш агенти тезлигини уруг массаси ўзгаришига таъсири (куритиш агенти тезлиги 1 м/с: а) куритиш ҳарорати 80°C, б) куритиш ҳарорати 90°C, в) куритиш ҳарорати 100°C

6-илованинг давоми

3.10-расм. Қуритиш агенти тезлигини уруғ массаси ўзгаришига таъсири (куритиш агенти тезлиги 1.5 м/с: а) қуритиш ҳарорати 80°C, б) қуритиш ҳарорати 90°C, в) қуритиш ҳарорати 100°C

6-илованинг давоми

3.14-расм. Ёз ойда қуёш коллекторидаги ҳаво ҳароратининг кун давомида үзгариши: а) қуритиш ҳарорати 80°C, б) қуритиш ҳарорати 90°C, в) қуритиш ҳарорати 100°C.

6-илованинг давоми

3.15-расм. Куз ойида қүёш коллекторидаги ҳаво ҳароратининг кун давомида үзгариши: а) қуритиш ҳарорати 80°C, б) қуритиш ҳарорати 90°C, в) қуритиш ҳарорати 100°C.

“Mashinasozlik ishlab chiqarishini avtomatlashtirish” kafedrasi



**SAFAROV
ELYORBEK
XASANOVICH**
KAFEDRA DOTSENTI

**texnika fanlari bo'yicha falsafa doktori
dotsent**

MA'LUMOTI

**TOSHKENT AXBOROT
TEXNOLOGIYALARI UNIVERSITETI**

2001 - 2005 y. | Bakalavr
“Telekommunikatsiya”

**TOSHKENT DAVLAT TEXNIKA
UNIVERSITETI**

2007 - 2009 y. | Magistratura
“Integral radioelektron qurilmalar”

**TOSHKENT DAVLAT TEXNIKA
UNIVERSITETI**

2020-2022 y. | Tayanch doktorantura
02.00.16- Kimyo texnologiyasi va oziq-
ovqat ishlab chiqarish jarayonlari va
apparatlar

QIZIQUVCHI SOHALARI

Elektronika va avtomatika, sun'iy intellekt,
grafik dizaynerlik, masofadan boshqariluvchi
apparatlar, volleyball, boks.

MEHNAT FAOLIYATI

- 2005 **Toshkent Aloqa Kolleji**
• maxsus fan o'qituvchisi
- 2009 **Andijon shaxar telekommunikatsiyalar bog'lamasi**
• muhandis
- 2010 **Andijon axborot texnologiyalari kasb-hunar kolleji**
• maxsus fan o'qituvchisi
- 2013 **Andijon mashinasozlik instituti**
• “Mashinasozlik ishlab chiqarishini avtomatlashtirish” kafedrasi assistenti
- 2014 **“Mashinasozlik ishlab chiqarishini avtomatlashtirish” kafedrasi katta o'qituvchisi**
- 2020 **Toshkent davlat texnika universiteti tayanch doktoranti**
- 2023 **Andijon mashinasozlik instituti**
• “Mashinasozlik ishlab chiqarishini avtomatlashtirish” kafedrasi katta o'qituvchisi
• “Mashinasozlik ishlab chiqarishini avtomatlashtirish” kafedrasi dotsenti

+99893-781-92-64

elyorbeksafarov7@gmail.com